

# PRAKTICKÁ ELEKTRONIKA

2

2012

Amatérské

RADIO

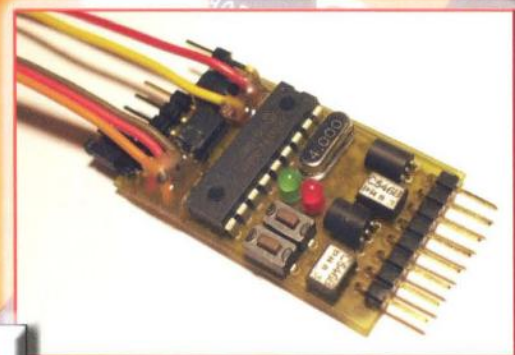


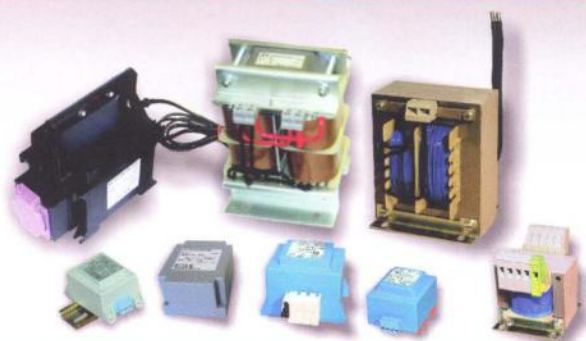
**STOP B - speciální stopky**

**Zajímavá zapojení z nf techniky**

**Arduino jako IR přijímač**

**AEROLIGHT - 4C**

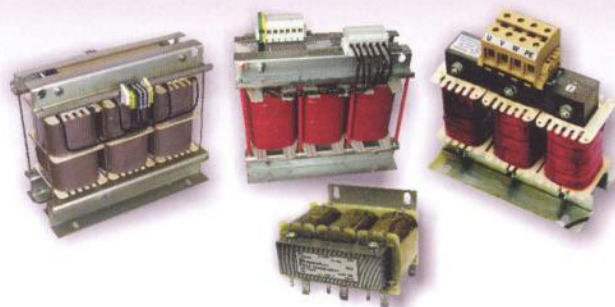




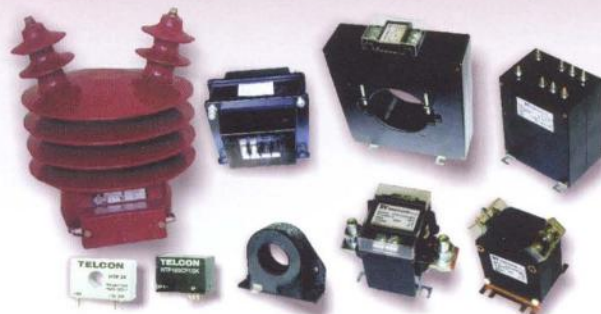
1 Jednofázové lineární transformátory



5 Transformátory a tlumivky pro VF aplikace



2 Třífázové transformátory



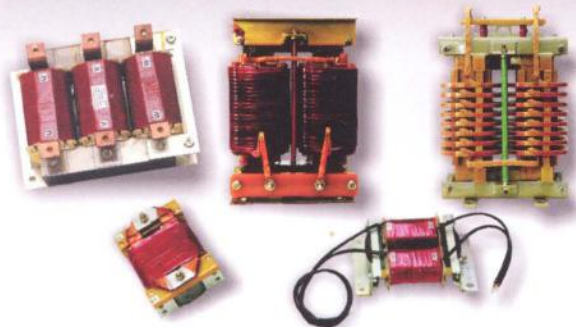
6 Měřicí transformátory napětí a proudu



3 Toroidní transformátory



7 Zdroje napětí a proudu klasické a elektronické



4 Výkonové tlumivky pro NF aplikace



8 Speciální výrobky a obchodní činnost

**TRONIC** spol. s.r.o. V Luhu 6, 140 00 Praha 4, Česká republika

tel. : +420 261 212 438  
fax : +420 261 212439

[www.trafo.cz](http://www.trafo.cz)

gsm: +420 736 621 570  
E-mail : [odbyt@trafo.cz](mailto:odbyt@trafo.cz)

## V TOMTO SEŠITĚ

Náš rozhovor .....	1
Světlozor .....	3
AR mládeži:	
Základy elektrotechniky .....	4
Jednoduchá zapojení pro volný čas ...	7
STOP B - speciální stopky .....	11
AEROLIGHT - 4C	
- programovatelný modul	
pre osvetlenie modelov lietadiel ...	15
Konzervátor Pb akumulátorů .....	21
Arduino jako IR přijímač .....	25
Čtenáři nám píší .....	26
Plasti Dip .....	27
Nové knihy .....	28
Inzerce .....	I-XVI, 56
Elektrónkový	
gitarový efekt ( <i>dokončenie</i> ) .....	29
Antény .....	31
Zajímavá zapojení z nf techniky ...	33
Aktivní DI boxy .....	38
PC hobby .....	41
Rádio „Historie“ .....	45
Z radioamatérského světa .....	56

## PRAKTICKÁ ELEKTRONIKA Amatérské RADIO

**Redakce:** Šéfredaktor: ing. Josef Kellner, redaktori: ing. Jaroslav Belza, Petr Havliš, OK1PFM, ing. Miloš Munzar, CSc.

**Adresa redakce:** Karlovo nám. 557/30, 120 00 Praha 2, tel.: 257 317 310, 222 968 376.

**Ročně vychází** 12 čísel. Cena výtisku 75 Kč.

**Rozšiřuje** První novinová společnost a. s., Mediaprint-Kapa a. s. a soukromí distributoři.

**Předplatné** v ČR zajišťuje Amaro spol. s r. o. Hana Merglová (Karlovo nám. 30, 120 00 Praha 2, tel.: 257 317 312; tel./fax: 257 317 313; [odbyt@aradio.cz](mailto:odbyt@aradio.cz)). Distribuci pro předplatitele také provádí v zastoupení vydavatele společnost Mediaservis s. r. o., Zákaznické Centrum, Vídeňská 995/63, 639 63 Brno; tel: 541 233 232; fax: 541 616 160; [předplatne@mediaservis.cz](mailto:předplatne@mediaservis.cz); reklamacce - tel.: 800 800 890. **Objednávky do zahraničí:** Mediaservis s. r. o., Zákaznické Centrum, Vídeňská 995/63, 639 63 Brno; [export@mediaservis.cz](mailto:export@mediaservis.cz); tel.: +420 532 165 165.

**Předplatné** v Slovenskej republike vybavuje Magnet-Press Slovakia s. r. o., Šustekova 10, 851 04 Bratislava - Petržalka; korešpondencia P. O. BOX 169, 830 00 Bratislava 3; tel./fax (02) 67 20 19 31-33 - předplatné: e-mail: [předplatne@press.sk](mailto:předplatne@press.sk).

Podávání novinových zásilek povoleno Českou poštou - ředitelstvím OZ Praha (č.j. nov 6005/96 ze dne 9. 1. 1996).

**Inzerce** přijímá redakce - Michaela Hrdličková, Karlovo nám. 30, 120 00 Praha 2; tel./fax: 257 317 313; [inzerce@aradio.cz](mailto:inzerce@aradio.cz).

Za původnost a správnost příspěvků odpovídá autor (platí i pro inzerci).

**Vydavatel:** AMARO spol. s r. o., IČO 63487233.

**Vychází:** 5. den v daném měsíci.

**Internet:** <http://www.aradio.cz>

**E-mail:** [pe@aradio.cz](mailto:pe@aradio.cz)

Nevyžádané rukopisy nevracíme.

**ISSN 1804-7173, MKČR E 7409**

© AMARO spol. s r. o.

## NÁŠ ROZHOVOR



s Ing. Jiřím Valentou, CSc., jednatelem firmy TRONIC spol. s r. o., která vyrábí veškeré vinuté díly, transformátory standardní (50 Hz) 0,5 až 250 kVA, transformátory vysokofrekvenční do výkonu 100 kVA, měřicí transformátory, tlumivky filtrační, hradicí, kompenzační vysokofrekvenční a jiné. Současně firma vyrábí některé kompletní elektronické výrobky, jako např. plně řízená cínovací lázeň, DC/AC měniče 1 a 2 kVA galvanicky oddělené a mnoho dalších doplňků.

**Udivuje mě, že zvládáte tak velký sortiment. Ostatní firmy jsou zaměřeny pouze na jistou část, ale vy zvládáte mnohem více. Rovněž mě zajímá, zda se chcete dále rozšiřovat, co se týče sortimentu.**

Za účelem snadnějšího pochopení začnu se stručnou historií. Od roku 1979 jsem pracoval na elektrotechnické fakultě ČVUT v Praze, nejdříve jako aspirant a po dokončení aspirantury jako odborný asistent. Po roce 1989 jsme díky ČSVTS nabízelí zprostředkování práce ze zahraničí do českých výrobních firem. Spolupráce se zahraničními firmami se začala rozvíjet, ale neočekávaně nebyl zájem ze strany našeho průmyslu. V té době mi Prof. Ing. Dr. Oldřich Taraba, DrSc. oznámil, že nemůžeme dál v této činnosti pokračovat (výroba vzorků) a dal mi možnost uplatnit se v této oblasti soukromě. Začal jsem s jedním pracovníkem v sutěrně našeho domu. Když jsem měl již více zaměstnanců, nemohl jsem současně sedět na dvou židlích, a proto jsem v roce 1993 odešel do soukromého sektoru.

Založil jsem firmu Tronic, která má dnes 36 zaměstnanců, a společně s mým bratrem jsme vybudovali dceřinou společnost, která má asi 350 zaměstnanců. Výroba transformátorů tehdy nebyl můj vysněný obor, ale touha



Vinutí proudového měřicího transformátoru 50 kVA/50 A



Výrobní budova firmy Tronic

po poznání způsobila rozvoj tak širokého výrobního sortimentu, jak je uvedeno na začátku. Naší snahou je být v uvedeném sortimentu na předních místech. Proto děláme i teoretické studie pro chování obecně vinutých dílů v reálných podmínkách. Dalším důvodem je nabídnout zákazníkům co největší sortiment. Obklopují se chytrými lidmi, se kterými pracujeme v různých uskupeních, odpovídajících příslušné problematice. Pro práci využíváme různé simulace, které nám pomáhají odstranit skryté problémy. Především však sledujeme světové trendy v oboru nových materiálů. O nás je známé, že když si zákazník neví rady, obrátí se na nás. Může to být i zapalovací cívka k exotickým motorům. Stává se, že i takový podnět vyvolá pocit nutnosti zlepšení navíjecí techniky. Proto si většinou stroje vyrábíme sami, zvláště v oblastech, kde požadované technologie nejsou výrobci nabízeny. Vytvořili jsme tedy i vlastní konstrukční oddělení. Ve své oblasti vyrábíme transformátory a tlumivky na několika druzích materiálů. Ověření správnosti návrhu musíme prakticky vyzkoušet. Pokud máme zákazníky dobře poradit, musíme mít i praktické zkušenosti. Máme tedy i oddělení konstrukce elektronických zařízení. Takto mohu pokračovat o nutnosti jiných oddělení.

**Vynucenou šíří sortimentu jsem již pochopil, ale stále mi není jasné, jakým způsobem dosahujete velmi dobrých a stabilních vlastností magnetických obvodů.**

Jak jsem již naznačil, používáme v hojně míře simulace. Například charakteristiku tlumivek vypočteme a impulsní metodou ověřujeme charakteristiku až do 1200 A. Tato metoda se velice osvědčila a umožňuje nám návrh tlumivky (jedná se i o další vinuté díly) a její optimalizaci vzhledem k ceně, spotřebě materiálů a volbě nových materiálů. Dalšími měřicími metodami kontrolujeme mezizávitovou izolaci a tím se snažíme i o větší spolehlivost. Naším práním je měření každého procesu, i když některé procesy nemáme prozatím pod kontrolou. V některých aplikacích jsme omezeni místem. To se změnilo v letošním roce s výstavbou nové haly. Jinými slovy – co vyprodukuje, musíme měřit, což přináší další a další zkušenosti. Šíře sortimentu vyžaduje mnoho znalostí a zkušeností. Proto máme výrobní program rozdělen do skupin.

## Co plánujete vybudovat v letošním roce?

V letošním roce máme v plánu dokončit další navíjecí halu a přeorganizovat logisticky výrobu. Dále usilujeme o vybudování pracoviště pro komplexní měření transformátorů a tlumivek. Máme vytýčeny dva velké projekty – jeden pro standardní vinuté díly s kmitočty do 400 Hz a další pro magnetické obvody do kmitočtu asi 60 kHz. Měřicí pracoviště musejí zajistit měřicí signály s potřebným výkonem a také odpovídající zátěže. Ukázalo se, že pro tato pracoviště bude nutné postavit výkonnější trafostanici. Samozřejmě se dále budeme zabývat nasazením automatizační, robotické a měřicí techniky do procesu výroby. Kromě toho musíme řešit každodenní problémy apod. Velkou bolestí jsou internetové stránky. V letošním roce by měly doznat velkých změn. Pokud splníme výše popsané úkoly, budu se našemu týmu Tronic klánět.

## Jak vidíte perspektivu vašeho oboru do budoucna?

O budoucnost našeho oboru nemám strach. Již před 10 lety se říkalo, že transformátory jsou na ústupu a vše bude nahrazeno spínanými zdroji. Já jsem toho názoru, že transformátory se vyráběly již za pana Křížika a budou se vyrábět i po nás. Pravdou je, že spínací technika si našla svoje místo, ale v mnoha aplikacích se transformátory budou stále používat. Budou nové materiály a transformátory budou mít lepší parametry. Např. v Japonsku a dnes i v Koreji se vyrábí materiál na bázi amorfního železa, který se začíná používat pro jádra standardních distribučních transformátorů. Omezením je dnes jen šířka vyráběné amorfní pásy, ze které se jádro vyrábí. Takovéto transformátory jsou relativně drahé, ale během 5 let se zaplatí jen uspořením ztrát

vyvolaných proudem naprázdno – nastupitelnou úlohu mají hlavně v energetice. Dalším příkladem jsou stále se používající klasické měřicí transformátory, i když pro podružná měření se v hojně míře používají různé senzory.

Ze své praxe vím, že je stále něco nového. Vzhledem ke skutečnosti, že vyrábíme i komponenty pro spínací techniku, jsme optimističtí v otázkách naší budoucnosti. Základem je vždy mít k dispozici chytré a zapálené lidi pro tuto problematiku. Negativním jevem v současné době je ubývání šikovně starší generace, neboť zájem o tuto problematiku u mladé generace prostě není. Již jsem uvažoval o učňovském středisku, ale situace zatím nedospěla tak daleko, abych se jednoznačně rozhodl pro tuto investici. Tímto vyzývám i ostatní, kteří sdílí můj názor, zda bychom se nepokusili o něco podobného i v Praze.

## Mohl byste ve stručnosti definovat váš výrobní program?

Velice stručně popíši náš výrobní program. Vyrábíme transformátory jednofázové i třífázové, od 0,5 VA do 250 kVA s přirozeným chlazením nebo chlazené kapalinou, transformátory „zalité“ pro osazení do desek s plošnými spoji pro výkon 0,5 až 300 VA, oddělovací transformátory standardní a i pro zdravotnickou techniku. Autotransformátory a toroidní transformátory od 5 do 2000 VA, zalité nebo se zalitým



Ukázka foliového vinutí

středem, tlumivky standardní na EI, nebo UI jádrech, speciální na toroidních jádrech pro vf techniku, nebo jako pracovní, filtrační, či proudově kompenzované tlumivky do měničů, cívky pro audiotechniku, malé vzduchové a odrušovací tlumivky apod.

Nejčastěji používáme jádra feritová, MPP, K- $\mu$ , MP, železoprachová (sendast), mulmetalová a jádra z různých amorfních a nanokrystalických materiálů. Nanokrystalická jádra používáme pro transformátory pracující s kmitočty 10 až 50 kHz s výkonem 5 až 100 kVA. Velké tlumivky jsou vyráběny nejčastěji na jádrech UNICORE nebo jako vzduchové. Rovněž máme přirozeně i kapalinou chlazené tlumivky. Za zmínku stojí hradič a kompenzační tlumivky vinuté měděným nebo hliníkovým vodičem, případně fólií. Vzduchové tlumivky vlastní konstrukce pro nf a vf



Cínovací lázeň s titanovým kelímkem

techniku zaujímají v našem sortimentu významné místo. Měřicí transformátory proudu a napětí dělíme podle povahy elektrických veličin na DC a AC. Pro měření stejnosměrných (DC) proudů používáme princip otevřené nebo uzavřené smyčky s Halovou sondou. Plně využíváme spolupráce s firmou Telcon, která je v této oblasti na světovém trhu od počátku 19. století. Klasické proudové a napěťové transformátory se vyrábějí podle platných norem, je možné je ověřovat pro energetiku, s výstupem 1 a 5 A. Speciálně někteří zákazníci požadují transformátory s výstupem 100 či 20 mA – ty však nepodléhají normám pro měřicí transformátory. Slouží především jako proudové senzory. Stabilizované a nestabilizované zdroje jednofázové, třífázové a speciální regulační zdroje vyrábíme prozatím na objednávku a prozatím nejsou ani na internetu. Zákaznické vinuté díly tvoří nedílnou část našeho výrobního programu. V poslední době máme stále více finálních výrobků. Za zmínku stojí měření magnetického pole u rotorů, resp. statorů motorů, cínovací lázeň s titanovým kelímkem, testovací zařízení související s magnetizmem především pro zákazníky.

Rád bych ještě zmínil službu pro občany i firmy týkající se převinutí cívek, elektromagnetů, elektromagnetických ventilů a spojek pro veterány a různá zařízení, k nimž již není možné sehnat originální vinuté díly a se kterými se nemožou rozloučit.

## Jak byste charakterizoval vaši obchodní politiku?

Naše aktivita v České a Slovenské republice pokrývá 95 % našeho obrátu. Samozřejmě nám dělají vrásky výrobci z asijských zemí. Z tohoto důvodu se snažíme o nové unikátní výrobky v malých množstvích, zavádět automatizaci do výroby a do výstupní kontroly (měří se každý vyrobený kus), poskytujeme zákazníkům poradenskou službu, snažíme se udržovat maximální sortiment výrobků a v poslední řadě se zabýváme vývojem nových produktů včetně použití nových materiálů. Velkou roli hrají zákaznické výrobky nebo společný vývoj se zákazníkem. Sázíme na kvalitu, dodržování termínů, inovaci, příznivou cenu našich výrobků a především spokojenost zákazníků. Předcházející věta je všeobecně jasná, ale splnit ji, znamená veliké úsilí.

Děkuji vám za rozhovor a přeji realizaci všech vašich cílů.

Připravil Ing. Jaroslav Belza



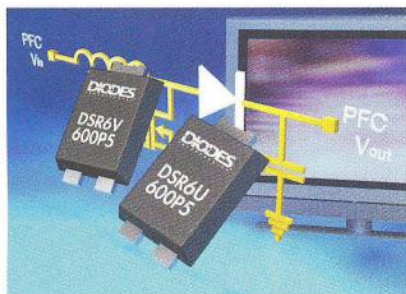
Jedno- a třífázové regulovatelné AC zdroje s výstupním proudem až 15 A

## SVĚTOZOR



### Vysokonapětové usměrňovače

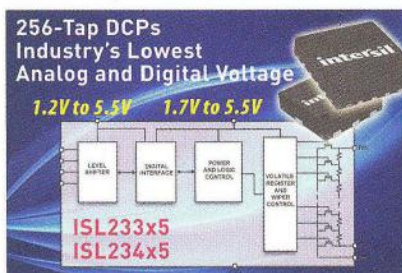
Firma **Diodes Inc.** ([www.diodes.com](http://www.diodes.com)) rozšířila sortiment řady Diode-Star o dva nové 600V usměrňovače určené pro výkonové měniče s korekcí účinníku PFC pracující v kontinuálním módu CCM, pro řízení pohonů, spínané zdroje TV přijímačů nebo jako rekuperační diody pro osvětlovací systémy s výbojkami s velkou svítivostí. Diody DSR6V600PS ( $U_{RRM} = 600\text{ V}$ ,  $U_F = 3\text{ V}$ ,  $I_O = 6\text{ A}$ ,  $t_{RRmax} = 23\text{ ns}$ ,  $Q_{RR} = 135\text{ nC}$ ) a DSR6U600PS ( $U_{RRM} = 600\text{ V}$ ,  $U_F = 2,6\text{ V}$ ,  $I_O = 6\text{ A}$ ,  $t_{RRmax} = 25\text{ ns}$ ,  $Q_{RR} = 220\text{ nC}$ ) se vyrábějí ve firemním pouzdře DI5 s výškou 1,1 mm a půdorysem 4,1 × 6,6 mm, které se vyznačuje velmi malým tepelným odporem, což umožňuje návrh obvodů s malou konstrukční výškou.



### Digitální potenciometry vystačí s menším napětím a spotřebou

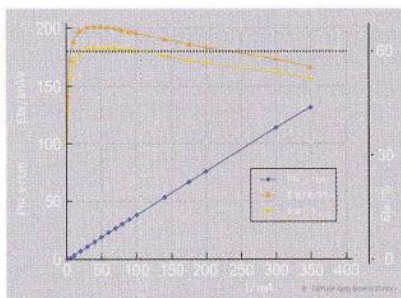
Firma **Intersil Corporation** ([www.intersil.com](http://www.intersil.com)) vyvinula novou řadu jednoduchých, dvojitých i čtyřnásobných digitálně řízených potenciometrů (DCP), které mají ve srovnání s konkurencí nejmenší napájecí napětí (stačí již 1,7 V), příkon a šum. ISL233x5 a ISL234x5 umožní flexibilní a spolehlivé nastavování napětí a odporu. Při napájení ze zdroje 5 V odeberají 2,8  $\mu\text{A}$ , což je o 40 až 50 % méně než u ekvivalentů od jiných výrobců. Poloha jezdce se ovládá po sběrnici I<sup>2</sup>C nebo SPI. K dispozici jsou potenciometry s celkovým odporem 10 k $\Omega$ , 50 k $\Omega$  a 100 k $\Omega$ . Lze je použít jako klasické třísvorkové potenciometry nebo dvousvorkové proměnné rezistory v přenosných lékařských přístrojích, síťových kartách, smartphonech a obecně v aplikacích vyžadujících digitální řízení odporu a napětí. Potenciometry jsou vyráběny v kompaktním pouzdře microTQFN, které je o 40 % menší než u DCP ostatních výrobců. Obvody ISL23315/23415 mají 10 pinů,

ISL23325/23425 14 pinů. U ISL23345/23445 s 20 piny je možné i provedení, které využívá pouzdro TSSOP.



### Rekordní červená LED

Ve výzkumné laboratoři firmy **Osram Opto Semiconductor**, dceřiné společnosti firmy Osram ([www.osram-os.com](http://www.osram-os.com)), byl dosažen nový rekord v účinnosti přeměny elektrické energie na světlo. S čipem o ploše 1 mm<sup>2</sup> umístěným v laboratorním pouzdře a vyzařujícím na vlnové délce 609 nm bylo při pracovním proudu 40 mA dosaženo zatím nejvyššího měrného světelného výkonu 201 lm/W, což představuje účinnost této přeměny 61 %. Ještě při typickém pracovním proudu 350 mA je při účinnosti 168 lm/W přeměněna na světlo více než polovina elektrické energie. Předpokládá se, že obdobné výsledky budou dosaženy i na ostatních vlnových délkách. To, že stejného jasu bude možné dosáhnout s méně čipy, uvolňuje prostor návrhářům světelných zdrojů např. pro automobilový průmysl, ale i vytvořit bílé světlo od teplé bílé přes neutrální k denní pomocí směšovací systémů, jakým je např. OSRAM Brilliant Mix.



### Mikromechanický akcelerometr s digitálním zpracováním signálu

Firma **STMicroelectronics** ([www.st.com](http://www.st.com)) patří k předním světovým výrobcům mikromechanických (MEMS) senzorů pro přenosné přístroje spotřební elektroniky. Zvláště s MEMS akcelerometry se setkáváme stále častěji např. v mobilních telefonech, navigacích, fotoaparátech, herních přístrojích a krokoměrech, kde slouží pro detekci a měření polohy nebo pohybu včetně specifických gest. Použit je ale lze i k monitorování vibrací a rázů. Nové možnosti přináší tříosý

akcelerometr LIS3DSH, který měří s velkou přesností a časovou i teplotní stabilitou zrychlení ve volitelných rozsazích  $\pm 2$ ,  $\pm 4$ ,  $\pm 8$  nebo  $\pm 16\text{ g}$ , a navíc má přímo na čipu senzoru obvody umožňující programovatelné zpracování měřených signálů. Výstupní data v 16bitovém tvaru jsou k dispozici na sériovém rozhraní I<sup>2</sup>C/SPI. Z dalších předností lze uvést velmi malou spotřebu při napájení 1,7 až 3,6 V, vestavěný teplotní senzor, paměť FIFO a možnost testu funkčnosti. LIS3DSH se vyrábí v miniaturním pouzdře LGA-16 (3 × 3 × 1 mm) a je zaručeně funkční při teplotách od -40 do +85 °C.



### IO pro řízení nabíjení superkondenzátorů

**Texas Instruments** ([www.ti.com](http://www.ti.com)) uvádí na trh bq33100, první integrovaný obvod pro řízení nabíjení superkondenzátorů, jejich monitorování a vyrovnávání napětí. Obvod měří napětí, nabíjecí a vybíjecí proudy, stav nabití, efektivní sériový odpor (ESR), svody a teplotu jednotlivých superkondenzátorů v baterii vytvořené z 2, 3, 4 a 5 těchto součástek nebo celé baterie z až 9 superkondenzátorů. Přesnost měření zaručuje 16bitový delta-sigma A/D převodník, spolupracující se 16kanalovým multiplexerem. Obsahuje i ochranné funkce, např. proti poškození přepětím, přehřátí a přebíjení při nabíjení a udržuje tím celou baterii v kondici. Ke komunikaci se systémem slouží dvoudrátová sběrnice SMBus. Napájecí proud řídicího obvodu je menší než 450  $\mu\text{A}$ , v klidovém režimu klesá pod 1  $\mu\text{A}$ . Pracovní teplota může být v rozsahu -40 až +85 °C. Předpokládá se použití při náhradě zálohovacích baterií, v radiích rychlých pamětí, systémech RAID, lékařských a dalších přenosných přístrojích. bq33100 je umístěn v kompaktním 24pinovém pouzdře TSSOP, které má půdorys 7,8 × 6,4 mm.

JH



# AR ZAČÍNAJÍCÍM A MÍRNĚ POKROČILÝM

## AM vysílač s malým výkonem (Pokračování)

Osadte modulátor bez vazebního kondenzátoru C8 a rezonančního obvodu LC a změřte stejnosměrná napětí na tranzistorech. Na bázi T4 je napětí 3,5 V, na emitoru má být asi 2,8 V a na kolektoru 5,2 V. Tranzistory T2 a T3 mají napětí báze vůči zemi 5,7 V. Na kolektoru T2 je přibližně 14,6 V. Připojte vstup indikátoru TP2 na kolektor T3, tj. do TP5 a připojte oscilátor přes C8. Na výstupu indikátoru, tj. na kondenzátoru C14 naměříte multimetrem napětí odpovídající amplitudě vř signálu na kolektoru T3. Osadte LC. Nezapojeny zůstanou C13, L2 a anténa. Naladte L na největší výchylku indikátoru (1,12 V).

Cívka L na obr. 5 pochází z oscilátoru AM rádia – má červené jádro. Její indukčnost (podle toho, jaké zvolíte vinutí) lze měnit v rozsahu 5 až 8  $\mu\text{H}$  – zjištěno měřením. Kapacita C pro rezonanci na kmitočtu použitého krystalu byla určena výpočtem uvedeným v předchozí části. Pro krystal 1 MHz to je 3,6 nF. Pro jemnou změnu vysílačiho kmitočtu lze doplnit kondenzátorový trimr v sérii s krystalem.

Pro dosah vysílače je nadále určující anténa. Čtvrtvlnná drátová anténa pro kmitočet 1 MHz by měla mít délku přibližně  $300 \cdot 106/1 \text{ MHz}/4 = 75 \text{ m}$ . To je pro domácí použití nepraktické, a proto je použita zkrácená a méně účinná forma – prutová anténa s délkou 115 cm s předřazenou (tzv. prodlužovací) cívku L2. Indukčnost cívky L2 kompenzuje kapacitní charakter příliš krátké antény a v optimálním případě je s kapacitou krátké antény v sériové rezonanci. Pro zvolený kmitočet vysílání musíme najít optimální indukčnost cívky L2.

S prutovou anténou dlouhou 115 cm postačila pro požadované pokrytí signálem na kmitočtu 1 MHz indukčnost 1 mH. Delší anténa nebo vyšší kmitočet potřebují menší předřazenou indukčnost, naopak kratší anténa nebo nižší kmitočet po-

třebují větší indukčnost cívky L2. Příliš velká indukčnost však posune naladění dvojice za optimum a účinnost se opět zmenšuje. S dobře naladěnou anténou by se mělo napětí na výstupu indikátoru amplitudy zmenšit na polovinu. Vyladění však není třeba řešit, je-li dosaženo potřebného dosahu.

Anténu, která je relativně krátká vzhledem k vlnové délce, je obtížné naladit. Má velmi malý vyzařovací odpor v sérii s její velmi malou kapacitou. Výkon spotřebovaný na vyzařovací odpor je výkon vyzařovaný. Prodlužovací cívka L2 pomáhá dostat do rezonance sériovou kapacitu, což zvětší činný proud do antény a tím i vyzařovaný výkon. Po změně L2 je vhodné zkontrolovat doladění rezonančního obvodu LC.

AM vysílač lze s odpovídajícími změnami délky antény, krystalu a laděných obvodů použít i pro nižší pásma krátkých vln na rozsahu:

\* 49 metrů (asi 5,80 až 6,25 MHz) a

\* 41 metrů (asi 7,00 až 7,60 MHz).

Pro vyšší pásma (kmitočty) by bylo třeba zmenšit kapacity kondenzátorů C1, C2, C7 a C9.

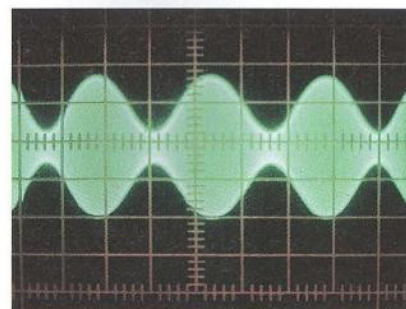
Deska s plošnými spoji vyrobená metodou dělicích čar je na obr. 4. Společná zemní plocha není nutná a není zde aplikována. Pokud budete navrhovat desku vlastní, můžete druhou stranu desky pro zemní plochu použít. Tato plocha zmenšuje možnost vzniku parazitních zpětných vazeb v případě, že rozmístění součástek není optimální. Kondenzátory C2 a C9 mezi kolektorem a bází diferenčního zesilovače by měly mít co nejkratší vývody. Napájecí napětí 15 V musí být blokováno kondenzátory C5, C11 a C15. Rezistor R13 v emitoru modulátoru je přemostěn sériovou kombinací R1 a C6. Tato kombinace zvětšuje citlivost modulátoru – rozkmit vstupního signálu pro 100% modulaci je kolem 0,1 V, což je typická úroveň většiny zdrojů signálu. Bez R1 a C6 je potřebný rozkmit modulačního signálu pro

100% modulaci podstatně větší, asi 1 V. Zakmitává-li vysílač při modulaci, zmenšete modulační napětí a následně zkuste zmenšit napájecí napětí. Ve vzorku byly použity tranzistory BC337-40. Krystal lze za cenu horší stability nahradit sériovou kombinací cívky a kondenzátoru. Cívky s červeně značeným jádrem jsou určené pro oscilátory v AM přijímačích a mají indukčnost kolem 220  $\mu\text{H}$  (použít  $C = 120 \text{ pF}$ ) nebo kolem 7  $\mu\text{H}$  ( $C = 3,6 \text{ nF}$ ).

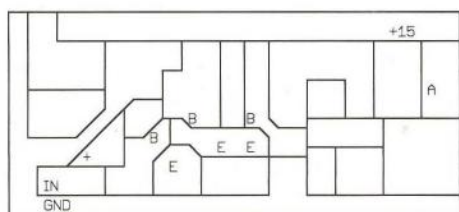
S překlemovaným R4 byl naměřen na kolektoru T3 signál s mezivrcholovým rozkmitem 8 V, což odpovídá efektivnímu napětí 2,8 V. Nezkřácená naladěná čtvrtvlnná anténa (délka 75 m pro 1 MHz) má odpor přibližně 36  $\Omega$ . Z koncového stupně by při napětí 2,8 V odebírala vř proud 77 mA. Při rozladění antény se proud zmenší. Účinnost (naladění) antény můžeme posoudit také měřením příkonu vysílače bez antény a s anténou. Naladěná anténa by měla po připojení zvětšit příkon vysílače.

S krátkou drátovou anténou zachytíte signál vysílače v okruhu několika metrů. Příště si ukážeme modifikaci rezonančního obvodu vysílače pro výstupní transformátor a smyčkovou magnetickou anténu, která je pro toto pásmo vhodnější.

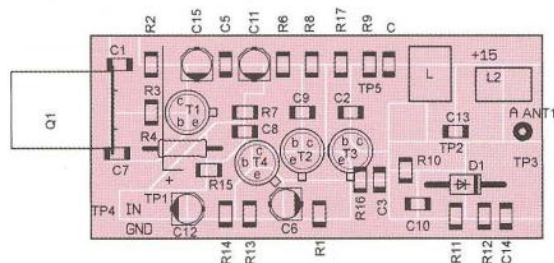
VP  
(Pokračování příště)



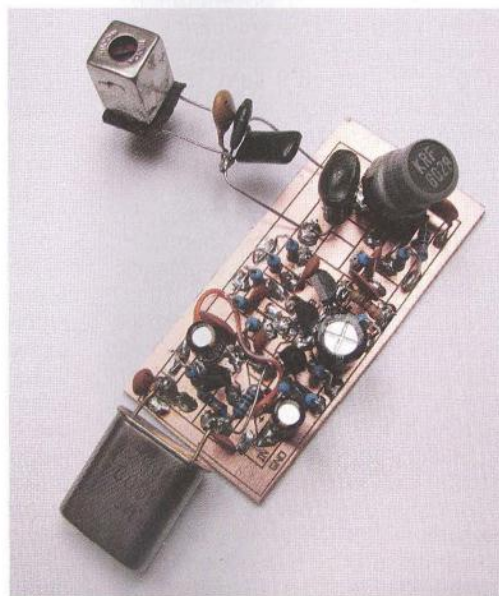
Obr. 7. Vř signál modulovaný  
nf signálem 0,07 V/1 kHz



Obr. 4 a 5.  
Deska s plošnými  
spoji AM vysílače  
(60 x 27 mm)  
a osazení desky



Obr. 6.  
Provedení  
AM vysílače



# Mikrokontroléry PIC (50)



## Modul CCP v módu Compare

V předchozích dílech seriálu o mikrokontrolérech PIC byl uveden podrobný popis modulu CCP (Capture/Compare/PWM) mikrokontroléru PIC16F88 včetně několika ukázkových programů, které využívaly mód Capture a PWM. Dozvěděli jste se například, jak je možné využít mód Capture pro měření periody obdélíkového signálu (viz PE-AR 12/2011), příp. pro měření délky impulzu nebo středy (PE-AR 01/2012) nebo jste si mohli vyzkoušet řídit jas LED signálem PWM (minulý díl).

V módu Compare se konstantně porovnává aktuální hodnota 16bitového časovače TIMER1 (tj. obsah registru TMR1) s hodnotou nastavenou v registrech CCPR1. Je-li detekována shoda, vykoná se v závislosti na nastavení příslušných konfiguračních bitů CCP1M v registru CCP1CON jedna z následujících čtyř akcí:

- nastaví se úroveň H na pinu CCP1 (CCP1M = 1000),
- nastaví se úroveň L na pinu CCP1 (CCP1M = 1001),
- generuje se pouze přerušení (úroveň na pinu CCP1 se nezmění; CCP1M = 1010),
- spustí se A/D převod (nemá vliv na úroveň na pinu CCP1; CCP1M = 1011).

Dále se rovněž nastaví příznakový bit CCP1IF (registru PIR1<2>) a vyvolá se přerušení (je-li povoleno). Blokové schéma modulu CCP v režimu Compare bylo uvedeno na obr. 61 v PE-AR 11/2011, kde byste rovněž našli další informace o modulu CCP a podrobnosti o jednotlivých jeho módech včetně popisu bitů registru CCP1CON, který slouží ke konfiguraci modulu CCP.

Čtvrtá z výše uvedených akcí nastavuje interním signálem bit GO/DONE (registru ADCON<2>) a tím iniciuje A/D konverzi v případě, že je modul A/D převodníku povolen. Navíc se však v okamžiku, kdy je TMR1 = CCPR1, (na rozdíl od zbývajících tří akcí) rovněž vynuluje časovač TIMER1. Registry CCPR1 tak v tomto módu vlastně slouží k nastavení periody časovače TIMER1.

K čemu je možné mód Compare využít? Tento mód rozšiřuje možnosti 16bitového časovače TIMER1. Umožňuje rozdělit periodu časovače na dva intervaly, přičemž mohou být vyvolána dvě přerušení – při přetečení časovače TIMER1 a při dosažení intervalu uloženého v registrech CCPR1. Modul navíc umožňuje v okamžiku, kdy je TMR1 = CCPR1, nastavit úroveň H nebo L na pinu CCP1. Mód Compare tedy můžeme využít pro generování akcí v přesných časových intervalech.

V tab. 66 je uveden jednoduchý program, který ukazuje použití módu Compare pro generování periodických přerušení. Tuto techniku můžeme využít v případech, kdy vyžadujeme, aby náš program běžel nepřetržitě v hlavní smyčce, a zároveň chceme nezávisle na hlavním programu provádět periodicky určitou aktivitu. Touto aktivitou může být zahájení A/D konverze (což umí, jak jsme si již řekli, modul CCP automaticky), ale rovněž typicky jakákoliv jiná aktualizace dat (např. čtení dat z externích periférií, senzorů apod. nebo naopak odesílání dat do dalších zařízení, aktualizace zobrazených údajů atd.). Periodická přerušení mohou být též generována při

přetečení některého z časovačů. Výhodou módu Compare je však zejména 16bitové rozlišení a přesnost nastavení intervalu, aniž bychom museli dopočítávat a při každém přerušení nastavovat hodnotu příslušného časovače.

Na začátku programu z tab. 66 se provádí standardní inicializace portů (v tomto případě jsou všechny piny nastaveny jako výstupy, nicméně konkrétní konfigurace bude záviset na dané aplikaci), dále je povoleno přerušení od modulu CCP a modul CCP je nastaven do módu Compare. Pověšme si, že CCP1M = 1011. Pokaždé, kdy je zaznamenána shoda hodnot registrů TMR1 a CCPR1, by se tedy měl zahájit A/D převod a vynulovat registr TMR1. My však v daném programu nikde A/D převodník nepovolujeme, využíváme tedy pouze vyvolané přerušení a automatické vynulování registru TMR1. Registry CCPR1, do kterých následně nahrajeme hodnotu 1234h, tedy slouží k nastavení periody časovače TIMER1. Následuje konfigurace časovače TIMER1 (dělicí poměr předděličky lze změnit podle požadavků aplikace) a na závěr povolení přerušení.

**Úkol 1:** Vypočítejte délku intervalu mezi vyvolanými přerušeními na základě zdrojového kódu uvedeného v tab. 66. Pokuste se tuto dobu vypočítat, aniž byste se dívali na následující řešení. Ve hře je několik faktorů, které byste měli být schopni (čtete-li tento seriál pravidelně) odhalit a korektně aplikovat. Správnost vašeho výpočtu ověřte v simulátoru pomocí nástroje StopWatch (stopky).

**Řešení:** Víme, že jeden instrukční cyklus mikrokontroléru trvá čtyři periody oscilátoru. Dále je ze zdrojového kódu patrné, že časovač TIMER1 má přiřazenu předděličku s dělicím poměrem 1:8. Protože není v programu nastaven kmitočet interního oscilátoru, používá se výchozí kmitočet 31,25 kHz. Dále můžeme z programu v tab. 66 vyčíst, že perioda nastavená v registrech CCPR1 je 1234h, tedy dekadicky 4660. Vzorec pro výpočet intervalu mezi vyvolanými přerušeními bude vypadat následovně:

$$T = (1/f_{OSC}) \cdot 4 \cdot TMR1PRE \cdot CCPR1 = (1/31250) \cdot 4 \cdot 8 \cdot 4660 = 4,77184 \text{ s,}$$

kde TMR1PRE je dělicí poměr předděličky časovače TIMER1 (1, 2, 4 nebo 8). Pokud by byl tedy kmitočet oscilátoru přesně 31,25 kHz, délka intervalu mezi vyvolanými přerušeními by byla 4,77184 s.

**Úkol 2:** Ověřte funkčnost programu z tab. 66 na zapojení z obr. 67 (viz PE-AR 1/2012). Každých 4,77 s změňte úroveň na pinu RB0 a tím rozblíkejte LED připojenou k tomuto vývodu.

**Řešení:** Do vyznačené části procedury pro obsluhu přerušení přidejte následující instrukce:

```
MOVLW .1
XORWF PORTB, f
```

## Generování signálu PWM s 16bitovým rozlišením s využitím módu Compare

V minulém dílu byl uveden program (viz tab. 65), který měnil jas LED připojené k vývodu RB0/CCP1 změnou středy PWM signálu. Signál s impulzně šířkovou modulací byl generován modulem CCP nastaveným do módu PWM, přičemž maximální rozlišení takto generovaného signálu bylo 10 bitů. Na

programu jste si mohli vyzkoušet, že při použití menšího rozlišení (zkoušeli jsme rozlišení 8 bitů) jsou patrné u nejmenších intenzit mezi změnami jasu výraznější skoky a že při příliš malém kmitočtu PWM signálu svítí dioda nepatrně (ale vcelku nepříjemně) poblikává.

Může se stát, že rozlišení 10 bitů u PWM signálu nebude pro danou aplikaci dostačující. V takovém případě si musíme signál PWM vygenerovat programově, k čemuž můžeme využít modulu CCP nastaveného do módu Compare a dosáhnout tak rozlišení 16 bitů. Výhodou módu PWM modulu CCP je, že pro generování signálu využívá interní Q cykly mikrokontroléru, čímž je možné při daném kmitočtu oscilátoru a daném rozlišení dosáhnout maximálního možného kmitočtu PWM signálu. V případě programového generování PWM signálu toto možné není, a proto je nutný pro dosažení stejného kmitočtu PWM signálu podstatně vyšší (minimálně čtyřikrát) kmitočet oscilátoru, o čemž se konečnou ještě přesvědčíme.

Při implementaci generátoru PWM signálu s rozlišením 16 bitů můžeme postupovat následujícím způsobem:

1. Modul CCP nastavíme do módu CCP1M<3:0> = 1001 (mód Compare, na vývodu CCP1 se nastaví úroveň L v okamžiku, kdy je CCPR1 = TMR1).
2. Povolíme přerušení od časovače TIMER1.
3. Povolíme časovač TIMER1, v případě potřeby můžeme časovači přiřadit předděličku, kterou můžeme snížit kmitočet PWM signálu.
4. Nastavíme požadovanou střihu (délku impulzu) PWM signálu prostřednictvím registru CCPR1.
5. Při přetečení časovače TIMER1 nastavíme v proceduře pro obsluhu přerušení na pinu CCP1 úroveň H.

Na začátku periody časovače TIMER1 se tedy nastaví na pinu CCP1 úroveň H a ta zde zůstane až do doby, kdy časovač dosáhne hodnoty uložené v registrech CCPR1. Poté modul CCP nastaví na pinu CCP1 automaticky úroveň L, která zde setrvá po zbytek periody časovače TIMER1 (tj. do dalšího přetečení). Musíme si pouze uvědomit, že se úroveň H na pinu CCP1 nenastaví přesně v době, kdy je TMR1 = 0, ale s určitým zpožděním. Tento offset, který závisí na konkrétní implementaci procedury pro obsluhu přerušení, bychom pak měli vzít v úvahu a v případě potřeby přičíst k hodnotě nastavené v registrech CCPR1.

V tab. 67 je uveden program, který má stejnou funkci jako program z tab. 65 (viz minulý díl) a postupně pomocí impulzně šířkové modulace zvětšuje jas LED, která je připojena k vývodu RB0/CCP1 přes předřadný rezistor 220 Ω na GND (schéma zapojení bylo uvedeno na obr. 67 v minulém dílu). Jas LED se opět zvětšuje exponenciálně, díky rozlišení 16 bitů však nyní ve více (celkem ve 42) krocích při využití stejného algoritmu. Hodinový signál mikrokontroléru je generován interním RC oscilátorem, jehož kmitočet je 8 MHz (což je u mikrokontroléru PIC16F88 maximální kmitočet interního oscilátoru). Při této konfiguraci bude kmitočet PWM signálu:

$$f_{PWM} = f_{OSC} / (4 \cdot 65536 \cdot TMR1PRE) = 8 \cdot 10^6 / (4 \cdot 65536 \cdot 1) = 30,52 \text{ Hz,}$$

kde TMR1PRE je dělicí poměr předděličky časovače TIMER1 (1, 2, 4 nebo 8). Můžete se sami přesvědčit, že tento kmitočet není pro řízení jasu LED dostačující a svítivá dioda bude mírně poblikávat. Pro dosažení svitu, který vnímá lidské oko nepřerušovaně,

bychom museli v tomto případě použít externí krystalový oscilátor, jehož maximální kmitočet je 20 MHz. (V programu z tab. 67 bychom pak museli v direktivě `__CONFIG` změnit příslušné konfigurační bity pro nastavení oscilátoru nahrazením `_INTRC_IO` za `_HS_OSC`.) Dále si povšimněte, jakým způsobem se v proceduře pro obsluhu přeruše-

ní v programu v tab. 67 nastavuje na pinu RB0/CCP1 úroveň H. Mikrokontrolér PIC16F88 neumožňuje v použitém módu CCP1M<3:0> = 1001 řídit úroveň na pinu CCP1 standardním zápisem do bitu `PORTB<0>`. Po vyvolání přerušení se tedy místo toho v registru CCP1CON znovu nastaví mód Compare CCP1M<3:0> = 1001.

Výběrem módu Compare, který mění úroveň na pinu CCP1, se na tomto pinu nastaví opačná úroveň, než je úroveň požadovaná při shodě hodnot registrů TMR1 a CCPR1, tedy v tomto případě úroveň H.

Vit Špringl  
(Pokračování příště)

Tab. 66. Zdrojový kód programu pro generování periodických přerušení s využitím modulu CCP nastaveného do módu Compare

```

title „Generování periodických přerušení v módu Compare“
LIST      p=16F88      ; nastavení typu procesoru
#include   <P16F88.INC> ; definice proměnných pro tento procesor
;==== NASTAVENÍ KONFIGURAČNÍHO SLOVA ====
CONFIG    CONFIG1, CP_OFF & CCP1_RB0 & DEBUG_OFF &
_WRT_PROTECT_OFF & CPD_OFF & LVP_OFF & BODEN_OFF &
_MCLR_ON & PWRTE_ON & WDT_OFF & INTRC_IO
_CONFIG    CONFIG2, IESO_OFF & FCMEN_OFF
;==== DEFINICE PROMĚNNÝCH ====
CBLOCK    0x70
W_temp    ; dočasné uložení obsahu registru W při
           ; vyvolání přerušení
status_temp ; dočasné uložení obsahu registru
           ; STATUS při vyvolání přerušení
ENDC
;==== VEKTOR RESETU ====
RESET     ORG 0x0000 ; začátek programu na adrese 0000h
GOTO     INIT
;==== OBSLUHA PŘERUŠENÍ ====
ISR        ORG 0x0004 ; vektor přerušení
; Uložení obsahu registru W a STATUS
MOVWF    W_temp      ; W -> W_temp
MOVF     STATUS, W   ; W -> W_temp
MOVWF    status_temp ; STATUS -> status_temp
; Kód periodické aktivity zde...
BCF      STATUS, RP0 ; výběr banky 0
BCF      PIR1, CCP1IF ; vynulování příznaku přerušení od modulu CCP
; Nahrání obsahu registru W a STATUS
MOVF     status_temp, W ; status_temp -> STATUS
MOVWF    STATUS
SWAPF   W_temp, f      ; W_temp -> W
SWAPF   W_temp, W      ; návrat z přerušení
RETDFIE
;==== PROGRAM ====
INIT
; Inicializace portů
CLRF    PORTA      ; inicializace portu A
CLRF    PORTB      ; inicializace portu B
BSF     STATUS, RP0 ; výběr banky 1
CLRF    ANSEL      ; piny AN<6:0> jako digitální I/O
CLRF    TRISA      ; piny RA<7:0> jako výstupy
CLRF    TRISB      ; piny RB<7:0> jako výstupy
; Nastavení přerušení
BSF     PIE1, CCP1IE ; povolení přerušení od modulu CCP
BSF     INTCON, PEIE ; povolení periferních přerušení
BCF     STATUS, RP0 ; výběr banky 0
; Nastavení modulu CCP
MOVLW   b'00001011' ; mód Compare
MOVWF   CCP1CON
MOVLW   0x12
MOVWF   CCPR1H
MOVLW   0x34
MOVWF   CCPR1L
; Nastavení časovače TIMER1
MOVLW   b'00110001' ; předdělička 1:8, hod. signál odvozen
MOVWF   T1CON        ; od fOSC/4, TIMER1 zapnut
; Povolení systému přerušení
BSF     INTCON, GIE ; povolení celého systému přerušení
MAIN
; Libovolný kód hlavní smyčky zde...
GOTO    MAIN
END

```

Tab. 67. Zdrojový kód programu pro řízení jasu LED signálem PWM, který je generován programově s využitím modulu CCP nastaveného do módu Compare

```

title „Řízení jasu LED signálem PWM generovaným modulem CCP v módu Compare“
LIST      p=16F88      ; nastavení typu procesoru
#include   <P16F88.INC> ; definice proměnných pro tento procesor
;==== NASTAVENÍ KONFIGURAČNÍHO SLOVA ====
; Pin CCP1 je RB0
_CONFIG    CONFIG1, CP_OFF & CCP1_RB0 & DEBUG_OFF &
_WRT_PROTECT_OFF & CPD_OFF & LVP_OFF & BODEN_OFF &
_MCLR_ON & PWRTE_ON & WDT_OFF & INTRC_IO
_CONFIG    CONFIG2, IESO_OFF & FCMEN_OFF

```

```

;==== DEFINICE PROMĚNNÝCH ====
CBLOCK    0x70
d1        ; pomocná proměnná pro prodlevu při
           ; změně jasu
pwmL, pwmH ; pomocné proměnné při výpočtu středy
           ; PWM signálu
ENDC
;==== KONSTANTY ====
#define    DEL        0x6 ; velikost prodlevy při změně jasu
;==== VEKTOR RESETU ====
RESET     ORG 0x0000 ; začátek programu na adrese 0000h
GOTO     INIT
;==== OBSLUHA PŘERUŠENÍ ====
ISR        ORG 0x0004 ; vektor přerušení
CLRF     CCP1CON
MOVLW   b'00001001'
MOVWF   CCP1CON ; nastav CCP1=H, úroveň L při CCPR1=TMR1
BCF     PIR1, TMR1IF ; vynulování příznaku přerušení od
           ; časovače TIMER1
DECFSZ  d1, f      ; výpočet prodlevy
RETDFIE
MOVLW   DEL
MOVWF   d1
CALL    CHANGE_LED ; změna jasu LED
RETDFIE ; návrat z přerušení
;==== PROGRAM ====
INIT
; Inicializace portů
CLRF    PORTA      ; inicializace portu A
CLRF    PORTB      ; inicializace portu B
BSF     STATUS, RP0 ; výběr banky 1
CLRF    ANSEL      ; piny AN<6:0> jako digitální I/O
CLRF    TRISA      ; piny RA<7:0> jako výstupy
CLRF    TRISB      ; piny RB<7:0> jako výstupy
; Nastavení přerušení
BSF     PIE1, TMR1IE ; povolení přerušení od časovače TIMER1
BSF     INTCON, PEIE ; povolení periferních přerušení
; Nastavení interního oscilátoru
MOVLW   b'01110000' ; f = 8 MHz
MOVWF   OSCCON
BCF     STATUS, RP0 ; výběr banky 0
; Nastavení modulu CCP
MOVLW   b'00001001' ; mód Compare,
MOVWF   CCP1CON      ; nastav úroveň L při CCPR1=TMR1
; Nastavení časovače TIMER1
MOVLW   b'00000001' ; předdělička 1:1, hod. signál
MOVWF   T1CON        ; odvozen od fOSC/4, TIMER1 zapnut
CALL    CLEAR
BSF     INTCON, GIE ; povolení celého systému přerušení
MAIN
; Případný další kód v hlavní smyčce
GOTO    MAIN
CHANGE_LED
MOVF    CCPR1L, W
MOVWF   pwmL        ; pwmL = CCPR1L
MOVF    CCPR1H, W
MOVWF   pwmH        ; pwmH = CCPR1H
RRF     pwmH, f      ; rotace pwmH vpravo, LSB -> C
RRF     pwmL, f      ; rotace pwmL vpravo, C -> MSB
RRF     pwmH, f      ; rotace pwmH vpravo, LSB -> C
RRF     pwmL, f      ; rotace pwmL vpravo, C -> MSB
MOVLW   b'00111111'
ANDWF   pwmH, W      ; pwmH<7:6> = 00, výsledek -> W
ADDWF   CCPR1H, f    ; CCPR1H = CCPR1H + W (pwmH)
BTFSZ  STATUS, C    ; došlo k přetečení?
GOTO    CLEAR        ; - ano: výchozí jas a návrat
MOVF    pwmL, W      ; W = pwmL
BTFSZ  STATUS, Z    ; W (pwmL) = 0?
MOVLW   0x01
ADDWF   CCPR1L, f    ; CCPR1L = CCPR1L + W (pwmL nebo 1)
BTFSZ  STATUS, C    ; došlo k přetečení?
RETURN ; - ne: návrat
INCF   CCPR1H, f    ; - ano: CCPR1H = CCPR1H + 1
BTFSZ  STATUS, Z    ; došlo k přetečení?
RETURN ; - ne: návrat
; - ano: výchozí jas...
CLEAR
MOVLW   0x09
MOVWF   CCPR1L
CLRF    CCPR1H
RETURN
END

```



# JEDNODUCHÁ ZAPOJENÍ PRO VOLNÝ ČAS

## Jednoduchý zdroj s elektronickou poistkou

Zdroj jednosmerného stabilizovaného napätia je základným vybavením každého elektronika. Preto sú stále aktuálne návody na takéto zariadenia, najmä jednoduchšej koncepcie pre mladších a začínajúcich amatérov. Do takejto kategórie patrí aj tento príspevok.

### Úvod

Pre pokusy v oblasti elektroniky by mal byť zdroj vybavený elektronickou nadprúdovou poistkou pre prípady preťaženia a skratu. Väčšina týchto poistiek má na výstupe rezistor s takým odporom, aby pri prietoku maximálneho dovoleného prúdu vzniklo na ňom napätie približne 0,7 V. Podľa princípu činnosti môžeme potom poistku rozdeliť na tri druhy.

V prvom prípade je na tento rezistor pripojený tranzistor bázou a emitorom. Tento tranzistor sa pri napätí približne 0,7 V otvorí a zablokuje výkonový tranzistor zdroja. Výstupom v tomto prípade tečie maximálny dovolený prúd až do odstránenia preťaženia. Trvalý prietok takéhoto prúdu môže v niektorých prípadoch viesť k poškodeniu pripojenej záťaže. Ďalšou nevýhodou je, že na výkonovom tranzistore sa musí pri preťažení a hlavne pri skrate rozptýliť veľký výkon.

V druhom prípade je na spomínaný rezistor pripojený tyristor pomocou katódy a riadiacej elektródy. Pri napätí okolo 0,7 V na týchto elektródach sa tyristor otvorí a zablokuje trvalo výstup zdroja. V tomto prípade pri preťažení alebo skrate tečie výstupom prúd rádovo mA. Ak chceme poistku odblokovať, musíme stlačiť tlačidlo, ktoré skratuje tyristor, ktorý sa dostane do nevodivého stavu a prestane blokovat' výkonový tranzistor.

Nevýhodou tejto poistky je, že pri pripojení kapacitnej záťaže poistka aj pri malých kapacitách rádovo desiatky nF vypína.

Tretia možnosť je poistka s kladnou spätnou väzbou. Pri preťažení tečie prúd rádovo v mA. Po odpojení záťaže je poistka automaticky pripravená k činnosti. Po pripojení kapacitnej záťaže sa aj táto poistka zablokuje, ale len na krátky čas. Pri kapacite 1000  $\mu\text{F}$  je to menej ako 2 sekundy. Tento typ poistky sa teda javí ako najvýhodnejší, a preto vznikol tento príspevok. Poistka je aj dostatočne rýchla. Ak pripojíme priamo na výstup miliampérmeter, ručička vôbec nekmitne, plynule sa vyšplhá na hodnotu výstupného prúdu. Rýchlosť si môžeme overiť aj pripojením bázy a kolektora nízkovýkonového tranzistora bez ochranného rezistora. Aj na rozsahu 1 A sa tranzistor, aj opakovaným pripájaním, nezničil.

Zapojenie zdroja je na obr. 1. Zdroj má nasledovné parametre:

- regulovateľné výstupné napätie 1,25 až 24 V,
- maximálny výstupný prúd je 1 A,
- prúdová poistka 0,1; 0,5 a 1 A,
- signalizácia preťaženia červenou LED,
- výstupný prúd pri preťažení a skrate je 8 mA pri vstupnom napätí 40 V,
- po odpojení záťaže automaticky návrat do pracovného režimu.

### Popis zapojenia

Striedavé napätie z transformátora Tr1 je usmernené diódami D1, D2. Kondenzátory C1, C2 znižujú rušenie, ktoré vzniká pri otvorení a zatváraní D1, D2. Kondenzátor C3 vyhladzuje jednosmerné napätie a C4 filtruje rušivé vf napätia. Elektronická poistka obsahuje tranzistory T1 a T2. Pri prechode prúdu cez rezistory R1, R2, R3 vzniká podľa polohy prepína-

ča PR1 na príslušných rezistoroch napätie  $U_B$ . Ak toto napätie dosiahne hodnotu  $U_{B\text{ MAX}} \approx 1,15\text{ V}$ , začne sa tranzistor T2 otvárať, a tým T1 zatvárať. Napätie na kolektore T1 sa znižuje. To ešte viac otvára T2, až sa T1 vplyvom tejto kladnej väzby uzavrie. Výstupom tečie prúd maximálne 8 mA. Na T1 je plné vstupné napätie a červená LED3 signalizuje preťaženie. Tento stav bude trvať, až pokiaľ neodpojíme záťaž. Signalizácia preťaženia pomáha - po odpojení záťaže - vrátiť poistku do pôvodného stavu. Je to nutné preto, lebo IO1 má vlastnú spotrebu asi 4,5 mA. Táto spotreba by držala poistku vo vypnutom stave aj po odpojení záťaže. Stabilizátor LM317T (IO1) je v zapojení podľa doporučenia výrobcu. Kondenzátory C5, C7 zabraňujú jeho rozkmitaniu. Dióda D5 zabraňuje zničeniu IO1 v prípade, že na výstup zdroja je pripojená kapacita, alebo nabíjaný akumulátor a poistka by vypla. Dióda D6 zabraňuje vybitiu kondenzátora C6 cez IO1 pri skrate na výstupe. Stabilizátor LM317T pracuje tak, že na rezistore R9 vytvára konštantné napätie  $U_{\text{REF}} \approx 1,25\text{ V}$  a pre správne fungovanie potrebuje, aby jeho výstupom tiekol prúd  $I_O = 4,5\text{ mA}$ .

### Výpočet hodnôt niektorých súčiastok

Ak vychádzame z výstupného prúdu IO1  $I_O = 4,5\text{ mA}$ , potom:

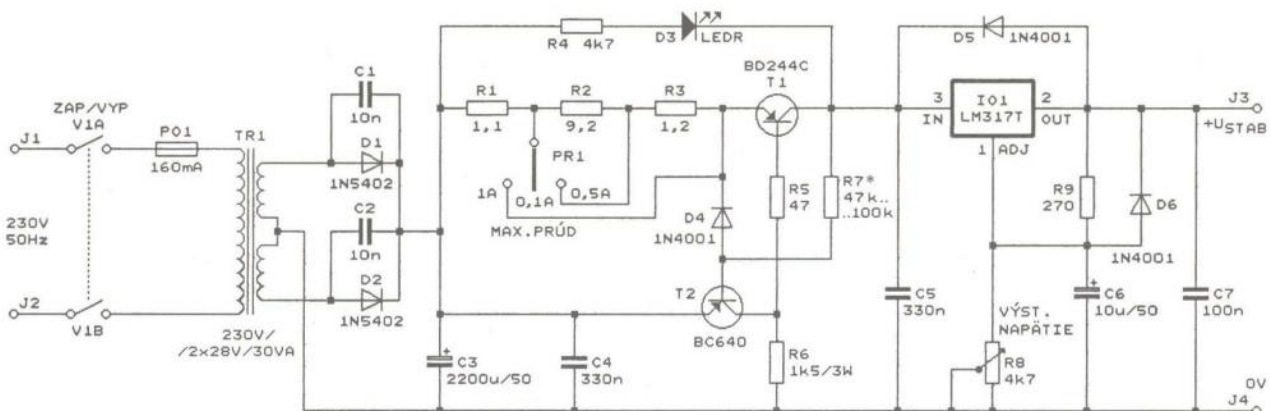
$$R9 = U_{\text{REF}}/I_O = 1,25/0,0045 = 270\ [\Omega].$$

Pre výstupné napätie  $U_{\text{STAB}}$  stabilizátora platí:

$$U_{\text{STAB}} = U_{\text{REF}}(1 + R8/R9) + I_{\text{ADJ}}R8.$$

$I_{\text{ADJ}}$  je asi 50  $\mu\text{A}$ , a preto člen  $I_{\text{ADJ}}R8$  môžeme zanedbať. Potom:

$$R8 = R9[(U_{\text{STAB MAX}}/U_{\text{REF}}) - 1] = 270 \cdot [(24/1,25) - 1] = 4914\ [\Omega].$$



Obr. 1. Schéma zapojenia jednoduchého zdroja s elektronickou poistkou

Najbližší odpor potenciometra R8 v rade E3 je 4,7 kΩ. S touto hodnotou dosiahneme maximálne výstupné napätie zdroja  $U_{STAB\ MAX}$  len okolo 23 V. Ak by sme chceli dosiahnuť 24 V, museli by sme zmenšiť odpor rezistora R9. Požadovaný odpor R9 vypočítame podľa vzorca:

$$R9 = R8[(U_{STAB\ MAX}/U_{REF}) - 1] = 4700[(24/1,25) - 1] = 258 [\Omega].$$

Z uvedeného vyplýva, že je niekedy vhodné R9 zložiť z rezistora o odpore 220 Ω a trimra o odpore 100 Ω, čo umožní nastavenie požadovaného napätia.

Pre jednoduchosť som zvolil prepínanie prúdových rozsahov poistky pomocou páčkového prepínača PR1 s neutrálnou polohou uprostred. Zvolené maximálne prúdy sú:  $I_{MAX\ 1} = 0,1\ A$ ,  $I_{MAX\ 2} = 0,5\ A$  a  $I_{MAX\ 3} = 1\ A$ . Potom:

$$R1 = U_{B\ MAX}/I_{MAX\ 3} = 1,15/1 = 1,15 [\Omega].$$

Na vytvorenie tejto hodnoty použijeme dva rezistory 2,2 Ω/2 W spojené paralelne. Ďalej:

$$R3 + R1 = U_{B\ MAX}/I_{MAX\ 2} = 1,15/0,5 = 2,3 [\Omega].$$

Odtiaľ:  $R3 = 2,3 - R1 = 1,2 [\Omega]$ .

Použijeme rezistor 1,2 Ω/1 W. Ďalej:

$$R3 + R2 + R1 = U_{B\ MAX}/I_{MAX\ 1} = 1,15/0,1 = 11,5 [\Omega].$$

Odtiaľ:  $R2 = 11,5 - R1 - R3 = 9,2 [\Omega]$ .

Túto hodnotu dosiahneme paralelným spojením rezistorov 10 Ω/0,6 W a 120 Ω/0,6 W.

### Použitie súčiastky

Transformátor Tr1 má sekundárne napätie 2x 28 V/30 VA. Vyššie sekundárne napätie je neprípustné, lebo maximálne vstupné napätie IO1 je 40 V. Pre začiatočníkov len pripomínam, že po usmernení striedavého napätia  $U_{ef}$  sa filtračný kondenzátor nabije (bez záťaže) na špičkové napätie  $U_m$ , čo je:  $U_m = U_{ef} \cdot 1,4$ . Existujú zapojenia s LM317 pre vyššie vstupné napätia, ale to už nie je témou tohto príspevku. Samozrejme, je možné použiť aj transformátor s nižším výstupným napätím. Pritom treba pamätať na to, že LM317 pre správnu činnosť potrebuje na vstupe napätie vyššie minimálne o 3 V ako je napätie na výstupe. Potrebný odpor R8 a prípadnú korekciu R9 vypočítame podľa skôr uvedeného postupu. Ak by sa poistka pri nižšom napätí spoľahlivo nevracala do pracovného režimu, treba použiť R4 s nižším odporom. Tranzistor T1 je výkonový PNP,

napr. KD616, KD617, BD244C a pod. Či má T1 dostatočné prúdové zosilnenie pre naše použitie zistíme tak, že zapojíme len T1, R5 a R6 podľa obr. 1. Na emitor privedieme usmerené vyfiltrované napätie. Na kolektor pripojíme takú záťaž, aby ňou tiekol prúd okolo 1 A. Na tranzistore musíme namerat' napätie menšie ako 150 mV. Ak je napätie vyššie, skúsime iný tranzistor, alebo použijeme R6 s menším odporom. T1 nepotrebuje chladič. T2 je PNP s prúdovým zosilnením väčším ako 120. Môže to byť KF517, KC638, KC640, BC640 a pod. Nepotrebuje chladič. IO1 je už spomenutý LM317T s max. výstupným prúdom 1,5 A. Musí byť na chladiči, ktorý je schopný rozptýliť výkon viac ako 20 W. D1 a D2 sú usmerňovacie diódy 1N5402 bez chladiča. Rezistory R4, R5, R7, R9 sú na záťaž 0,6 W. D4, D5 a D6 sú usmerňovacie diódy 1N4001. Popis ostatných súčiastok bol v predchádzajúcom texte, alebo je zrejmy z obr. 1.

V schéme zdroja sú nakreslené len nevyhnutné súčiastky. Zdroj je ešte možné doplniť napr. signalizáciou pripojenia na sieť, meraním prúdu a napätia.

Poistku je možné použiť aj s inými integrovanými stabilizátormi napätia, alebo stabilizátormi, ktoré sú vytvorené diskretnými tranzistorami. Je možné modifikovať ju pre použitie do zápornej vetvy pomocou tranzistorov NPN. V tomto prípade aj stabilizátor použijeme pre zápornú vetvu. Spojením oboch možností môžeme vytvoriť zdroj symetrického napätia s reguláciou napätia a prúdovou poistkou v každej vetve.

Popísaný zdroj je najvhodnejšie zabudovať do zakúpenej plastovej skrinky. Na zadný panel umiestnime poistkové puzdro pre Po1 a sieťový vypínač V1. Na predný panel signalizačnú LED3, prepínač Pr1 a vvedieme hriadeľ potenciometra R8. Prípadne ešte umiestnime merače výstupného napätia a prúdu.

So zdrojom môžeme jednoducho merať prierazné napätie Zenerových diód (ZD) a napätie v priepustnom smere usmerňovacích diód. Pri meraní ZD musí byť výstupné napätie zdroja asi o 5 V vyššie ako prierazné napätie, aby poistka reagovala. Ak by bol potrebný rozdiel vyšší, treba znížiť odpor rezistora R7. Pri meraní napätia v priepustnom smere stačí výstupné napätie vyššie len o niekoľko voltov. Na elektronickej poistke nastavíme pre istotu minimálny prúd. Ak sú horevedené podmienky splnené, na prúdovom rozsahu nezáleží. ZD pripojíme katódou na kladný pól zdroja a anódou na 0 V. Usmerňovaciu diódu pripojíme naopak, v priepustnom smere. Na voltmetri na výstupe zdroja nameriame prierazné

napätie ZD, resp. napätie v priepustnom smere meranej diódy pri prúde okolo 5 mA.

### Literatúra

[1] Černík, V.; Červenka, J.: Elektronická poistka jako laboratorní přístroj. Sdělovací technika 2/1969, str. 62.

Ing. Ivan Hálik

## Hladinový spínač

Ide o zapojenie hladinového spínača na odčerpávanie vody z pivnice a pod. pri ich zaplavaní, ktoré pracuje celkom automaticky.

Moja dcéra si kúpila rodinný dom v lokalite, kde sa pri dlhotrvajúcich dažďoch objavuje vo zvýšenej miere spodná voda, ktorá zaplavuje pivničné priestory. Nakoľko tento rok bol mimoriadne bohatý na vodné zrážky a dochádzalo k častému zaplavovaniu pivnice, musela dcéra spolu s manželom chodiť čerpať vodu aj v noci.

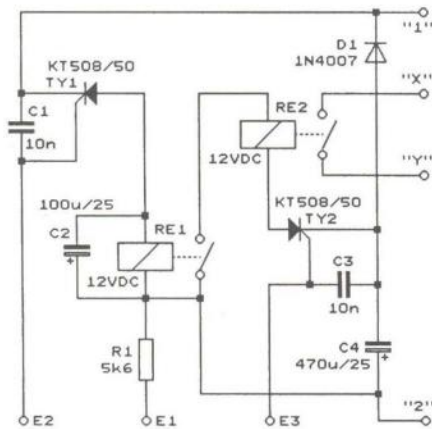
V pivnici je vybudovaná zberná šachta, ktorá je ale dosť plytká, preto bežné kalové čerpadlo, ktoré je vybavené plavákovým spínačom, spoľahlivo nefungovalo. Dcéra ma preto požiadala, aby som jej vyriešil spoľahlivé odčerpávanie vody z pivnice, ktoré by pracovalo úplne automaticky aj pri malom rozdiel vodnej hladiny. Zamyslel som sa nad jej problémom, prelistoval som rôznu literatúru, ako aj staršie čísla AR a PE, kde som našiel zapojenie na signalizáciu výšky hladiny kvapalín v AR 7/1977.

Toto zapojenie sa mi zo všetkých najviac pozdávalo. Má ale nevýhodu v tom, že signalizuje len najnižšiu a najvyššiu hladinu kvapaliny a nič medzi tým. Preto som toto zapojenie prepracoval tak, aby spĺňalo účel, na ktorý ho ja potrebujem, to znamená, že zapne čerpadlo pri maximálnej nastavenej hladine a vypne ho až po vyčerpaní vody pod nastavenú minimálnu hladinu. Keď voda vystúpi na maximálnu hladinu, čerpadlo sa znova zapne, po vyčerpaní sa vypne, a tento proces sa opakuje bez zásahu obsluhy, až kým voda neprestane presakovať.

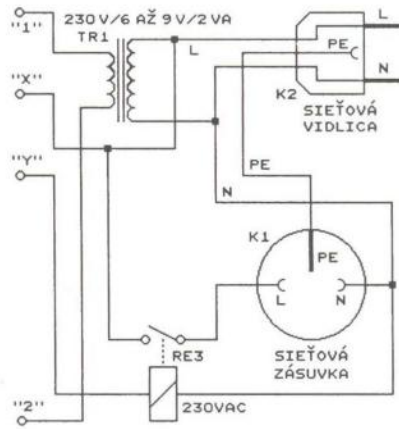
Pri experimentovaní s vyššie uvedeným zapojením som zhotovil automatický spínač, ktorého popis a zapojenie uvádzam.

### Činnosť spínača

Schéma hladinového spínača je na obr. 2. Prístroj je napájaný striedavým prúdom o napätí 6 až 9 V, ktoré je pripojené na svorky „1“ a „2“. Svorka „1“ je spojená priamo s katódou TY1. V obvode anódy TY1 je zapojená cievka relé RE1, ktorej druhý vývod je zapojený na svorku „2“ prístro-



Obr. 2. Schéma hladinového spínača



Obr. 3. Zásuvkový a napájací obvod

ja. Paralelne k cievke je zapojený elektrolytický kondenzátor C2, ktorý zamedzuje kmitaniu relé - vyhladí usmernené napätie z TY1. Kondenzátory C3 a C1 obmedzujú rušenie. Elektróda G tyristora TY1 je pripojená na sondy E2, ktorá je nastavená na minimálnu výšku hladiny. Snímanie hladiny prebieha medzi sondou E2 a E1, ktorá je cez rezistor R1 zapojená ako zem. Rezistor R1 obmedzuje spínací prúd tyristorov. Pri zaplavení sond E1 a E2 dochádza k periodickému spínaniu TY1 v rytme sieťového kmitočtu. Ak by k cievke relé RE1 nebol paralelne pripojený C2, kotva relé by kmitala a kontakt relé by v tomto rytme bol spínaný a vypínaný. C2 tomu zabraňuje a relé RE1 je zopnuté až do poklesu hladiny na minimum, kedy dôjde k rozpojeniu kontaktu relé.

Oproti tomu tyristor TY2 je pripojený na jednosmerné napätie, ktoré získame usmernením napájacieho napätia diódou D1 a vyhladením elektrolytickým kondenzátorom C4. Tým dosiahneme stav, keď hladina vody vystúpi na maximálnu nastavenú hodnotu, ktorú udáva sonda E3, zopne tyristor TY2, ktorý v tomto stave zotrúva až do prerušenia spínaného obvodu, ktorý je uzavretý tyristorom TY2, cievkou relé RE2 a spínacím kontaktom RE1, ktorého činnosť bola popísaná vyššie.

K hladinovému spínaču som urobil ešte zásuvkový a napájací obvod (viď obr. 3).

### Konštrukcia

Súčiastky z obr. 2 sú vývodové a sú umiestnené na doske s jednostrannými plošnými spojmi. Obrázec plošných spojov je na obr. 4., rozmiestnenie súčiastok na doske je na obr. 5.

Sondy E1, E2, E3 som zhotovil z tenkého mosadzného plechu šírky 2 cm, ktorý som obtočil okolo plastovej vodovodnej trubky. Sondy E1 a E2 som k trubke priskrutkoval „samorezkami“. Sondy E3 som k trubke prilepil pomocou hadicovej svorky, aby sa dala po trubke posúvať podľa maximálnej výšky hladiny, pri ktorej chceme zapnúť čerpadlo. Sonda E1 je upevnená najnižšie, nad ňou je E2 podľa najnižšej hladiny, sonda E3 je úplne hore.

K sondám prispájujeme vodiče, ktoré prevlečieme cez navŕtané otvory do vnútra trubky. Navrchu trubky ich prevlečieme cez prechodku, alebo upevníme tavným lepidlom. Dĺžku a priemer trubky zvolíme podľa potreby, nie je kritický.

Vodiče od sond pripojíme k doske s plošnými spojmi k vývodom E1 až E3 buď prispájkovaním, alebo cez skrutkovacie svorky, ktoré prispájujeme na dosku.

Transformátor TR1 v napájacom obvode je zvonkový, môže byť aj iný s výstupným napätím 6 až 9 V a prúdom podľa spínacieho prúdu použitých relé. Sieťová zásuvka K1 je v tzv. vonkajšom prevedení a je priskrutko-

vaná zvonku na skrinku hladinového spínača. Ako stykač RE3 som použil relé RP 92, ktoré má na dané použitie dostatočne dimenzované kontakty.

Celé zariadenie je na sieť pripojené pohyblivým prídomom, ktorý je zakončený vidlicou K2.

K použitým súčiastkam len toľko, že skoro všetky som použil z tzv. „šuplíkových“ zásob. Relé RE1, RE2 sú miniatúrne. V prípade ak ich nemáte, je možno použiť aj iné, ale bude treba upraviť aj dosku s plošnými spojmi. To platí aj o tyristoroch, len spínací prúd má byť maximálne 10 mA. Rezistor R1 pri nastavovaní nahradí trimrom 10 kΩ v sérii s rezistorom 1,5 kΩ, nastaviť spoľahlivú funkciu spínača a po zmeraní nahradí pevným rezistorom.

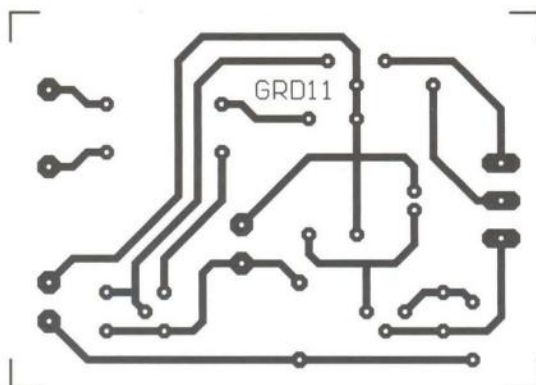
Zásuvkový a napájací obvod spolu so spínačom môžeme umiestniť do vhodnej skrinky a navzájom ich prepojiť vodičmi podľa označených bodov.

Tento spínač ovláda ponorné vibračné čerpadlo, ktoré sa pripája vidlicou do zásuvky zásuvkového obvodu a funguje spoľahlivo.

### Zoznam súčiastok

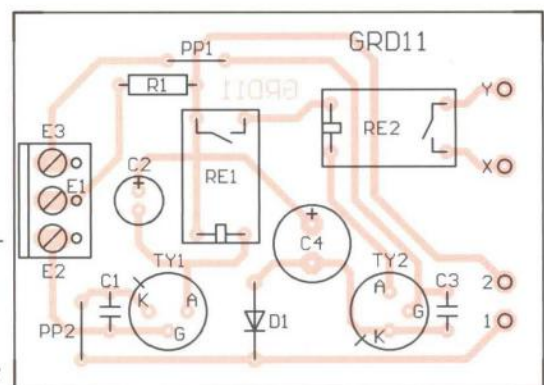
R1	5,6 kΩ, miniatúrny, viď text
C1, C3	10 nF, keramický
C2	100 μF/25 V, radiálny
C4	470 μF/25 V, radiálny
D1	1N4007
TY1, TY2	KT508/50
RE1, RE2	relé Takamisawa JV-12S-KT, cievka 12 V/720 Ω, jeden spínací kontakt 5 A/250 VAC/30 VDC, viď text
RE3	relé RP 92, cievka 230 V/50 Hz, spínací kontakt 10 A/250 VAC
TR1	sieťový transformátor 230 V/6 až 9 V/2 VA (napr. zvonkový)
E1 až E3	ARK500/3, skrutkovacie svorkovnice trojpolové, viď text
K1	sieťová zásuvka, viď text
K2	sieťová vidlica, viď text

Pavel Grendel



Obr. 4. Doska s plošnými spojmi hladinového spínača (mer.: 1 : 1)

Obr. 5. Rozmiestnenie súčiastok na doske s plošnými spojmi hladinového spínača. PP1 a PP2 sú drôtové prepajky



## Dotykový přepínač s piezosoučástkou

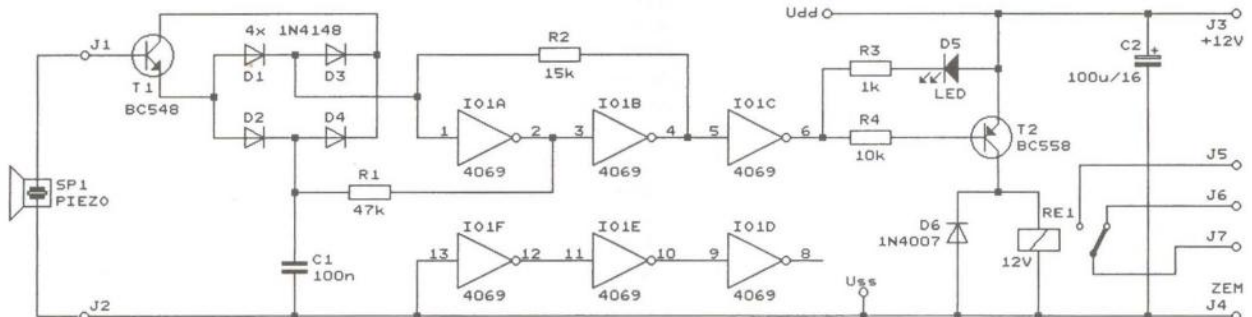
Dotykový přepínač, jehož schéma zapojení je na obr. 6, je elektronickou obdobou konvenčního mechanického přepínače. Jako čidlo doteku je využíván piezoreproduktor SP1 v inverzní funkci - při ůknutí na jeho membránu se na jeho svorkách objeví impuls napětí, kterým se změní stav přepínače vždy na opačný.

Základem dotykového přepínače je Schmittův klopný obvod (SKO) se dvěma inverty IO1A a IO1B typu 4069, který slouží jako paměť stavu přepínače. Bistabilní funkce SKO je dosaženo vytvořením hystereze pomocí kladné zpětné vazby zavedené rezistorem R2 z výstupu 4 IO1B na vstup 1 IO1A. SKO je doplněn RC článkem s R1 a C1, který umožňuje krátkodobým připojováním horního vývodu C1 ke vstupu 1 IO1A měnit stav SKO vždy ze stávajícího na opačný.

Představme si, že v určitém okamžiku je na vstupu 1 IO1A nízká úroveň L. Po průchodu dvěma inverty je úroveň L i na výstupu 4 IO1B. Z výstupu 4 IO1B je úroveň L zaváděna přes R2 zpátky na vstup 1 IO1A, a proto je tento stav SKO stabilní. V této situaci je na výstupu 2 IO1A vysoká úroveň H, C1 je přes R1 nabíjen a na C1 je rovněž úroveň H.

Připojíme-li na krátký okamžik C1 ke vstupu 1 IO1A, uvedeme tím vstup 1 IO1A do úrovně H. Následkem toho přejde do úrovně H i výstup 4 IO1A. Úroveň H je pak přes R2 udržována na vstupu 1 IO1A trvale i po odpojení C1. Na výstupu 2 IO1A se ovšem nastaví úroveň L a do úrovně L se přes R1 vybije i C1 (za dobu určenou časovou konstantou  $R1 \cdot C1$ ).

Připojíme-li znovu na krátký okamžik C1 ke vstupu 1 IO1A, uvedeme tím vstup 1 IO1A tentokrát do úrovně L. Vlivem kladné zpětné vazby zůstane SKO v tomto stavu i po odpojení C1. C1 se však nabije a jeho horní vývod přejde do úrovně H. Po opětovném krátkodobém připojení C1 ke vstupu 1 IO1A přejde vstup 1 IO1A i výstup 4 IO1B nazpět do úrovně H, pak zase do úrovně L atd.



Obr. 6. Schéma zapojení dotykového přepínače s piezosoučástkou

Je zřejmé, že doba připojení C1 ke vstupu 1 IO1A musí být podstatně kratší než časová konstanta  $R1 \cdot C1$  a mezera mezi opakovanými připojeními C1 ke vstupu 1 IO1A musí být podstatně delší než časová konstanta  $R1 \cdot C1$ .

V popisovaném dotykovém přepínači se C1 připojuje ke vstupu 1 IO1A sepnutým tranzistorem T1 přes diodový můstek s D1 až D4. Je-li na vstupu 1 IO1A a výstupu 4 IO1B úroveň H a na C1 úroveň L, teče proud z výstupu 4 IO1B přes R2, D3, T1 a D2 do C1; je-li na vstupu 1 IO1A a výstupu 4 IO1B úroveň L a na C1 úroveň H, teče proud z C1 přes D4, T1, D1 a R2 do výstupu 4 IO1B. T1 se na okamžik spíná impulsem napětí generovaným klepnutím na membránu piezoreproduktoru SP1, který je připojen mezi bází T1 a zem.

Binárním signálem z výstupu 4 IO1B je přes oddělovací inverter IO1C a spínací tranzistor T2 buzena cívka relé RE1, které svými kontakty ovládá přes svorky J5 až J7 nějaké vnější zařízení. Dioda D6 potlačuje napěťové špičky, které se v cívce indukují při vypínání proudu protékajícího cívku. Vybuzení relé je indikováno svitem LED D5.

Přístroj je napájen ss stabilizovaným napětím 12 V přiváděným z ovládaného zařízení nebo z nějakého síťového zdroje. Vstupy nevyužitých inverterů IO1D až IO1F jsou ošetřeny tak, aby nemohl nastat hazardní stav těchto inverterů, ve kterém odebírají značný napájecí proud.

Radioelektronik Audio-HiFi-Video, 8/2005

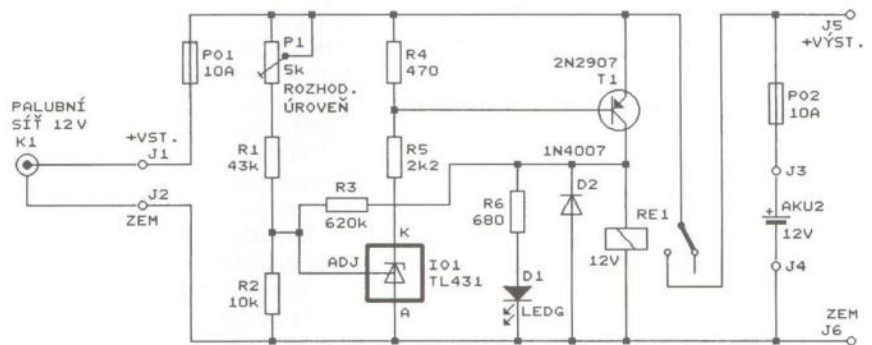
## Ochranný obvod akumulátoru

Ochranný obvod podle obr. 7 dovozuje napájet záložní akumulátor AKU2 a mobilní vysílací zařízení připojené ke svorkám J5, J6 z palubní sítě automobilu připojené ke svorkám J1, J2 jen tehdy, když je v chodu alternátor, tj. když napětí palubní sítě přesáhne rozhodovací úroveň 14,0 V.

Základem zapojení je komparátor rozhodovací úrovně využívající napěťovou referenci TL431 (IO1). Na vstup ADJ IO1 se přivádí přes dělič s P1, R1 a R2 napětí palubní sítě. Když je v bodě ADJ IO1 napětí větší než +2,5 V (vůči anodě A IO1), je na katodě K IO1 nízká úroveň, T1 je sepnutý, relé RE1 je vybuzené a přes jeho sepnutý kontakt je napětí z palubní sítě přiváděno na výstupní svorku J5. Při napětí menším než +2,5 V v bodě ADJ IO1 je na katodě K IO1 vysoká úroveň a relé je vypnuté. Rezistorem R3 je zaváděna na vstup ADJ IO1 kladná zpětná vazba vytvářející hysterezi asi 0,9 V. Tato hystereze zamezuje kmitání relé, když po připojení zátěže poněkud poklesne napětí palubní sítě.

Ochranný obvod seřídíme pomocí regulovaného laboratorního zdroje připojeného ke svorkám J1, J2. Trimr P1 nastavíme tak, aby při plynulém zvyšování napětí zdroje relé seplo tehdy, když napětí zdroje dosáhne velikosti 14,0 V. Pak napětí zdroje plynule snižujeme a ověříme, že relé vypne při dosažení úrovně asi 13,1 V.

RadCom, září 2011



Obr. 7. Schéma zapojení ochranného obvodu automobilového akumulátoru

# STOP B

## Speciální stopky

Ing. Pavel Hůla

Přístroj vznikl původně jako jednocelové speciální stopky, určené pro nácvik disciplíny tzv. olympijského šplhu. Postupem doby byl rozšířen o několik módů stopek a doplněn hodinami s možností synchronizace správného času pomocí modulu DCF a teploměrem s připojeným vnějším čidlem. Pro základní zobrazení údajů je vestavěn šestimístný displej LED. K přístroji je možné také připojit pomocí třívodičového vedení další (jeden nebo i více) externí displej s většími číslicemi pro lepší čitelnost zobrazovaných údajů i při pozorování z větší vzdálenosti. Stopky lze použít a zastavovat manuálně pomocí tlačítek, nebo po připojení vhodných snímačů i elektronicky.

### Popis jednotlivých funkcí

Do režimu volby funkcí se dostaneme stisknutím tlačítka TL3, na displeji se zobrazí pomocí symbolů F0 až F8 naposledy navolená funkce. Tlačítka TL1 a TL2 se funkce přepínají, stiskem tlačítka TL3 se pak právě navolená funkce vybere. LED D2 (zelená) a D3 (červená) jsou použity pro optickou indikaci režimu „čekání na start“ - svítí zelená a „čekání na stop“ - svítí červená LED.

**F0** - Prosté stopky, měří jednotlivé intervaly mezi signály START (stisk tlačítka TL1 nebo puls úrovně „L“ na vstupu SV1) a STOP (stisk tlačítka TL2 nebo puls úrovně „L“ na vstupu SV2), před každým měřením se automaticky vynulují. Start i stop je akusticky indikován pípnutím.

**F1** - Stopky pro opakované měření. Při startu (stisk tlačítka TL1 nebo puls úrovně „L“ na vstupu SV1) se vždy automaticky vynulují a měří čas do signálu STOP (stisk tlačítka TL2 nebo puls úrovně „L“ na vstupu SV2). Start i stop je akusticky indikován pípnutím, na displeji zůstává zobrazen naposledy naměřený čas. Stiskem tlačítka TL4 se zobrazí postupně počet měřených intervalů, celkový čas a nakonec průměrná hodnota. Zobrazení jednotlivých údajů je akusticky odděleno krátkým pípnutím. Vynulování všech hodnot se uskuteční tlačítkem pro přepínání funkcí (přepnutím nebo opětovným navolením téže funkce).

**F2** - Stopky s postupným přičítáním času - měří celkový čas mezi signály (stisk tlačítka TL1 nebo puls úrovně „L“ na vstupu SV1) a STOP (stisk tlačítka TL2 nebo puls úrovně „L“ na vstupu SV2) i pro více měřených intervalů - na displeji je zobrazen celkový naměřený čas. Start i stop je akusticky indikován pípnutím. Stiskem tlačítka TL4 se zobrazí postupně počet měřených intervalů

a průměrná hodnota. Zobrazení jednotlivých údajů je akusticky odděleno krátkým pípnutím. Vynulování všech hodnot se uskuteční tlačítkem pro přepínání funkcí (přepnutím nebo opětovným navolením téže funkce).

**F3** - Stopky s automatickým startem s odpočítáváním. Stiskem tlačítka TL1 se spustí odpočítávání - na displeji se v sekundových intervalech zobrazuje odpočítávání 5, 4, 3, 2, 1, doprovázené krátkým pípnutím, okamžik startu je indikován pípnutím vyššího kmitočtu. STOP (stisk tlačítka TL2, nebo puls úrovně „L“ na vstupu SV2). Pro opakovaný start se časový údaj automaticky vynuluje.

**F4** - Stopky pro olympijský šplh. Pro tento mód se předpokládá použití startovacího tlačítka (připojeného na svorky SV1) a koncového vypínače na konci šplhací dráhy (připojeného na svorky SV2). Po stlačení startovacího tlačítka závodníkem se spustí (se zpožděním, nastavitelným pomocí potenciometru PO1) série tří startovacích impulsů. Během této doby závodník musí stále držet tlačítko stisknuté, teprve po skončení třetího akustického signálu může tlačítko uvolnit (a to co nejrychleji) a začne šplhat. Doba reakce (tedy doba mezi začátkem posledního tónu a okamžikem uvolnění tlačítka) musí být co nejkratší a je měřena a uchována v mezipaměti. Po ukončení měření signálem STOP od snímače na konci šplhací dráhy je možné tuto dobu stisknutím tlačítka TL4 opět zobrazit. Vynulování všech hodnot se uskuteční tlačítkem pro přepínání funkcí (přepnutím nebo opětovným navolením téže funkce).

**F5** - Hodiny s trvalým zobrazením času ve formátu hh:mm:ss.

**F6** - Hodiny s kombinovaným zobrazením času a data.

**F7** - Hodiny s kombinovaným zobrazením času a teploty.

**F8** - Trvalé zobrazení teploty.

VYBRALI JSME NA



OBÁLKU



### Technická data

Maximální rozlišení měřeného časového intervalu: 0,01 s.

Maximální měřená doba: 59 minut.

Nastavení hodnot obvodu

reálného času: pomocí jednoduchého programu po připojení

k sériovému portu počítače PC,

nebo automaticky pomocí

doplňkového modulu DCF.

Zobrazení naměřených hodnot:

vnitřní šestimístný displej,

možnost připojení prakticky

libovolného počtu vnějších displejů.

Akustická signalizace:

vestavěným elektromagnetickým

měníčem, možnost připojení

vnějšího elektromagnetického

měníče s větším výkonem.

Napájení přístroje:

vnějším zdrojem 10 až 15 V.

Proudová spotřeba:

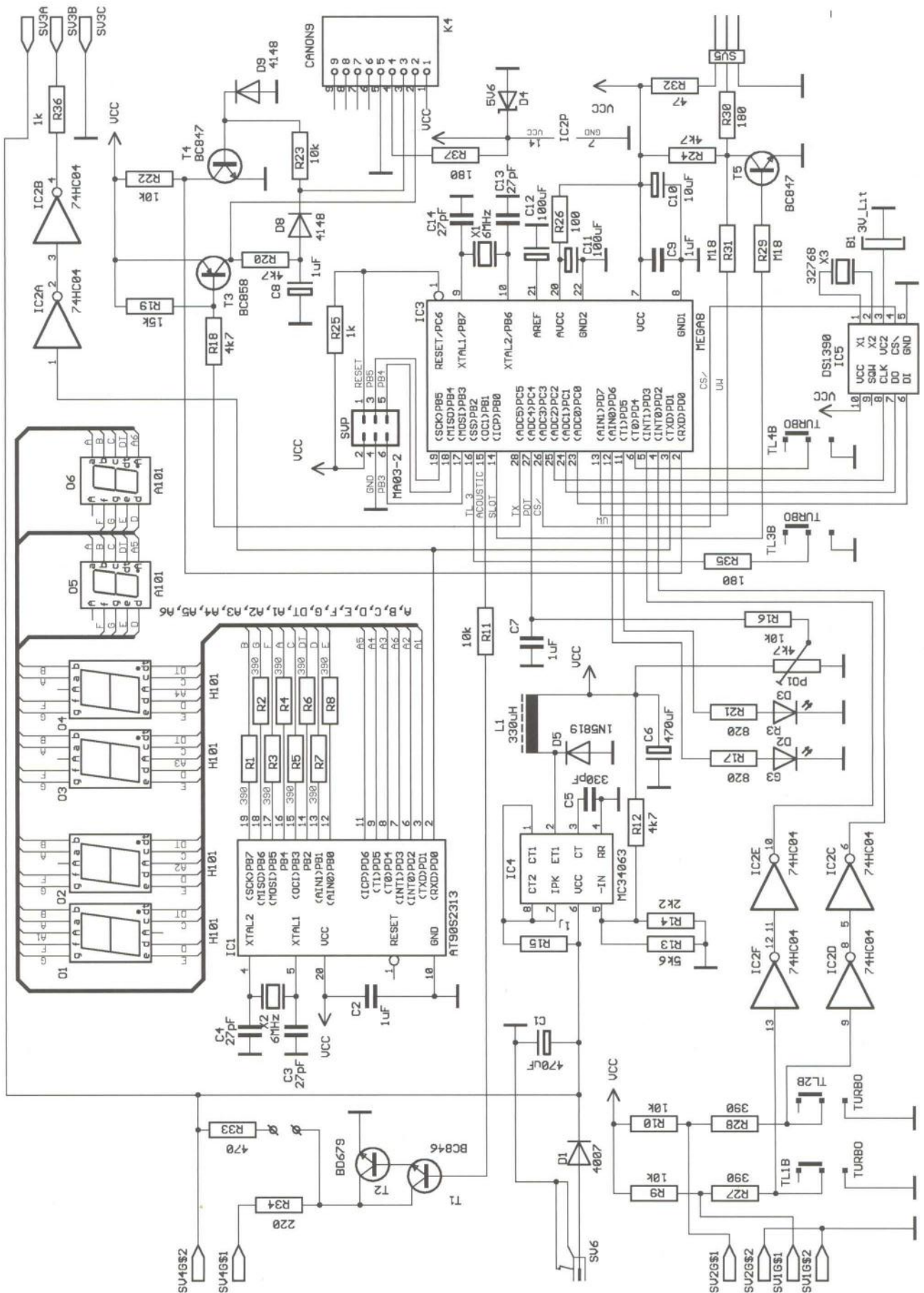
asi 25 mA (bez vnějšího displeje).

Mechanické rozměry:

125 x 90 x 20 mm.

### Princip funkce

Pro stopky je využit vnitřní oscilátor mikroprocesoru, vnitřní čítače v mikroprocesoru čítají přesně definované impulsy 0,01 s, začátek a konec čítání je určen pomocí přerušení. Z celkového počtu načítaných impulsů potom mikroprocesor vypočítá čas v hodinách, minutách, sekundách a setinách sekund a tento posílá asynchronním sériovým přenosem do druhého procesoru. Ten zabezpečuje správné zobrazení údajů na displeji LED. Jeden procesor pro zobrazení naměřených hodnot je přímo na základní desce, druhý, případně další, mohou být na externích deskách (např. s mnohem většími číslicemi). Propojení s hlavní deskou je uskutečněno třívodičovým kabelem (pokud bude mít externí displej vlastní napájecí zdroj, postačí pro propojení kabel dvouvodičový). Pro funkci hodin je použit obvod reálného času, funkce



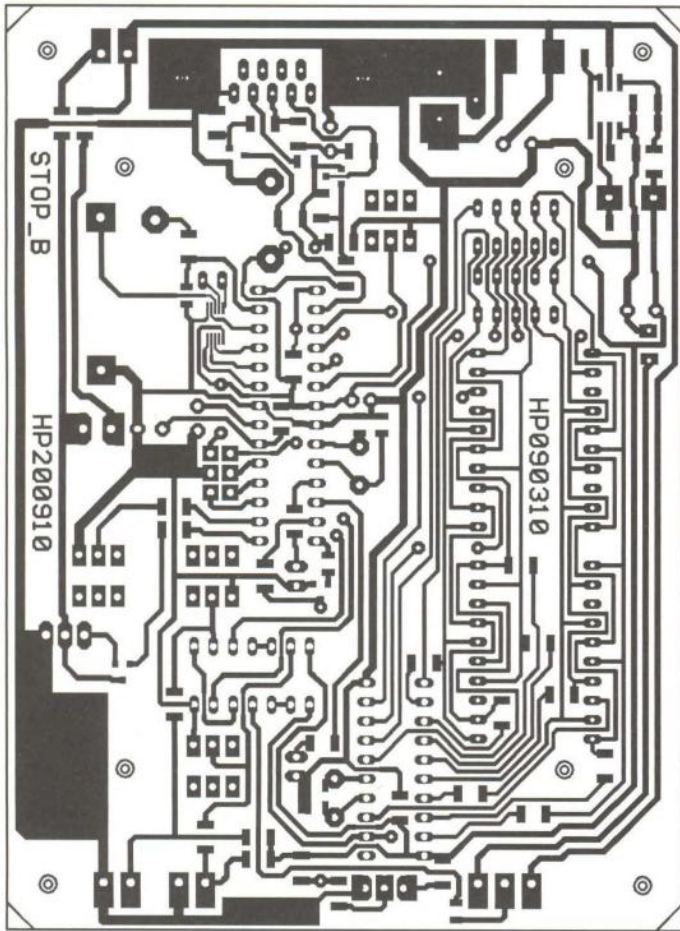
Obr. 1. Schéma zapojení

teploměru předpokládá použití teplotního čidla s digitálním výstupem, které je k přístroji připojeno třížilovým kabelem.

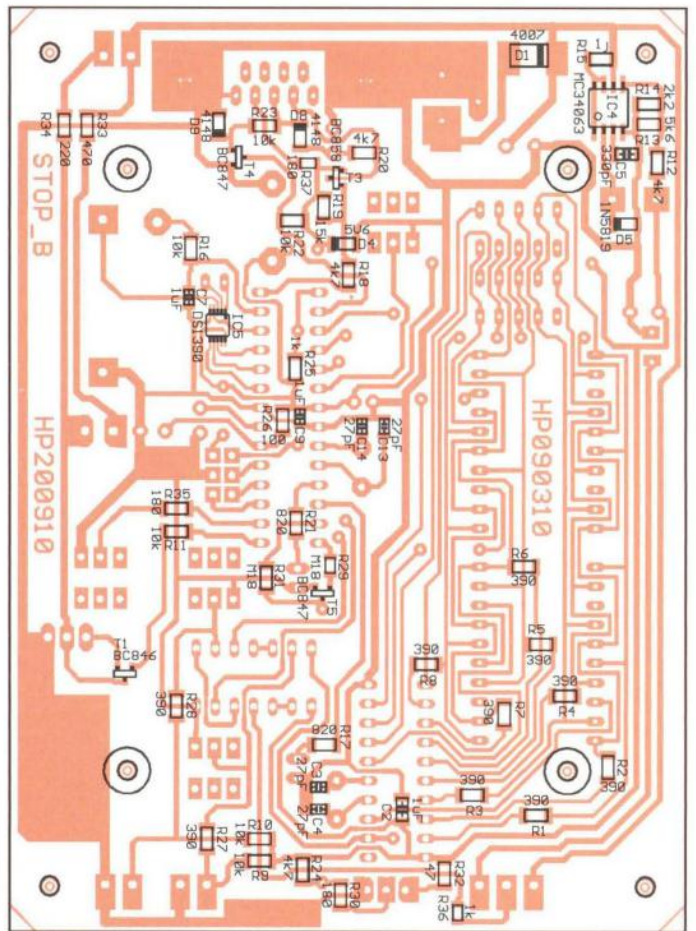
### Popis obvodového řešení

Celkové schéma přístroje je na obr. 1. Zapojení lze rozdělit na dvě základní části - měřící obvod a část pro zobrazení naměřených údajů.

Všechny logické funkce pro měření v jednotlivých módech stopky, jakož i doplňkové funkce hodin a teploměru zabezpečuje obvod s mikroprocesorem IC3. Funkce se přepínají tlačítky v menu funkcí. Pro komunikaci s po-

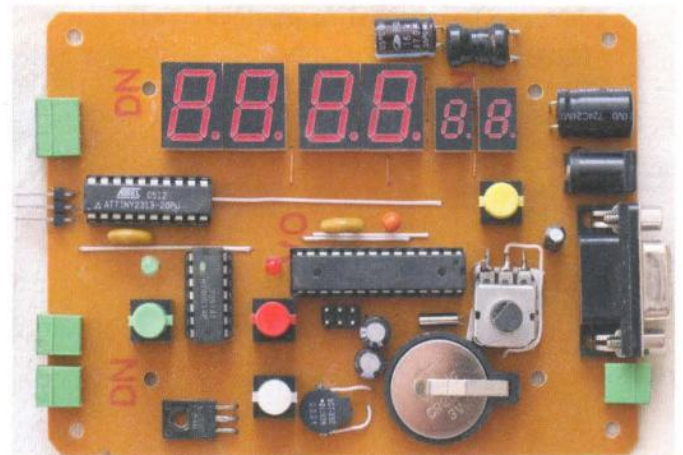
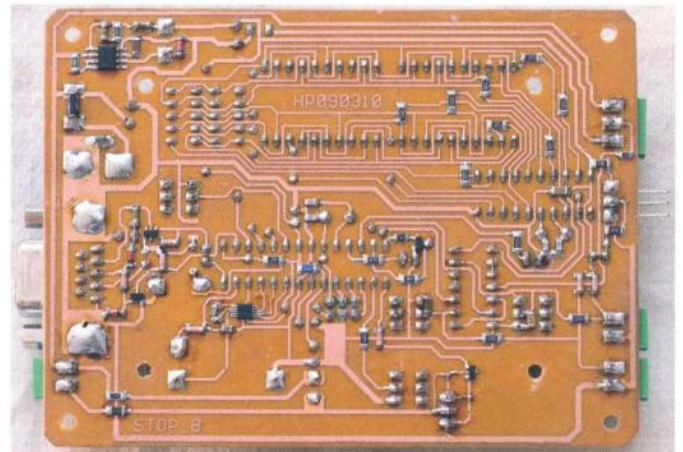
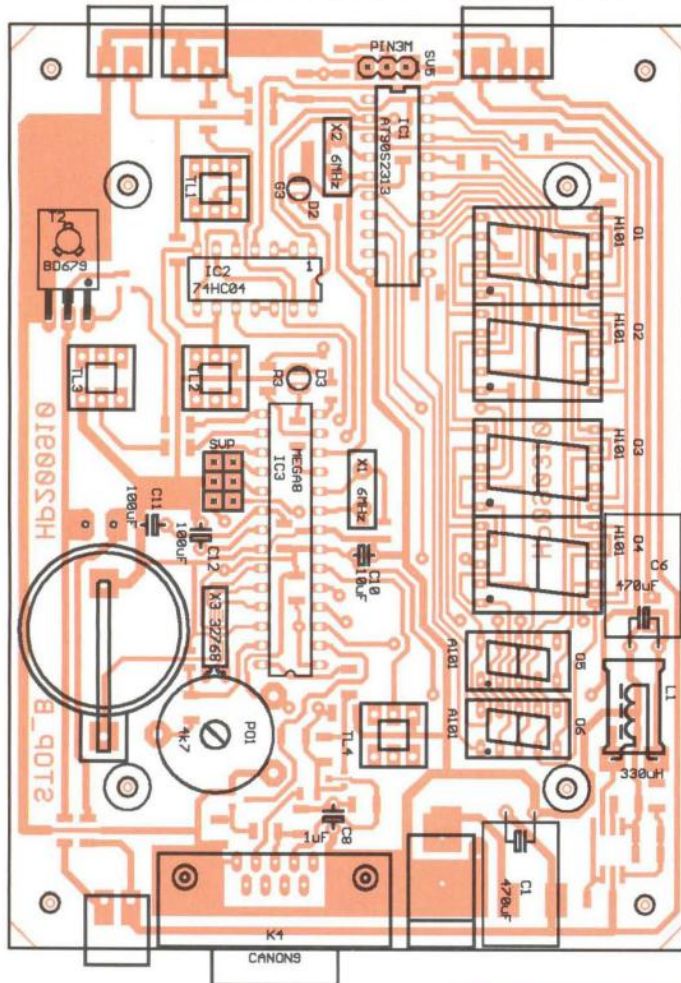


Obr. 2. Deska s plošnými spoji



Obr. 4. Rozmístění součástek - strana spojů

Obr. 3. Rozmístění součástek - strana součástek



Obr. 5. Fotografie osazených desek

čítačem PC, případně s modulem pro synchronizaci přesného času přijímačem DCF je použit jednoduchý interface s tranzistory T3 a T4, který zabezpečuje správný převod úrovní mezi logickými úrovněmi procesoru a úrovněmi standardu RS-232. Pro akustickou signalizaci je použit elektromagnetický měnič, jeden přímo na desce, druhý, výkonnější, pak je možné připojit na svorky přístroje. Při výběru vnitřního měniče je potřeba brát v úvahu poměrně omezený mechanický prostor, který je k dispozici. S výhodou lze použít „vzváněcí“ měnič ze starého mobilního telefonu (např. Siemens C35, jak je tomu u předkládané konstrukce). Po elektrické stránce je pak vhodný (z hlediska účinnosti v daném zapojení) měnič s impedancí 30 až 300 Ω. Proud vnitřního měniče je omezen rezistorem R33, pro vnější měnič pak rezistorem R34.

Tranzistor T5 a přilehlé rezistory tvoří interface pro připojení externího teplotního čidla pro funkci teploměru. Předpokládá se použití převodníku typu DS18B20, který převádí teplotu přímo na digitální kód s dvanáctibitovým rozlišením. S mikropočítačem komunikuje pomocí jednovodičové sběrnice, pro jeho připojení postačí tedy třívodičový kabel. Délka tohoto kabelu může být i několik metrů. Pro funkci hodin je použit obvod reálného času typu DS1390-33. Napájecí napětí 5 V je získáváno spínaným stabilizátorem s obvodem IC4. Obvod pro zobrazení je tvořen mikropočítačem IC1, který přímo řídí šestimístný displej LED v multiplexním provozu. Data mu předává měřicí mikropočítač asynchronním sériovým kanálem, který je navíc ještě po posílení pomocí dvou hradel obvodu IC2 přiveden na vnější svorky. To umožňuje připojení dalšího (nebo i několika) zobrazovacího modulu např. s většími číslicemi.

### Mechanická konstrukce

Celý přístroj je postaven na jedné jednostranné desce s plošnými spoji o celkových rozměrech 121 x 90 mm a je určen k vestavění do plastové

kraabičky typu KP5. V horní části kraabičky je vyřiznutý otvor pro displej (75 x 20 mm), do kterého vsadíme červené plexisklo. Pro hmatníky tlačítek TL1 až TL4 je potřeba vyvrtat otvory o průměru 7 mm. Deska s plošnými spoji je do kraabičky přišroubována 4 šroubky M3 x 12. Pro připojení k sériovému portu počítače nebo modulu pro synchronizaci správného času je použit 9pinový konektor CANON. Čidlo teploměru se připojuje jednoduchým konektorem ze tří zahnutých kolíků konektorové lámací lišty. Pro připojení snímačů pro start a stop měření, jakož i pro případné připojení externího displeje a dalšího akustického měniče jsou použity svorky ARK 1550 s modulem 3,5 mm. Pro napájení celého přístroje se předpokládá použití externího zásuvkového zdroje 12 V, který je připojen konektorem K375A (kladný pól na kolíku).

### Oživení a uvedení do provozu

Po osazení desky s plošnými spoji připojíme zdroj napájecího napětí 12 V a zkontrolujeme velikost napětí na výstupu spínaného zdroje (např. na kondenzátoru C6. Napětí by mělo být v rozmezí 4,5 až 4,8 V (lze popřípadě upravit změnou R13). Odběr by měl být max. 30 mA. Na displeji by se měl objevit časový údaj nenařizného obvodu RTC - 00 00 00. Propojíme sériový kabel do počítače a po spuštění ovládacího programu nahrajeme do hodin aktuální čas. Ten by se měl vzápětí objevit na displeji hodin. Stisknutím tlačítka TL3 se dostaneme do módu volby funkcí a pomocí tlačítek TL1 a TL2 můžeme volit a ověřit jednotlivé módy.

### Seznam součástek

R1 až R8,	
R27, R28	390 Ω, SMD1206
R9 až R11,	
R16, R22, R23	10 kΩ, SMD1206
R12, R18,	
R20, R24	4,7 kΩ, SMD1206
R13	5,6 kΩ, SMD1206
R14	2,2 kΩ, SMD1206

R15	1 Ω, SMD1206
R17, R21	820 Ω, SMD1206
R19	15 kΩ, SMD1206
R25	1 kΩ, SMD1206
R26	100 Ω, SMD1206
R29	180 kΩ, SMD0805
R30, R35	180 Ω, SMD1206
R31	180 kΩ, SMD1206
R32	47 Ω, SMD1206
R33	470 Ω, SMD1206
R34	220 Ω, SMD1206
R36	1 kΩ, SMD0805
R37	180 Ω, SMD0805
PO1	4,7 kΩ, PT15
C1, C6	470 μF/16 V
C2	1 μF, SMD1206
C3, C4,	
C13, C14	27 pF, SMD0805
C5	330 pF, SMD1206
C7, C9	1 μF, SMD0805
C8	1 μF/16 V
C10	10 μF/16 V
C11, C12	100 μF/16 V
D1	1N4007, SMD MELEF
D2	3 mm, malý př., zelená
D3	3 mm, malý př., červená
D4	5V6, SMD MELEF
D5	1N5819, SMD MELEF
D8, D9	4148, SMD MELEF
T1, T4, T5	BC846, SOT23
T2	BD679, SOT23
T3	BC858, SOT23
IC1	AT90S2313 (ATTiny2313), DIL20
IC2	74HC04, DIL14
IC3	ATMEGA8, DIL28
IC4	MC34063, SOIC8
IC5	DS1390-33, uSOP
K4	CANON9
L1	330 μH, radiální
O1 až O4	H101
O5, O6	A101
SV1, SV2, SV4	ARK1550/2
SV3	ARK1550/3
SV5	PIN3M, kolíková lišta
SV6	K375A napájecí konektor
TL1 až TL4	tlačítko bez aretace
X1, X2	6 MHz, keram. rezonátor
X3	32 768 Hz, krystal
B1	CR2032 s pouzdrém BH2032

*Dva naprogramované mikroprocesory si lze objednat za 350 Kč na adrese: P. Hula, Jabloňová 2, 106 00 Praha 10; prahula@centrum.cz; 607 565 933.*



Obr. 6, 7.  
Fotografie přístroje



# AEROLIGHT - 4C

- programovateľný 4-kanálový modul  
pre osvetlenie modelov lietadiel

Jaroslav Macko

## Základné vlastnosti

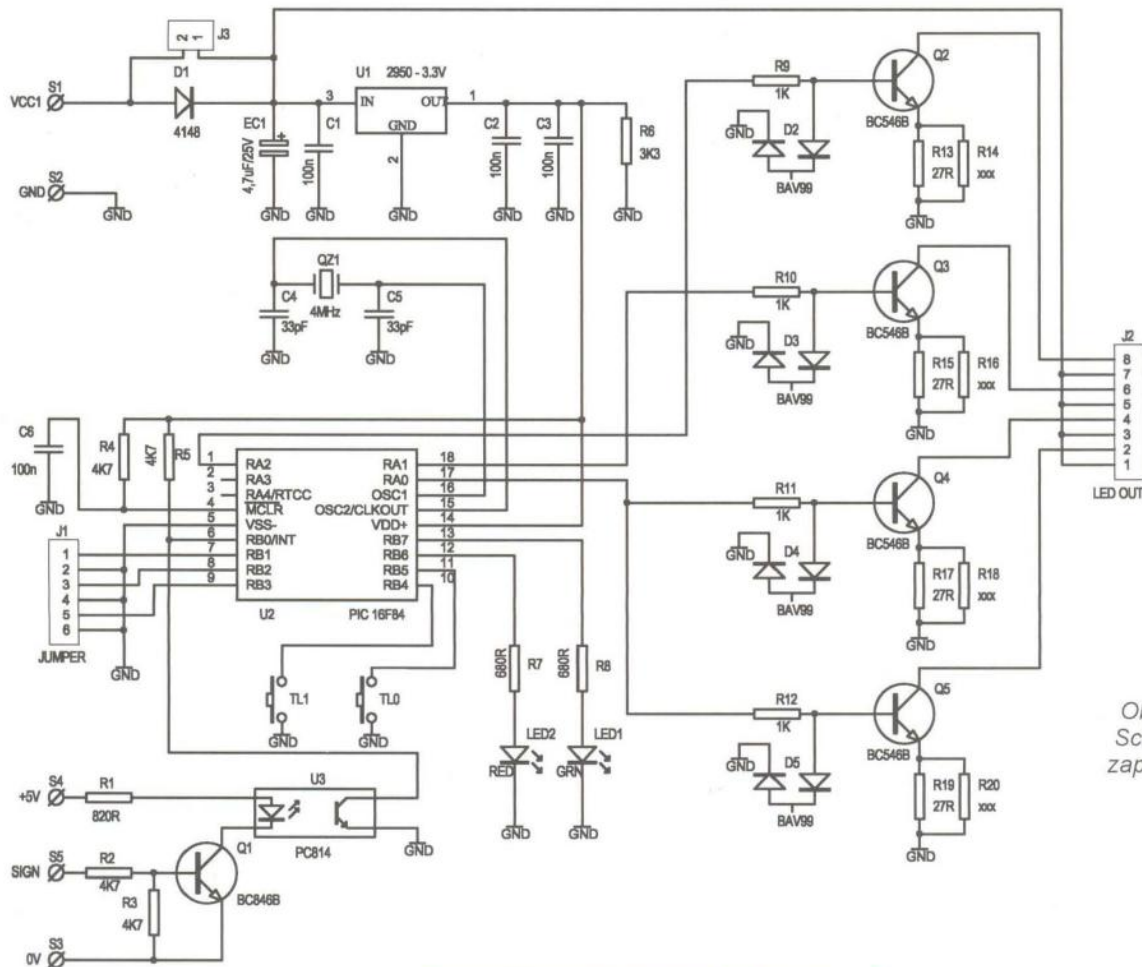
- 4 kanály so samostatnými prúdovými zdrojmi (2 kanály POS1 a POS2 pre pozičné svetlá - spínané súčasne; 2 samostatne programovateľné blikajúce kanály FLASH1 a FLASH2/LAND)
- Každý kanál je nastavený na konštantný prúd asi 20 mA - výstupy kanálov sú určené na pripojenie vysokosvietivých LED 20 mA alebo štandardných LED 20 mA.
- Galvanicky (opticky) oddelený vstup modulu od obvodov riadiaceho prijímača.
- Možnosť riadenia modulu výstupným signálom z prijímača - jumperom je voliteľné 2-polohové alebo 3-polohové spínanie - bližšie viď popis v texte.
- Automatické rozpoznanie prítomnosti signálu z prijímača.
- Možnosť voľby normálneho alebo reverzného riadenia modulu signálom z prijímača.

- Možnosť nastavenia spínacích úrovní (nastavenie šírky impulzu, pri ktorej dochádza k spínaniu) pri riadenom režime.
- Signalizácia výpadku signálu trvajúceho dlhšie ako 0,6 s (UPOZORNENIE: táto funkcia sa neuplatňuje u niektorých prijímačov s tzv. FAIL SAFE, pretože tieto generujú impulzy vopred nastavenej šírky aj pri výpadku signálu; správanie sa modulu v tomto prípade teda závisí od typu prijímača).
- Možnosť naprogramovať dve varianty spínania kanálu FLASH1 - bližšie viď popis v texte.
- Modul je možné používať aj v neriadenom režime s tým, že sa dá naprogramovať oneskorenie zapnutia kanálov FLASH1/FLASH2 v závislosti na nastavenej variante.
- Blikanie oboch FLASH kanálov je možné ľubovoľne naprogramovať pomocou dvoch tlačidiel od úplne vypnutých až po stále rozsvietené - postupnosť 16 intervalov trvajúcich 60 ms

VYBRALI JSME NA  
OBÁLKU



- periodicky sa opakujúcich - viď popis v texte.
- 4 ľubovoľné kombinácie blikaní kanálov FLASH1/FLASH2 je možné uložiť do pamäte a výber aktívnej kombinácie je potom možný nastavením dvoch jumperov.
- Napájacie napätie je 4 až 15 V.
- Rozmery: 41 x 25 x 8 mm (bez pínov konektorov).
- Váha modulu je asi 14 g.
- Vlastná spotreba modulu je 9 až 13 mA podľa toho, či svietia alebo nesvietia signalizačné LED na module.



Obr. 1.  
Schéma  
zapojenia

## Označenie kanálov

POS1 - kanál pre pozičné svetlá, po zopnutí pripojené LED trvalo svietia.  
 POS2 - kanál pre pozičné svetlá, po zopnutí pripojené LED trvalo svietia.  
 FLASH1 - programovateľný blikajúci kanál, po zopnutí blikajú pripojené LED podľa toho, ako je kanál naprogramovaný.

FLASH2/LAND - programovateľný blikajúci kanál, po zopnutí blikajú pripojené LED podľa toho, ako je kanál naprogramovaný.

Výber vopred nastavenej kombinácie blikaní FLASH1/FLASH2 sa robí pomocou jumperov JMP-1 a JMP-2 (viď obr. 8 a tab. 5).

## Popis zapojenia

Hlavným prvkom modulu je mikroprocesor PIC16F84. Pracuje na frekvencii 4 MHz s použitím externého kryštálu QZ1. Napájanie procesora zabezpečuje „low drop“ stabilizátor 2950-3,3 V s filtračným kondenzátorom EC1 a blokovacími kondenzátormi C1, C2 a C3. Dióda D1 chráni obvod pri prípadnom prepólovaní napájacieho napätia, ale v prípade potreby sa dá vyradiť nasadením jumpera JMP-X. Optočlen U3 spolu s tranzistorom Q1 a rezistormi R1, R2 a R3 zabezpečuje optické oddelenie modulu od prijímača diaľkového ovládania. Invertovaný impulz je potom privedený na port RB0 procesora. Ovládacie tlačidlá sú pripojené na porty RB4 a RB5,

Tab. 1

INTERVAL	1	2	3	4	5	6	7	8	9	10	11	12	13	14	15	16
FLASH1	1	1	1	1	1	1	1	1	0	0	0	0	0	0	0	0
FLASH2	0	0	0	0	0	0	0	0	1	1	1	1	1	1	1	1

signalizačné LED na porty RB6 a RB7. Výstupné porty RA0, RA1 a RA2 riadia prúdové zdroje pripojené na tieto porty. Jednoduchý prúdový zdroj pre jeden výstupný kanál tvorí jeden výstupný tranzistor s emitorovým rezistorom a príslušný rezistor s dvojicou diód v báze tranzistora. Pre úsporu miesta sú použité dvojité diódy v puzdre SOT-23, využívané sú však len dva vývody puzdra. Prúd tečúci diódami LED pripojenými na výstupný konektor je možné v určitom rozsahu nastaviť zmenou emitorového rezistoru - z toho dôvodu sú všetky emitorové rezistory na schéme ale aj na doske zdvojené, aby v prípade potreby bolo možné nastaviť potrebnú veľkosť prúdu pripojením vhodnej paralelnej kombinácie. Pre LED 20 mA úplne postačuje zapojenie jedného rezistoru 27 Ω, prúd sa potom pohybuje približne v rozsahu 18 až 20 mA. Veľmi približne platí vzťah:

$$I = 0,55/Re;$$

kde  $I$  je prúd [A],  $Re$  je emitorový odpor [Ω].

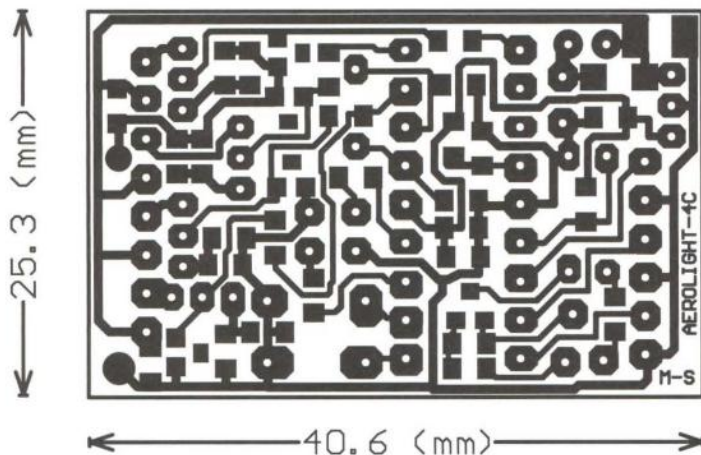
## Mechanická konštrukcia

Celý modul je realizovaný na jednostrannej doske s plošnými spojmi s použitím SMD aj klasických súčiastok.

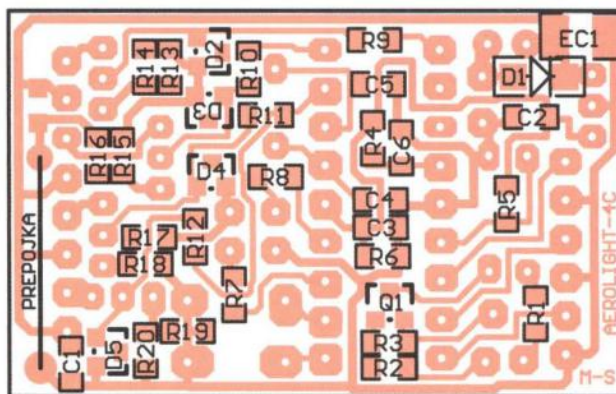
Nesmieme zabudnúť prispájovať jednu drôtovú prepajku na strane spojov. Najprv je potrebné osadiť všetky SMD súčiastky a až potom ostatné. Tranzistory Q2 až Q5 a stabilizátor U1 sú osadené na ležato, pričom Q3 a Q5 sú otočené rovnou plochou (popisom) hore - viď obr. 6. Vodiče k prijímaču a napájacie vodiče je potrebné po zaspájkovaní poistiť tavným lepidlom a po osadení a odskúšaní dosku nalakovať elektroizolačným lakom. V prípade potreby je možné modul chrániť teplom zmrštiteľnou bužirkou s vyrezanými otvormi pre tlačidlá a LED. Na obr. 5 a 6 je pohľad na hotový modul. Na obr. 7 je pohľad na modul chránený tepelne zmrštiteľnou bužirkou.

## Princíp fungovania kanálov FLASH

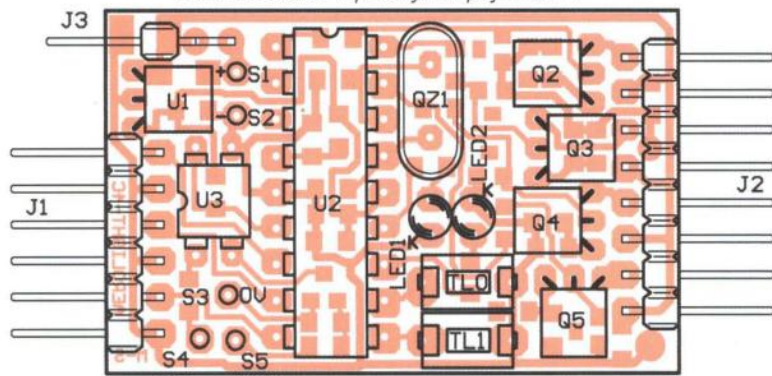
Obidva kanály FLASH pracujú v cyklicky sa opakujúcich 16 intervaloch, každý z nich má dĺžku 60 ms, teda séria bliknutí sa opakuje každých 0,96 s ( $16 \times 60 \text{ ms} = 960 \text{ ms}$ ). Každý 60 ms interval je možné nastaviť ako „0“ - počas tohto intervalu sú LED pripojené na výstupe tohto kanálu zhasnuté, alebo je interval nastavený na „1“ - počas tohto intervalu sú LED pri-



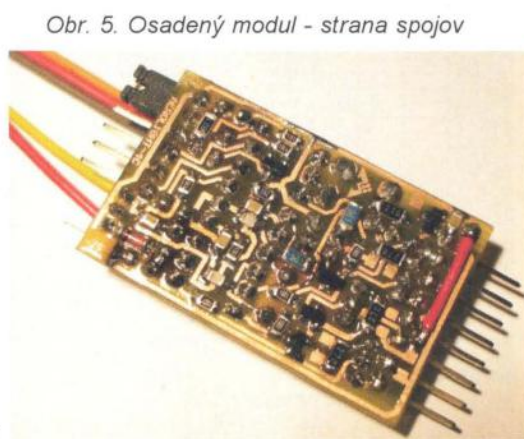
Obr. 2. Doska s plošnými spojmi 2 : 1



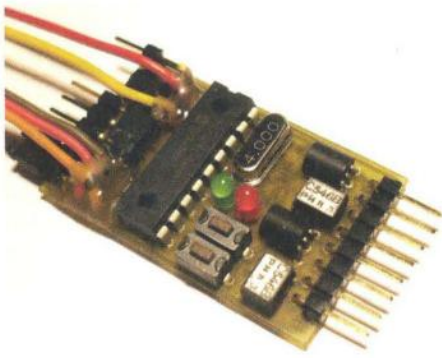
Obr. 4. Rozloženie súčiastok - strana spojov



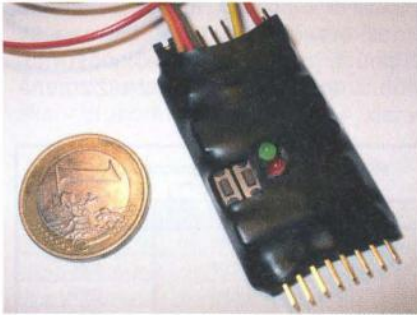
Obr. 3. Rozloženie súčiastok - strana súčiastok



Obr. 5. Osadený modul - strana spojov



Obr. 6. Osadený modul - strana súčiastok



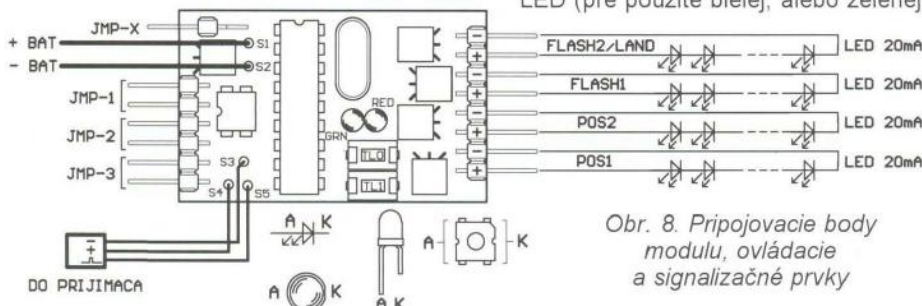
Obr. 7. Hotový modul

pojené na výstupe tohto kanálu rozsvietené. Príklad je v tab. 1. V tomto prípade budú obidva kanály blikať striedavo, pričom dĺžka svietenia aj zhasnutia LED pripojených na obidva kanály bude  $8 \times 60 \text{ ms} = 480 \text{ ms}$ .

Keďže každý interval obidvoch FLASH kanálov je možné nastaviť nezávisle, je možné kanál FLASH2 naprogramovať aj tak, že všetky intervaly budú „1“, teda po zopnutí kanálu bude trvalo svietiť. Takto je možné tento kanál pri nastavení správnej varianty použiť aj ako pristávacie svetlá LAND, pričom jeho spínanie môže byť 2 alebo 3-polohovo riadené buď z prijímača, alebo pri neriadenom režime môže byť tento zopnutý automaticky po vopred nastavenom oneskorení, napríklad po 5 minútach letu.

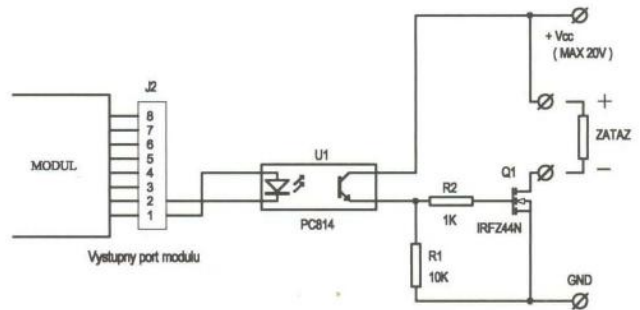
### Pripojenie modulu a ovládacie prvky

LED sa pripájajú na príslušné vývody výstupného konektora (obr. 8) prostredníctvom vhodného konektora. Je nutné dodržať naznačenú polaritu. Pri zapájaní viacerých LED na jeden kanál sa LED radia sériovo.



Obr. 8. Pripojovacie body modulu, ovládacie a signálne prvky

Obr. 9. Príklad prídavného výkonového spínača pripojeného k výstupnému kanálu POS1 modulu



Maximálny počet sériových LED pripojených na jeden kanál závisí od napájacieho napätia. Napájacie napätie musí byť o málo vyššie ako je súčet napätí na pripojených LED + 1,4 V + 0,75 V. Napätie asi 1,4 V je nutné na zabezpečenie stabilizácie prúdu, napätie asi 0,75 V je úbytok napätia na ochrannej dióde. Pri splnení tejto podmienky je prúd LED asi 20 mA. Na červenej LED určenej pre prúd 20 mA je napätie  $U_f$  asi 2 V, na zelenej a bielej LED je napätie  $U_f$  asi 3 až 3,5 V - presné údaje je možné zistiť meraním alebo z katalógového listu. Pre voľbu hodnoty napájacieho napätia platí zásada, že pre čo najmenší ohrev stabilizačných prvkov modulu by napájacie napätie nemalo byť oveľa väčšie ako súčet napätí na pripojených LED + 1,4 V + 0,75 V. Pri dodržaní maximálneho napätia 15 V však nehrozí tepelné poškodenie modulu pri akejkoľvek kombinácii pripojených LED na výstupe kanálov. Je potrebné ale vyhnúť sa dlhodobému skratu na výstupe jednotlivých kanálov, pretože prúdový zdroj udržuje aj v tomto prípade nastavený výstupný prúd a celá tepelná záťaž je potom sústredená na jednotlivé stabilizačné tranzistory.

V obvode napájania modulu je zaradená ochranná dióda, ktorá zabráni jeho zničeniu pri nechcenom prepólovaní napájacieho napätia. Vzniká však na nej úbytok napätia asi 0,75 V, čo v niektorých hraničných prípadoch môže byť rozhodujúca hranica pre pripojenie väčšieho počtu LED na niektorý kanál. Preto je na module jumper JMP-X, ktorý umožňuje ochrannú diódu vyradiť z činnosti nasadením prepajky. Potom ale modul nie je chránený a pri prípadnom prepólovaní napájania sa pravdepodobne zničí.

Orientačne je na jeden kanál možné pripojiť:

- Pri napájanom napätí 5 V: jedna červená, alebo zelená, alebo biela LED (pre použite bielej, alebo zelenej

je potrebné vyradiť ochrannú diódu nasadením jumperu JMP-X).

- Pri napájanom napätí 7,4 V: dve až tri červené LED, pri vyradení ochrannej diódy dve biele, alebo dve zelené LED, závisí to však od  $U_f$  diód.

- Pri napájanom napätí 11,1 V: štyri červené LED, alebo tri biele, alebo tri zelené - podľa typu LED možno bude potrebné vyradiť ochrannú diódu.

Na jednom kanáli je samozrejme možné kombinovať LED rôznej farby, ale všetky musia byť určené na 20 mA.

Na napájanie modulu a LED je možné použiť samostatnú batériu, alebo aj batériu, z ktorej je napájaný regulátor, prijímač aj motor. Spôsob pripojenia je naznačený na obr. 8. Konektor z modulu môže, ale nemusí byť pripojený na voľný kanál prijímača alebo na rozdvojku typu Y - závisí to od toho, či požadujeme riadenie modulu z prijímača, alebo nie.

Ďalšou možnosťou je napájanie modulu priamo z výstupu prijímača. Podľa popisu k prijímaču je potrebné zistiť, na ktorých dvoch vývodoch výstupných portov je napájacie napätie vyvedené, najčastejšie je to stredný vývod (+) a jeden krajný vývod (-), výstupné konektory prijímačov sú väčšinou viditeľne označené. Na jeden kanál je vtedy možné pripojiť maximálne po jednej LED - ak použijeme biele alebo zelené LED, bude asi potrebné vyradiť ochrannú diódu.

Mechanicky môžeme napájacie vodiče modulu pripojiť priamo na dva vodiče idúce z konektora prijímača na servo (+ a -), alebo pripojiť napájacie vodiče modulu na samostatný konektor (na stredný a na jeden krajný vývod) a konektor zasunúť do ďalšieho voľného portu na prijímači alebo do rozdvojky Y. Galvanické oddelenie obvodov v tomto prípade stráca svoj význam, všetko je napájané z jedného zdroja. Treba si však uvedomiť, že v tomto prípade sú všetky LED napájané z prijímača a pri rozsvietení všetkých LED je odber asi 95 mA, s čím je potrebné počítať pri dimenzovaní BEC, z ktorého je prijímač, a teda aj modul väčšinou napájaný.

Do prívodu napájania modulu je podľa potreby možné zaradiť aj samostatný spínač, čo je výhodné hlavne pri programovaní modulu. Celkový prúd pretekajúci spínačom nebude pri rozsvietených všetkých LED väčší ako 100 mA.

Ak je pre niektoré aplikácie obmedzujúcim faktorom počet LED priamo pripojiteľných na jednotlivé výstupy modulu, alebo je pre LED potrebný podstatne väčší prúd, tak je možné pripojiť na výstupy modulu výkonové spínače, ktoré zabezpečia spínanie aj väčšieho počtu výkonnejších spotrebičov. V prípade LED sa však potom nevyhne zaradeniu príslušných predradných rezistorov. Príklad takého spínača s optočlenom a spínacím tranzistorom FET je na obr. 9. Maximálny prúd zťažou je daný typom tranzistora, s uvedeným typom to budú rádovo jednotky ampérov bez prídavného chladenia. V praxi však tieto prídavné spínače neboli realizované, plošný spoj nie je navrhnutý.

### Popis činnosti

Po pripojení napájacieho napätia na modul sa po asi dvoch sekundách na chvíľu rozsvietia všetky LED pripojené na jednotlivé výstupné porty. Po ich zhasnutí začnú súčasne rýchlo blikať obe LED na module. Počas tohto blikania, ktoré trvá asi 5 s, modul zisťuje, či je na vstupe modulu platný signál z prijímača a súčasne kontroluje, či nie je stlačené tlačidlo TL1, čo by znamenalo vstup do programovacieho módu. Programovací mód bude popísaný neskôr.

Po ukončení blikania oboch LED funguje modul jedným z týchto spôsobov:

- Ak je programovo nastavený režim AUTO, tak modul automaticky zistí prítomnosť signálu z prijímača. Ak modul zistil počas blikania LED platný signál z prijímača, teda modul bol pripojený k zapnutému prijímaču, ktorý mal spojenie s vysielateľom, tak po ukončení blikania LED ostane natrvalo svietiť zelená LED na module, a ten potom pracuje v riadenom režime. Jednotlivé kanály modulu sú až do jeho vypnutia riadené šírkou impulzu z prijímača podľa tab. 2 alebo 3 v závislosti od nastavenia varianty A alebo B, v závislosti od nastavenia jumperu JMP-3 a podľa nastavenia NORMAL/REVERS. Pri variante A je kanál FLASH1 spínaný súčasne s kanálom FLASH2, pri variante B je kanál FLASH1 spínaný súčasne s kanálmi POS1/POS2. Ak je jumper JMP-3 otvorený, tak sa uplatňuje 2-polohové spínanie. Rozhodovacia úroveň je vtedy nastavená na 1,5 ms, teda približne na stredovú polohu príslušného kniplu (prípadne spínača), ale dá sa s použitím vysielateľa alebo servotestera nastaviť podľa potreby. Ak je JMP-3 skratovaný, tak je nastavené 3-polohové spínanie a rozhodovacie úrovne sú štandardne nastavené približne na 1,33 ms a 1,66 ms, teda približne na 1/3 a 2/3 rozsahu príslušného kniplu (prípadne prepínača), ale

dajú sa s použitím vysielateľa alebo servotestera nastaviť podľa potreby. Ak v tomto režime vypadne signál na dlhšie ako 0,6 s, začnú všetky LED pripojené na výstupné porty modulu blikať. Súčasne sa natrvalo rozsvieti červená LED na module, takže po prístáti slúži táto LED na kontrolu, či nastal výpadok signálu počas letu. Po obnovení signálu sa obnoví aj normálna činnosť modulu. Výpadky signálu kratšie ako 0,6 s sú maskované a nie sú signalizované. UPOZORNENIE: funkcia signalizácie výpadku signálu sa neuplatňuje u niektorých prijímačov s tzv. „FAIL SAFE“, pretože tieto prijímače generujú impulzy vopred nastavenej šírky aj pri výpadku signálu, uplatnenie tejto funkcie závisí teda od typu prijímača.

- Ak je programovo nastavený režim AUTO a modul počas blikania LED nezistil platný signál z prijímača, lebo modul nebol pripojený k prijímaču, alebo prijímač bol vypnutý, tak po ukončení blikania prechádza modul do neriadeného režimu a dodatočné pripojenie prijímača už nie je akceptované. Ak je skratovaný jumper JMP-3, tak sa zopnú všetky kanály a ostanú zopnuté až do vypnutia modulu, teda pozičné kanály svietia trvalo, flash kanály blikajú podľa nastavenia. Ak je jumper JMP-3 otvorený, tak sa zopnú kanály POS1 a POS2 a pri nastavenej variante B aj kanál FLASH1 a po uplynutí nastaveného oneskorenia sa potom automaticky zopnú aj ostatné kanály. Činnosť modulu v tomto režime je znázornená v tab. 4.

Tab. 2

NORMAL			
RIADENÝ REŽIM - dvojpolohové riadenie (JMP3 - OFF)			
		Impulz < SET2	Impulz > SET2
Varianta A	POS1	ON	ON
	POS2	ON	ON
	FLASH1	OFF	BLINK
	FLASH2	OFF	BLINK
Varianta B	POS1	ON	ON
	POS2	ON	ON
	FLASH1	BLINK	BLINK
	FLASH2	OFF	BLINK

REVERS			
RIADENÝ REŽIM - dvojpolohové riadenie (JMP3 - OFF)			
		Impulz < SET2	Impulz > SET2
Varianta A	POS1	ON	ON
	POS2	ON	ON
	FLASH1	BLINK	OFF
	FLASH2	BLINK	OFF
Varianta B	POS1	ON	ON
	POS2	ON	ON
	FLASH1	BLINK	BLINK
	FLASH2	BLINK	OFF

Tab. 3

NORMAL				
RIADENÝ REŽIM - trojpolohové riadenie - (JMP3 - ON)				
		Impulz < SET1	SET1 < Impulz < SET3	Impulz > SET3
Varianta A	POS1	OFF	ON	ON
	POS2	OFF	ON	ON
	FLASH1	OFF	OFF	BLINK
	FLASH2	OFF	OFF	BLINK
Varianta B	POS1	OFF	ON	ON
	POS2	OFF	ON	ON
	FLASH1	OFF	BLINK	BLINK
	FLASH2	OFF	OFF	BLINK

REVERS				
RIADENÝ REŽIM - trojpolohové riadenie - (JMP3 - ON)				
		Impulz < SET1	SET1 < Impulz < SET3	Impulz > SET3
Varianta A	POS1	ON	ON	OFF
	POS2	ON	ON	OFF
	FLASH1	BLINK	OFF	OFF
	FLASH2	BLINK	OFF	OFF
Varianta B	POS1	ON	ON	OFF
	POS2	ON	ON	OFF
	FLASH1	BLINK	BLINK	OFF
	FLASH2	BLINK	OFF	OFF

Tab. 4

NERIADENÝ REŽIM				
		JMP3 - ON	JMP3 - OFF	
		Hneď po zapnutí	PRED uplynutím času ONESKORENIE	PO uplynutí času ONESKORENIE
Varianta A	POS1	ON	ON	ON
	POS2	ON	ON	ON
	FLASH1	BLINK	OFF	BLINK
	FLASH2	BLINK	OFF	BLINK
Varianta B	POS1	ON	ON	ON
	POS2	ON	ON	ON
	FLASH1	BLINK	BLINK	BLINK
	FLASH2	BLINK	OFF	BLINK

- Ak je programovo nastavený režim RX, tak po ukončení blikania LED ostane trvalo svietiť zelená LED a modul prechádza do riadeného režimu bez ohľadu na to, či je, alebo nie je pripojený prijímač. Ak je na vstupe platný signál, tak sú jednotlivé kanály spínané podľa príslušných nastavení a v závislosti od šírky impulzu podľa tab. 2 alebo 3, ak signál na vstupe nie je, tak všetky pripojené LED blikajú ako pri strate signálu - opäť platí obmedzenie pre niektoré prijímače FAIL SAFE.

- Ak je programovo nastavený režim NERIADENÝ, tak po ukončení blikania LED modul prechádza do neriadeneho režimu bez ohľadu na to, či je, alebo nie je pripojený prijímač. Činnosť zariadenia je potom taká istá ako v druhom odstavci.

V tabuľkách sú použité nasledujúce symboly:

- Pri dvojpohovom spínaní je symbolom SET2 označená nastavená úroveň (šírka impulzu), pri ktorej dochádza k spínaniu kanálov podľa tab. 2.

- Pri trojpohovom spínaní je symbolom SET1 označená prvá nastaviteľná úroveň (šírka impulzu) a symbolom SET3 druhá nastavená úroveň (šírka impulzu), pri ktorých dochádza k spínaniu jednotlivých kanálov podľa tab. 3.

- NORMAL riadenie znamená, že príslušné kanály sú spínané pri postupnom zväčšovaní šírky impulzu.

- REVERS riadenie znamená, že príslušné kanály sú spínané pri postupnom zmenšovaní šírky impulzu.

- ON - zapnutý - svieti, OFF - vypnutý - nesvieti, BLINK - bliká podľa toho, ako je naprogramovaný.

### Programovanie (tab. 5)

Ak počas úvodného 5 s blikania oboch LED dôjde k stlačeniu tlačidla TL1, prejde modul do základného programovacieho módu. V tomto móde obidve LED budú trvalo svietiť. Z tohto módu môžeme prejsť na jednotlivé nastavenia podľa popisu nižšie. Ukončenie programovacieho módu sa robí vypnutím napájania.

V základnom programovacom móde teda môžeme:

a) 1x stlačiť TL0 a potvrdiť TL1 - skok na programovanie VARIANTY a NORMAL/REVERS.

b) 2x stlačiť TL0 a potvrdiť TL1 - skok na programovanie REŽIMU - AUTO, RIADENÝ, NERIADENÝ.

c) 3x stlačiť TL0 a potvrdiť TL1 - skok na programovanie ONESKORENIA.

d) 4x stlačiť TL0 a potvrdiť TL1 - skok na programovanie blikania kanálov FLASH1/FLASH2.

e) 5x stlačiť TL0 a potvrdiť TL1 - skok na programovanie spínacích úrovní SET/SET2/SET3.

Ad a): V tomto režime pomalšie a súčasne blikajú obe LED na module. Modul očakáva dve stlačenia tlačidiel, potom prechádza späť do Základného menu.

- postupným stlačením TL0 a opäť TL0 sa nastaví VARIANTA A a riadenie NORMAL;

- postupným stlačením TL0 a potom TL1 sa nastaví VARIANTA A a riadenie REVERS;

- postupným stlačením TL1 a potom TL0 sa nastaví VARIANTA B a riadenie NORMAL;

- postupným stlačením TL1 a opäť TL1 sa nastaví VARIANTA B a riadenie REVERS;

Ad b): V tomto režime svieti červená LED a bliká zelená LED. Ak teraz 1x stlačíme TL0 a potvrdíme TL1, nastaví sa režim AUTO a modul prejde späť do základného programovacieho

Tab. 5. Programovacie menu

Základné menu		
ZELENÁ LED	ČERVENÁ LED	
svieti	svieti	
Možnosti		
1x stlačiť TL0 a potvrdiť TL1		skok na menu VARIANTA/RIADENIE
2x stlačiť TL0 a potvrdiť TL1		skok na menu REŽIM
3x stlačiť TL0 a potvrdiť TL1		skok na menu ONESKORENIE
4x stlačiť TL0 a potvrdiť TL1		skok na menu FLASH1/FLASH2
5x stlačiť TL0 a potvrdiť TL1		skok na menu SET1-2-3
Ukončenie Základného menu - vypnutím napájania		
Menu VARIANTA/RIADENIE		
ZELENÁ LED	ČERVENÁ LED	
blíká	blíká	
Možnosti		
1x stlačiť TL0 a znovu 1x stlačiť TL0		nastaví VARIANTU A a riadenie NORMAL a vráti sa do Základného menu
1x stlačiť TL0 a potom 1x stlačiť TL1		nastaví VARIANTU A a riadenie REVERS a vráti sa do Základného menu
1x stlačiť TL1 a potom 1x stlačiť TL0		nastaví VARIANTU B a riadenie NORMAL a vráti sa do Základného menu
1x stlačiť TL1 a znovu 1x stlačiť TL1		nastaví VARIANTU B a riadenie REVERS a vráti sa do Základného menu
Menu REŽIM		
ZELENÁ LED	ČERVENÁ LED	
blíká	svieti	
Možnosti		
1x stlačiť TL0 a potvrdiť TL1		nastaví režim AUTO a vráti sa do Základného menu
2x stlačiť TL0 a potvrdiť TL1		nastaví režim RIADENÝ a vráti sa do Základného menu
3x stlačiť TL0 a potvrdiť TL1		nastaví režim NERIADENÝ a vráti sa do Základného menu
Menu ONESKORENIE		
ZELENÁ LED	ČERVENÁ LED	
svieti	blíká	
Možnosti		
N x stlačiť TL0 a potvrdiť TL1		nastaví ONESKORENIE na hodnotu N x 1/2 minúty a vráti sa do Základného menu
Menu FLASH1/FLASH2		
ZELENÁ LED	ČERVENÁ LED	
svieti	nesvieti	
Možnosti		
16 stlačení TL0 alebo TL1		Nastavenie FLASH1: v poradí intervalov 1 až 16 nastaví svietenie/nesvietenie kanálov FLASH1 - stlačenie TL0 znamená <b>nesvietenie</b> v príslušnom intervale, stlačenie TL1 znamená <b>svietenie</b> v príslušnom intervale, po 16-tom stlačení automaticky prechádza na nastavenie kanálov FLASH2
16 stlačení TL0 alebo TL1		Nastavenie FLASH2: v poradí intervalov 1 až 16 nastaví svietenie/nesvietenie kanálov FLASH2 - stlačenie TL0 znamená <b>nesvietenie</b> v príslušnom intervale, stlačenie TL1 znamená <b>svietenie</b> v príslušnom intervale, po 16-tom stlačení je nastavená kombinácia automaticky uložená do pamäte na pozíciu danú aktuálnym nastavením jumperov JMP1 a JMP2
podľa nastavenia	podľa nastavenia	Po automatickom uložení do pamäte je pre kontrolu nastavenia automaticky spustené blikanie nastavenej kombinácie FLASH1/FLASH2. Blikajú LEDky na kanáloch FLASH1 a FLASH2 (ak sú pripojené) a taktiež zelená LED (ako kanál FLASH1) a červená LED (ako kanál FLASH2). Tento režim sa ukončuje súčasným stlačením oboch tlačidiel, po ktorom nasleduje skok na Základné menu.
súčasným stlačením TL0 a TL1		
Menu SET1-2-3 (modul musí byť pripojený k zapnutému prijímaču)		
ZELENÁ LED	ČERVENÁ LED	
nesvieti	rýchlo blíká	
Možnosti (v tomto poradí)		
Nastaviť na vysielací knipom požadovanú polohu SET1 a stlačiť TL1		zapiíše do pamäte nastavenie SET1
Nastaviť na vysielací knipom požadovanú polohu SET2 a stlačiť TL1		zapiíše do pamäte nastavenie SET2
Nastaviť na vysielací knipom požadovanú polohu SET3 a stlačiť TL1		zapiíše do pamäte nastavenie SET3 a vráti sa do Základného menu

módu. Ak 2x stlačíme TL0 a potvrdíme TL1, nastaví sa režim RX a modul prejde späť do základného programovacieho módu. Ak 3x stlačíme TL0 a potvrdíme TL1, nastaví sa režim NERIADENÝ a modul prejde späť do základného programovacieho módu.

Ad c): V tomto režime svieti zelená LED a bliká červená LED. Oneskorenie nastavíme tak, že N-krát stlačíme TL0 a potvrdíme TL1. Hodnota sa uloží do pamäte a modul prejde späť do základného programovacieho menu. Jedno stlačenie TL0 znamená oneskorenie 0,5 minúty, ak teda potrebujeme nastaviť oneskorenie napríklad 7 minút, stlačíme TL0 14-krát a potvrdíme TL1.

Ad d): Pred výberom tohto módu nastavíme požadovanú kombináciu jumperov JMP-1 a JMP-2, teda vyberieme pamäťové miesto, na ktoré bude kombinácia, ktorú ideme nastavovať, uložená. Po vstupe do tohto režimu svieti trvalo zelená LED, červená je zhasnutá. Každé stlačenie TL0 alebo TL1 znamená potom naprogramovanie jedného 60 ms intervalu kanálu FLASH1 - stlačením TL0 naprogramujeme interval na 0 (zhasnutie LED), stlačením TL1 naprogramujeme interval na 1 (rozsvietenie LED). Na naprogramovanie celého reťazca FLASH1 teda potrebujeme celkom 16 stlačení - nič nepotvrdzujeme. Ak napríklad chceme naprogramovať blikanie podľa tab. 1, tak 8x stlačíme TL1 a potom 8x TL0.

Po 16 stlačeniach prejde modul automaticky na nastavovanie intervalov pre FLASH2. Zhasne zelená LED a rozsvieti sa červená LED. Teraz je potrebné podľa našej požiadavky 16x stlačiť TL0 alebo TL1. Pre prípad podľa tab. 1 teda 8x stlačíme TL0 a potom 8x TL1.

Po 16 stlačeniach dôjde k uloženiu práve nastavenej kombinácie na pamäťové miesto, určenej kombináciou jumperov JMP-1 a JMP-2, teda sa prepíše predtým nastavená kombinácia aktuálnou. Hneď nato sa spustí vizuálna kontrola práve nastavenej kombinácie. LED pripojené na kanály FLASH1 a FLASH2 začnú blikat podľa práve nastavenej kombinácie. Súčasne bliká aj zelená LED na module ako kanál FLASH1 a červená LED na module ako kanál FLASH2. Tak je možná kontrola nastavenia aj bez pripojených LED na výstupných portoch. Tento režim ukončíme súčasným stlačením oboch tlačidiel, modul potom prejde späť do základného menu. Ak nám nastavenie nevyhovuje, ponecháme nastavenie JMP-1 a JMP-2, prejdeme opäť do menu FLASH1/FLASH2 (4x stlačiť TL0 a potvrdiť TL1) a môžeme nastavenie opakovat podľa potreby. Ak nastavenie vyhovuje, môžeme zmeniť nastave-

VARIANTA	A
RADENIE	NORMAL
REŽIM	AUTO
ONESKORENIE	5 minút

SET1	1,33ms
SET2	1,5ms
SET3	1,66ms

Tab. 6. „DEFAULT“ nastavenie modulu

	JMP1	JMP2	DEFAULT nastavená kombinácia															
			1	2	3	4	5	6	7	8	9	10	11	12	13	14	15	16
FLASH1	OFF	OFF	1	0	1	0	1	0	0	0	0	0	0	0	0	0	0	0
FLASH2			0	0	0	0	0	0	0	1	0	1	0	1	0	0	0	0
FLASH1	ON	OFF	1	0	0	0	0	0	0	0	0	1	0	0	0	0	0	0
FLASH2			0	1	0	1	0	0	0	0	0	0	1	0	1	0	0	0
FLASH1	OFF	ON	1	0	1	0	0	0	0	0	0	1	1	1	1	0	0	0
FLASH2			0	0	0	0	1	0	1	0	0	0	0	0	0	1	1	1
FLASH1	ON	ON	1	0	1	0	1	0	0	0	1	0	0	0	0	0	0	0
FLASH2			0	0	0	0	0	1	0	1	0	0	0	0	1	0	1	0

nie JMP-1 a JMP-2 a naprogramovať iné pamäťové miesto. Celkovo sú k dispozícii 4 pamäťové miesta, teda máme možnosť naprogramovať 4 kombinácie a v prevádzke potom vybrať tú požadovanú nastavením správnej kombinácie JMP-1 a JMP-2.

Ad e): Pri tomto nastavovaní je potrebné, aby modul bol pripojený k zapnutému prijímaču, ktorý má spojenie s vysielačom, a to na kanál, na ktorom nie je v TX zapnutý REVERS a ktorý je ovládaný kniplom. Druhou možnosťou je pripojenie modulu k servotesteru, ktorý umožňuje manuálne nastavovať šírku výstupného impulzu. Po vstupe do tohto módu rýchlo bliká červená LED, zelená nesvieti. Na knipli nastavíme polohu, ktorá zodpovedá požadovanej prvej spínacej pozícii pri trojpolohovom spínaní (SET1) a pri držaní knipla na chvíľku stlačíme TL1. Potom nastavíme kniplom požadovanú spíniacu polohu pri dvojpolohovom spínaní (SET2) a opäť na chvíľku stlačíme TL1. Nakoniec nastavíme kniplom druhú spíniacu pozíciu pri trojpolohovom spínaní (SET3) a opäť stlačíme TL1. Poradie nastavovania SET1 - SET2 - SET3 musí byť dodržané, nie je možné ho meniť. Po treťom stlačení TL1 sú nastavené hodnoty SET1, SET2 a SET3 uložené do pamäte a modul prechádza späť do základného menu.

*Všetky nastavenia sú uložené do pamäte a sú zachované aj pri vypnutí napájacieho napätia.*

Po naprogramovaní procesora s použitím priloženého AL4C.HEX súboru sú v ňom uložené tzv. „DEFAULT“ nastavenia, uvedené v tab. 5. Ak sa po vlastných zmenách v nastavení potrebujeme z nejakého dôvodu vrátiť k pôvodnému „DEFAULT“ nastaveniu, takto môžeme kedykoľvek urobiť tak, že podržíme stlačené obe tlačidlá a zapneme napájanie. Po načítaní „DEFAULT“ nastavenia, asi za 2 sekundy, začnú obe LED striedavo bli-

kať. Tento režim ukončíme vypnutím napájania. Pri následnom zapnutí bude modul nastavený podľa tab. 6.

**V prípade záujmu je možné zaslatať naprogramovaný mikroprocesor za maloobchodnú cenu bez prirážky - po predchádzajúcej dohode s autorom prostredníctvom mailu: jaromacko100@gmail.com.**

**Pozn. red.: Program si môžete stáhnout na [www.aradio.cz](http://www.aradio.cz).**

### Použitá literatúra

- [1] Katalóg SOS elektronik
- [2] Datasheet Microchip PIC16F84

### Zoznam použitých súčiastok

R1	820 Ω, SMD-0805
R2, R3,	
R4, R5	4,7 kΩ, SMD-0805
R6	3,3 kΩ, SMD-0805
R7, R8	680 Ω, SMD-0805
R9, R10,	
R11, R12	1 kΩ, SMD-0805
R13, R15,	
R17, R19	27 Ω, SMD-0805
R14, R16, R18, R20 podľa potreby	
C1, C2,	
C3, C6	100 nF, keram., SMD-0805
C3, C4	33 pF, keram., SMD-0805
EC1	4,7 μF/25 V, tantal., SMD-B
LED1	zelená, 2 mA, 3 mm
LED2	červená, 2 mA, 3 mm
D1	TT4148, SMD-1206 alebo MINIMELF
D2, D3,	
D4, D5	BAV99, SOT-23
Q1	BC846B, SOT-23
Q2, Q3,	
Q4, Q5	BC546B, TO-92
U1	2950-3,3V, TO-92
U2	PIC16F84-04 I/P, DIP-18
U3	PC814, DIP-4
QZ1	4 MHz, nízky
SW1, SW2	mikrotlačidlo do plošných spojov
J1	jumperová lišta jednoradová uhlová - 6 vývodov
J2	jumperová lišta jednoradová uhlová - 8 vývodov
J3	jumperová lišta dvojradová uhlová - 1 pár vývodov

# Konzervátor Pb akumulátoru

Jan Zima

Účelem této konstrukce je snaha prodloužit dobu využití 12V olověného akumulátoru. Tento typ akumulátoru je často využíván v automobilech i záložních zdrojích. V automobilech není akumulátor nikdy nabíjen na maximum své kapacity, a proto se doporučuje jej alespoň občas úplně nabít nebo ještě lépe jej cyklicky nabíjet a vybíjet v malém rozsahu. Při vybíjení se tvoří síran olovnatý (tzv. sulfatace), který nabíjením částečně mizí, ale tento jev není vratný úplně. Pokud je akumulátor vybíjen a nabíjen velkými proudy, sulfát tvoří hrubé krystaly, které zhoršují vlastnosti akumulátoru. Teprve nabíjení a vybíjení malými proudy tento sulfát mění na jemnozrný, proto je důležité používat malé proudy. Prodloužení života akumulátoru tedy dosáhneme zpomalením pokrytí desek sulfátem.

K maximální sulfataci desek dochází při nedobíjení, necháme-li akumulátor delší dobu ve vybitém stavu, je-li hladina elektrolytu nižší, než je předepsáno, nebo při tzv. hlubokém vybíjení pod dovolenou mez (<8 V). Pokud si postavíme svůj záložní zdroj (například pro napájení elektroniky a oběžných čerpadel pro topení či solární systém), nastane problém, jak pečovat o akumulátor, na který se časem snadno zapomene. Většina obdobných zapojení se lépe či hůře

o akumulátor postará, ale v průběhu provozu již většinou chybí informace o stavu a činnosti celého zařízení. To je mimo jiné také úkolem této konstrukce.

## Základní technické údaje

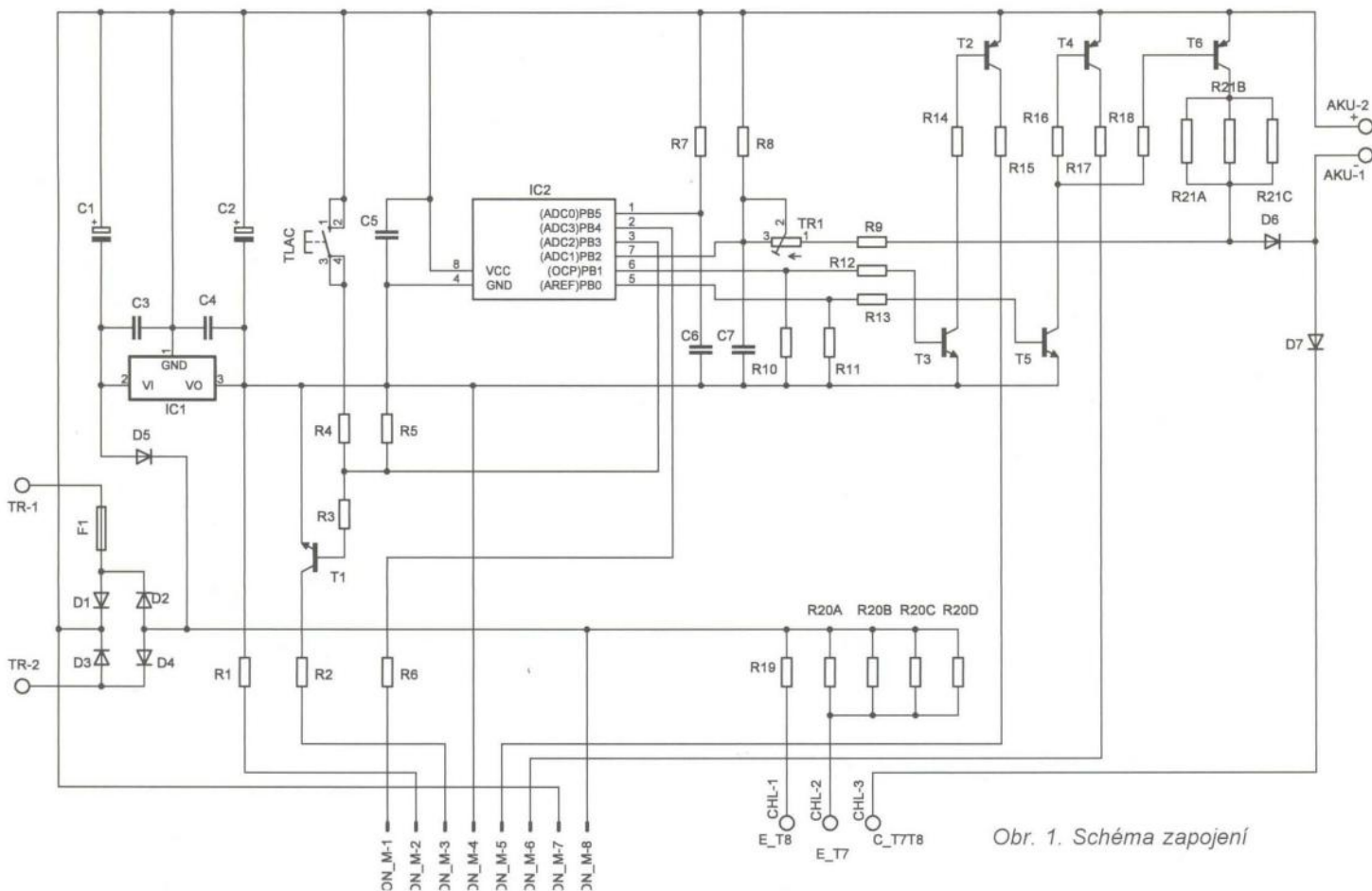
Akumulátor: olověný 12 V (6 článků).  
Nabíjecí pulsní proud: 0,8 A.  
Vybíjecí ss proud: 1 A.  
Udržované napětí: 13,75 V až 14 V (podle zadaných kalibračních hodnot).

Výstup dat: proudová smyčka 20 mA, rychlost 9600 bitů/s ve formátu 8 bitů, 1 stop bit, bez parity.

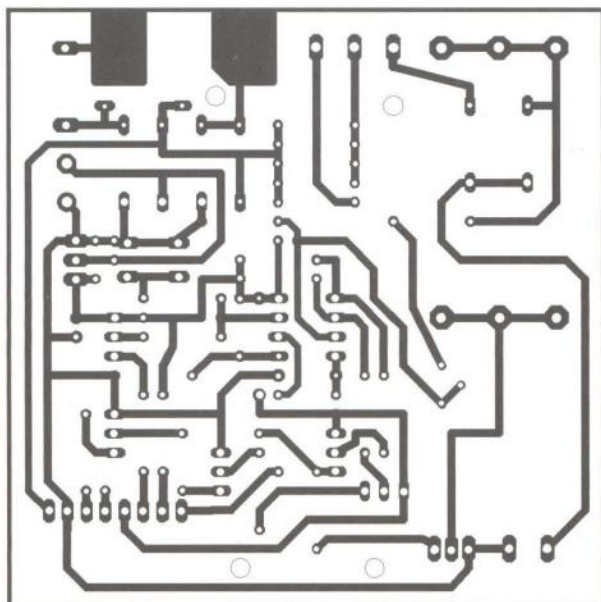
## Popis zapojení

Akumulátor je nabíjen usměrněným nevyhlazeným pulsním půlvlnným proudem, dokud nedosáhne požadovaného zadaného napětí. Pak je zahájeno jeho vybíjení na úroveň menší asi o 0,25 V, a po té je opět nabíjen. Stav hlubokého vybití nebo zkrat na přírodním kabelu je také indikován. Informace o napětí akumulátoru je vysílána proudovou smyčkou pro případnou kontrolu či dlouhodobou statistiku o stavu udržovaného akumulátoru.

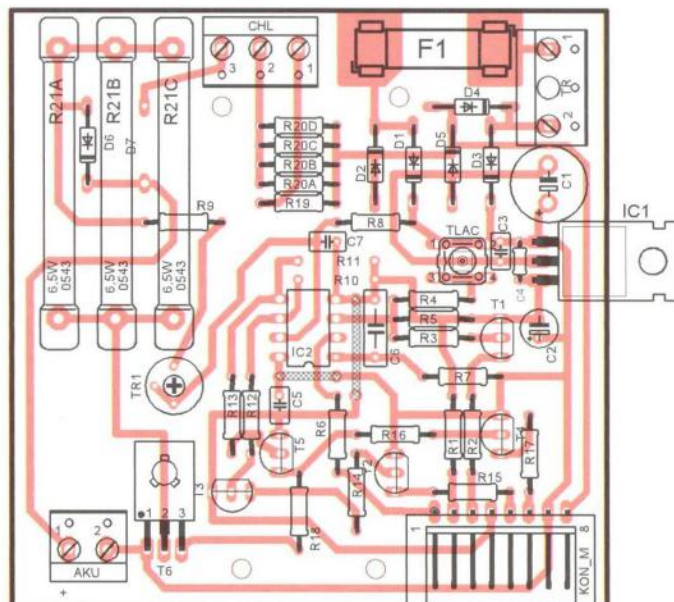
Schéma zapojení je na obr. 1. Skládá se z několika funkčních celků - napájecího zdroje, zdroje proudu pro nabíjení, zatěžovacích rezistorů pro vybíjení akumulátoru a řídicí jednotky i převodníku úrovně TTL/proud 20 mA. Celá konstrukce je vestavěna do krabičky vyrobené z kupřextitu. Pro napájení celé elektroniky je využit 15W transformátor, který poskytuje 20 V na sekundární straně. Je vhodné jej jistit tepelnou pojistkou umístěnou na cívce vinutí a jako ochrana sekundárního vinutí transformátoru je použita klasická trubičková pojistka F1. Střídavé napětí ze sekundárního vinutí transformátoru je usměrněno diodovým můstkem D1 až D4. Toto pulsní napětí je dále využito



Obr. 1. Schéma zapojení



Obr. 2. Deska s plošnými spoji



Obr. 3. Rozmístění součástek

pro zdroj proudu (tranzistory T7, T8) a odděleno diodou D5 pro stabilizátor napětí -5 V a pro napájení IC2 (MCU) i ovládání nabíjení či vybíjení akumulátoru. Kondenzátory C1, C2 a IC1 tvoří zdroj stabilizovaného napětí -5 V, C3 a C4 jsou blokovací proti zakmitávání IC1.

Toto poněkud netradiční zapojení se společným + pólem napájecího zdroje bylo zvoleno z důvodu velmi nízkého tepelného odporu T7 a tím pádem výsledného menšího rozměru chladiče. IC1 při velmi malém odběru neudrží své výstupní stabilizované napětí, a protože IC2 má v klidu velmi malý odběr, je IC1 zatížen žlutou LED D9 a R1. Napětí akumulátoru MCU měří na PB2 10bitovým převodníkem A/D, který využívá vnitřní zdroj referenčního napětí. Přesnost převodu je dána jeho stabilitou, protože se měří zásadně ve „sleep“ módu, který zabezpečí minimální šum na čipu MCU. Naměřené hodnoty kolísají  $\pm 2$  digit, což poskytuje přesnost zhruba  $\pm 15$  mV, tedy pro tyto potřeby dostačující. „Reset“ MCU IC2 je zabezpečen R7 a C6 na PB5. Tlačítko TLAC s R4 slouží k zadávání kalibračních hodnot a T1 spolu s R3, R5 ovládá červenou LED

D8 pro indikaci nízkého napětí akumulátoru při běžném provozu nebo při kalibraci.

Stav nabíjení a vybíjení je indikován dvoubarevnou G/R LED D10, jejíž zelená LED je zároveň využita jako referenční napětí zdroje proudu (T7, T8) pro nabíjení. Hodnota paralelně spojených rezistorů R20A, R20B, R20C, R20D určuje velikost nabíjecího proudu. Chceme-li tedy pro své potřeby zvolit jiný nabíjecí proud, stačí osadit jiné odpory rezistorů.

Pro větší nabíjecí proud je však třeba zvolit jiný chladič s odpovídajícím tepelným odporem (případně jiný typ či prodloužit délku), pro menší proudu je samozřejmě možné chladič zmenšit. Nabíjení ovládá MCU na PB1 tranzistory T2, T3, T7, T8 a je indikováno zeleným svitem D10 (pokud není připojen akumulátor, LED nesvítí). Vybíjení je ovládáno na PB0 tranzistory T4, T5, T6 a indikováno červeným svitem D10. Odpor paralelně spojených rezistorů R21A, R21B, R21C určuje velikost vybíjecího proudu a lze je také změnit podle svých potřeb.

Napětí akumulátoru je měřeno na PB2 prostřednictvím děliče R8, R9, TR1 a jeho změřenou hodnotu MCU

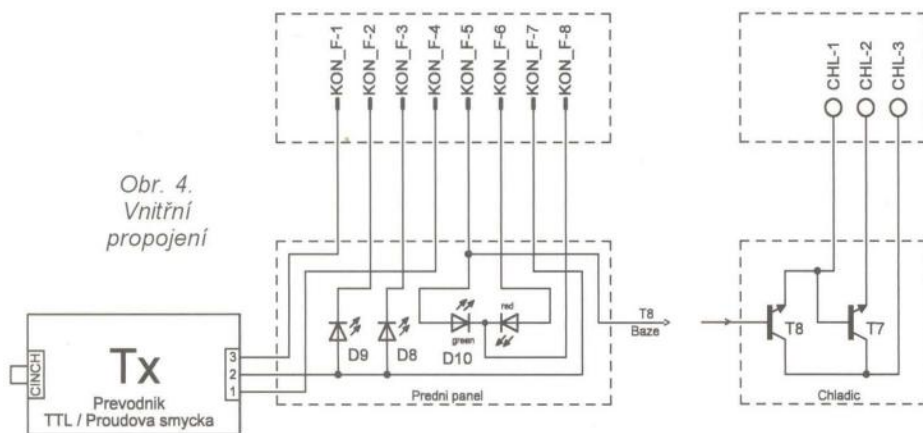
periodicky vysílá na PB4 rychlostí 9600 bitů/s prostřednictvím převodníku TTL/proudová smyčka 20 mA, což umožňuje značně prodloužit vysílací linku, případně celé zařízení galvanicky oddělit od sběrné jednotky (např. PC). Schéma převodníku je na obr. 5 a tvoří jej T9, LED D11 (slouží jako referenční zdroj napětí pro zdroj proudu a k indikaci uzavření okruhu proudové smyčky) a proud 20 mA je nastaven rezistorem R23. Tento převodník není nezbytně nutný a je možné jej vynechat.

### Popis konstrukce

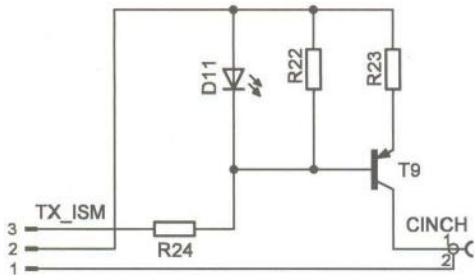
Deska s plošnými spoji (DPS) je z důvodu jednoduchosti i snadné realizovatelnosti navržena jako jednostranná a jsou v ní pouze dvě drátové spojky. Pohled ze strany součástek je na obr. 2 a pohled ze strany spojů je na obr. 3. Protože indikační LED jsou umístěny na předním panelu, je s ním DPS propojena konektorem KON\_M / KON\_F (obr. 1, obr. 4) se zlacenými vývody z důvodu spolehlivosti. Pokud neseženeme tento konektor pozlacený, raději připájíme propojovací vodiče napevno do desky, protože při ztrátě vodivého spojení se zelenou LED D10 při nabíjení se proudový zdroj změní v neregulovaný! Tranzistory T7 a T8 (obr. 4) jsou umístěny na chladiči, na kterém je také připevněn IC1 (pozor na galvanické odizolování pouzdra IC1 od chladiče - jeho chladič ploška má jiné napětí než kolektory T7, T8).

Celá DPS je přišroubována na chladiči distančními sloupky šrouby M3. Na desce vyvrtáme vrtákem o průměru 1,5 mm 4 předznačené otvory, přiložíme ji na chladič a stejným vrtákem svrtáme s chladičem. Vyvrtáme větší otvory do DPS, chladiče (pro závit šroubů držících DPS i transfor-

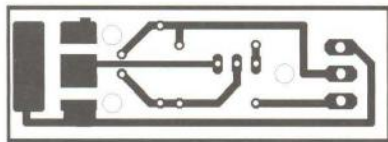
Obr. 4. Vnitřní propojení



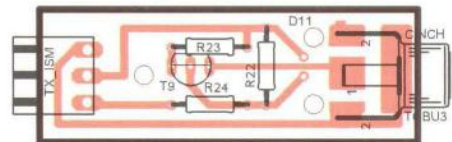




Obr. 5. Schéma zapojení převodníku



Obr. 6. Deska převodníku



Obr. 7. Rozmístění součástek převodníku

mátor) a vyřízneme závitů pro šrouby k uchycení DPS i transformátoru. Potom vyvrtáme díry v DPS pro ostatní součástky, osadíme drátové spojky, objímku pro IC2 a konektor KON\_M, který přilepíme sekundovým lepidlem k DPS. Přišroubujeme T7, T8 i IC1 na chladič a opatříme je propojovacími vodiči pro DPS. Osadíme ostatní součástky a chladič, DPS i transformátor spojíme šrouby. Takto vzniklý modul připevníme na dno skříňky.

Všechny LED z obr. 4 umístíme na přední panel a propojíme s konektorem KON\_F, se kterým také spojíme případný modul převodníku TTL/proud 20 mA. Na cívku transformátoru sekundovým lepidlem přilepíme (obr. 10) tepelnou pojistku, kterou propojíme do série s primárním vinutím transformátoru a přívodní šňůrou. Pohled na hotové zařízení je na obr. 8 a obr. 9.

### Oživení

Po sestavení celého modulu zapojíme transformátor zástrčkou do sítě 230 V a zkontrolujeme výstupní napětí na anodách D1, D3 nebo katodách D2, D4. Na vývodech 8 a 4 objímky pro IC2 zkontrolujeme stabilizované napětí -5 V, stiskem tlačítka TLAC se musí rozsvítit červená LED D8 ( $U_{bat} < 10\text{ V}$ ) a stejně tak propojením vývodů 8 a 3 objímky IC2.

Na vývody AKU-2 i AKU-1 připojíme zdroj regulovatelného napětí, trimr TR1 otočíme do střední polohy a na vývody 4 i 7 objímky IC2 připojíme voltmetr se vstupním odporem alespoň 10 M $\Omega$ . Změnou zdroje napětí v rozmezí 7,15 až 15 V bychom měli naměřit na objímce IC2 napětí mezi 0 až 2,56 V. Pokud ne, zkusíme změnit požadovaný rozsah trimrem TR1, a pokud ani to nepůjde, změnou R9 dosáhneme požadovaný rozsah.

Po nastavení odpojíme zdroj napětí od svorek AKU-2 i AKU-1 a připojíme na ně vhodnou zátěž (např. žárovku 12 V/15 W). Propojíme zkratovací propojkou vývody 6 i 8 objímky IC2 a měla by se rozsvítit žárovka i zelená LED D10. Propojením vývodů 5 i 8 (na krátkou dobu) by měl jas žárovky pohasnout a v LED D10 svítit zelená i červená současně. Pokud je vše v pořádku, vyzkoušíme vše ještě jednou na reálném 12V olověném akumulátoru (nejprve nabíjení a po odstranění propojky vývodů 6 i 8 také vybíjení). Pokud něco není v pořádku, odstraníme příčinu nefungující větve a můžeme přikročit ke zkaližování přístroje.

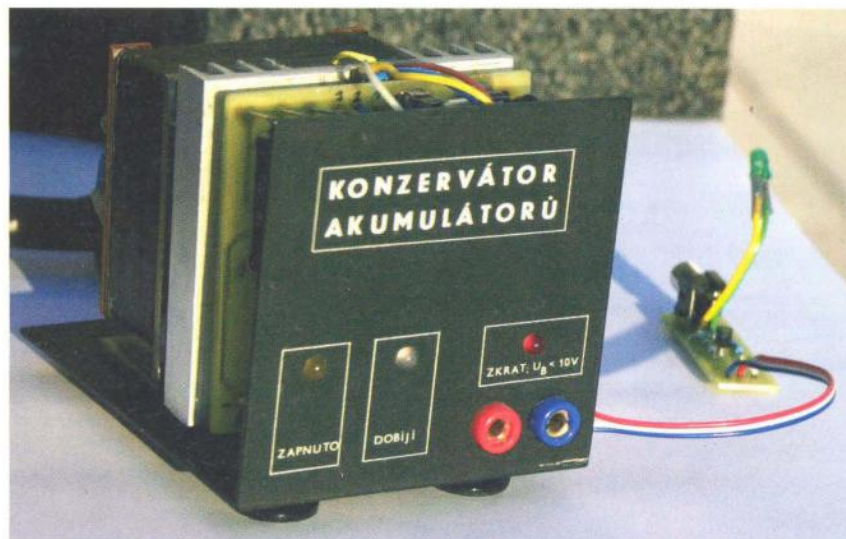
Naprogramujeme IC2 přiloženým programem (formát Intel hex) a vsuneme jej do objímky (při vypnutém přístroji!). Je vhodné také připojit vysílací modul (obr. 5, 6, 7) a zakončit ho na protější straně modulem proudové smyčky (viz PE 9/2007), aby bylo možné kontrolovat měřené hodnoty a stavy na PC. K příjmu stačí např. Hyperterminál z Windows nebo jiný vhodný terminálový program pro příjem dat po sériovém portu PC. Je

potřeba u těchto programů nastavit hodnoty 8 bitů, 1 stop bit a bez parity.

Ke svorkám AKU-2 i AKU-1 připojíme zdroj stabilizovaného napětí a nastavíme ho na 7,15 V. Pro vstup do kalibračního režimu i zadávání vstupního napětí bude nutné vždy stisknout tlačítko TLAC a pro vyhodnocení úspěšného stisku je třeba tlačítko držet déle než 0,5 s, ale ne déle než 10 s, jinak MCU přejde do chybového stavu, který hlásí trvalým blikáním červené LED D8. Voltmetr s vnitřním odporem alespoň 10 M $\Omega$  připojíme na vývody 4 i 7. Po zapnutí napájení 230 V svítí žlutá kontrolní LED D9 a po 5 s 4x zabliká D8. V průběhu tohoto blikání je třeba stisknout TLAC, podržet a po skončení blikání D8 je držet ještě nejméně 0,5 s (viz výše uvedené pravidlo). Po uvolnění tlačítka máme přibližně 3 minuty k nastavení napětí 2,50 V na V-metru trimrem TR1. Po nastavení tuto hodnotu potvrdíme stiskem TLAC a MCU to potvrdí dvojitým bliknutím D8 (a začne v pravidelných intervalech vysílat zapsanou kalibrační hodnotu na PB4). Pokud nestihneme potvrdit nastavené napětí stiskem TLAC do 3 minut, MCU přejde do chybového stavu (trvalé blikání D8). Pak je třeba vypnout napájení a začít znovu.

Vypneme konzervátor, nastavíme na svorkách AKU-2, AKU-1 napětí 14,0 V, zapneme konzervátor, v průběhu 4x bliknutí stiskneme TLAC a vstoupíme opět do režimu kalibrace. Na voltmetru by mělo být kladné napětí několik desítek mV a opět potvrdíme stiskem TLAC. MCU sám rozliší, že se jedná o dolní či horní kalibrační hodnotu, a pokud vše proběhlo úspěšně, opět vypneme konzervátor. Pokud vlastníme stabilizovaný regulovatelný zdroj, který je schopen poskytnout alespoň 14 V/2 A, zatížíme jej odporovou zátěží 1 A při 12 V a připojíme k němu zkaližovaný konzervátor, který zapneme. Změnou napětí regulovaného zdroje zkontrolujeme správnou funkci konzervátoru. Pokud takový zdroj nemáme, připojíme konzervátor na olověný 12V akumulátor v sérii s ampérmetrem a voltmetrem kontrolujeme napětí akumulátoru. Vše můžeme snímat (díky proudové smyčce) v PC a zpětně tak kontrolovat správnou funkci zařízení.

Normální funkce konzervátoru probíhá tak, že se po zapnutí vyčká 5 s, 4x zabliká D8 (možnost přechodu do kalibrace) a pak se vždy akumulátor 25 s nabíjí, po té se 1 s vyčká zklidnění napětí na akumulátoru a to pro-



Obr. 8. Fotografie předního panelu

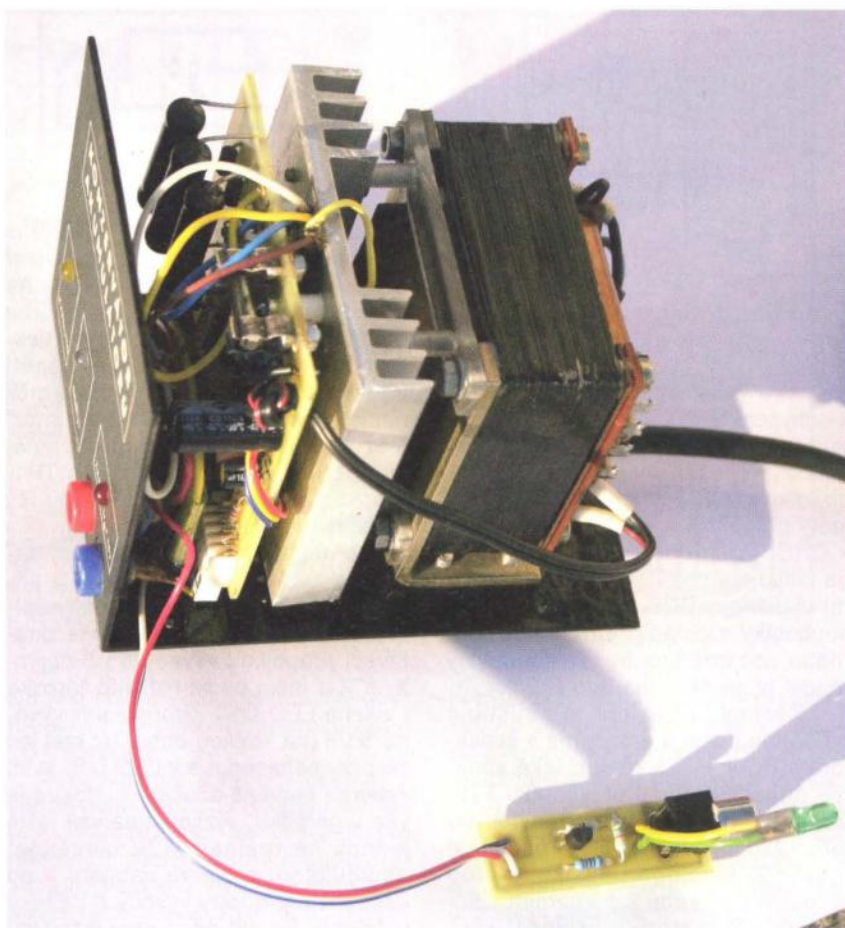
bíhá tak dlouho, dokud akumulátor nedosáhne napětí 14,0 V. Po dosažení této hodnoty se přejde do vybití, které trvá 10 s, po té se 1 s vyčká a vše se opakuje, dokud napětí akumulátoru nedosáhne nižší hodnoty asi o 0,25 V. Po každé prodlevě 1 s měří MCU převodníkem A/D napětí akumulátoru a změřené hodnoty vysílá na PB4. Pokud se přístroj vypne v jakékoli fázi těchto cyklů, po zapnutí vše začíná znovu od začátku, protože si přístroj záměrně nepamätuje předchozí stavy.

### Použití

Výše popsaný konzervátor je možné použít pro nabíjení a bezobslužnou údržbu 12 V olověného akumulátoru např. v automobilu nebo akumulátoru záložního zdroje. Protože se v podstatě jedná o zdroj proudu, lze jej také využít pro nabíjení jiných akumulátorů s nižším napětím (s časovým spínačem bez hlídání dosaženého napětí) nebo např. pro drobné galvanizování.

### Seznam součástek

R1, R2	270 $\Omega$
R3, R4, R7, R14, R16	10 k $\Omega$
R5	47 k $\Omega$
R6, R18	150 $\Omega$
R8	100 k $\Omega$
R9	39 k $\Omega$
R10, R11, R12	150 k $\Omega$
R13	6,8 k $\Omega$
R15, R17	1,2 k $\Omega$
R19	1,5 k $\Omega$
R20A, R20B, R20C, R20D	1,2 $\Omega$
R21A, R21B, R21C	33 $\Omega$ (drátové 9 W)
R22	5,6 k $\Omega$
R23	47 $\Omega$
R24	120 $\Omega$
TR1	25 k $\Omega$ (na stojato)
C1	470 $\mu$ F/35 V, radiální
C2	47 $\mu$ F/16 V, radiální
C3, C4, C5	100 nF, keram.
C6	10 nF, keram.
C7	1 nF, keram.
IC1	7905
IC2	ATTiny 15L
T1, T3, T5	BC546B
T2, T4, T9	BC556B
T6	BD140
T7	KD501
T8	BD139
D1 až D7	1N4007
D8	LED, červená
D9	LED, žlutá
D10	LED, R/G 2barevná se společnou katodou
D11	LED, zelená
TR	transformátor 230 V/20 V, 15 W
F1	1 A (skleněná trubičková pojistka 5 x 20 mm)
	Pojistkové pouzdro pro trubičkové pojistky 5 x 20 mm



Obr. 9. Fotografie přístroje

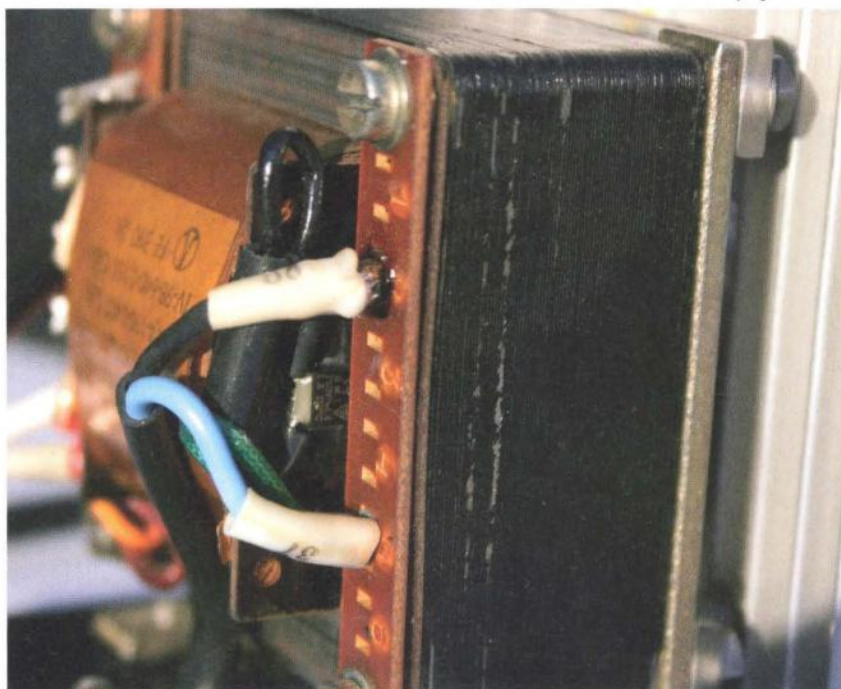
KON\_M PSH04-08WG (zlacená vidlice 90°, GME)  
KON\_F PFH04-08P (zlacená zásuvka, GME)  
CINCH 90° CINCH do DPS  
CH02/80 chladič 79 x 80 mm  
Zdíčky červená, modrá

Program si můžete stáhnout na [www.aradio.cz](http://www.aradio.cz).

### Literatura

- [1] Arendáš, M.; Ručka, M.: Nabíječe a nabíjení.
- [2] Kozumplík, J.: Akumulátory motorových vozidel.
- [3] Matoušek, D.: Práce s mikrokontroléry Atmel AVR, 3. díl.

Obr. 10. Transformátor s pojistkou



# Arduino jako IR přijímač

Vlastimil Slinták

**Tento článek o Arduino bude zaměřen více prakticky – ukážeme si, jak pro Arduino napsat a zprovoznit jednoduchou aplikaci. To si předvedeme na přijímači a vysíláči pro dálková ovládání. Budeme k tomu potřebovat pouze Arduino Uno, infračervený (IR) přijímač, diodu a pár vodičů.**

## Zadání

Naším cílem bude napsat aplikaci pro příjem a vysílání kódů dálkového ovládání. Pokud se vše podaří, měli byste být schopni pomocí Arduino přijímat signál z dálkového ovladače a následně jej vysílat. Jelikož je tento článek určen především pro začátečníky a zabývá se Arduinem, nebudu do detailů popisovat, jak vypadá IR signál. Pro naši další práci nám stačí vědět, že po zmáčknutí libovolného tlačítka na ovladači se vyšle několik bitů (PWM modulace, asi 38 kHz), které reprezentují jeden povel. Existuje sice několik standardů, které definují počet bitů jednoho kódu, jeho trvání a kmitočet. Bohužel, spousta výrobců si tyto standardy upravuje nebo přímo ignoruje, takže nelze předem říci, jak vypadá signál z ovladače ani jaký kód co znamená. Pro naše další pokusy proto doporučuji libovolné dálkové ovládání od firmy Sony (já použil od audiozesilovače) nebo Philips. Pokud nemáte po ruce nic od těchto dvou výrobců, postačí jakýkoliv jiný ovladač, jen to bude chtít více experimentovat.

Kromě Arduino budeme potřebovat ještě infračervený přijímač (např. [1]) a diodu. Přijímač má tři vývody – napájení, zem a výstup signálu – a pokud zachytí infračervený signál na předem daném kmitočtu, demoduluje ho a na výstupu přijímače se objeví obdelníkový signál. Při výběru přijímače se dívejte na kmitočet (musí být 38 kHz) a na vlnovou délku (kolem 940 nm). Pro vysílání nám bude stačit obyčejná IR dioda. Při jejím nákupu si ověřte hlavně vlnovou délku (opět kolem 940 nm).

## Program pro Arduino

Ještě než zapojíme Arduino do PC, budeme potřebovat programovací prostředí pro Arduino (zkráceně se mu říká Arduino IDE a v současné době je ve verzi 1.0). To naleznete na adrese [7]. Také je potřeba stáhnout knihovnu, kterou budeme používat k příjmu a vysílání kódů. Tu nalezne-

te na mém webu [2]. Rozbalte ZIP archiv a zkopírujte adresář IRremote k ostatním knihovnám Arduino IDE (více informací o tomto kroku viz [3]). Jakmile máte hotovo, stačí spustit Arduino IDE a pustit se do vlastního programování.

Ve zmiňovaném ZIP archivu naleznete také kompletní zdrojové kódy, které si tady budeme popisovat. Pomocí Arduino IDE si otevřete ten s názvem *ir-prijimac.ino* (je to obyčejný textový soubor a lze ho otevřít libovolným textovým editorem). Zdrojový kód je velmi dobře komentovaný a lehce pochopitelný.

Každý program, který má běžet na Arduino, musí obsahovat dvě povinné funkce – *setup()* a *loop()*. Prvně jmenovaná se provede pouze jednou, ihned po spuštění Arduino a používá se pro nastavení vstupních/výstupních pinů, zapnutí UART rozhraní, inicializaci proměnných a dalších. Ta druhá, jak již název napovídá, se provádí opakovaně, dokud je Arduino připojeno k napájení.

Ve funkci *setup()* se nejdříve aktivuje rozhraní UART, které je přes UART↔USB převodník připojeno k PC (Arduino se počítači hlásí jako

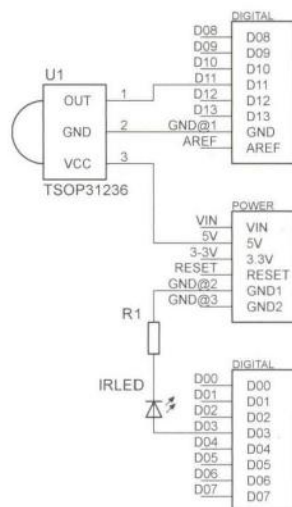
sériové rozhraní). Cokoliv pošleme na toto rozhraní, objeví se i na počítači. Součástí Arduino IDE je pak *Serial Monitor* (tlačítko v pravém horním rohu), který slouží k zobrazování dat, které odešleme právě pomocí UART a třídy *Serial* (podrobněji viz [6]).

Funkce *loop()* je nekonečná smyčka, ve které je hlavní smyčka našeho programu. V našem případě je to příjem IR signálu, jeho dekodování a následně odeslání výsledků do počítače pomocí UART.

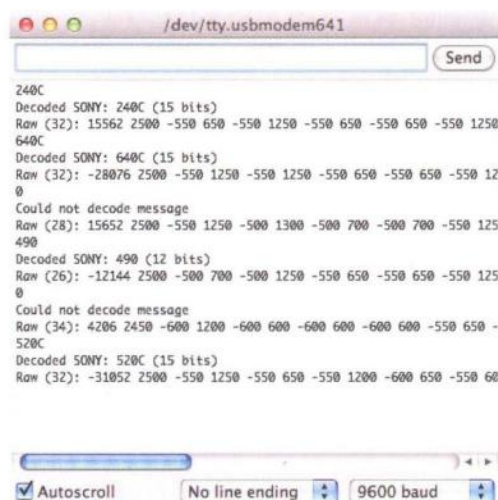
Máme tedy připojen IR přijímač k Arduino podle schématu. Kliknutím na tlačítko *Upload* nahrajte program *ir-prijimac.ino* do Arduino, otevřete si *Serial Monitor* a pak stiskněte na dálkovém ovládání libovolné tlačítko. Pokud je vše v pořádku, měli byste vidět podobný výpis jako na obr. 2. Jestli ovládání pracuje s některým známým protokolem (Sony, DEC, RC5 nebo RC6), knihovna jej rozpozná a vytiskne přijatou hodnotu jako hexadecimální číslo. V opačném případě vytiskne pouze ne-dekodovaná data.

Moje dálkové ovládání má tlačítka pro zesílení a zeslabení zvuku a jejich odpovídající hodnotu jsem přečetl jako *0x240C* a *0x640C* o délce 15 bitů. Teď si otevřeme druhý zdrojový kód, *ir-vysilac.ino*. Ve funkci *loop()* tentokrát čteme bajty z rozhraní UART a pomocí *Serial Monitor* tak do Arduino můžeme posílat znaky plus (+) a minus (-) a Arduino po jejich přečtení odešle odpovídající IR kód. Pokud vše funguje jak má, měli byste být schopni ovládat vaše zařízení pomocí Arduino a počítače.

Je jasné, že pokud máte doma jiné zařízení s jinými IR kódy, musíte program *ir-vysilac.ino* náležitě upravit. Například Sony naleznete se dá zapnout/vypnout kódem *0xA90* o délce 12 bitů (protokol vyžaduje, aby se každý kód odeslal třikrát, jinak jej příjemce ignoruje):



Obr. 1. Schéma zapojení vysíláče a přijímače IR signálu



Obr. 2. Serial Monitor a několik přijatých kódů z dálkového ovládání

```

for (int i = 0; i < 3; i++) {
  irsend.sendSony(0xA90, 12);
  delay(10);
}

```

A to je k našemu příkladu vše. Podrobně si prostudujte příložené zdrojové kódy. Pokud některému řádku nerozumíte, podívejte se do oficiální dokumentace na stránkách Arduina nebo si problematický řádek upravte nebo vymažte a pozorujte, co se stalo. Určitě se nebojte experimentovat a případně celý program rozšířit (třeba zahrát notu pomocí MIDI pokudž, když přijmete určitý kód [11]).

### Pro pokročilé

Pokud znáte mikrokontroléry z rodiny ATmega a programujete je pomocí jazyka C, Arduino vám bude připadat známé a velmi jednoduché. Podívejte se například do souboru *IRremote.cpp* v knihovně *IRremote*. Na řádku 222 naleznete funkci *IRrecv::enableIRIn()*, ve které jsou konstanty jako *TCCR2A*, *TIMSK2*, *OCR2A* apod. To jsou názvy registrů mikrokontroléru ATmega328, který je srdcem Arduina. V této funkci se nastavuje časovač pro hardwarový PWM výstup.

Arduino sice používá vlastní jazyk (podobný C) a poskytuje množství funkcí pro vstup, výstup, UART, AD převodníky, I2C a další, ale stále lze použít přímý přístup do registrů mik-

rokontroléru a vše dělat nízkourovňově. S trochou snahy se dá úplně obejít Arduino IDE a psát programy přímo v C a překládat je pomocí překladače *avr-gcc* (informace viz [8]).

### Poznámky

- Před programováním Arduina se ujistěte, že používáte vývojové prostředí ve verzi 1.0. Oproti starší verzi je zde mnoho změn, které nejsou zpětně kompatibilní.
- Pokud umíte anglicky, na webu [4] je podrobněji vysvětlen příjem IR signálu z dálkových ovladačů.
- Nejsem autorem knihovny *IRremote*. Napsal ji Ken Shirriff [5], já ji pouze upravil, aby fungovala i pro Arduino IDE 1.0.
- Zdrojové kódy knihovny jsou vynikajícím studijním zdrojem a inspirací.
- Vysílací IR dioda musí být připojena k pinu číslo 3, protože ten umí hardwarové PWM (pulzně-šířková modulace), které se používá k modulaci IR signálu.
- Pokud si nejste jistí, jestli IR dioda vysílá, podívejte se na ni skrze hledáček digitálního fotoaparátu. Ty jsou většinou citlivé i na větší vlnové délky a IR zobrazují.

### Závěr

Záměrně jsem pro naši první Arduino aplikaci nezvolil klasické bliká-

ní s LED, protože to dostatečně neukazuje možnosti a jednoduchost Arduina.

Díky příkladu s IR přijímačem jsme si ukázali, jak Arduino naprogramovat, jak použít externí knihovny, sériovou komunikaci s Arduinem pomocí UART rozhraní a připomněli si, že Arduino není nic jiného než mikrokontrolér ATmega.

Jsem si vědom, že i takový jednoduchý příklad může začátečníkům činit problémy. Zde se ukazuje další výhoda Arduina – jeho velké rozšíření. Na internetu lze nalézt velké množství webů i fór, které se touto deskou zabývají. V případě problémů se tak můžete obrátit na Google nebo na [9] (anglicky) a [10] (česky).

### Odkazy

- [1] <http://www.gme.cz/ir-prijimace-vysilace/>
- [2] <http://pub.uart.cz/arduino-ir.zip>
- [3] <http://uart.cz/67/arduino-a-knihovny/>
- [4] <http://www.ladyada.net/learn/sensors/ir.html>
- [5] <http://www.arcfm.com>
- [6] <http://arduino.cc/en/Reference/Serial>
- [7] <http://arduino.cc/en/Main/Software>
- [8] <http://johanneshoff.com/arduino-command-line.html>
- [9] <http://arduino.cc/forum/>
- [10] <http://qa.uart.cz/>
- [11] <http://uart.cz/311/arduino-jako-midi-zarizeni/>



### Oprava k článku „Měřič U, I, R, C, f“ z PE-AR 12/2011, s. 14

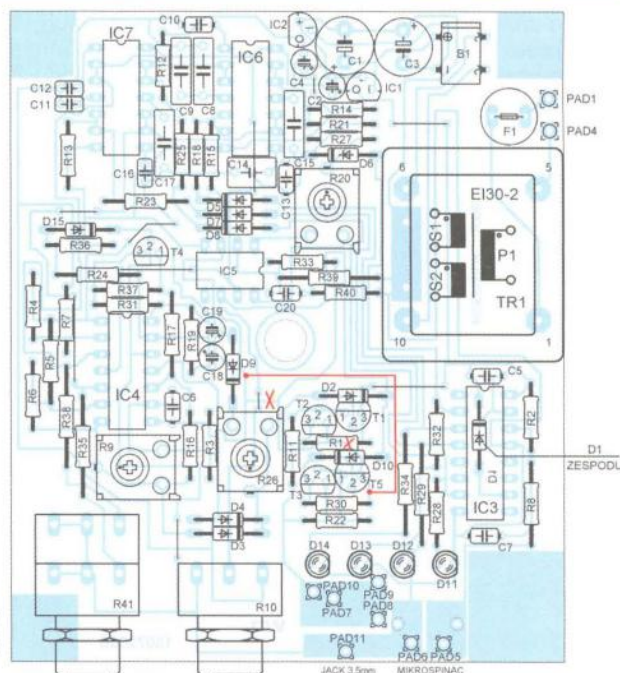
Ve schématu a na desce s plošnými spoji jsou diody D1 a D2 nakresleny obráceně.

### Chyba v návrhu plošného spoje z PE 07/2007, s. 23

Dobrý den, chtěl bych upozornit na chybu ve schématu (spíše tedy v návrhu plošného spoje) RC generátoru pana Martina Pospíšilíka.

Výstup generátoru má být spojen se součástkami R22, R11, T2 (emitor), T3 (emitor) a R33, ale na desce jsou s výstupem spojeny R22, R11, T2 (emitor), T3 (emitor), R33, T5 (ko-

Obr. 1. Oprava desky s plošnými spoji RC generátoru z PE 07/2007, s. 23



lektor), R30 a navíc je to celé zkratováno (spojeno) na napájecí napětí -9 V z výstupu stabilizátoru 79L09, tedy výstup generátoru je natvrdo spojen se záporným napájecím napětím.

Na obr. 1. je naznačena úprava desky s plošnými spoji, po této úpra-

vě už generátor funguje tak, jak má. Červeně označené křížky označují přerušení cesty plošného spoje a modrá propojka je spojení T5 a R30 s napájecím napětím -9 V, jak je uvedeno ve schématu.

Aleš Stupka

# Plasti Dip

Ing. Michal Černý

**Co vlastně Plasti Dip je? Velmi stručně řečeno, je to tekutá guma, která se dá nanášet smáčením, natíráním i stříkáním. Po vyschnutí vytváří povlak s vynikajícími elektroizolačními vlastnostmi, chrání proti vodě, působení některých chemikálií a v tlustší vrstvě i mechanickému poškození.**

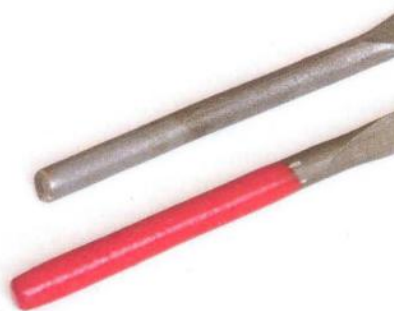
První zmínky o materiálu Plasti Dip jsem zachytil na zahraničních modelářských internetových diskusích v souvislosti s ochranou servomechanismů proti působení vody. Názorná videa ukazovala, jak se celé servo namočí do jakési barvy v plechovce, nechá okapat, oschnout a je dokonale utěsněné. Začal jsem pátrat, zda se tento přípravek nebo nějaký podobný prodává i u nás, ale bohužel jsem neuspěl. Až s delším časovým odstupem jej zařadila do svého sortimentu zasilatelská firma Conrad.

Plasti Dip vyrábí americká firma Plasti Dip International z Minnesoty v šesti barvách, k nám se zatím dovážely tři barvy: černá, červená a bezbarvá základní hmota. Výrobce nabízí kromě malých i průmyslová balení v plechových kbelících nebo sudech. Tam, kde je potřeba udělat tenkou rovnoměrnou vrstvu na větší ploše, najde uplatnění Plasti Dip ve spreji, k dispozici je i speciální ředidlo. Vyrábí se také sada obsahující základní hmotu a barevné tonery, takže si uživatel může sám namíchat potřebný odstín.



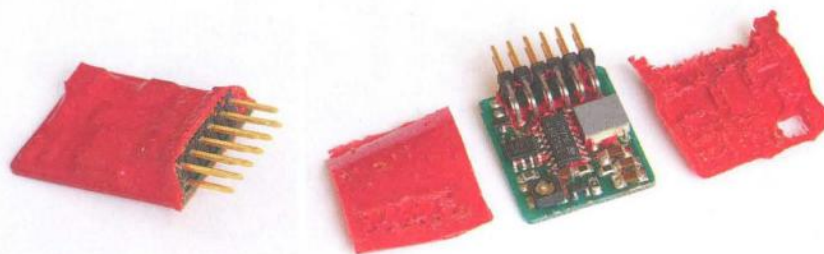
Plasti Dip má konzistenci medu, po zaschnutí vytváří matný gumový povlak, je příjemný na dotek a neklouže ani po navlhčení. Materiál je odolný vůči kyselinám i louhům, neotírá se, nekřehne a nepraská, neobsahuje síru, silikony ani chlor, je neškodný a dokonce potravinářsky nezávadný. Má jedinečné mechanické vlastnosti v tom smyslu, že v rozmezí od -34 do +93 °C si zachovává roztažnost 300 až 400 %, takže drží i na podkladech, které jsou pružné a při pohybu se značně deformují. Výborně chytá na odmaštěný a zdrsňený povrch kovů, dřeva, laminátu, vsakuje do tkanin. Pokud je povrch hladký, Plasti Dip také drží poměrně dobře, ale lze ho od podkladu oddělit; jeho vlastní soudržnost je větší než přilnavost k podkladu. Má vynikající elektroizolační

vlastnosti a může být použit k ochráně odizolovaných vodičů nebo utěsnění kabelů vstupujících do stěn krytů nebo průchodek – k tomuto účelu je však přímo určen jiný výrobek, „Liquid tape“ jehož zaručená izolační pevnost je 57 kV/mm.



Podle výrobce schne Plasti Dip čtyři hodiny. Je to údaj velmi přibližný, tenká nastříkaná vrstva je podle mých zkušeností plně použitelná za hodinu, v tlusté vrstvě (5 mm) je potřeba počítat s vysycháním delším než 48 hodin. Odpařením rozpouštědel hmota výrazně ztrácí objem, odhadem asi 4x. Naneseme-li více i tlustších vrstev, materiál se výborně spojí, v jednom kroku se dá rozumně vytvořit vrstva tlustá asi 0,5 až 0,8 mm. Dobře se to ilustruje na vytvoření povlaku na držadlech nástrojů; po pěti vrstvách už vznikne dost silný útvar, za nějž se dá nástroj příjemně držet.

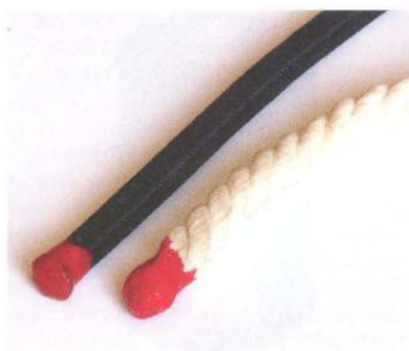
Nejzajímavější je asi použití Plasti Dipu jako izolace osazených a oživených elektronických desek. Celou desku můžeme po překrytí kontaktů konektorů namočit do obsahu plechovky v původní neředěné konzistenci, vyklepat bublinky a nechat oschnout. Hmota velmi rychle zasychá na povrchu a nekape, ale pod povrchovou



vrstvou může pomalu téct ještě nejméně dvě hodiny. K dokonalému vyschnutí potřebuje asi dva dny, po této době ale může trvale pracovat pod vodou, a to i pod tlakem. Tato možnost platí pro zařízení, kterým nevedí kapacitní vazba vznikající blízkostí vody, pro vf oscilátory samozřejmě ne. Plasti Dip současně také izoluje tepelně, takže je nutné si uvědomit, že mohou nastat problémy s přehříváním výkonové elektroniky běžně jen pasivně chlazené okolním vzduchem. Na druhou stranu, pokud desku impregnovanou Plasti Dipem skutečně ponoříme do vody, její chlazení je mnohem lepší než jen na vzduchu, čímž se otevírají zcela nové možnosti.



Nečekané pro mě bylo, že na rozdíl od ochranných laků lze vrstvu gumy z desky v případě nutnosti strhnout prakticky beze zbytku, na snímku to tak sice nevypadá, ale kousky materiálu v koutech a mezi vývody konektorů zůstaly jen proto, že v tlusté vrstvě ještě úplně nevyschl. Konektory s dutinkami je lepší před nanesením gumy chránit (například plastelínou), kontaktní plošky na plošném spoji se vyplatí spíše až po vyschnutí vrstvy oříznout a gumu sloupnout. Pokud má konektor otvory ze zadu u výstupu drátových vývodů, osvědčilo se mi tyto otvory předem přemáznout hustou gumou, která je po vyschnutí chrání při namáčení celé desky.



Plasti Dip je odolný vůči lihu (etanolu), čistému metanolu i isopropylalkoholu, leptá jej však benzín a velmi ochotně se rozpouští v toluenu nebo acetonu. To mě přivedlo na vyzkoušení dvou možností. První je ředění běžně dostupným nitroředidlem nebo toluenem. I když originální drahé ředidlo funguje lépe a například do stříkací pistole se ho asi vyplatí použít, i nitroředidlem si můžete velmi dobře očistit ruce nebo potřísněné nástroje. Druhou možností, která mě velmi překvapila, je „recyklovatelnost“ Plasti Dipu. Předpokládal jsem, že současně s vyschnutím se hmota mění, vulkanizuje, a i když ji lze ředidlem odstranit, nemůže nabýt původních vlastností. Není to tak, sloupané zbytky Plasti Dipu lze nechat nabobtnat a poté rozpustit v toluenu a znovu použít, dokonce po pětinasobné „recyklaci“ jsem nepozoroval zásadní změny vlastností kromě toho, že se hmota postupně znečišťuje prachem a drobnými částicemi, které v ní zůstanou při loupání. Pružnost se zhoršila pozorovatelně, ale ne výrazně.

Z dalších příkladů aplikací mohu uvést ošetření konců gumových i běžných spletaných lan, u nichž zabrání jak rozplétání obalu, tak posunutí konců jednotlivých vláken. Výborná je izolace a zpevnění vývodu kablíků vycházejících z plastových tělísek konektorů, kde guma zamezí nechtěnému vytažení jednoho kontaktu, průniku nečistot do konektoru zezadu, nebrání poskládání konektorů na dotyk vedle sebe a dělá plynulý přechod omezující možnost zalomení kabelu

u konektoru. Ošetření a utěsnění serv, které mě k Plasti Dipu původně přivedlo, se nakonec ukázalo jako podstatně obtížnější, zejména kvůli těsnění otáčejícího se výstupního unašeče.

Sprej Plasti Dip stříká podstatně řidší materiál, který se snadno vsakuje do podkladu. Nastříkáním tenké látky nebo savého papíru získáme tenké ohebné pogumované materiály odolné proti vodě. Vyzkoušel jsem nastříkat papírovou membránu menšího reproduktoru, guma vsákla do papíru a po zaschnutí se zvuk změnil jen málo, za to reproduktor byl schopen pracovat i pod vodou. Nějaká ta stříkající kapka, která před tím způsobila deformaci membrány nebo její protřetí, naprosto nevedla. Změnu rezonanční frekvence nebo vliv na výkon jsem ale bliž nezkoušel. Zajímavé také je, že tryska spreje stříká ne do kruhové oblasti, ale v úzkém svislém proužku, takže se s ní dá výborně pokrýt plocha bez znečištění okolí. Jde pogumovat prakticky jakýkoli kryt, který nemá být kluzký. Protože však sprej vytváří opravdu tenkou vrstvu, lze gumu z hladkého nesavého povrchu větším tlakem odrolit.

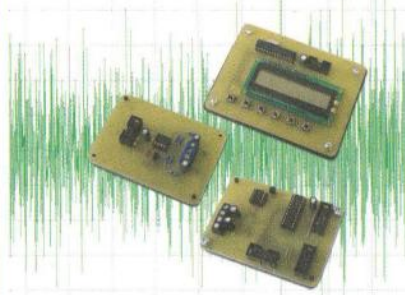
Plasti Dip je materiál, který je u nás zatím málo známý, přestože s jeho pomocí vyřešíte velmi rychle a elegantně spoustu problémů souvisejících s těsněním a elektrickou izolací. Výrobek jak v plechovkách, tak ve spreji by měl být dostupný v prodejnách firmy FK technics v Praze a Sobotce u Jičína (objednací čísla 888179 až 888185), najdeme jej také nabídkou firmy Conrad, nicméně kvůli legislativním problémům se zasláním podobných chemických přípravků v EU poštou je lepší se obrátit osobně na uvedené prodejny. Cena balení v plechovce 200 g je 459 Kč, sprej o obsahu 400 ml stojí 529 Kč.

### Odkazy

- [1] [http://www.plastidip.com/home\\_solutions/Plasti\\_Dip](http://www.plastidip.com/home_solutions/Plasti_Dip). Stránky výrobce
- [2] <http://www.conrad.de>. Conrad DE, objednávací číslo 888181-62.



## Algoritmy číslicového zpracování signálů



Bohumil Brtník  
David Matoušek  
BEN

**Matoušek, D.; Brtník, B.: Algoritmy číslicového zpracování signálů. Vydalo nakladatelství BEN - technická literatura v roce 2011, 128 stran A4, obj. č. 121325.**

Skutečně velmi zajímavé aplikace můžete postavit na bázi procesoru ATmega644.

Kniha pojednává o číslicových generátorech a číslicových filtrech od jejich teoretických principů přes návrh až po praktickou realizaci.

Počáteční kapitoly jsou úvodem do číslicového zpracování signálů a popisují mikrokontrolér ATmega644, který je v knize používán. 1. konstrukcí je vývojový kit COM644KIT, který umožňuje souběžné programování ATmega644 a vývoj aplikací.

Jako nejzajímavější se jeví:

Pátá kapitola popisuje konstrukci přípravku EDAC, což je modul obsahující levný 2kanalový D/A převodník typu TLC7528CN s rozlišením 8 bitů.

Šestá kapitola předvádí praktickou realizaci jednodušeho generátoru signálu.

Šedmá kapitola se věnuje popisu přípravku PANEL, což je modul s řídicí jednotkou a LCD. Tento modul je dále použit pro přelaďování generátoru.

Osmá kapitola ukazuje realizaci laditelného generátoru signálu pracujícího na principu decimace vzorků.

V deváté kapitole jsou popsány principy činnosti, funkce a základní vlastnosti číslicových filtrů typu FIR a IIR pro dolní i horní propust.

Jedenáctá kapitola uvádí konstrukci přípravku EADC, což je přizpůsobovací modul pro připojení vstupního signálu na vstupy A/D převodníku vestavěného do mikrokontroléru ATmega644. Provedení je dvoukanalové.

Ostatní kapitoly obsahují řešené příklady návrhu číslicových filtrů, schémata zapojení pro měření a postup při zpracování naměřených hodnot užitím programu Microsoft Excel.

Knihu si můžete zakoupit nebo objednat na dobírku v prodejně technické literatury BEN, Věšínova 5, 100 00 Praha 10, tel. 274 820 211, 274 818 412, e-mail: [knihy@ben.cz](mailto:knihy@ben.cz), adresa na Internetu: <http://www.ben.cz>. Zásilková služba pro SR: [Anima.anima@anima.sk](mailto:Anima.anima@anima.sk), [www.anima.sk](http://www.anima.sk). Slovenskej jednoty 10 (za Národnou bankou SR), 040 01 Košice, tel./fax (055) 6011262.

# Certifikační kurzy montáží zabezpečovací techniky

Přijďte na jeden z našich kurzů a my vám pomůžeme stát se jedničkou v oboru instalací alarmů. Profesionální montáž zabezpečovací techniky Jablotron je jedinečná příležitost, jak nezávisle podnikat a poctivě si vydělat slušné peníze!

POMŮŽEME VÁM  
STÁT SE JEDNIČKOU.  
V OBORU!

## Co účastí na kurzu získáte

- ▶ potřebné informace doplněné o postřehy z praxe
- ▶ odbornou podporu firmy s více než 20letými zkušenostmi
- ▶ zajímavou finanční odměnu z každé montáže
- ▶ bezplatný 3letý pozáruční servis výrobků Jablotron
- ▶ certifikát – uznání vašich montáží z pohledu legislativy

## Elektronické zabezpečení budov – K2

Dvoudenní kurz pro začátečníky

### Dozvíte se jak:

- ▶ se vypořádat s legislativou v ČR
- ▶ fungují ústředny, detektory, sirény, komunikátory systému Oasis (JA-80)
- ▶ systém správně nastavit
- ▶ využít vzdáleného přístupu přes internet a GSM
- ▶ propojit alarm s domovní automatizací
- ▶ profesionálně zajistit ochranu objektů

## Představujeme JABLOTRON 100 – K3

Jednodenní kurz pro pokročilé

### Dozvíte se jak:

- ▶ funguje revoluční ovládání alarmu
- ▶ vypadá architektura JA-100 - sekce, periferie, časování, uživatelé, PG výstupy
- ▶ nastavit JA-100 a co vše umožňuje
- ▶ využít nového vzdáleného přístupu přes internet a GSM
- ▶ profesionálně zajistit ochranu objektů

## Autoalarmy a příslušenství – K1

Jednodenní kurz pro začátečníky i pokročilé

### Dozvíte se jak:

- ▶ využít autoalarm ATHOS s GSM/GPS k hlídání a lokalizaci
- ▶ řešit potřebu automaticky sestavovat knihu jízd
- ▶ namontovat nový autoalarm NESTOR
- ▶ profesionálně zajistit ochranu vozidel
- ▶ funguje naše podpora montážních firem – poradenství a propagace



PŘEDSTAVENÍ  
JA-100

### Jak se do kurzů přihlásit?

- ▶ elektronicky: [www.jablotron.cz](http://www.jablotron.cz)
- ▶ e-mailem: [skoleni@jablotron.cz](mailto:skoleni@jablotron.cz)
- ▶ poštou: Pod Skalkou 33, 466 01 Jablonec n. N.
- ▶ více info na tel.: 483 559 951

Ing. Michal Ježek  
hlavní technik marketingu

## Termíny kurzů únor – červen 2012

Datum	Místo	Název kurzu	Cena	Kód
14. – 15. 2.	Praha	El. zabezpečení budov	1500,-	K2
16. 2.	Praha	Představujeme JABLOTRON 100	900,-	K3
21. 2.	Košice	Autoalarmy a příslušenství	900,-	K1
22. – 23. 2.	Košice	El. zabezpečení budov	1500,-	K2
12. 3.	Brno	Autoalarmy a příslušenství	900,-	K1
13. – 14. 3.	Brno	El. zabezpečení budov	1500,-	K2
15. 3.	Brno	Představujeme JABLOTRON 100	900,-	K3
11. 4.	Jablonec	Představujeme JABLOTRON 100	900,-	K3
24. – 25. 4.	Praha	El. zabezpečení budov	1500,-	K2
26. 4.	Praha	Představujeme JABLOTRON 100	900,-	K3
21. 5.	Praha	Autoalarmy a příslušenství	900,-	K1
22. – 23. 5.	Praha	El. zabezpečení budov	1500,-	K2
24. 5.	Praha	Představujeme JABLOTRON 100	900,-	K3
12. 6.	Žilina	Autoalarmy a příslušenství	900,-	K1
13. – 14. 6.	Žilina	El. zabezpečení budov	1500,-	K2
19. – 20. 6.	Praha	El. zabezpečení budov	1500,-	K2

**JABLOTRON**  
CREATING ALARMS



## 2990,- EMA alarm – revoluční GSM alarm

Představujeme Vám miniaturní elektronický alarm EMA, který sdružuje v jednom těle kompletní GSM část, senzory, záložní Li-Ion akumulátor a napájecí část 12V včetně standardizovaného konektoru. Bez nutnosti montáže jen vložíte SIM kartu, celé zařízení zasunete do napájecího konektoru (konektor zapalovače) vašeho vozu a během pár vteřin můžete začít používat. V případě vniknutí do vozu, odtahu, manipulace s vozem, nárazu do vozu či změny polohy, odesílá spolehlivé SMS a volá až na šest telefonních čísel. Není také problém strážení prostor odposlouchávat. Nastavení provádíte pomocí jednoduchých SMS příkazů, nebo intuitivně pomocí propracovaného programu EMA config ve vašem PC. EMA umí pracovat i ve vozech, u kterých se napětí 12V ztratí při vypnutí spínací skříňky. V těchto případech zajišťuje napájení zařízení vnitřní Li-Ion akumulátor. Na výběr je několik pracovních režimů – od komfortní a plně automatické aktivační a deaktivace, až po plně manuální ovládání všech funkcí.

Na [www.mojeema.cz](http://www.mojeema.cz) naleznete další podrobnosti a ukázkové video.

## GSM ovládání GSM-DIN2

Spinejte mobilem topení a zároveň zabezpečte. Formou SMS nebo zdarma pouhým prozvonením. Toto GSM dálkové ovládání pro montáž na DIN lištu, obsahující dva reléové výstupy a dva alarmové vstupy. Dále vstup pro připojení externího teplotního čidla, funkce termostatu a teploměru a zašilá info SMS při překročení (nebo poklesu) pod nastavenou mez. Napájení 230V/50Hz, vnitřní záložní akumulátor. Možnost dokoupení teplotního čidla v několika délkách.



**BC-2018** - Kompaktní systém BC-2018 je moderní přístupová jednotka nejen pro kanceláře, malé a střední firmy, ale i domácnosti. Sdružuje jak biometrický snímač otisků prstů, tak i klávesnici pro zadávání přístupových kódů a programování. Velikost paměti až 800 pozic (uživatelů), ke každé pozici lze přiřadit přístupový kód a dva otisky prstů.



**K3** - Klávesnice K3 je určena pro otevírání dveří nebo ovládání zabezpečovacích systémů. Kromě numerického zadání kódu je možno ovládání výstupního relé i prostřednictvím běžných EM RFID karet a přívěšků, kterých lze uložit do paměti až 1000. Navíc obsahuje funkci alarmu, množství funkcí, a programového nastavení.



**K5** - Kódová klávesnice se skvělým designem, podsvětlenou klávesnicí, určená pro venkovní montáž, obsahující čtečku RFID až pro 1000 uživatelů! Určená pro přímé ovládání elektromagnetických dveřních zámků, nebo pro ovládání zab. ústředny. Nabízí množství funkcí, včetně alarmu a časování. Kvalitní výrobek firmy Sebury.



**BC-300** - Přístupový systém s kódovou klávesnicí, který do své paměti pojme až 300 uživatelů. Navíc je vybaven čtečkou RFID karet a přívěšků. Obsahuje také integrované zvukové tlačítko. Napájení 12V, relé na výstupu, rozměry 120 x 115 x 23 mm. Za skvělou cenu tak získáte praktický přístupový systém s univerzálním využitím.



**W1** - Kompaktní klávesnice W1 se čtečkou RFID v precizním kovovém a vodotěsném provedení. Do své paměti pojme až 2000 uživatelů. Odolné provedení klávesnice nabízí nasazení do obzvláště namáhaných prostor. Moderní design s modrým podsvícením tlačítek, jednoduchá instalace a nastavení, napájení 12V/60mA, alarmový výstup, ...



**KV42040** - venkovní kamera v odolném kovovém provedení. Skvělý obraz i při nízkém osvětlení díky citlivosti 0,05 Lux. Rozlišení 420TV řádků, infra noční přívsvícení na vzdálenost až 10m, objektiv 6mm / 53°, senzor SONY CCD 1/3", napájení 12V, vodě odolné provedení. Kloubový držák součástí. Průměr kamery 60mm a délka 120 mm.



**KV42074** - Kvalitní a nenápadná stropní kamera s rozlišením 420TV řádků a citlivostí 0,05 Lux. Nabízí tak dobrý obraz i při nízkém osvětlení. Infra noční přívsvícení na vzdálenost až 10m, objektiv 3,6mm / 92°, senzor SONY CCD 1/3", napájení 12V. Průměr kamery 92mm a výška 85mm.



**IPDOME1** - IP kamera s rozlišením 640x480px/30fps, umožňující sledovat střežený prostor ve vašem oblíbeném webovém prohlížeči na PC, telefonu či tabletu kdekoliv přes internet. Manuální nastavení úhlu snímání, alarmový výstup po detekci pohybu v obraze, IR přívsvícení, napájení 5V, průměr 13cm, výška 10cm.



**DVR-300HD** - Kompaktní videorekordér pro zabezpečovací účely se záznamem na HDD pro 4 libovolné kamery (1V/750). Rozlišení záznamu nastavitelné do 704x576px. Podporuje libovolný SATA HDD do velikosti 500GB. Dále obsahuje audio vstup, výstup a běžný monitor, USB, video výstup. Záznam je spouštěn na základě pohybu v obraze nebo při ztrátě signálu z kamery. Samozřejmostí je IP vzdálený LIVE přístup přes Ethernet / Internet.



LED žárovka se závitím E27 na 230V, teplá bílá, svítivost 400lm, příkon 4,3W, obsahuje 90 SMD LED. Obj. č.: 28905MDD



LED žárovka se závitím E14 na 230V, teplá bílá, svítivost 210lm, příkon 3W, obsahuje 48 SMD LED. Obj. č.: 2892



LED žárovka se závitím GU10, teplá bílá, svítivost 250lm, příkon 3,5W, obsahuje 20 SMD LED. Obj. č.: 2894



### MP3-EASY

Modul MP3 přehrávače se ještě jednoduší instalací a všemi základními přehrávacími funkcemi. Připojíte pouze napájení a NF výstup na koncový zesilovač. Obsahuje USB Host port, čtečku SD/MMC karet a čtyři podsvětlená ovládací tlačítka. Součástí je také integrovaný přijímač IR dálkového ovládání. Můžete si tak připojit jakýkoliv IR dálkový ovladač a využít tak naplno všechny funkce přehrávače. Modul nemá problém číst MP3 soubory všech datových toků, k napájení postačí 3,7 – 5V a dosah přijímače IR dálkového ovládání je cca 8m. (obj.č.: MP3-EASY za 69 Kč)



### MP3-PAN-FM

MP3 modul s FM tunerem, externím AUX vstupem, USB, čtečkou SD/SDHC karet a přijímačem IR dálkového ovládání. Součástí je přehledný grafický displej a precízní přední panel.



### AMPMODUL

Miniaturní výkonový zesilovač 2x25W s digitálním zpracováním zvuku, díky kterému není potřeba velký chladič. Maximální účinnost, minimální rozměry, super moderní řešení, nejlepší cena. Základem je integrovaný obvod TPA3123D2. Rozměry jen 51x20x14 mm.



**Napájecí adaptér** v bílém provedení s délkou kabelu 5m. Vstupní napětí 230V/45mA, výstupní stejnosměrné napětí 6V/200mA, zakončené napájecím konektorem 2,1x5,5mm. Speciální vyprodejová cena 20 Kč. Nevažte, pouze do vyprodání zásob!



**OPERACNÍ ZESILOVAČE** v elektronice. Obsáhla publikace, zaměřená na použití operačních zesilovačů v základních obvodech. Vyčerpávající pohled na problematiku operačních zesilovačů a zapojení s nimi na 496 stranách formátu A5.

Přijďte navštívit náš stánek na veletrhu AMPER a omrknout naše novinky

# AMPER

20. - 23. 3. 2012 - BRNO



**V novém roce dejte přednost kvalitě  
produktů vyrobených v České republice společností**

**« DIAMETRAL®**

**...více Informací a výrobků na našich webových stránkách [www.diametral.cz](http://www.diametral.cz).**

### **Laboratorní zdroj L240R51D**

*Je vybaven dvěma zdroji s plynulou regulací napětí v rozsahu 0 ÷ 40V s možností nastavení omezení proudu od 0.1 ÷ 3A. Tento model disponuje navíc pevným zdrojem napětí 5V/3A. Regulovatelná část zdroje je vybavena měřicími přístroji jak pro napětí, tak i pro proud.*

### **Laboratorní zdroj P230R51D**

*Je vybaven dvěma zdroji s plynulou regulací napětí v rozsahu 0 ÷ 30V s možností nastavení omezení proudu od 0.1 ÷ 4A. Tento model disponuje navíc pevným zdrojem napětí 5V/3A. Regulovatelná část zdroje je vybavena měřicími přístroji jak pro napětí, tak i pro proud.*

**...tento měsíc se SLEVOU 20 %**

Obvyklá cena : 7050 Kč\*

**Akční (- 20%) : 5640 Kč**

Obvyklá cena : 6050 Kč

**Akční (- 20%): 4840 Kč**



\*všechny ceny jsou uvedeny bez DPH

**Diametral spol. s r.o., Hrdoňovická 178, 193 00 Praha 9 - Horní Počernice  
tel./ fax 281 925 939 - 940, email: [info@diametral.cz](mailto:info@diametral.cz), [www.diametral.cz](http://www.diametral.cz)**



KTS - AME s. r. o., K. Čapka 60  
500 02 Hradec Králové

fax: 495 212 588  
tel.: 495 263 263  
mobil: 605 263 263  
email: ame@ame.cz

...A MNOHEM VÍCE NA WEBU

**WWW.AME.CZ**

**ELEKTRONICKÉ MODULY PRO VAŠI LCD ČI PLAZMA TELEVIZI**



Plazma modul Y-SUS EBR50038904 / Y-SUS EBR50038904  
Plazma TV LG

Obj. číslo: 420M003600 **1416,-**



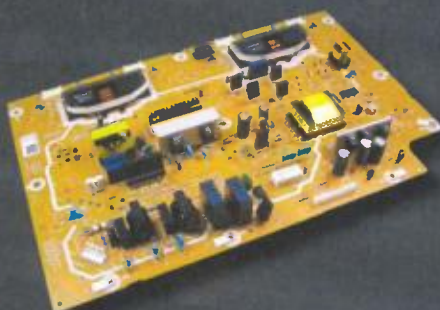
Plazma modul zdroj NOAE5JK00005 / P BOARD ASSY (SMPS)  
NOAE5JK00005, plazma TV Panasonic

Obj. číslo: 420M016600 **2072,-**



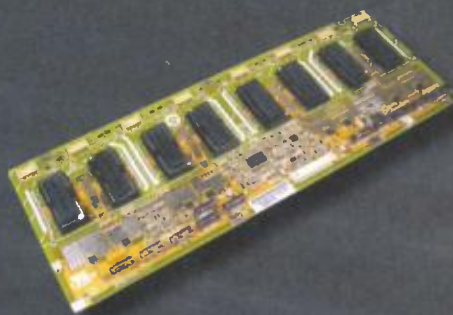
Plazma modul TNPA4182AE / SC BOARD ASSY TNPA4182AE  
Plazma TV Panasonic

Obj. číslo: 420M017100 **1728,-**



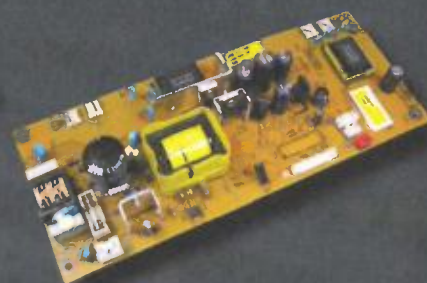
LED modul zdroj NOAG4GJ00012 / P BOARD ASSY (SMPS)  
NOAG4GJ00012, TV Panasonic

Obj. číslo: 410M024200 **1868,-**



LED modul měnič V089144601 REVID / inverter board  
V089144601-REVID

Obj. číslo: 410M004000 **1248,-**



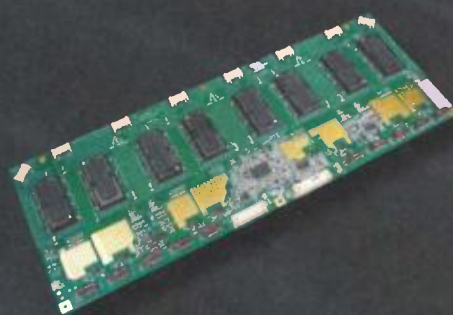
LED modul zdroj 171FS02219 / SMPS 171FS02-2-19 20382187  
LED TV Vestel

Obj. číslo: 410M075900 **420,-**



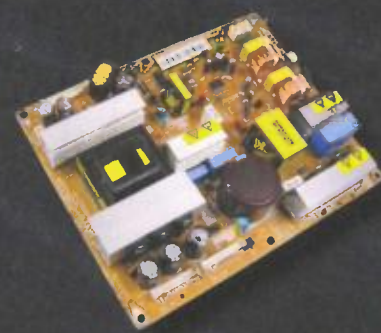
Plazma modul Z-SUS 66710ZH067A / Z-SUS 66710ZH067A  
Plazma TV LG

Obj. číslo: 420M000600 **1746,-**



LED modul měnič pro zářivky 8 lamp V089144102-REV2 G1  
BARFON inverter board

Obj. číslo: 410M001700 **1188,-**



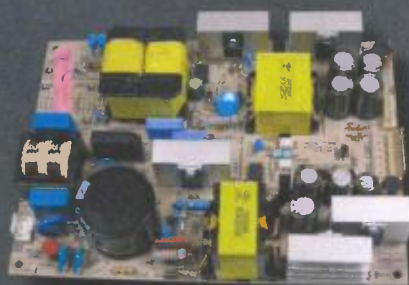
Modul zdroje do LED SAMSUNG BN9603057A BN96-03057A  
typy LE32R71B, LE32R73BD, LE32R74BD

Obj. číslo: 430M041300 **1614,-**



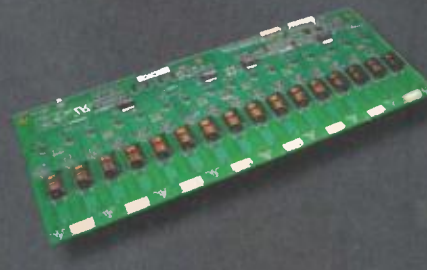
LED modul měnič pro CFL zářivky 663210417A  
inverter board pro TV 32 palců, K15EE32HK(B1) REV12

Obj. číslo: 410M000700 **780,-**



Modul zdroje do LED BEKO XUN140 275990303100  
TV Bako, Grundig

Obj. číslo: 430M041600 **1140,-**



LED modul měnič pro zářivky 8 lamp VK89144603 REV1B  
inverter board

Obj. číslo: 410M002500 **1546,-**

# MIKROFONY TROCHU JINAK

Když se legendární inovátor profesionální zvukové techniky Bob Heil do něčeho pustí, je to proto, aby věci dělal jinak a líp. Anebo tak, jak to doposud nikdo nezkusil. Koncept může být geniálně jednoduchý jako v případě Talk Boxu i důmyslně propracovaný jako u kvadrofonního ozvučovacího aparátu vyvinutého na žádost Pete Townshenda pro turné Quadrophenia skupiny The Who. A s věcí není Bob hotov, dokud s výsledkem nejsou spokojeni muzikanti. Proto ho také nespokojení hudebníci vyhledávají už od dob, kdy návštěvnost koncertů a festivalů začala růst rychleji než schopnost aparatur takové akce ozvučit. Jeden z nich, Joe Walsh ze skupiny The Eagles přivedl svého přítele Boba na nápad pustit se také do mikrofonů pro muzikanty. Zjistil totiž, že mikrofon, který Bob zkonstruoval pro hlasovou

komunikaci v radioamatérských pásmech, má daleko srozumitelnější zvuk než ty, které používali v kapele...

Společnou vlastností řady úspěšných inovátorů jsou dobré interdisciplinární znalosti. A právě ty se zúročily při vývoji nových mikrofonů, ať už jde o schopnost ladit a temperovat pišťalové varhany (a také na ně koncertně hrát), znalost psychoakustiky a fázových poměrů při konstrukci zvukovodů nebo zkušenosti s analýzou směrových vlastností rozsáhlých anténních systémů. Není proto divu, že mikrofony Heil Sound se vyznačují právě velkým útlumem z nežádoucích směrů, dobrou artikulací vokálů a zvukem s ambicemi přiblížit se kondenzátorovým mikrofonům, ovšem bez jejich nechtů.



Talk Box



Peter Frampton & Talk Box



Bob Heil



128-prvkový anténní systém



Kvadrofonní režie pro The Who

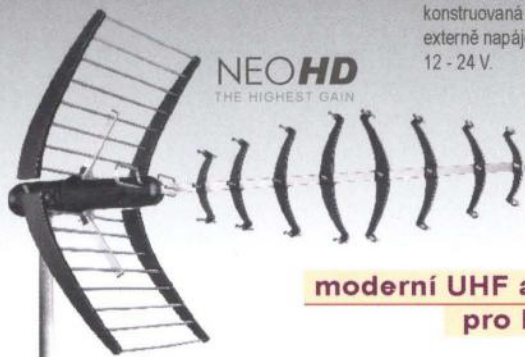


[www.heilsound.com/pro](http://www.heilsound.com/pro)



Anténa ALCAD NEO-085 je mimořádně robustní, výkonná a kompaktní anténa. Anténa je vyrobena z hliníkových profilů a povětrnosti odolných plastů. NEO-095 je vybavena inovativním způsobem uchycení na stožár usnadňujícím její montáž. Podstatná část antény je smontována již ve výrobě, před instalací se zkompletuje pouze zadní reflektor a dipól. Součástí antény je symetrizační člen, který lze zaměnit za nízkošumový UHF předzesilovač BR se ziskem 14 dB.

- UHF širokopásmová anténa pro kanál 21 - 69
- zisk 13 až 18 dBi dle kanálu
- předozadní poměr 32 dB
- konektor typ F
- délka antény: 1160 mm
- vhodná pro horizontální i vertikální polarizaci



**NEOHD**  
THE HIGHEST GAIN

Anténa TELEVES DAT HD je první inteligentní UHF anténa která díky technologii BOSS (Balanced Output Signal System) umožňuje optimaálně nastavit výstup integrovaného předzesilovače MRD. Anténa je speciálně konstruovaná pro příjem DVB-T signálu a může pracovat i v pasivním režimu kdy není externě napájena. Aktivní režim je aktivován automaticky přivedením externího napájení 12 - 24 V.

- UHF širokopásmová anténa pro kanál 21 - 69
- zisk 17 dB pasivním modu, 29 dB v aktivním modu
- konektor typ F
- délka antény: 1030 mm

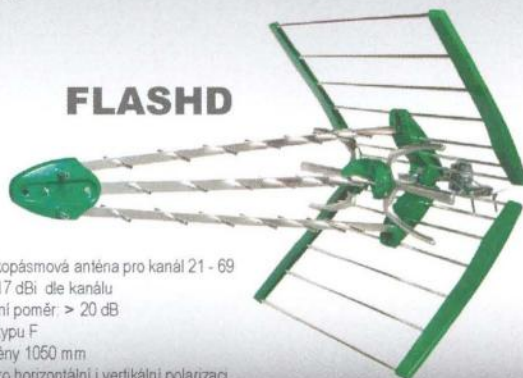


**DATHD**

**moderní UHF antény  
pro DVB-T příjem**

Anténa IKUSI FLASHD je vysoce odolná anténa vyrobená z hliníku a ABS. Anténa je kompletně smontovaná a ultrarychlou instalace lze provést během 3 sekund. Velkou předností je konfigurovatelné rozevření reflektoru ve dvou stupních 90° a 120° které upravuje požadovaný vyzařovací diagram dle příjmových podmínek. Součástí antény je symetrizační člen. K anténě lze dokoupit dipól s integrovaným předzesilovačem ADT517V se ziskem 17dB.

- UHF širokopásmová anténa pro kanál 21 - 69
- zisk 13 - 17 dBi dle kanálu
- předozadní poměr: > 20 dB
- konektor typu F
- délka antény 1050 mm
- vhodná pro horizontální i vertikální polarizaci



**FLASHD**



Rovnice 998/6, 691 41 Břeclav, tel/fax. 519 374 090  
e-mail: obchod@antech.cz, http://eshop.antech.cz



**ELEKTRONIKA ZDENĚK KRČMÁŘ**

**Spínané adaptéry z 230VAC - DC**

MW3N06GS	3 - 12V / 0.6A, do zásuvky	149.00 Kč
MW3K10GS	3 - 12V / 1A, do zásuvky	179.00 Kč
MW3R15GS	3 - 12V / 1.5A, do zásuvky	219.00 Kč
MW7E08GS	3 - 12V / 1.6 - 0.8A, do zásuv.	239.00 Kč
MW3IP25GS	3 - 12V / 2.2A, do zásuvky	289.00 Kč
MW3G15GS	9 - 24V / 1.5 - 1A, do zásuv.	289.00 Kč
NL050P100GS	5V/1A, do zásuvky	129.00 Kč
MW0513SZ	5V / 1.3A, do zásuvky	169.00 Kč
SYS1449-1505	5V / 3A, do zásuvky	269.00 Kč
SYS1308-1809	9V / 2A, do zásuvky	299.00 Kč
KSAFH09004	9V / 4A, minikonektor	269.00 Kč
CPS006120050	12V / 0.5A, do zásuvky	139.00 Kč
SYS1421-0612	12V / 0.5A, do zásuvky	169.00 Kč
SYS1381-1212	12V / 1A, do zásuvky	169.00 Kč
SYS1308-2412	12V / 2A, do zásuvky	269.00 Kč
SYS1319-3012	12V / 2.5A, minikonekt.	319.00 Kč
KSAF12004	12V / 4A, minikonekt.	369.00 Kč
SYS1443-6512	12V / 5.4A, minikonekt.	589.00 Kč
SYS1308-2415	15V / 1.6A, do zásuvky	319.00 Kč
SYS1319-3018	18V / 1.6A, minikonekt.	349.00 Kč
ST-C-070-19	19V / 3.6A, minikonekt.	769.00 Kč
SYS1308-2424	24V / 1A, do zásuvky	299.00 Kč
SYS1319-3024	24V / 1.25A, minikonekt.	349.00 Kč
SYS1443-6524	24V / 2.7A, minikonekt.	669.00 Kč
MWA2102GS	15 - 24V / 3A, minikonektor	649.00 Kč



**Spínané zdroje**

na DIN lištu (MDR..., DR...)

MDR-20..	5,12,24V/až 20W	599.00 Kč
MDR-40..	5,12,24,48V/40W	799.00 Kč
MDR-60..	5,12,24,48V/60W	899.00 Kč
DR-30-12	12V/24V	629.00 Kč
DR-45..	5,12,24V/až 48W	649.00 Kč
DR-60..	12,15,24V/až 54W	799.00 Kč
DR-75..	12,24V/76W	899.00 Kč
DR-120..	12,24,48V/120W	1149.00 Kč

v krabici (RS..., T..., D...), na DPS (PS..., PD...)

RS-15..	12,24V/15W	369.00 Kč
RS-25..	5,12,24V/25W	449.00 Kč
RS-50..	5,12,24V/50W	525.00 Kč
RS-75..	12,24V/75W	699.00 Kč
RS-100..	12,24V/100W	849.00 Kč
RS-150..	12,24V/150W	920.00 Kč
PS-05..	5,12,24V/5W	239.00 Kč
PS-15..	12,24V/15W	299.00 Kč
PS-25..	5,12,24V/25W	449.00 Kč
PS-45..	5,12,24,48V/45W	479.00 Kč
PS-65..	12,24V/62W	489.00 Kč
D-60A	5V/4A+12V/3A	799.00 Kč
D-60B	5V/3A+24V/1.8A	799.00 Kč
PD-2512	-12V/1A+12V/1A	509.00 Kč
T-60B	-12V+12V+5V	899.00 Kč

Uvedené ceny jsou MC včetně DPH.

Úplnou nabídku zboží, aktuální ceny s množstevními slevami, novinky, mimořádné slevy a doprodeje naleznete v e-obchodu.

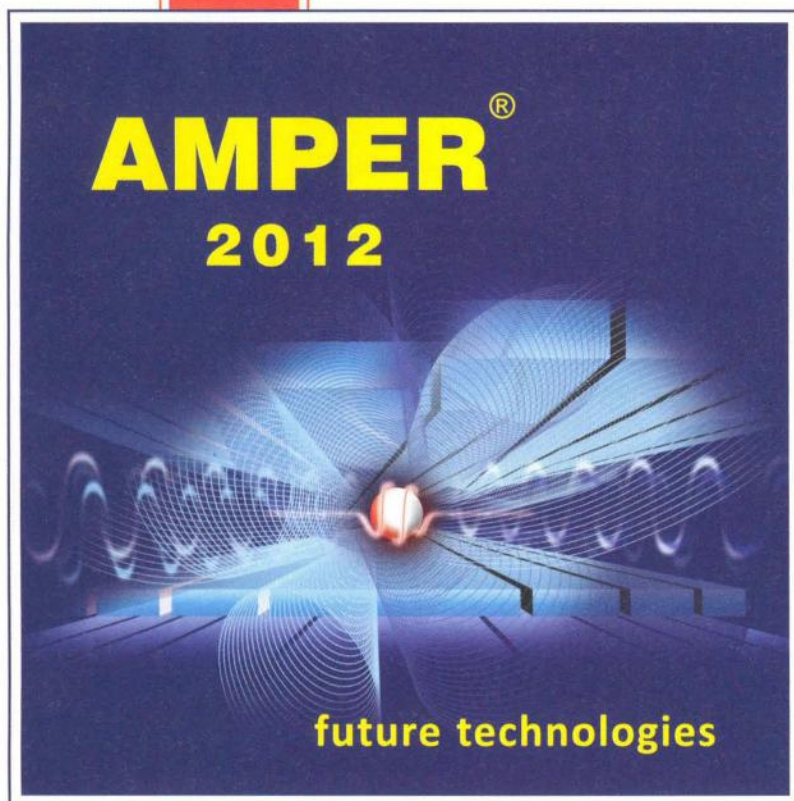
[www.ezk.cz/e-shop](http://www.ezk.cz/e-shop)

ROŽNOV p. R., Tylovice 1880, tel.: 571 651 321, fax: 571 620 576, mobil: 605 463 743

OLOMOUC, Hálkova 2, tel.: 585 511 211, mobil: 605 463 655, fax: 585 511 257

<http://www.ezk.cz>, [ezk@ezk.cz](mailto:ezk@ezk.cz), [objednavky@ezk.cz](mailto:objednavky@ezk.cz)

**přihlášeno již  
450 firem**



**20** Mezinárodní veletrh elektrotechniky,  
elektroniky, automatizace a komunikace

Pořádá TERINVEST  
ve spolupráci s BVV

Připraveny nejmodernější  
výstavní haly P, F, V, G1

Stále se můžete  
přihlásit k účasti



**20. – 23. 3. 2012**  
VÝSTAVIŠTĚ BRNO

**[www.amper.cz](http://www.amper.cz)**



Akce platí od 1. 2. do 29. 2. 2012 nebo do vyprodání zásob.



**1 | 751-096 | Nabíječka NiCd, NiMh MW1283**

Síťová nabíječka určená k nabíjení 1 nebo 2 ks akumulátorů NiMH a NiCd velikosti AAA, AA. Napájení ze sítě 230 VAC.

**2 | 751-097 | Nabíječka NiCd, NiMh MW1282**

Síťová nabíječka určená k nabíjení 2 nebo 4 ks akumulátorů NiMH a NiCd velikosti AAA, AA. Napájení ze sítě 230 VAC.

**3 | 751-371 | Nabíječka NiCd a NiMh MW3278**

Rychlá nabíječka pro 1–4 ks NiCd a NiMh AA, AAA a 2x9V akumulátorů. Kontrola napětí a teploty, napájení ze sítě nebo zásuvky autozapalovače. Nabíjecí proud pro AA 1500 mA.

**4 | 751-041 | Nabíječka Ni-Cd, Ni-Mh MW5798**

Univerzální nabíječka NiCd a NiMH AAA, AA, C, D a 2x9V akumulátorů s vybíjecí automatikou pro ožívování nebo formátování článků.

**5 | 751-392 | Nabíječka NiCd a NiMh MW3279**

Rychlá, 4 kanálová nabíječka pro 1–4 ks NiCd a NiMh AA a AAA akumulátorů. Napájení ze sítě spínaným zdrojem nebo ze zásuvky autozapalovače.

**6 | 751-617 | Nabíječka NiCd, NiMh MWL2111**

Síťová nabíječka až 4 ks akumulátorů NiMH a NiCd velikosti AAA, AA s DeltaV detekcí, 100–240 VAC/12–13,8 VDC, elegantní hliníkové provedení s LCD displejem s indikací stavu akumulátorů.

**7 | 751-616 | Nabíječka Ni-Cd, Ni-Mh MW1237**

Síťová nabíječka s vyměnitelnými cestovními konektory, nabíjí až 4 ks akumulátorů NiMH a NiCd velikosti AAA, AA s DeltaV detekcí, funkce vybíjení, 100–240 VAC/12–13,8 VDC, vyměnitelné konektory jsou součástí balení.



**1 | 751-504 | Nabíječka Pb akumulátorů MW126CPA**

Nabíječka pro olovené akumulátory 6 a 12V, 1500 mA s kabely. Neobsahuje vypínací automatiku. Slouží převážně jako udržovací nabíječka.

**2 | 751-346 | Udržovací nabíječka MW126C05**

Udržovací nabíječka pro olovené akumulátory 6 a 12V/500 mA. Vhodná k udržování aku v pohotovosti při dlouhodobém uskladnění nebo při odstavení automobilu či motocyklu.

**1 | 751-615 | Nabíječka Li-Ion, Li-Pol MWI311**

Nabíječka pro Li-ion/Li-pol akumulátory s nastavitelnými kontakty dle rozměru akumulátoru, 3,7/7,4 VDC.

**2 | 751-514 | Nabíječka Li-Ion MW3810HC**

Nabíječka pro modelářské Li-ion battery packy s DeltaV detekcí, výstup 3,7/7,4/11,1 VDC, nabíjecí proud 1200 mA.

**3 | 751-401 | Nabíječka modelářská MWBP7206**

Rychlá nabíječka pro modelářské battery packy 7.2V s DeltaV detekcí a funkcí vybíjení. Nabíjecí proud 600 mA.





- 1 | 751-463 | **Adaptér síťový 12V/400mA + 8 konektorů**  
 Síťový napájecí adaptér s výstupním napětím DC 12V/400 mA, stabilizovaný, se sadou vyměnitelných konektorů.
- 2 | 751-351 | **Adaptér síťový 9V/2000mA, nestabilizovaný, 2,1 mm**  
 Síťový napájecí adaptér s transformátorem s výstupním napětím DC 9V/2000 mA nestabilizovaný, výstup kabel s konektorem 5,5/2,1 mm, vstup AC 230V/50Hz, síťová vidlice.
- 3 | 751-352 | **Nabíječka modelářská MWBP7206**  
 Síťový napájecí adaptér s transformátorem s výstupním napětím DC 12V/1400 mA, nestabilizovaný, výstupní kabel s konektorem 5,5/2,1 mm, vstup AC 230V/50Hz, síťová vidlice.

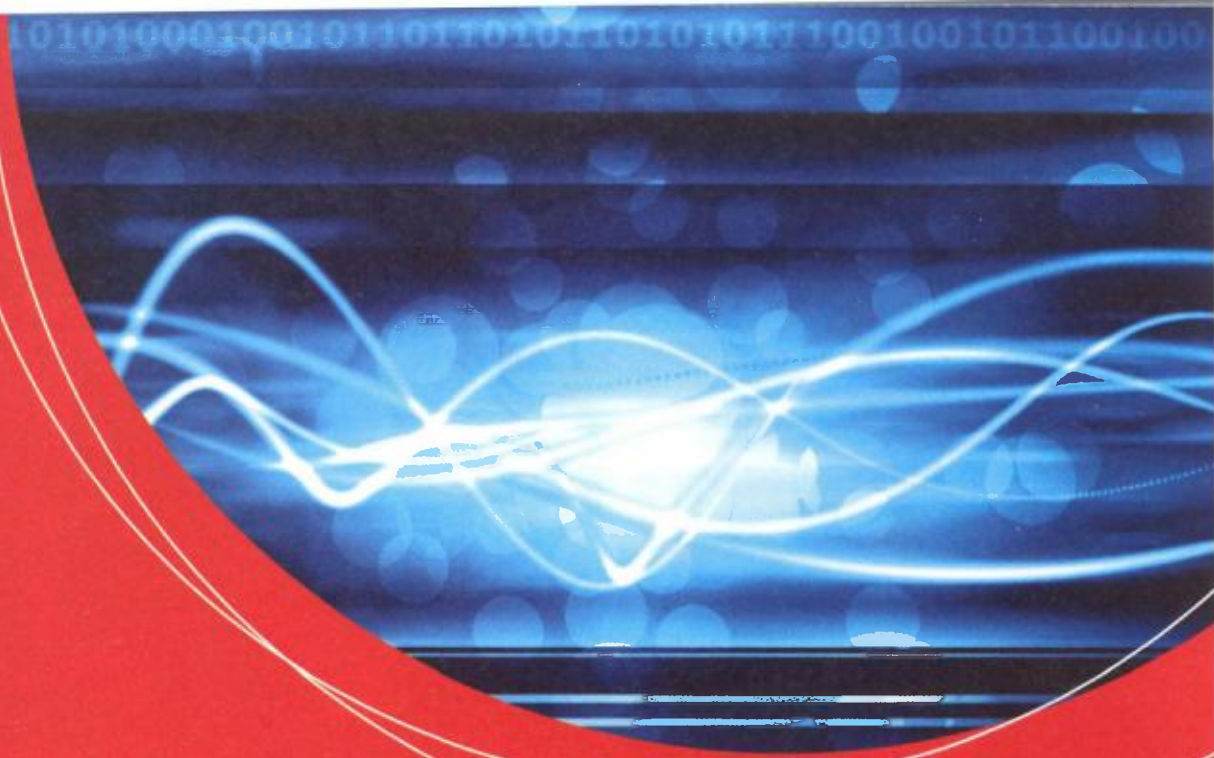


- 1 | 751-402 | **Adaptér síťový 15V AC/650mA, 2,1 mm**  
 Síťový napájecí adaptér s transformátorem s výstupním napětím AC 15V/650mA střídavý, výstupní kabel s konektorem 5,5/2,1 mm, vstup AC 230V/50Hz, síťová vidlice.
- 2 | 751-043 | **Adaptér síťový nastavitelný MW9112GS**  
 Univerzální síťový adaptér s přepínáním výstupního napětí 3.0 / 6.0 / 9.0 / 12V, 14,4W, stabilizovaný. Součástí je 6 standardních konektorů.
- 3 | 751-457 | **Adaptér síťový 3 -12V/1000mA nestabilizovaný**  
 Univerzální síťový adaptér s přepínáním výstupního napětí 3.0 / 4.5 / 6.0 / 7.5 / 9.0 / 12V, max., 10.8W, nestabilizovaný. Součástí je 6 různých konektorů.
- 4 | 751-398 | **Adaptér síťový spínaný MW7H380GS**  
 Spínaný napájecí adaptér. U<sub>in</sub>=100 až 240V. Výstupní napětí je nastavitelné výměnnými propojkami od 5V do 24V s krokem po 1V. Výstupní výkon: 36W. Obsahuje sadu standardních konektorů.



- 1 | 751-505 | **Autoadaptér MW3371CE**  
 Napájecí USB adaptér do automobilu, 5V/1000 mA.
- 2 | 751-510 | **Autoadaptér nastavitelný MW292**  
 Adaptér DC/DC do automobilové zásuvky, vstup 12–24VDC, výstup 1,5/3/4,5/6/7,5/9/12VDC, max. 2000 mA při vstupu 24V, 6 ks vyměnitelných konektorů, rozměry 100 x 70 x 32 mm.
- 3 | 751-542 | **Autoadaptér pro notebooky MW2172**  
 Adaptér ComOn pro notebooky do automobilu – vstupní napětí 12–13.8V DC, výstup je možné nastavit na 15/16/18/19/20/22/24VDC, 3.5A, balení v blistru + 6 standardních koncovek.

Všechny ceny jsou uvedeny v Kč včetně DPH. Změna cen a jiných údajů vyhrazena.



FOR

# ELECTRON<sup>®</sup>

2. MEZINÁRODNÍ VELETRH ELEKTROTECHNIKY, ELEKTRONIKY A ENERGETIKY  
2<sup>nd</sup> INTERNATIONAL TRADE FAIR OF ELECTROTECHNICS, ELECTRONICS  
AND POWER ENGINEERING

**Souběžné veletrhy / Simultaneously:**

**FOR ENERGO**

**FOR AUTOMATION**

**LETŇANY VÁS ZVOU!**

**WELCOME TO THE EXHIBITION CENTRE PRAGUE LETNANY!**

**PVA**  
EXPO PRAHA

[www.electroncz.cz](http://www.electroncz.cz)

**13. – 16. 3. 2012**



## AEC ELEKTROTECHNIKA spol. s r.o.

Member of the Kathrein Group

AEC ELEKTROTECHNIKA, spol. s r.o.  
Na Rovnách 6/390, 142 00 Praha 4  
Tel.: +420 241 710 018, -48  
Fax: +420 241 710 003  
E-mail: info@aec-eltech.cz

# KATHREIN

Antennen · Electronic



### CAP 710 – TV příjem pro Váš karavan.

- ▶ Automatické nastavení antény na požadovaný satelit.
- ▶ HD přijímač s HDMI výstupem a externím IR čidlem pro skrytou montáž v interiéru.
- ▶ Napájení 12 V!
- ▶ Také v provedení pro 2 TV s rychlejším nastavením pomocí GPS(model CAP910).



### HDS 910 - sada přijímače a pozicionéru

- ▶ Je určena pro přestavbu starších systémů CAP pro příjem satelitního digitálního TV i HDTV vysílání.
- ▶ Obsahuje HDTV satelitní přijímač UFS940sw a pozicionér HDS900.
- ▶ HDS900 umožní spolupráci nového přijímače se staršími servojednotkami.

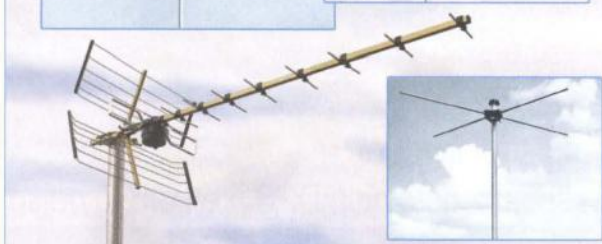
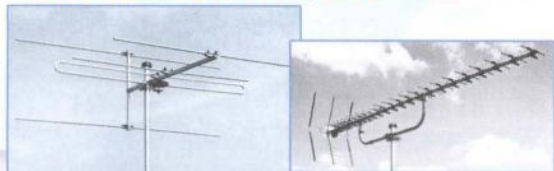


Internetový obchod naleznete na:  
<http://obchod.aec-eltech.eu/>

### Výběr ze sortimentu značkových antén KATHREIN

#### Vybrané antény:

- ▶ ABH 01 - FM anténa, zisk 7-8 dB
- ▶ ABA 20 - FM křížový dipól
- ▶ AUY 69 - UHF kanál 21 - 69, zisk 8 - 14 dB
- ▶ AOT 65 - UHF kanál 21 - 65, zisk 12 - 18 dB



[WWW.AEC-ELTECH.CZ](http://WWW.AEC-ELTECH.CZ)

# AVNEL MAK

## LED PÁSY

- INDOOR
  - 150 LED
  - 300 LED
  - 600 LED
- OUTDOOR
  - 150 LED
  - 300 LED
  - 600 LED
- LED LIŠTY



- ZDROJE
- OVLÁDAČE
- LIŠTY AL

Preverte si naše ceny  
a kompletný sortiment :

[www.avelmak.sk](http://www.avelmak.sk)

E-mail: [avelmak@avelmak.sk](mailto:avelmak@avelmak.sk)  
Telefón: +421-57-7682825, Fax: +421-57-7580460

## ERA COMPONENTS spol. s r.o.

**SYFER** **NOVACAP** **ST** **VITROHM**

## ÚNOROVÝ VÝPRODEJ

### ČIPOVÉ REZISTORY SMD

0805 5% 60,00 Kč  
1R0 – 10M, TK200 za cívku 5000 ks

0805 1% 80,00 Kč  
1R0 – 10M, TK100 za cívku 5000 ks

1206 5% 90,00 Kč  
1R0 – 10M, TK200 za cívku 5000 ks

1206 1% 110,00 Kč  
1R0 – 10M, TK100 za cívku 5000 ks

### KERAMICKÉ KONDENZÁTORY SMD - SYFER

0805 82p 10% 50V C0G 60,00 Kč  
0805 22n 20% 50V Y5V za cívku 3000 ks

Ceny v Kč bez DPH

Platí do vyprodání zásob.

Michelská 12a, 140 00 Praha 4 tel.: 241483138 fax: 241481161 [era@comp.cz](mailto:era@comp.cz)

programming speed improvement



## BeeProg2 BeeProg+

Podporuje **> 66200** obvodov !

BeeProg2 extrémne rýchly univerzálny programátor  
BeeProg+ veľmi rýchly univerzálny programátor

- duálne pripojenie k PC: USB port / printer port
- možnosť násobného programovania pripojením viacerých programátorov k jednému PC
- konektor pre ISP • záruka - 3 roky

## BeeHive204

EXTRÉMNE RÝCHLY MULTI PROGRAMÁTOR

- 48 univerzálnych pin-driverov, nie sú potrebné adaptéry pre obvody v puzdrách DIL
- pripojenie k PC - USB port
- záruka - 3 roky
- podpora ISP



Podporuje **> 65700** obvodov !

## SmartProg2

UNIVERZÁLNY PROGRAMÁTOR s možnosťou ISP

- výkonný a rýchly univerzálny programátor
- pripojiteľnosť k PC: USB port
- konektor pre ISP
- záruka - 3 roky



Podporuje **> 28200** obvodov !

## Programovacie adaptéry

- viac ako 700 modelov
- pre obvody PLCC, LCC, SDIP, SOIC, SOP, PSOP, SSOP, TSOP, TSOPII, TSSOP, QFP, PQFP, TQFP, VQFP, QFN, MLF, BGA, FBGA, FBGA, VFBGA, UBGA, FTBGA, CSP, QLP, QIP, SOT23 a i.
- od 3 do 484 pinov
- vysoká životnosť




vyrába a dodáva **Eltec s.r.o.**  
Jána Bolltu 5  
SK - 080 01 Prešov  
tel: 051/77 343 28  
eltec@eltec.sk, www.eltec.sk

**Cigler software, a.s.** (servis a zastúpenie pre ČR)  
Rostislavovo nám. 12, 612 00 Brno, tel. 5 4952 2511,  
fax: 5 4952 2512; eShop: http://shop.eltec.cz

**Fanda elektronik s.r.o.** Těrlická 475/22, 73535 Horní Suchá  
tel. 603 531 605, fax: 59 642 58 19, eltec@fanda.cz

**HW** - U Pily 103/3, 143 00 Praha 4, info@hw.cz  
tel. 241 402 940, fax: 222 513 833, www.hw.cz

**Ryston electronics s.r.o.**, Modřanská 621/72, P.O. Box 13  
143 00 Praha 4, tel. 225 272 111, fax: 225 272 211

**S.O.S. electronic s.r.o.**, Pri prachárni 16, 040 11 Košice  
tel. 055/786 04 10-16, fax: 055/786 0445, info@sos.sk

**S.O.S. electronic s.r.o.**, Hybešova 42, 602 00 Brno  
tel. 5 43 427 111, info@sosselectronic.cz

## Prodej elektronických měřicích přístrojů.



repasované, nové

Elex - Křenová 12  
Brno 60200  
Tel/fax 543255252/1  
www.elexbrno.cz  
elex@elexbrno.cz



Provádíme opravy a kalibrace.

[www.aradio.cz](http://www.aradio.cz)

## OPTOELEKTRONICKÁ ČIDLA A ZÁVORY

- INFRA ZÁVORY 12m
- REFLEX. ZÁVORY 5m
- DIFUZNÍ ČIDLA 1,2m
- INDUKČNÍ ČIDLA 6mm

PROGRAMOVATELNÁ ČIDLA A ZÁVORY

Použití: kontrola osob, předmětů, rozměru, ochrana objektů

### REHABILITAČNÍ A MASÁŽNÍ PŘÍSTROJE

**ELFA -SRB** e-mail: srb@elfa.cz  
Řečice 22 http://www.elfa.cz  
388 01 BLATNÁ tel. fax 383 423 652

## KONEKTORY - BRNO, s.r.o.

Musilova 1, 614 00 BRNO  
tel. + fax: 541 212 577  
www.konektor.cz  
e-mail: brno@konektor.cz

## Plošné spoje rychle, levně, kvalitně

Zhotovíme jedno i dvojstranné pl. spoje dle časopisů AR, KTE i dle vlastních předloh. Běžné dodací lhůty týden až 10 dnů. Po domluvě i express do 24 hodin.

**ELEKTRO SOUND** Borská 33, 301 00 Plzeň  
tel/fax: 377326701 mobil: 603264981  
www.elektrosound.cz e-mail: obchod@elektrosound.cz

ELEKTRONICKÉ SOUČÁSTKY  
e-mail: bucek@bucek.name  
www.bucek.name

## Jaromír BUČEK

Tel/Fax: (05) 45 21 54 33  
Vranovská 14, 614 00 BRNO

## Výroba zakázkových plošných spojů

- jednostranné  
- oboustranné

- \* plošné spoje dle časopisů AR, PE, KE, Radio PLUS (KTE)
- \* plošné spoje zakázkové - Jednostranné,  
Oboustranné prokovené/neprokovené (měďáky, cínované, vrtané, s nepájivou maskou, s potiskem)
- \* zhotovení filmových předloh
- \* digitalizace plošných spojů
- \* digitalizace dat pro strojní vrtání
- \* výroba plošných spojů z hotových DPS, ke kterým nejsou výrobní podklady

Bližší informace o výrobě naleznete na [www.bucek.name](http://www.bucek.name)

Objednejte si nový KATALOG III

A&A, výroba, obchod a servis, s.r.o.  
739 47 Kozlovice 587, tlf./fax: 558697697

**A&A**

**www.krabicky.cz**

www.krabicky.cz

**Převodníky ETHERNET – RS232/422/485**

Různá provedení, snadné použití, nízká cena (převodník, webový server, FTP server, ...), zakázkový software



**Teploměry**

S výstupy RS232/485, USB, Ethernet (IP teploměr). Měření přímo ve °C.

**Převodníky USB – RS232/485/422**

"Chybí Vám sériový port?"  
Běžné i průmyslové provedení, galvanické oddělení, přenos všech signálů, virtuální driver

**Měřicí moduly DRAK**

AD převodník 0-10 V, 4-20 mA, výstup Ethernet, USB, RS232/485. Nové rychlé provedení.

**Převodníky a opakováče linek RS232 i RS485/422**

Galvanické oddělení, přepětová ochrana, různá provedení, vysoká spolehlivost

**Optické oddělení a prodloužení RS232**

I/O moduly pro RS232/485/422, USB, Ethernet

**PAPOUCH s.r.o.**

Elektronické aplikace dle Vašich požadavků - [www.papouch.com](http://www.papouch.com)  
Strašnická 1a, Praha 10, tel. 267 314 267-9, 602 379 954

**BS ACOUSTIC**

BS ACOUSTIC CZ, s.r.o., Brno - CZ  
tel.: 00420 541 633 797  
BS ACOUSTIC, s.r.o., Radošovice - SK  
tel.: 00421 34 660 4511

**REPRODUKTORY, REPROSOUSTAVY**  
**OZVUČOVACÍ TECHNIKA**  
**CAR-HIFI-PROFESSIONAL SOUND SYSTEMS**

**www.bsacoustic.com**

Přijmeme do pracovního poměru obchodního manažera  
žádosti se životopisem zasílejte na: [bsacoustic@bsacoustic.com](mailto:bsacoustic@bsacoustic.com)

On-line obchod zaměřený na  
pájení, antistatiku a dávkování

**esdshop.cz**  
internetový obchod

Každý týden nová speciální nabídka s 10% slevou!

Po - Pá: 8:00 - 16:00  
INFOLINKA  
607 100 687

[www.esdshop.cz](http://www.esdshop.cz)  
[obchod@esdshop.cz](mailto:obchod@esdshop.cz)

**ELTIP s.r.o., elektrosoučástky**

Velkoobchod, maloobchod, zásilková služba  
Bulharská 961, 530 03 Pardubice  
TEL: 466 611 112, 466 657 688, FAX: 466 657 323  
[eltip@eltip.cz](mailto:eltip@eltip.cz), [www.eltip.cz](http://www.eltip.cz)

L7805CV ST TO220	á 3,90 /50ks	L7805ABV TO220	á 4,90/50ks
PC817 Sharp	á 2,90/50ks	CR2032 Panasonic	á 9,50/50ks
Relé Schrack RT 424 012, 024 (2x8A) 12, 24 V DC			á 39,-/20ks
Relé Schrack RT 314 012, 024 (1x16A) 24V DC			á 39,-/20ks
Relé Schrack RT 314, 424 730 (1x16A, 2x8A) 230V AC			á 69,-/20ks

Aktuální ceny dalších součástek sdělíme na poptávku emailem, faxem.  
Distribuce ENIKA, LINEAR TECHNOLOGY, SUNON, WAGO ATD.

Pro obdržení cen z tohoto inzerátu uvádějte  
na objednávkách kód SPEC.NAB.04/2011

Ceny bez DPH

**inzerce@aradio.cz**  
**pe@aradio.ce**  
**odbyt@aradio.cz**  
**www.aradio.cz**

**ELEKTRONICKÉ SOUČÁSTKY**  
e-mail : bucek@bucek.name  
www.bucek.name

**Jaromír BUČEK**  
Tel/Fax : 545 215 433  
Vranovská 14, 614 00 BRNO

**Adresa internetových stránek : www.bucek.name**  
e-mail : bucek@bucek.name plošné spoje dps@bucek.name objednávky objednavky@bucek.name

**KUPREXIT**  
Jednostranný A4 100,-  
Jednostranný A5 50,-  
tloušťka : 0,8; 1,0; 1,5; 2,0 mm  
Oboustranný A4 120,-  
Oboustranný A5 60,-  
tloušťka : 1,0; 1,5mm  
po předchozí domluvě je možno  
upřesňovat libovolný jiný formát

**LEPTACÍ ROZTOK**  
(chémicko zelektro)  
1,0L 90,-

Výkonové potenciometry		Diody	
BYV 52-200 200,-	IRF 530 15,-	IRFP 240 50,-	KFY 517 11,-
KY 708 18,-	IRF 540 22,-	IRFP 250 60,-	KFY 18 21,-
KY 710 18,-	IRF 630 15,-	IRFP 150 60,-	KT 201600 16,-
KY 712 18,-	IRF 640 22,-	IRFP 450 65,-	KT 206200 16,-
KY 715 31,-	IRF 740 22,-	IRFP 480 75,-	KT 206400 20,-
KY 717 34,-	IRF 742 22,-	IRFP 450 65,-	KT 206600 30,-
KY 718 35,-	IRF 830 18,-	IRFP 3710 55,-	KT 207200 10,-
KY 719 18,-	IRF 840 22,-	IRFP 3240 55,-	KT 207400 21,-
KY 720 18,-	IRF 842 22,-	IRFP 3240 55,-	KT 207600 30,-
KY 721 18,-	IRF 844 22,-	IRFP 3240 55,-	KT 207800 30,-
KY 722 18,-	IRF 846 22,-	IRFP 3240 55,-	KT 208000 30,-
KY 723 18,-	IRF 848 22,-	IRFP 3240 55,-	KT 208200 30,-
KY 724 18,-	IRF 850 22,-	IRFP 3240 55,-	KT 208400 30,-
KY 725 18,-	IRF 852 22,-	IRFP 3240 55,-	KT 208600 30,-
KY 726 18,-	IRF 854 22,-	IRFP 3240 55,-	KT 208800 30,-
KY 727 18,-	IRF 856 22,-	IRFP 3240 55,-	KT 209000 30,-
KY 728 18,-	IRF 858 22,-	IRFP 3240 55,-	KT 209200 30,-
KY 729 18,-	IRF 860 22,-	IRFP 3240 55,-	KT 209400 30,-
KY 730 18,-	IRF 862 22,-	IRFP 3240 55,-	KT 209600 30,-
KY 731 18,-	IRF 864 22,-	IRFP 3240 55,-	KT 209800 30,-
KY 732 18,-	IRF 866 22,-	IRFP 3240 55,-	KT 210000 30,-
KY 733 18,-	IRF 868 22,-	IRFP 3240 55,-	KT 210200 30,-
KY 734 18,-	IRF 870 22,-	IRFP 3240 55,-	KT 210400 30,-
KY 735 18,-	IRF 872 22,-	IRFP 3240 55,-	KT 210600 30,-
KY 736 18,-	IRF 874 22,-	IRFP 3240 55,-	KT 210800 30,-
KY 737 18,-	IRF 876 22,-	IRFP 3240 55,-	KT 211000 30,-
KY 738 18,-	IRF 878 22,-	IRFP 3240 55,-	KT 211200 30,-
KY 739 18,-	IRF 880 22,-	IRFP 3240 55,-	KT 211400 30,-
KY 740 18,-	IRF 882 22,-	IRFP 3240 55,-	KT 211600 30,-
KY 741 18,-	IRF 884 22,-	IRFP 3240 55,-	KT 211800 30,-
KY 742 18,-	IRF 886 22,-	IRFP 3240 55,-	KT 212000 30,-
KY 743 18,-	IRF 888 22,-	IRFP 3240 55,-	KT 212200 30,-
KY 744 18,-	IRF 890 22,-	IRFP 3240 55,-	KT 212400 30,-
KY 745 18,-	IRF 892 22,-	IRFP 3240 55,-	KT 212600 30,-
KY 746 18,-	IRF 894 22,-	IRFP 3240 55,-	KT 212800 30,-
KY 747 18,-	IRF 896 22,-	IRFP 3240 55,-	KT 213000 30,-
KY 748 18,-	IRF 898 22,-	IRFP 3240 55,-	KT 213200 30,-
KY 749 18,-	IRF 900 22,-	IRFP 3240 55,-	KT 213400 30,-
KY 750 18,-	IRF 902 22,-	IRFP 3240 55,-	KT 213600 30,-
KY 751 18,-	IRF 904 22,-	IRFP 3240 55,-	KT 213800 30,-
KY 752 18,-	IRF 906 22,-	IRFP 3240 55,-	KT 214000 30,-
KY 753 18,-	IRF 908 22,-	IRFP 3240 55,-	KT 214200 30,-
KY 754 18,-	IRF 910 22,-	IRFP 3240 55,-	KT 214400 30,-
KY 755 18,-	IRF 912 22,-	IRFP 3240 55,-	KT 214600 30,-
KY 756 18,-	IRF 914 22,-	IRFP 3240 55,-	KT 214800 30,-
KY 757 18,-	IRF 916 22,-	IRFP 3240 55,-	KT 215000 30,-
KY 758 18,-	IRF 918 22,-	IRFP 3240 55,-	KT 215200 30,-
KY 759 18,-	IRF 920 22,-	IRFP 3240 55,-	KT 215400 30,-
KY 760 18,-	IRF 922 22,-	IRFP 3240 55,-	KT 215600 30,-
KY 761 18,-	IRF 924 22,-	IRFP 3240 55,-	KT 215800 30,-
KY 762 18,-	IRF 926 22,-	IRFP 3240 55,-	KT 216000 30,-
KY 763 18,-	IRF 928 22,-	IRFP 3240 55,-	KT 216200 30,-
KY 764 18,-	IRF 930 22,-	IRFP 3240 55,-	KT 216400 30,-
KY 765 18,-	IRF 932 22,-	IRFP 3240 55,-	KT 216600 30,-
KY 766 18,-	IRF 934 22,-	IRFP 3240 55,-	KT 216800 30,-
KY 767 18,-	IRF 936 22,-	IRFP 3240 55,-	KT 217000 30,-
KY 768 18,-	IRF 938 22,-	IRFP 3240 55,-	KT 217200 30,-
KY 769 18,-	IRF 940 22,-	IRFP 3240 55,-	KT 217400 30,-
KY 770 18,-	IRF 942 22,-	IRFP 3240 55,-	KT 217600 30,-
KY 771 18,-	IRF 944 22,-	IRFP 3240 55,-	KT 217800 30,-
KY 772 18,-	IRF 946 22,-	IRFP 3240 55,-	KT 218000 30,-
KY 773 18,-	IRF 948 22,-	IRFP 3240 55,-	KT 218200 30,-
KY 774 18,-	IRF 950 22,-	IRFP 3240 55,-	KT 218400 30,-
KY 775 18,-	IRF 952 22,-	IRFP 3240 55,-	KT 218600 30,-
KY 776 18,-	IRF 954 22,-	IRFP 3240 55,-	KT 218800 30,-
KY 777 18,-	IRF 956 22,-	IRFP 3240 55,-	KT 219000 30,-
KY 778 18,-	IRF 958 22,-	IRFP 3240 55,-	KT 219200 30,-
KY 779 18,-	IRF 960 22,-	IRFP 3240 55,-	KT 219400 30,-
KY 780 18,-	IRF 962 22,-	IRFP 3240 55,-	KT 219600 30,-
KY 781 18,-	IRF 964 22,-	IRFP 3240 55,-	KT 219800 30,-
KY 782 18,-	IRF 966 22,-	IRFP 3240 55,-	KT 220000 30,-
KY 783 18,-	IRF 968 22,-	IRFP 3240 55,-	KT 220200 30,-
KY 784 18,-	IRF 970 22,-	IRFP 3240 55,-	KT 220400 30,-
KY 785 18,-	IRF 972 22,-	IRFP 3240 55,-	KT 220600 30,-
KY 786 18,-	IRF 974 22,-	IRFP 3240 55,-	KT 220800 30,-
KY 787 18,-	IRF 976 22,-	IRFP 3240 55,-	KT 221000 30,-
KY 788 18,-	IRF 978 22,-	IRFP 3240 55,-	KT 221200 30,-
KY 789 18,-	IRF 980 22,-	IRFP 3240 55,-	KT 221400 30,-
KY 790 18,-	IRF 982 22,-	IRFP 3240 55,-	KT 221600 30,-
KY 791 18,-	IRF 984 22,-	IRFP 3240 55,-	KT 221800 30,-
KY 792 18,-	IRF 986 22,-	IRFP 3240 55,-	KT 222000 30,-
KY 793 18,-	IRF 988 22,-	IRFP 3240 55,-	KT 222200 30,-
KY 794 18,-	IRF 990 22,-	IRFP 3240 55,-	KT 222400 30,-
KY 795 18,-	IRF 992 22,-	IRFP 3240 55,-	KT 222600 30,-
KY 796 18,-	IRF 994 22,-	IRFP 3240 55,-	KT 222800 30,-
KY 797 18,-	IRF 996 22,-	IRFP 3240 55,-	KT 223000 30,-
KY 798 18,-	IRF 998 22,-	IRFP 3240 55,-	KT 223200 30,-
KY 799 18,-	IRF 1000 22,-	IRFP 3240 55,-	KT 223400 30,-
KY 800 18,-	IRF 1002 22,-	IRFP 3240 55,-	KT 223600 30,-
KY 801 18,-	IRF 1004 22,-	IRFP 3240 55,-	KT 223800 30,-
KY 802 18,-	IRF 1006 22,-	IRFP 3240 55,-	KT 224000 30,-
KY 803 18,-	IRF 1008 22,-	IRFP 3240 55,-	KT 224200 30,-
KY 804 18,-	IRF 1010 22,-	IRFP 3240 55,-	KT 224400 30,-
KY 805 18,-	IRF 1012 22,-	IRFP 3240 55,-	KT 224600 30,-
KY 806 18,-	IRF 1014 22,-	IRFP 3240 55,-	KT 224800 30,-
KY 807 18,-	IRF 1016 22,-	IRFP 3240 55,-	KT 225000 30,-
KY 808 18,-	IRF 1018 22,-	IRFP 3240 55,-	KT 225200 30,-
KY 809 18,-	IRF 1020 22,-	IRFP 3240 55,-	KT 225400 30,-
KY 810 18,-	IRF 1022 22,-	IRFP 3240 55,-	KT 225600 30,-
KY 811 18,-	IRF 1024 22,-	IRFP 3240 55,-	KT 225800 30,-
KY 812 18,-	IRF 1026 22,-	IRFP 3240 55,-	KT 226000 30,-
KY 813 18,-	IRF 1028 22,-	IRFP 3240 55,-	KT 226200 30,-
KY 814 18,-	IRF 1030 22,-	IRFP 3240 55,-	KT 226400 30,-
KY 815 18,-	IRF 1032 22,-	IRFP 3240 55,-	KT 226600 30,-
KY 816 18,-	IRF 1034 22,-	IRFP 3240 55,-	KT 226800 30,-
KY 817 18,-	IRF 1036 22,-	IRFP 3240 55,-	KT 227000 30,-
KY 818 18,-	IRF 1038 22,-	IRFP 3240 55,-	KT 227200 30,-
KY 819 18,-	IRF 1040 22,-	IRFP 3240 55,-	KT 227400 30,-
KY 820 18,-	IRF 1042 22,-	IRFP 3240 55,-	KT 227600 30,-
KY 821 18,-	IRF 1044 22,-	IRFP 3240 55,-	KT 227800 30,-
KY 822 18,-	IRF 1046 22,-	IRFP 3240 55,-	KT 228000 30,-
KY 823 18,-	IRF 1048 22,-	IRFP 3240 55,-	KT 228200 30,-
KY 824 18,-	IRF 1050 22,-	IRFP 3240 55,-	KT 228400 30,-
KY 825 18,-	IRF 1052 22,-	IRFP 3240 55,-	KT 228600 30,-
KY 826 18,-	IRF 1054 22,-	IRFP 3240 55,-	KT 228800 30,-
KY 827 18,-	IRF 1056 22,-	IRFP 3240 55,-	KT 229000 30,-
KY 828 18,-	IRF 1058 22,-	IRFP 3240 55,-	KT 229200 30,-
KY 829 18,-	IRF 1060 22,-	IRFP 3240 55,-	KT 229400 30,-
KY 830 18,-	IRF 1062 22,-	IRFP 3240 55,-	KT 229600 30,-
KY 831 18,-	IRF 1064 22,-	IRFP 3240 55,-	KT 229800 30,-
KY 832 18,-	IRF 1066 22,-	IRFP 3240 55,-	KT 230000 30,-
KY 833 18,-	IRF 1068 22,-	IRFP 3240 55,-	KT 230200 30,-
KY 834 18,-	IRF 1070 22,-	IRFP 3240 55,-	KT 230400 30,-
KY 835 18,-	IRF 1072 22,-	IRFP 3240 55,-	KT 230600 30,-
KY 836 18,-	IRF 1074 22,-	IRFP 3240 55,-	KT 230800 30,-
KY 837 18,-	IRF 1076 22,-	IRFP 3240 55,-	KT 231000 30,-
KY 838 18,-	IRF 1078 22,-	IRFP 3240 55,-	KT 231200 30,-
KY 839 18,-	IRF 1080 22,-	IRFP 3240 55,-	KT 231400 30,-
KY 840 18,-	IRF 1082 22,-	IRFP 3240 55,-	KT 231600 30,-
KY 841 18,-	IRF 1084 22,-	IRFP 3240 55,-	KT 231800 30,-
KY 842 18,-	IRF 1086 22,-	IRFP 3240 55,-	KT 232000 30,-
KY 843 18,-	IRF 1088 22,-	IRFP 3240 55,-	KT 232200 30,-
KY 844 18,-	IRF 1090 22,-	IRFP 3240 55,-	KT 232400 30,-
KY 845 18,-	IRF 1092 22,-	IRFP 3240 55,-	KT 232600 30,-
KY 846 18,-	IRF 1094 22,-	IRFP 3240 55,-	KT 232800 30,-
KY 847 18,-	IRF 1096 22,-	IRFP 3240 55,-	KT 233000 30,-
KY 848 18,-	IRF 1098 22,-	IRFP 3240 55,-	KT 233200 30,-
KY 849 18,-	IRF 1100 22,-	IRFP 3240 55,-	KT 233400 30,-
KY 850 18,-	IRF 1102 22,-	IRFP 3240 55,-	KT 233600 30,-
KY 851 18,-	IRF 1104 22,-	IRFP 3240 55,-	KT 233800 30,-
KY 852 18,-	IRF 1106 22,-	IRFP 3240 55,-	KT 234000 30,-
KY 853 18,-	IRF 1108 22,-	IRFP 3240 55,-	KT 234200 30,-
KY 854 18,-	IRF 1110 22,-	IRFP 3240 55,-	KT 234400 30,-
KY 855 18,-	IRF 1112 22,-	IRFP 3240 55,-	KT 234600 30,-
KY 856 18,-	IRF 1114 22,-	IRFP 3240 55,-	KT 234800 30,-
KY 857 18,-	IRF 1116 22,-	IRFP 3240 55,-	KT 235000 30,-
KY 858 18,-	IRF 1118 22,-	IRFP 3240 55,-	KT 235200 30,-
KY 859 18,-	IRF 1120 22,-	IRFP 3240 55,-	KT 235400 30,-
KY 860 18,-	IRF 1122 22,-	IRFP 3240 55,-	KT 235600 30,-
KY 861 18,-	IRF 1124 22,-	IRFP 3240 55,-	KT 235800 30,-
KY 862 18,-	IRF 1126 22,-	IRFP 3240 55,-	KT 236000 30,-
KY 863 18,-	IRF 1128 22,-	IRFP 3240 55,-	KT 236200 30,-
KY 864 18,-	IRF 1130 22,-	IRFP 3240 55,-	KT 236400 30,-
KY 865 18,-	IRF 1132 22,-	IRFP 3240 55,-	KT 236600 30,-
KY 866 18,-	IRF 1134 22,-	IRFP 3240 55,-	KT 236800 30,-
KY 867 18,-	IRF 1136 22,-	IRFP 3240 55,-	KT 237000 30,-
KY 868 18,-	IRF 1138 22,-	IRFP 3240 55,-	KT 237200 30,-
KY 869 18,-	IRF 1140 22,-	IRFP 3240 55,-	KT 237400 30,-
KY 870 18,-	IRF 1142 22,-	IRFP 3240 55,-	KT 237600 30,-
KY 871 18,-	IRF 1144 22,-	IRFP 3240 55,-	KT 237800 30,-
KY 872 18,-	IRF 1146 22,-	IRFP 3240 55,-	KT 238000 30,-
KY 873 18,-	IRF 1148 22,-	IRFP 3240 55,-	KT 238200 30,-



## PTR Messtechnik – kvalita s tradicí

PTR Messtechnik je německá společnost s dlouhou tradicí ve výrobě svorkovnic založená v roce 1979. Součástí švýcarského nadnárodního konglomerátu Phoenix Mecano Group s celosvětovým působením se stala již v roce 1989. Mezi nejdůležitější odvětví produkce společnosti patří výroba svorkovnic do DPS, svorkovnic na DIN lištu a testovacích hrotů. Velkou výhodou oproti konkurenci představuje vlastní sklad společnosti, nacházející se v Německu, který je schopen expedovat skladové zásoby standardních položek přes své oficiální distributory do více než 50 zemí světa.



A Phoenix Mecano Company

Samozřejmostí jsou pravidelně obnovované ISO certifikáty potvrzující kvalitu zpracování s ohledem na životní prostředí při návrhu, výrobě, skladování a přepravě součástek. Všechny produkty společnosti PTR Messtechnik jsou testovány a schváleny německou zkušebnou VDE, americkou zkušebnou cURus a také mají certifikát originality CE, který je důležitým prvkem pro používání produktů na evropském trhu.



Nejlepší volbou pro vaše projekty jsou kvalitně a precizně zpracované produkty PTR Messtechnik s příznivou a konkurenceschopnou cenou. Výrobky této společnosti mají vše potřebné pro nasazení v zaříze-

ních určených pro globální trh. Svorkovnice PTR Messtechnik naleznou uplatnění jak v zabezpečovací, automatizační a řídicí technice tak i v dalších odvětvích průmyslu.

Existují 4 základní skupiny svorkovnic PTR Messtechnik. AK a STL v metrických roztečích. AKZ a STLZ v palcových roztečích. Standardní rozteče svorkovnic jsou v rozmezí od 2,5mm do 15mm, případně jejich ekvivalenty v palcových rozměrech. Kromě svorkovnic se standardní roztečí jsou také dostupné svorkovnice stzv. dvojitou roztečí. Jediný rozdíl oproti svorkovnicím se standardní roztečí je to, že každý druhý pól je bez kovové kontaktní části. Například u svorkovnic řad AK100 nalezneme produkty se standardní i dvojitou roztečí. Plastové tělo svorkovnice zůstává nezměněno.



standardní rozteč (kód: 821-003, 821-055,...)  
vs. dvojitá rozteč (kód: 821-072, 821-361,...)

Sortiment společnosti PTR Messtechnik v nabídce GM electronic naleznete logicky rozdělený do 4 skupin: Svorkovnice do DPS, Násuvné vidlice/zásuvky do DPS, Násuvné svorkovnice na kabel a Příslušenství ke svorkovnicím.

### Svorkovnice do DPS

U svorkovnic existují dva hlavní způsoby uchycení kabelu. Šroubové uchycení dokáže vytvořit pevnější mechanický

spoj, zatímco jednodušší pružinové uchycení je více vhodné i pro častější odpojování. Velkou část šroubovacích svorkovnic je možné spojovat z dvoupólových a třípólových svorkovnic a tak vytvořit svorkovnice s více póly než jsou standardně dodávány. Typickými zástupci šroubovacích svorkovnic jsou řady AK(Z)500, AKZ120, AK550 nebo AK(Z)700. Pružinové svorkovnice mohou být pro jednodušší připojování a odpojování osazeny také ovládací páčkou nebo tlačítkem. Většina pružinových svorkovnic se skládá z jednopólových svorkovnic zakončených bočnicí. Mezi pružinové svorkovnice patří řady AK3000, AK3001 a AK(Z)3191. Oba typy spojování umožňují tvorbu svorkovnic s libovolným počtem kontaktů.

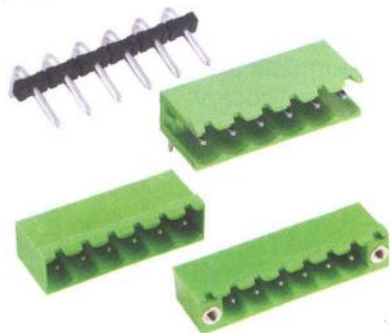


šroubová svorkovnice (kód: 821-003, 821-004,...) a pružinová svorkovnice (kód: 821-187, 821-259,...)

### Násuvné vidlice / zásuvky do DPS

Násuvné svorkovnice mohou být ve více provedeních. Nejjednodušší jsou lámavé piny skládající se z kovových kontaktů spojených izolačním plastovým dílem, který zároveň vymezuje požadovanou rozteč

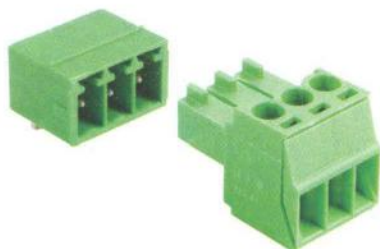
kontaktů vidlice. Vidlice s plastovým krytem jsou dostupné bez bočnic, s bočnicemi a také s přírubou. Svorkovnice s přírubou je vhodné použít v zařízeních s častými vibracemi. Pomocí šroubového spoje se vytvoří pevnější lehce rozebíratelný spoj. Řady STL(Z)130, STL(Z)950 a STL(Z)1550 jsou nejčtenějšími zástupci této skupiny.



násuvná vidlice (kód: 841-006, 821-545, 821-081, 821-685)

### Násuvné svorkovnice na kabel

Násuvné svorkovnice jsou kombinací šroubové nebo pružinové svorkovnice a násuvné zásuvky. Vodič se připojí a upevní pomocí šroubového nebo pružinového spoje. Násuvná svorkovnice tvoří kombinaci násuvné zásuvky a svorkovnice jednoduše a rychle rozebíratelný pevný spoj. Protikusem k násuvné svorkovnici je násuvná vidlice. Řady AK(Z)130, AK(Z)950 a AK(Z)1550 jsou standardní zástupci násuvných svorkovnic.



násuvná vidlice a násuvná svorkovnice

### Příslušenství ke svorkovnicím

Společnost PTR Messtechnik nabízí ke svému sortimentu svorkovnic značné množství

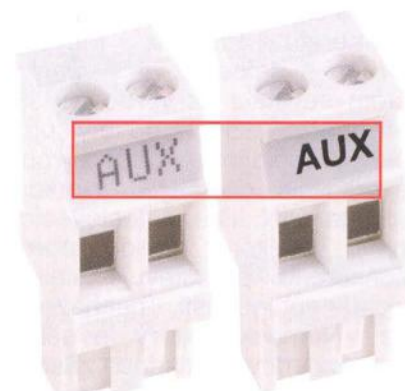
nejrůznějšího příslušenství. Pro jednoduché vodivé propojení sousedních pinů slouží zkratovací propojky, které mohou být izolované (řada BRI) nebo neizolované (řada BR). Kromě jednoduchých zkratovacích propojek jsou dostupné také dvojité, pomocí kterých vodič spojíte až tři sousední kontakty. Pro zamezení zapojení nesprávného konektoru slouží kódovací piny prodávané po více kusech v tzv. kódovacích hvězdách (řady CS1 až CS4). Pro dosažení větších roztečí mezi kontakty svorkovnic je možné u některých typů svorkovnic použití jednoduchých oddělovacích modulů (řada SPC). Všechny další typy příslušenství také naleznete v sortimentu GM electronic.



izolovaná zkratovací propojka, kódovací piny a oddělovací modul

Na výrobu plastového těla svorkovnic je použit v převážné míře polyamid. Kovové kontakty jsou měděné s povrchovou úpravou pocínováním. Pro ještě lepší elektrické vlastnosti je možné kontakty pozlatit.

Kromě defaultní barvy je možná výroba také v dalších jak standardních, tak i v nestandardních barvách. Velká část sortimentu svorkovnic je uzpůsobená pro potisk libovolnými texty, symboly, nebo méně složitými obrázky. Potisk je možný buď ekonomický jehličkový, nebo kvalitnější tamponový. Rozdíl mezi jednotlivými typy potisku je možné vidět na následujícím obrázku.



jehličkový potisk vs. tamponový potisk

Existuje několik typů balení svorkovnic. Standardně se dodávají po 50 až 250 kusech sypané v krabičkách. Pro automatizované osazování je možné dodat svorkovnice v plotech, tubách anebo v kotoučích.

Samozřejmostí je provádění celého sortimentu produktů společnosti PTR Messtechnik v internetovém obchodě GM electronic. To znamená, že u každé svorkovnice naleznete vyhovující protikusy a vhodné příslušenství.

V sortimentu GM electronic, oficiálního distributora PTR Messtechnik pro Českou republiku a Slovensko, naleznete několik variant z každého typu svorkovnice a příslušenství, což je dohromady téměř 900 produktů tohoto výrobce: <http://www.gme.cz/znacka/ptr/>.

# Elektrónkový gitarový efekt

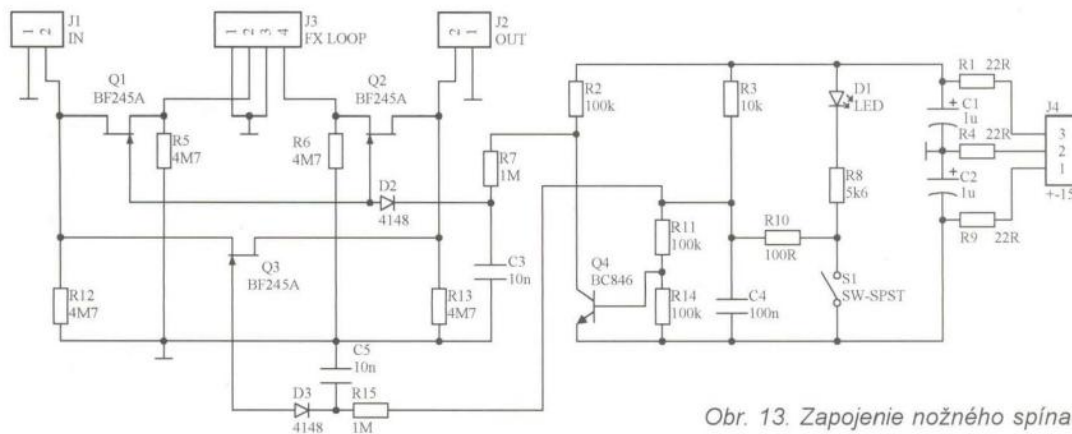
Ján Trník

(Dokončenie)

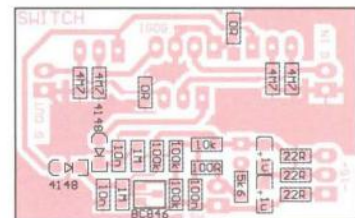
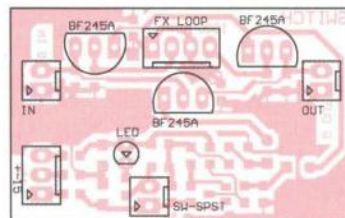
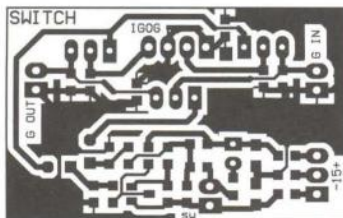
## Foot Switch – nožný spínač

Nožný spínač je modul, ktorý zapojí medzi vstupný a výstupný konektor lampový efekt, alebo ho premostí a gitarový signál prejde „krabičkou“ bez zmeny. Ako spínače sú použité J-FET

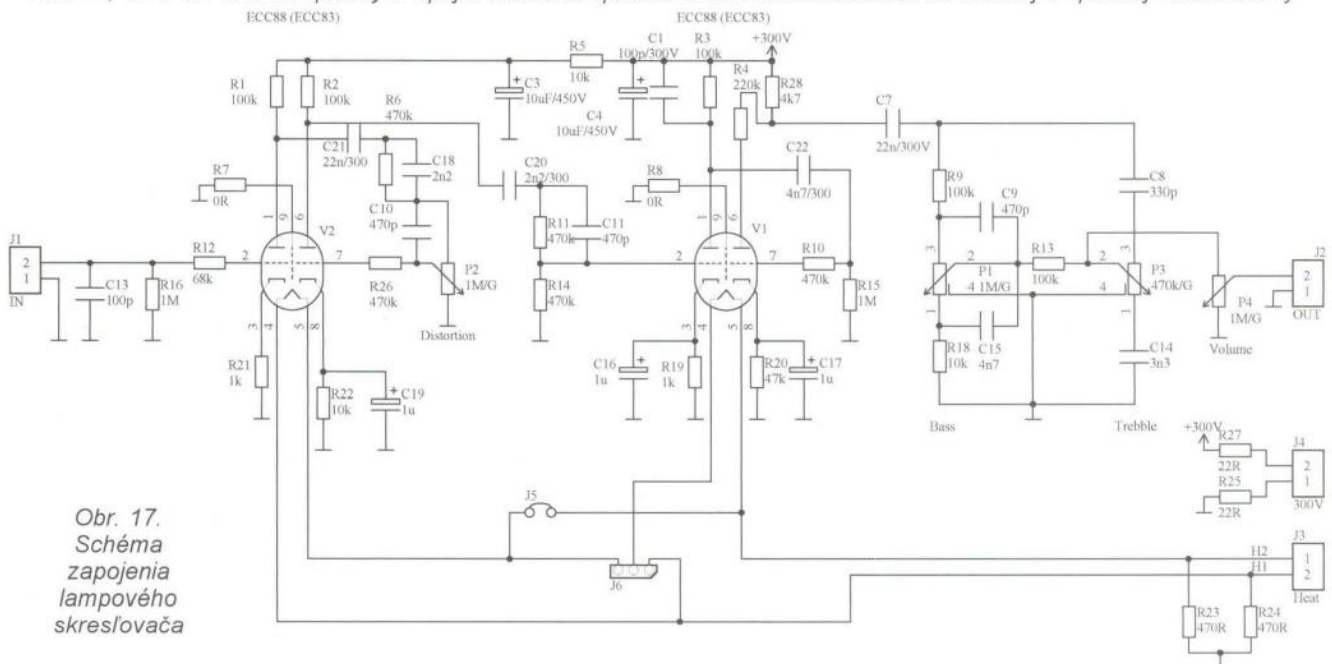
tranzistory BF245. Tie sú spínané napätím, ktoré sa na hradlo privádza cez RC člen. Ten spomalí náběh napätia na hradle pri prepínaní, aby sa signál prepínal plynule a nie skokovo. Stav spínača indikuje LED D1. Schéma nožného spínača je na obr. 13.



Obr. 13. Zapojenie nožného spínača



Obr. 14, 15 a 16. Doska s plošnými spojmi nožného spínača a rozloženie súčiastok na vrchnej a spodnej strane dosky



Obr. 17. Schéma zapojenia lampového skresľovača

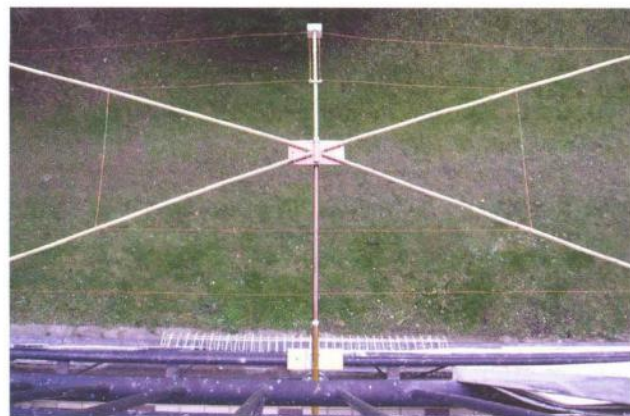




# Dvoupásmová anténa Moxon prakticky

Jindra Macoun, OK1VR

Popisuje se pokusná sestava antén Moxon na pásma 28 a 50 MHz (obr. 1), kde bude možné změřit, zda se vypočtené elektrické parametry shodují se skutečnými, a ověřit, jak se tato konstrukční sestava projeví v praktickém provozu.



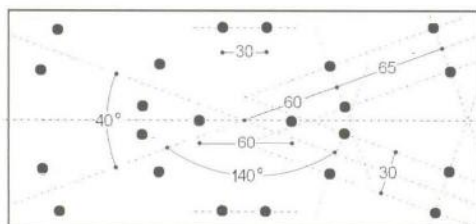
Obr. 1. Anténa Moxon v reálu na balkóně (pohled shora)

- Anténou Moxon jsme se v PE-AR zabývali již čtyřikrát. Poprvé v PE-AR 3/2011, kdy jsme anténu představili jako rozměrově malou a konstrukčně jednoduchou 2prvkovou směrovou anténu (tzv. minibeam), vhodnou spíše na vyšší KV pásma. Rozměry antény se snadno určí výpočetním programem MoxGen [1].

Relativně malé rozměry antény usnadňují její využití při DX provozu, když ji lze snadněji umístit do optimální výšky pro požadovaný dosah radiokomunikace.

- Proto jsme v druhé části, v PE-AR 10/2011 připomněli obecné poznatky o vlivu výšky antén nad zemí na jejich směrové vlastnosti, především na optimální elevační úhel.

- Ve třetí části, v PE-AR 11/2011 jsme tyto obecné poznatky mj. uplatnili při výpočtu směrových vlastností horizontálně polarizované antény Moxon v pásmu 28 MHz, umístěné v různých výškách nad dokonalou a reálnou zemí. Zjištěné údaje jsme znázornili tabulkovou i grafickou formou, takže jsou využitelné i pro jiné typy horizontálně polarizovaných antén.



Obr. 3. Středová deska 300 x 135 x 8 mm (otvory  $\varnothing$  6,2 mm pro deset U-svorníků s roztečí 30 mm a pro stožárovou přičytku s roztečí 60 mm) je nakreslena v poměrném měřítku. Rozvrtání desky je symetrické podle vodorovné a svislé osy středové desky. Osy nosných ráhén upevněných U-svorníky svírají úhly 2x 40° a 2x 140°

- Ve čtvrté části, v PE-AR 1/2012 jsme se pokusili navrhnout dvojici antén Moxon pro pásma 28 a 50 MHz na společné nosné konstrukci, napájenou společným napájecím.

- Tato část by měla být inspirací k praktické realizaci antény pro ověření některých parametrů a praktických provozních poznatků.

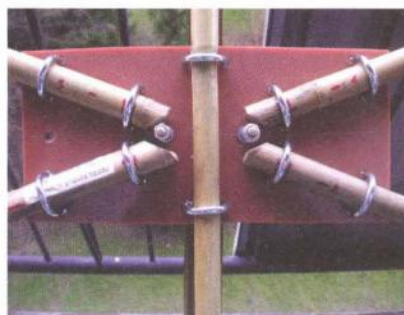
Rozměry popisované nosné konstrukce vycházejí z rozměrové tab. 1.

## Anténní sestava

Základním stavebním prvkem sestavy je středová deska (kovová nebo izolační, viz obr. 3 a 4), ke které jsou pomocí U-svorníků upevněna čtyři paprskovitě orientovaná izolační ráhna a pomocné izolační ráhno s ochranným krytem anténních svorek. Na spodní straně desky je upevněna stožárová přičytkta.

Pro snadnou dostupnost se při pokusné konstrukci použila poměrně levná bambusová ráhna ( $\varnothing$  18 až 22 mm). Namísto původně plánovaného Cu vodiče  $\varnothing$  2 mm byl použit lakovaný Cu vodič  $\varnothing$  1 mm.

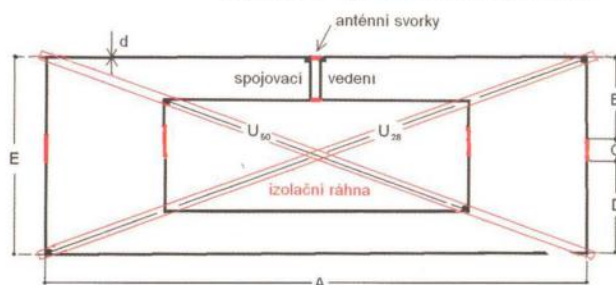
Do ráhén, upevněných ke středové desce, jsou v místech zalomení drátov-



Obr. 4. Střed sestavené antény

Rozměr	28,2 MHz		50,1 MHz	
A	3866	3866	2170	2170
B	578	578	318	170
C	110	110	70	224
D	724	724	408	402
E	1412	1412	796	796
$U_{28}$	4114	4114		
$U_{50}$			2312	2312
$\varnothing d$	2		2	

Tab. 1. Původní rozměry single antén (vlevo) a jejich opravené hodnoty na společné konstrukci (vpravo) jsou zaokrouhleny na 2 mm. U antény pro 28,2 MHz se původní rozměry nemění



Obr. 2. Schéma dvoupásmové antény Moxon s rozměry podle tab. 1. Červeně jsou znázorněny tyto izolační části: spojovací/napájecí prvky mezi zalomenými konci zářičů a reflektorů; distanční rozpěrky symetrického spojovacího vedení; izolační nosná ráhna. Z rozměrů A, E,  $U_{28}$  a  $U_{50}$  lze navrhnout nosnou konstrukci antény

vých anténních prvků, tzn. na koncích úhlopříčných roztečí  $U_{28}$  a  $U_{50}$  provlečeny šrouby, zajištěné matkami M4.

Na přesahující části šroubů se při konečném sestavování antény navlečou a zajistí další matkou M4 kabelová oka, připájená na konce přímých a zalomených úseků anténních prvků (obr. 5).

Každý anténní prvek je tedy sestaven ze tří nebo čtyř (napájený prvek) samostatných drátových vodičů, jejichž délky (včetně připájených kabelových ok) se shodují s rozměry A, B a D na každém z obou pásem. Zářič 28MHz pásma je přerušen ochranným plastovým krytem anténních svorek z TV antén. Rozteč anténních svorek, resp. rozteč spojovacího vedení je 50 až 60 mm. Jeho délka je dána rozměry  $E_{28}$ ,  $E_{50}$  a činí 308 mm.

Volné konce (k sobě) zalomených úseků B a D jsou ukončeny drátovými oky, kterými se nakonec provleče izolační napájecí lanko úseku C.

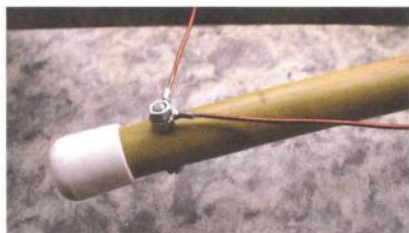
## Postup práce

Nejprve se na spodní stranu rozvrtané středové desky (obr. 3) připevní stožárová přičytkta a na horní stranu izolační ráhna, do kterých se podle roztečí  $U_{28}$  a  $U_{50}$ , tzn. v místech zalomení anténních prvků, vyvrtají otvory pro upevňovací šrouby se zajišťovacími matkami M4, a to kolmo k rovině antény. Při instalaci drátových anténních prvků se nejprve mezi ráhna svírající úhel 140° upevní kabelovými oky oba shodné úseky přímé části zářiče a reflektoru (rozměr A). Jejich koncová kabelová (pájecí) oka se navléknou na vyčnívající šrouby M4 zároveň s kabelovými oky na koncích zalomených úseků

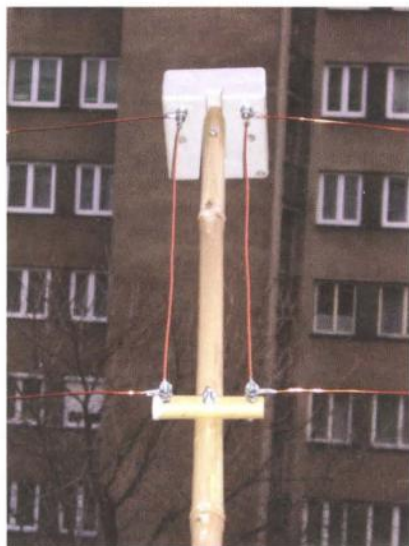
a dobře zajistí maticemi M4. Vytvarováním drátovými oky na volných koncích zalomených úseků se provléknou stahovací izolační pásky (provázky), kterými se celá anténa „vypne“ do konečného tvaru.

Zvolené uspořádání zabezpečuje geometrii celé sestavy podle vypočtených (a co nejpřesněji realizovaných) rozměrů A, B, D, E a zároveň usnadňuje eventuální korekce délek zalomených prvků, které ovlivňují směrové i impedanční vlastnosti antény.

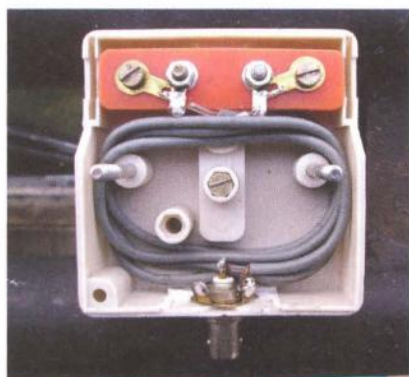
Užitečnou pomůckou pro nastavení přesné délky jednotlivých úseků je dřevěná lať, do které jsou ve vzdálenostech, shodných s délkami jednotlivých úseků, zavrtány šrouby M4. Postupně se na ně navléknou kabelová oka s provlečenými a poněkud prodlouženými vodiči, které se v napnutém stavu k okům připájejí, a pak se přečnívající konce odštipnou.



Obr. 5. Detail spojení drátových úseků v místech zalomení



Obr. 6. Symetrické spojovací vedení upevněné na podpurném ráhnu s ochranným krytem anténních svorek



Obr. 7. Proudový balun z koaxiálního kabelu v ochranném krytu anténních svorek

Pro trvalou instalaci antény ve venkovním prostředí bude možná výhodnější použít nedělených drátových prvků, které se v místech zalomení jen obtočí kolem šroubů, popř. provlečou očky, zavrtanými do izolačních ráhnen, pokrytých vhodným ochranným nátěrem.

Nicméně výše popsaná „stavebnicová sestava“ je ověřenou alternativou, kterou lze na těchto pásmech realizovat v amatérských podmínkách „na koleně.“ Usnadňuje také sestavení i rozebrání antény při portablovém vysílání. Další konstrukční varianty se najdou na deskách webových stránek antény Moxon z celého světa.

## Ověření elektrických parametrů

Program MoxGen [1] vygeneruje jen základní rozměry (A, B, C, D a E), nezbytné ke zhotovení antény ze zvolených vodičů (Ø drátů, tyčí, trubek) na daném kmitočtu (pásmu), tam pak má anténa optimální směrové a impedanční vlastnosti. U antény Moxgen je to minimální ČSV a vysoký činitel zpětného záření.

Teprve následná simulace antény některým z dostupných modelačních anténních programů (MMANA, 4NEC2, EZNEC) vygeneruje na daných kmitočtech její elektrické parametry v číselné a/nebo grafické podobě.

Zkušenosti ukazují, že se takto vypočtené elektrické parametry velmi dobře shodují s parametry skutečné antény, podaří-li se ji realizovat shodně s anténou simulovanou. Neshodné výsledky jsou obvykle způsobeny nevhodným měřicím postupem, nepřesností měřicích přístrojů v daném kmitočtovém rozsahu nebo jejich špatným uspořádáním.

Některé parametry však nelze na skutečné anténě prakticky vůbec změřit. Platí to zejména pro směrové vlastnosti antén na nižších KV pásmech instalovaných nad zemí.

Přesnějších výsledků se dosahuje při měření směrových vlastností otočných směrovek na pásmech KV, jsou-li při měření splněny podmínky srovnatelné s podmínkami v bezodrazovém prostředí profesionálního anténního pracoviště [2], tj. ve volném rovinném terénu bez budov a porostů.

Příznivější jsou podmínky u měření vlastností napájecích, tzn. přízpůsobení antény. Nároky na měřicí prostor tam nejsou nesplnitelné, a to ani v amatérských podmínkách.

Využilo se jich při kontrole přízpůsobení popisované antény Moxon.

Jak ukazují snímky (obr. 1), byla anténa upevněna jen 40 cm před kovovým zábradlím panelákové lodžie. Průběh i naměřené hodnoty ČSV se prakticky shodují s vypočtenými (viz PE-AR 3/2011, s. 31, obr. 3) i při relativně malé vzdálenosti kovové tyče zábradlí od shodně orientovaných anténních prvků. Prakticky se tím potvrzuje působení účinného anténního reflektoru antény Moxon, který vliv shodně polarizovaného, tzn. rovnoběžného zábradlí eliminuje. Potvrdilo se to při svislé orientaci antény. Přízpůsobení se nezměnilo, i když se tím vliv rovnoběžného zábradlí odstranil.

Anténu Moxon, upevněnou výše zmíněným způsobem na zábradlí panelákové lodžie, lze využít i při praktickém provozu,



Obr. 8. Pohled na sestavenou anténu Moxon, upevněnou na zábradlí panelákové lodžie, před vysunutím do definitivní polohy

nejsou-li obvyklému umístění na otočném střešním stožáru nakloněno „místní okolností“. Půjde sice jen o jednosměrné vysílání, ale vzhledem k relativně značným výškám paneláků a tím i nízkým elevačním úhlům záření nicméně výhodně pro DX provoz, bude-li anténa směřovat do volného nebo v nejbližším okolí nezastavěného prostoru. Zároveň je možné experimentovat s polarizací antény, upevněné na vodorovném a snadno otočném stožáru na zábradlí balkónu/lodžie.

Při měření ČSV se použilo anténního analyzátoru MFJ-249B na konci 5 m dlouhého koaxiálního kabelu RG 58, spojeného s konektorem na ochranném krytu.

Pro potlačení povrchových proudů na koaxiálním napájecí je uvnitř krytu, mezi anténními svorkami a výstupním konektorem zapojen proudový balun z 85 cm dlouhého miniaturního (Ø 3 mm) koaxiálního kabelu 50 Ω, stočeného do 4,5závitové cívky (obr. 7) s indukční reaktancí +j450 Ω na pásmu 28 MHz a > +j650 Ω na pásmu 50 MHz a vlastní rezonanci na 53 MHz.

Impedance, naměřené na konci koaxiálního kabelu, se po přepočtu přes **elektrické délky** napájecího kabelu (752 cm) plus balunu (128 cm) prakticky shodují s vypočtenými na svorkách antény.

## Seznam součástek

- Středová deska ~135 x 300 x 10 mm z izolačního materiálu (novodur, texgumoid), popř. dural 4 až 5 mm;
- bambusové tyče Ø 16 – 22 mm (koupeno v OBI jako bambusová podpěra Ø 20 – 22 mm x 300 cm, á 35 Kč) – 4 ks;
- U-svorníky M6 s matkami – 10 ks;
- šrouby M4 x 25 mm, matky, podložky;
- kabelová (pájecí) očka Ø 4 mm;
- Cu vodič holý nebo lakovaný, Ø 1 – 2 mm, celkem 10 m;
- izolační stahovací pásky mezi konce zalomených prvků;
- ochranný kryt (TV) anténních svorek;
- stožárová (TV) přichytka;
- plastové zátky na konce ráhnen.

## Literatura

- [1] <http://www.qsl.net/ac6la/moxgen.html>  
 [2] Procházka, M.: Antény, encyklopedická příručka. 3. rozšířené vydání. BEN-technická literatura, Praha 2005, s. 218 až 227 – Měření elektrických parametrů antén (tuto kapitolu obsahuje i 1. vydání).

# Světla a zvuk

Rubrika pro zájemce o zvukovou a světelnou techniku

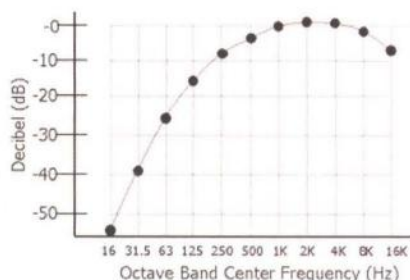
## Zajímavá zapojení z nízkofrekvenční techniky

Alan Kraus

Při vývoji a opravách nízkofrekvenčních zařízení je nutné alespoň minimální přístrojové vybavení. Mimo tónový generátor a osciloskop (bez těchto přístrojů si lze jen těžko představit nějaké serióznější měření) existuje řada dalších, specializovaných měřicích přístrojů. Asi nejdokonalejší pro práci na nf zařízeních je nízkofrekvenční analyzátor. Bohužel ceny asi nejdokonalejších zařízení z oboru od americké Audio Precision začínají od 130 000 Kč. Ekonomickou alternativou jsou čistě softwarová řešení s pomocí kvalitních zvukových karet nebo kombinace externí zvukové karty a SW vybavení. Mimo tyto přístroje lze však použít i jednoduchá zapojení, určená pro některá speciální měření. K nim patří například zdroj růžového šumu, měřicí A filtr nebo měřič fáze nf signálu. Uvedené měřicí doplňky budou popsány v následujícím článku.

### Váhový filtr A

K jednomu ze základních měření na nf zařízeních patří měření harmonického zkreslení a odstupu rušivých napětí. Změřený nebo udávaný výsledek je však do značné míry ovlivněn způsobem měření. Z pohledu subjektivního vnímání obou parametrů nás bude nejvíce zajímat rozsah kmitočtů, odpovídající rozsahu lidského ucha, tedy přibližně 20 Hz až 20 kHz. Kmitočty mimo tento rozsah již zásadně naše vnímání neovlivní. Druhým faktorem je citlivost ucha. Lidský sluch má všeobecně nestejnou citlivost při různých kmitočtech. Při vnímání zvuku tedy dochází ke zkreslení. Z tohoto důvodu se zavádí váhové filtry A, B a C, které jsou inverzní ke křivkám stejné hlasitosti při hladinách 40 dB, 80 dB a 120 dB. V mezinárodním mě-

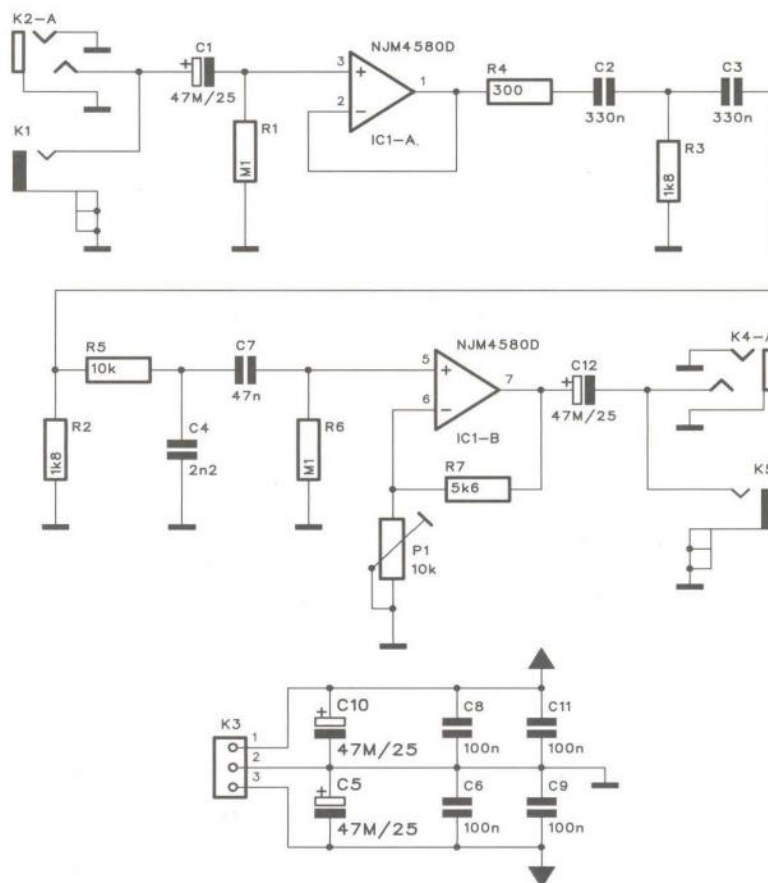


Obr. 1. Kmitočtový průběh filtru A

řítku se nejčastěji používá váhový filtr typu A. Kmitočtový průběh váhového filtru A je na obr. 1. Protože váhový filtr A zdůrazňuje kmitočty okolo 1 až 2 kHz a okraje pásma potlačuje, bývají naměřené výsledky při použití filtru lepší než při rovném kmitočtovém průběhu. Na druhé straně ale lépe odpovídají lidskému vnímání.

Schéma zapojení váhového filtru je na obr. 2. Obvod je na vstupu i výstupu osazen dvojicí konektorů - jak typu cinch, tak i klasickým jackem. Operační zesilovač IC1A je zapojen jako sledovač a impedanční transformátor. Na jeho výstupu je připojen korekční RC člen, zajišťující požadovanou kmitočtovou charakteristiku. Druhý operační zesilovač IC1B má zesílení nastavitelné trimrem P1.

Použitý obvod NJM4580 vykazuje velmi nízké zkreslení a šum, při vyšších nárocích ho lze nahradit kvalitnějším, například LME49720. Obvod je napájen z externího zdroje  $\pm 15$  V, připojeného konektorem K3.



Obr. 2. Schéma zapojení váhového filtru A

Váhový filtr je zhotoven na jednostranné desce s plošnými spoji o rozměrech 92 x 56 mm. Obrázek desky spojů ze strany spojů (BOTTOM) je na obr. 3, rozložení součástek na desce s plošnými spoji je na obr. 4.

Oživení obvodu spočívá v podstatě pouze na připojení napájecího napětí a nastavení základního útlumu (zisku) obvodu trimrem P1. Při měření zapojíme filtr do série s měřeným zařízením.

### Seznam součástek filtru A

#### Rezistory

R1, R6	100 kΩ
R2, R3	1,8 kΩ
R4	300 Ω
R5	10 kΩ
R7	5,6 kΩ
P1	PT 10 kΩ

#### Kondenzátory

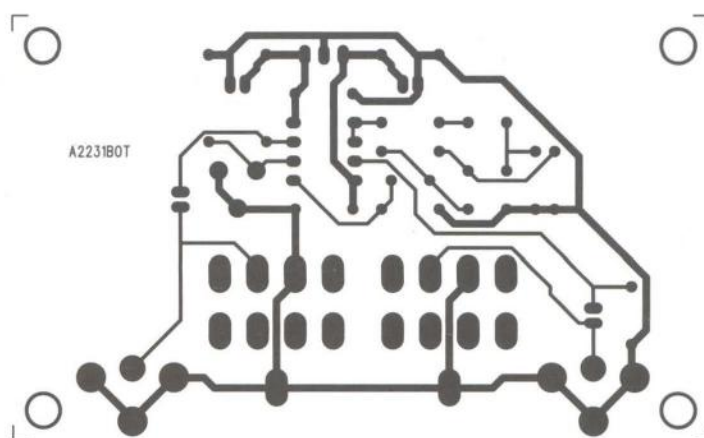
C1, C5, C10, C12	47 μF/25 V
C2, C3	330 nF
C4	2,2 nF
C6, C8, C9, C11	100 nF
C7	47 nF

#### Polovodičové součástky

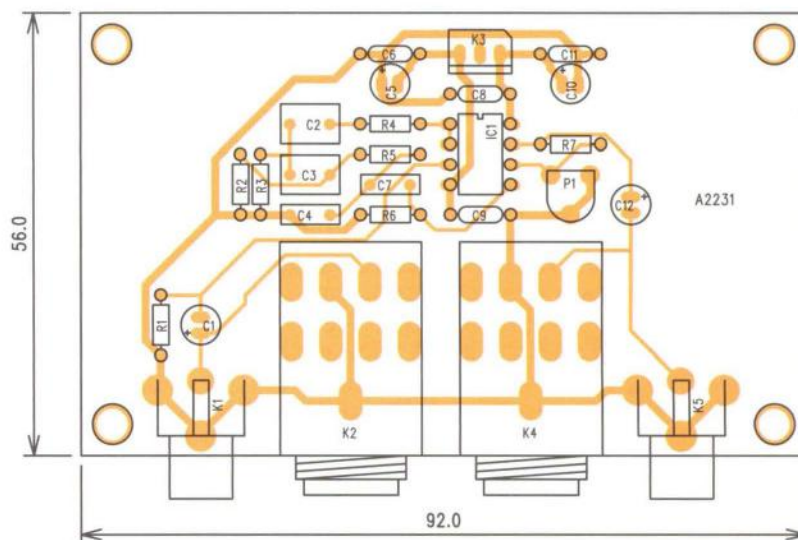
IC1	NJM4580D
-----	----------

#### Ostatní

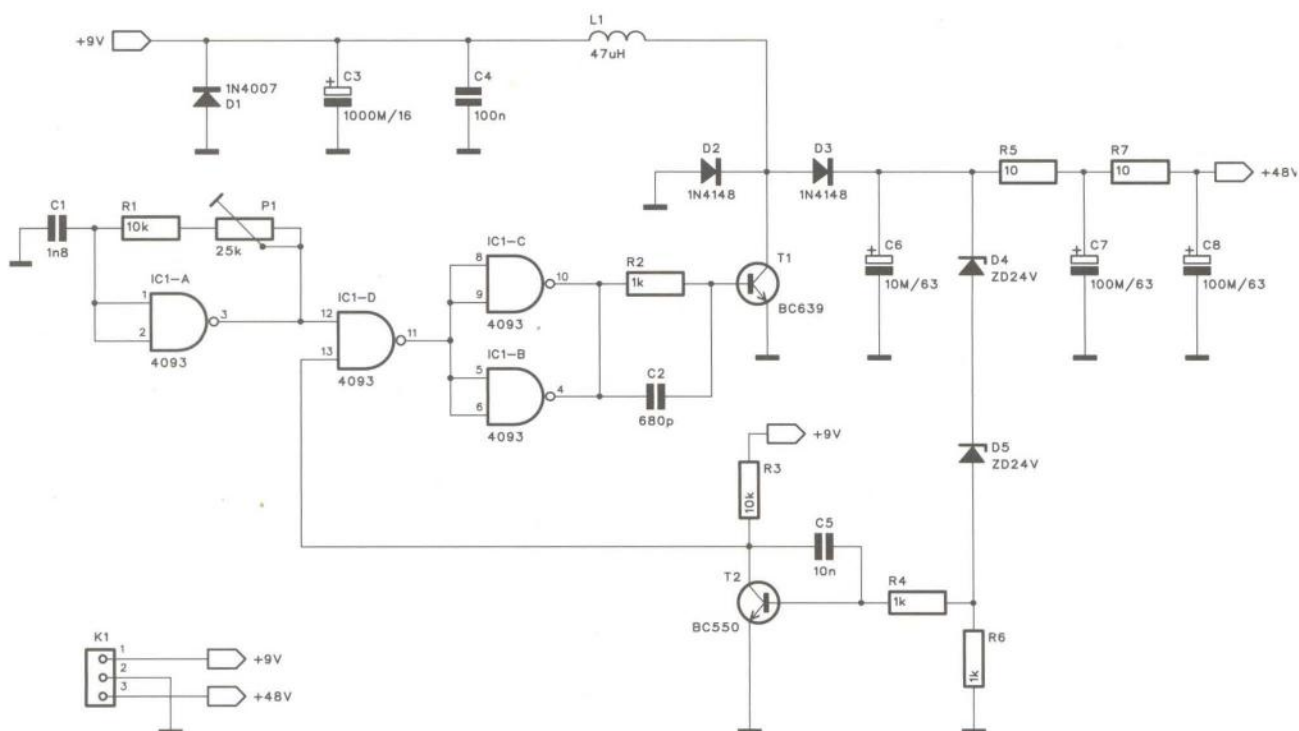
K1, K5	CP560
K2, K4	JACK63PREP
K3	PSH03



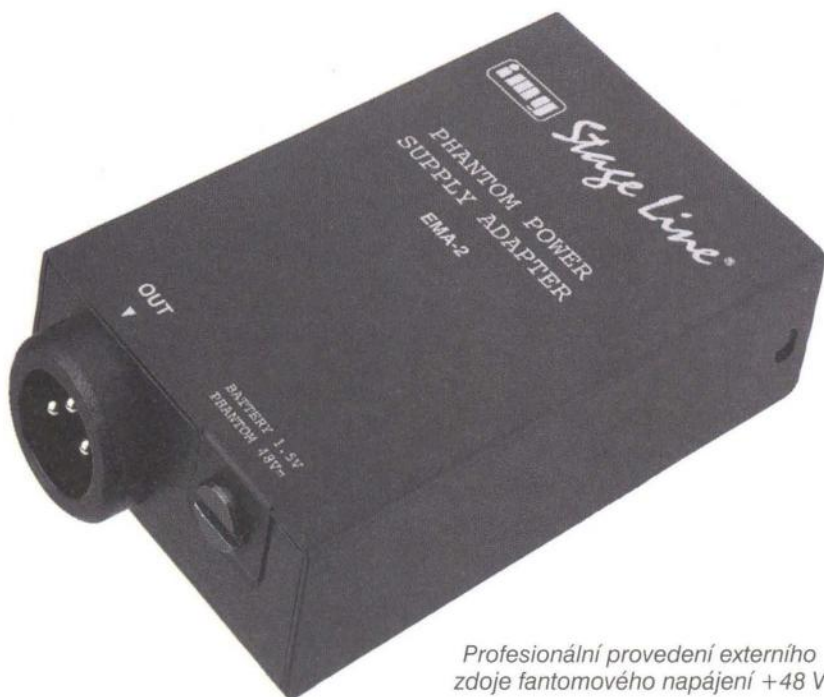
Obr. 3. Deska spojů váhového filtru



Obr. 4. Rozložení součástek na desce váhového filtru



Obr. 5. Schéma zapojení napájecího zdroje +48 V



### Externí zdroj 48 V

Kondenzátorové mikrofony vyžadují externí napájení. U profesionálních zařízení (mixážních pultů, mikrofonních předzesilovačů apod.) obvykle bývá možnost toto napájení na vstup připojit. Ovšem levná nebo neprofesionální zařízení to neumožňují, a pak nastává problém, jak kondenzátor připojit. Navíc se používá napájecí napětí +48 V, které obvykle není běžně dostupné. Pokud tedy nechceme budovat celý napájecí zdroj včetně síťového transformátoru, můžeme použít následující zapojení.

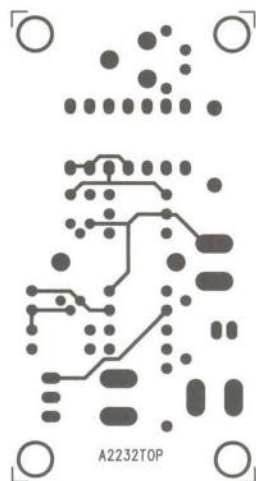
Schéma zdroje napětí +48 V je na obr. 5. Základ tvoří spínaný měnič napětí s tranzistorem T1 a cívkou L1. Tranzistor T1 je buzen generátorem, tvořeným hradlem IC1A. Druhé hradlo IC1D klíčuje generátor a slouží tak k regulaci výstupního napětí. Pokud usměrněné napětí na kondenzátoru

*Profesionální provedení externího zdroje fantomového napájení +48 V*

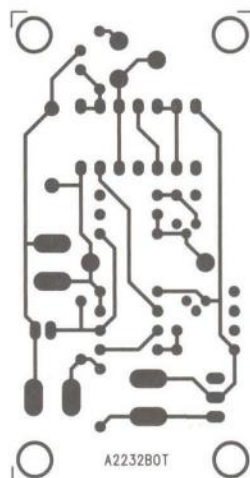
C6 překročí 48 V, tranzistor T2 se otevře a zablokuje hradlo IC1D. Výstupní napětí je filtrováno dvojicí RC členů R5, C7 a R7, C8. Obvod je napájen napětím 9 V.

Zdroj je navržen na dvoustranné desce s plošnými spoji o rozměrech 62 x 32 mm. Deska s plošnými spoji ze strany součástek (TOP) je na obr. 6, ze strany spojů (BOTTOM) je na obr. 7 a rozložení součástek na desce s plošnými spoji je na obr. 8. Zapojení má pouze jediný ovládací prvek, a to trimr P1. Tím nastavujeme kmitočet měniče. Hlavní význam má pro případ, kdy by případné interference kmitočtu měniče pronikaly rušivě do signálu.

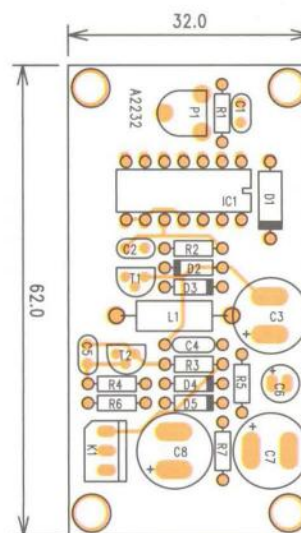
Zdroj můžeme použít jak do stávajícího zařízení, které vlastním napájením nedisponuje, tak i vestavět do samostatné skříňky, osazené dvojicí konektorů XLR a zapojit mezi mikrofon a vstup zařízení. Ukázka továrního provedení je na fotografii.



Obr. 6. Deska spojů napájecího zdroje ze strany součástek (TOP)



Obr. 7. Deska spojů napájecího zdroje ze strany spojů (BOTTOM)



Obr. 8. Rozložení součástek na desce s plošnými spoji

### Seznam součástek zdroje 48 V

#### Rezistory

R1, R3	10 kΩ
R2, R4, R6	1 kΩ
R5, R7	10 Ω
P1	PT 25 kΩ

#### Kondenzátory

C1	1,8 nF
C2	680 pF
C3	1000 μF/16 V
C4	100 nF
C5	10 nF
C6	10 μF/63 V
C7, C8	100 μF/63 V

#### Polovodičové součástky

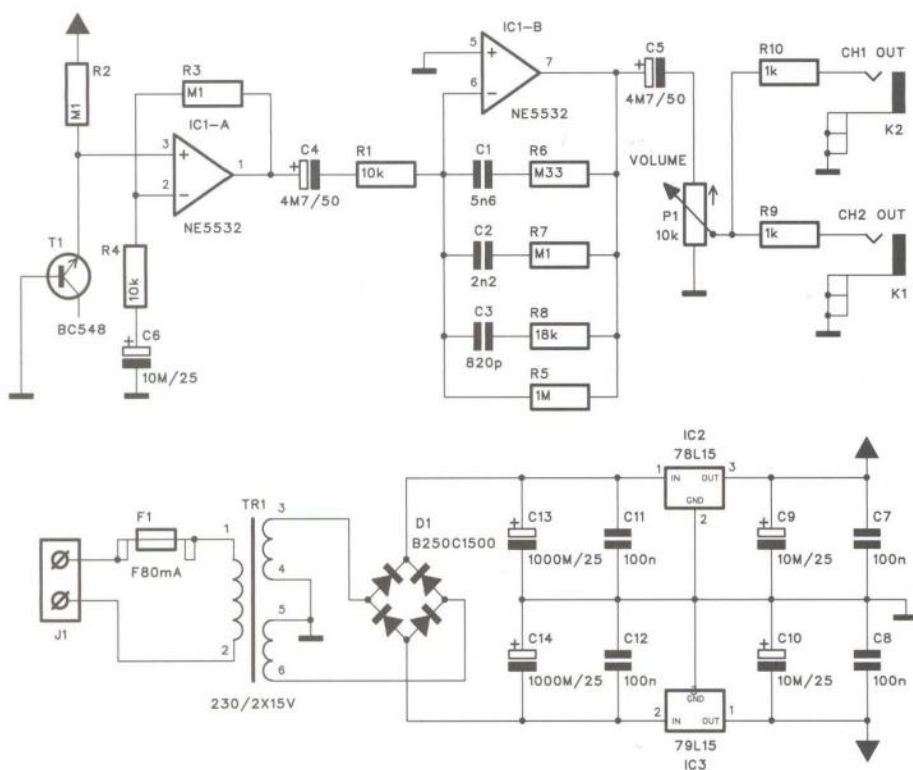
D1	1N4007
D2, D3	1N4148
D4, D5	ZD 24 V
IC1	4093
T1	BC639
T2	BC550

#### Ostatní

K1	PSH03
L1	47 μH

### Generátor růžového šumu

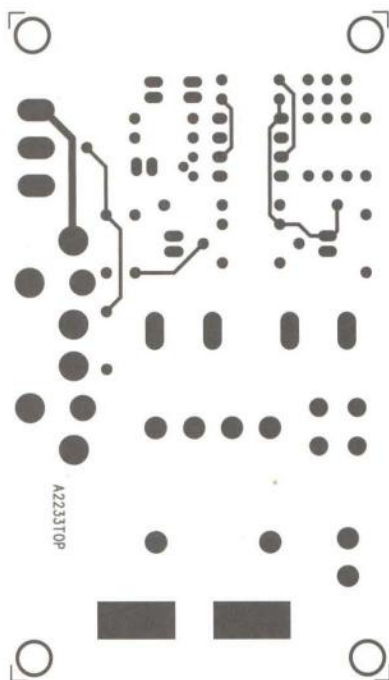
Nf zařízení se nejčastěji proměřují pomocí sinusového signálu. Alternativou může být též obdélníkový nebo trojúhelníkový signál. Speciálním případem je pak bílý nebo růžový šum. Bílý šum má stejnou energii pro stejný kmitočtový rozsah - tedy například pro 20 Hz od 80 do 100 Hz stejně jako pro rozsah od 1000 do 1020 Hz. Proti tomu růžový šum má shodnou energii ve všech oktávách, tedy energie mezi 100 až 200 Hz je stejná jako mezi 1000 až 2000 Hz. Růžový šum



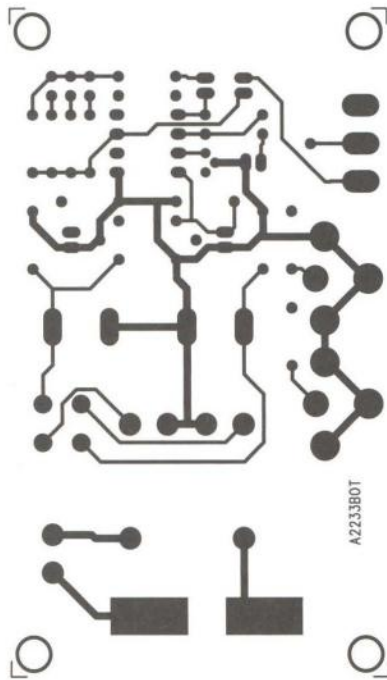
Obr. 9. Schéma zapojení generátoru růžového šumu s vlastním síťovým napájecím zdrojem

můžeme odvodit z bílého šumu RC filtrem, který sníží jeho úroveň o 3 dB na každou oktávu. Generovat bílý šum můžeme například digitálně speciálním zapojením posuvných registrů, nebo jednodušším způsobem pomocí šumu polovodičového přechodu. Ten generuje například Zenerova dioda nebo přechod BE tranzistoru v závěrném směru.

Schéma takového generátoru je na obr. 9. Šum je generován tranzistorem T1 a zesílen operačním zesilovačem IC1A. Přes kondenzátor C4 pokračuje na operační zesilovač IC1B, který má ve zpětné vazbě RC kombinaci, upravující kmitočtový průběh s požadovaným útlumem -3 dB/oktávu. Potenciometrem P1 nastavujeme požadovanou výstupní úroveň



Obr. 10. Deska plošných spojů generátoru šumu ze strany součástek



Obr. 11. Deska plošných spojů generátoru šumu ze strany spojů

signálu. Výstup je osazen dvojicí konektorů cinch. Generátor je napájen z vlastního síťového zdroje, osazeného transformátorem TR1. Napájecí napětí je po usměrnění a filtraci stabilizováno dvojicí regulátorů 78L15 a 79L15.

Generátor je zhotoven na dvoustranné desce s plošnými spoji o rozměrech 88 x 50 mm. Deska plošných spojů ze strany součástek (TOP) je na obr. 10, ze strany spojů (BOTTOM) je na obr. 11 a rozložení součástek na desce s plošnými spoji je na obr. 12. S výjimkou potenciometru P1 nemá obvod žádné nastavovací prvky, takže by měl při pečlivé práci fungovat na první pokus.

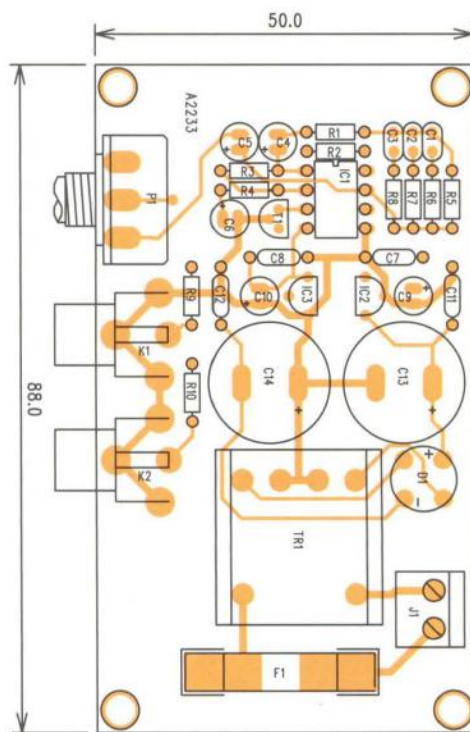
### Seznam součástek šumového generátoru

#### Rezistory

R1, R4	10 kΩ
R2, R3, R7	100 kΩ
R5	1 MΩ
R6	330 kΩ
R8	18 kΩ
R9, R10	1 kΩ
P1	P16M 10 kΩ

#### Kondenzátory

C1	5,6 nF
C2	2,2 nF
C3	820 pF
C4, C5	4,7 μF/50 V
C6, C9, C10	10 μF/25 V
C7, C8, C11, C12	100 nF
C13, C14	1000 μF/25 V



Obr. 12. Rozložení součástek na desce s plošnými spoji

## Polovodičové součástky

D1	B250C1500
IC1	NE5532
IC2	78L15
IC3	79L15
T1	BC548
TR1	230 V/2x 15 V

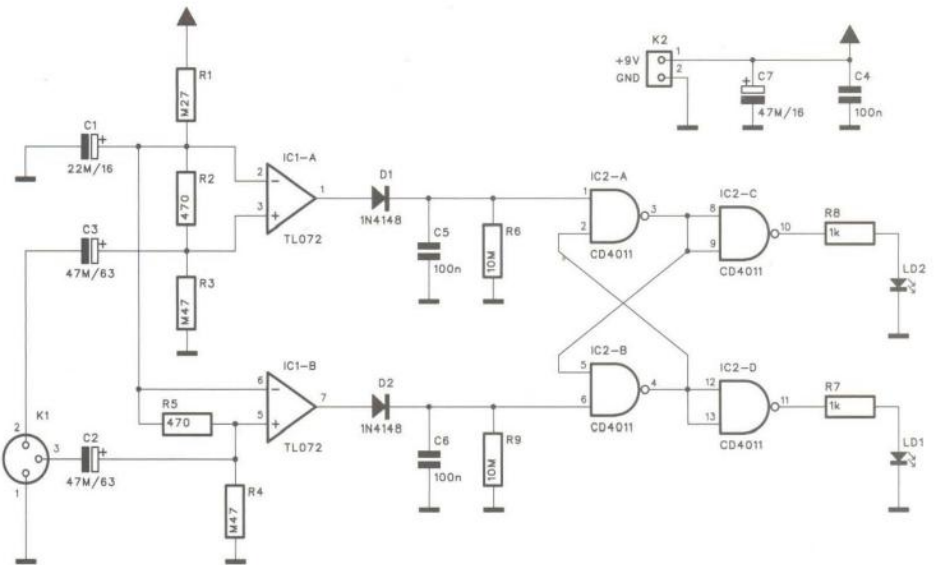
## Ostatní

F1	F 80 mA
J1	ARK2
K1, K2	CP560

## Indikátor fáze nf signálu

Při propojování větších sestav zvukové aparatury, ale také například při zapojování mikrofonů na vstupy míxážního pultu je důležitým faktorem správné sfázování jednotlivých komponentů. Pokud máme u sebe propojeny dvě reproduktorové soustavy, které pracují v protifázi, výsledný akustický tlak se do značné míry eliminuje. Jednoduché zapojení, popsané v následující konstrukci, umožňuje indikovat správné sfázování jednotlivých komponent.

Schéma zapojení je na obr. 13. Vstupní signál je přiveden na konektor K1 a přes vazební kondenzátory na dvojici operačních zesilovačů IC1. Díky rezistoru, zapojenému mezi vstupy, jsou v klidovém stavu oba výstupy na nízké úrovni. Přes diody D1 a D2 pak pokračují na dvojici hradel IC2A a IC2B. Výstupy druhé dvojice hradel jsou také na nízké úrovni a ani jedna z LED nesvítí. Pokud přijde na vstup signál s určitou fází, vstup s kladnou úrovní překlopí výstup jednoho z operačních zesilovačů a ten přes diodu také změni stav klopného obvodu IC2. Podle fáze signálu se rozsvítí buď jedna, nebo druhá LED. Pro měření potřebujeme zdroj obdélníkového sig-



Obr. 13. Schéma zapojení indikátoru fáze

nálu. Stačí například baterie s tlačítkovým spínačem. Skokový impuls přivedený na začátek zvukového řetězce pak na výstupu určí fázi signálu.

Pokud měříme reproduktory, na vstup indikátoru připojíme mikrofon a umístíme ho před měřený reproduktor.

Indikátor je zhotoven na dvoustranné desce s plošnými spoji o rozměrech 68 x 42 mm. Deska plošných spojů ze strany součástek (TOP) je na obr. 14, ze strany spojů (BOTTOM) je na obr. 15 a rozložení součástek na desce s plošnými spoji je na obr. 16.

## Seznam součástek indikátoru fáze

### Rezistory

R1	270 kΩ
R2, R5	470 Ω
R3, R4	470 kΩ

R6, R9	10 MΩ
R7, R8	1 kΩ

### Kondenzátory

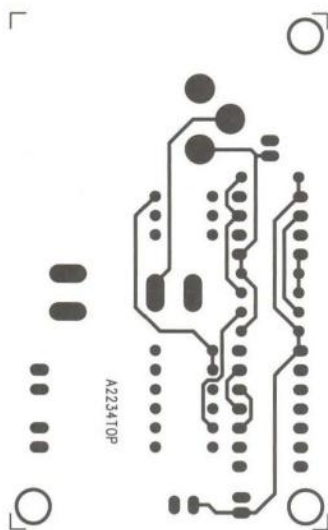
C1	22 μF/16 V
C2, C3	47 μF/63 V
C4 až C6	100 nF
C7	47 μF/16 V

### Polovodičové součástky

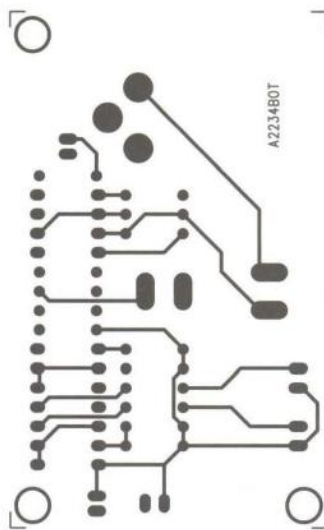
D1, D2	1N4148
IC1	TL072
IC2	CD4011
LD1, LD2	LED

### Ostatní

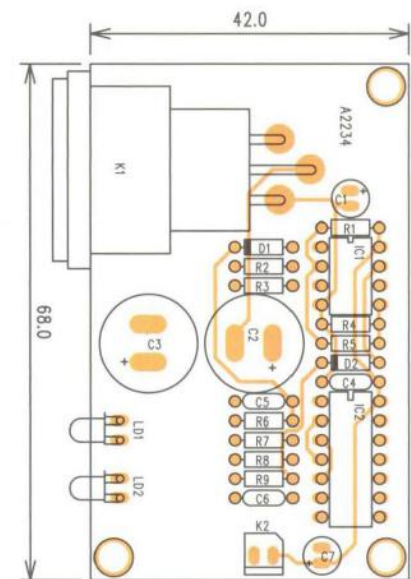
K1	XLR3F
K2	PSH02



Obr. 14. Deska plošných spojů ze strany součástek (TOP)



Obr. 15. Deska plošných spojů ze strany spojů (BOTTOM)



Obr. 16. Rozložení součástek na desce s plošnými spoji

# Aktivní DI boxy

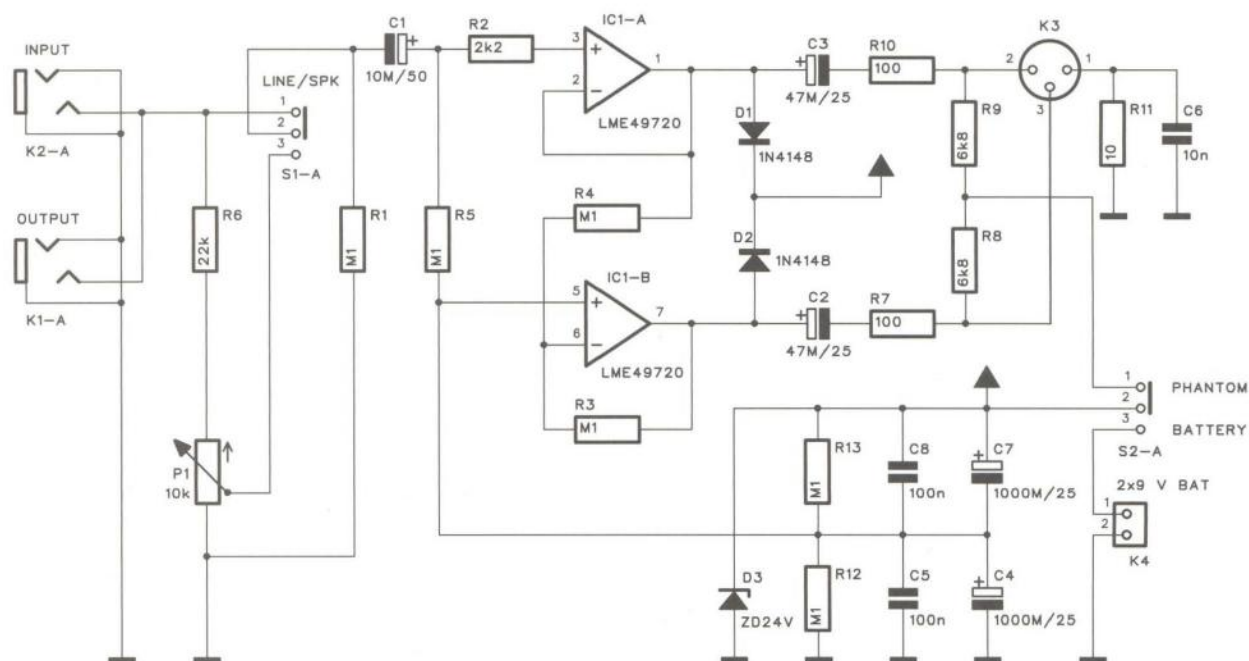
Alan Kraus

**Direkt boxy, zkráceně nazývané DI boxy, slouží nejčastěji k připojení nesymetrických linkových výstupů hudebních nástrojů, případně k paralelnímu připojení k reproduktorovým výstupům kytarových komb. Převodou nesymetrický linkový výstup na symetrický, vhodný pro připojení na symetrický mikrofonní vstup mixážního pultu.**

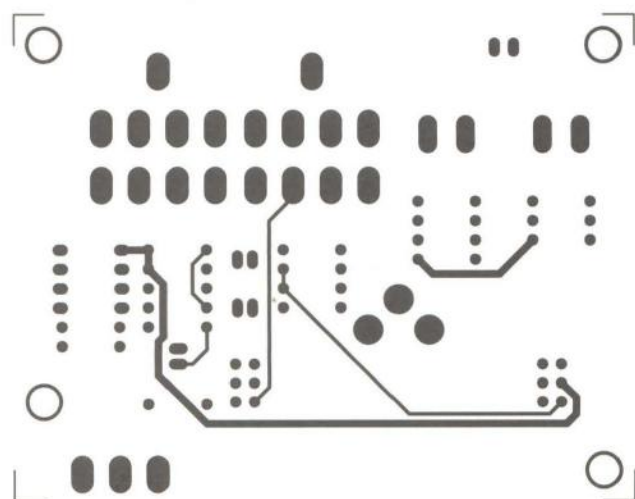
Většina elektrických a elektrofonických hudebních nástrojů, na rozdíl od dalších komponent ozvučovacího řetězce, je osazena pouze nesymetrickými linkovými výstupy. Při zapojování těchto nástrojů ke vstupům mixážního pultu přináší nesymetrické propo-

jení potenciální zhoršení odstupu od rušivých napětí. Do nesymetrického (byť i stíněného) vedení se totiž mohou indukovat nejrůznější rušivé signály. A ty v dnešní době mnoha výkonných světelných efektů a dalších potenciálních zdrojů rušení nejsou

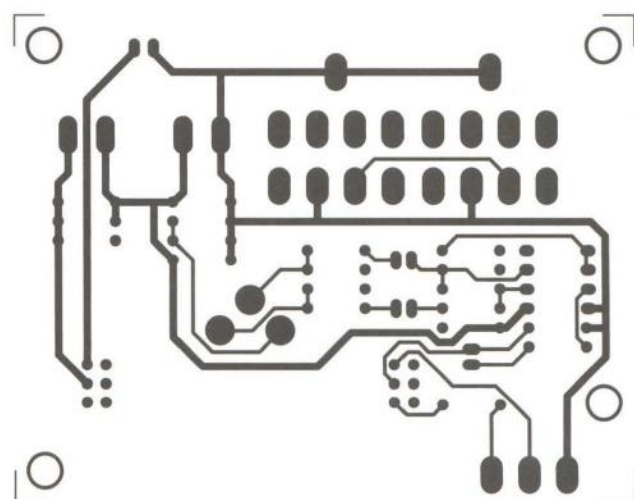
zanedbatelné. Proti tomu symetrické vedení poskytuje výrazně lepší ochranu. Protože indukovaný rušivý signál je v podstatě shodný na obou symetrických vodičích a vstupní obvody zpracovávají pouze rozdílový vstupní signál, kdežto souhlasný potlačují, je rušivý signál výrazně omezen. Pro převod nesymetrického signálu na symetrický v blízkosti zdroje signálu, tedy hudebního nástroje, se používají právě DI boxy. Z konstrukčního hlediska mohou být řešeny několika způsoby. Dříve se hojně používalo řešení s převodním transformátorem. Nevyžadovalo vlastní napájení a dokonale galvanicky oddělovalo zdroj signálu od dalších zařízení. Bohužel kvalitní oddělovací transformátory nejsou levné a mají i jisté negativní vlastnosti. Proto se začaly používat aktivní DI boxy. Ty mají buď vlastní napájení, nej-



Obr. 1. Schéma zapojení DI boxu I.



Obr. 2. Deska plošných spojů DI boxu I. ze strany součástek (TOP)



Obr. 3. Deska plošných spojů DI boxu I. ze strany spojů (BOTTOM)





Profesionální provedení DI boxu

častěji bateriové, což vzhledem k relativně nízké spotřebě není až tak problematické, nebo využívají fantomové napájení z mikrofonního vstupu mixážního pultu. Dnes si představíme dvě typická zapojení aktivního DI boxu.

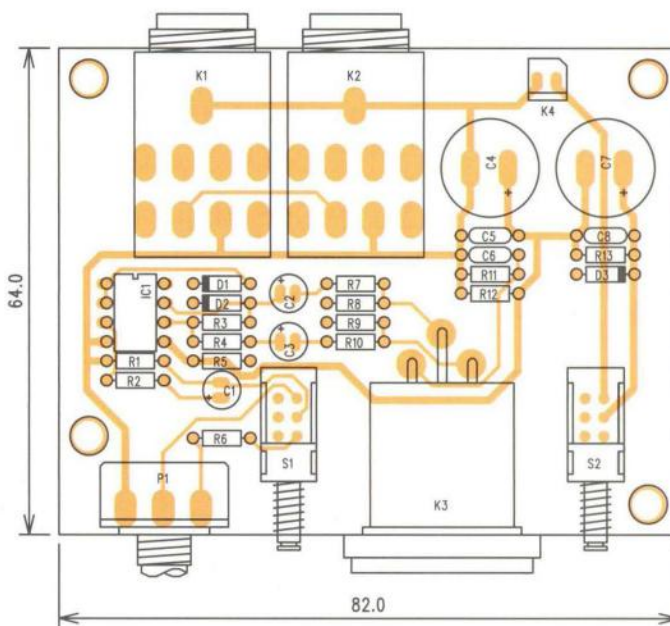
### Aktivní DI box I.

Schéma zapojení DI boxu je na obr. 1. Vstup je osazen paralelně zapojenou dvojicí konektorů jack. To umožňuje rozbočit signál pro další použití na jevišti - například do vlastního zesilovače. Přepínačem S1 volíme vstupní úroveň - buď linku, nebo připojení k reproduktorovému výstupu. Pro ten případ je tam potenciometr P1. Za oddělovacím kondenzátorem C1 je dvojice operačních zesilovačů. IC1A pracuje jako sledovač, kdežto IC1B je zapojen jako invertor. Diody D1 a D2 chrání výstupy operačních zesilovačů proti napěťovým špičkám, vznikajícím při zapnutí fantomového

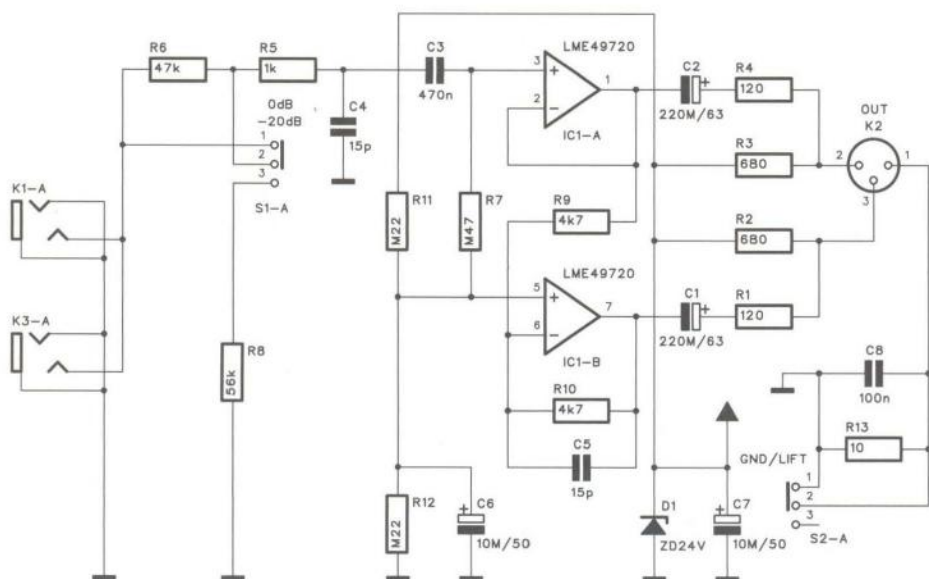
napájení. Výstup je osazen klasickým konektorem XLR.

Přepínač S2 volí napájení buď z vestavěné baterie (jsou použity 2 desítkové baterie o napětí 9 V), nebo fantomové napájení z mixážního pultu. Protože je DI box napájen nesymetrickým napětím, tvoří dvojice rezistorů R12 a R13 virtuální střed napájení.

DI box I. je zhotoven na dvoustranné desce s plošnými spoji o rozměrech 82 x 64 mm. Deska spojů ze strany součástek (TOP) je na obr. 2, ze strany spojů (BOTTOM) je na obr. 3 a rozložení součástek na desce s plošnými spoji je na obr. 4. Na zapojení není co oživovat; pokud jsou použity dobré součástky, musí pracovat na první pokus.



Obr. 4. Rozložení součástek na desce s plošnými spoji DI boxu I.



### Seznam součástek

#### Rezistory

R1, R3 až R5, R12, R13	100 kΩ
R2	2,2 kΩ
R6	22 kΩ
R7, R10	100 Ω
R8, R9,	6,8 kΩ
R11	10 Ω
P1	P16M 10 kΩ

#### Kondenzátory

C1	10 μF/50 V
C2, C3	47 μF/25 V
C4, C7	1000 μF/25 V
C5, C8	100 nF
C6	10 nF

Obr. 5. Schéma zapojení DI boxu II.

### Polovodičové součástky

D1, D2	1N4148
D3	ZD 24 V
IC1	LME49720

### Ostatní

K1, K2	JACK63PREP
K3	XLR3M
K4	PSH02
S1, S2	PBS22D02

### Aktivní DI box II.

Schéma zapojení je na obr. 5. Na vstupu je opět paralelní dvojice konektorů jack. Přepínač S1 umožňuje volbu zisku 0 dB/-20 dB. Za oddělovacím kondenzátorem C3 je dvojice operač-

ních zesilovačů, generující symetrický výstupní signál, přivedený na konektor XLR K2. Tento DI box je napájen výhradně z fantomového napětí mixážního pultu. Přepínačem S2 lze částečně oddělit zem (i když z důvodu napájení se nejedná o galvanické oddělení).

DI box II. je zhotoven na dvoustranné desce s plošnými spoji o rozměrech 78 x 68 mm. Deska plošných spojů ze strany součástek (TOP) je na obr. 6, ze strany spojů (BOTTOM) je na obr. 7 a rozložení součástek na desce s plošnými spoji je na obr. 8.

DI boxy jsou velmi užitečné křabičky, usnadňující propojování linkových a mikrofonních signálů při ozvučování hudebních skupin, zejména při živých vystoupeních.

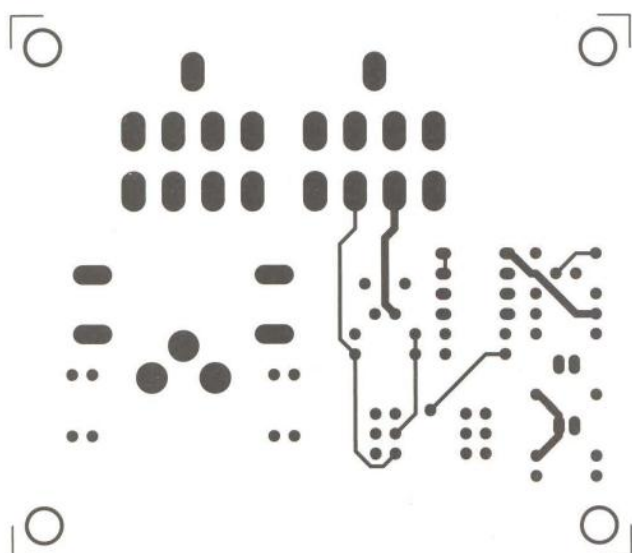


Jiné provedení DI boxu

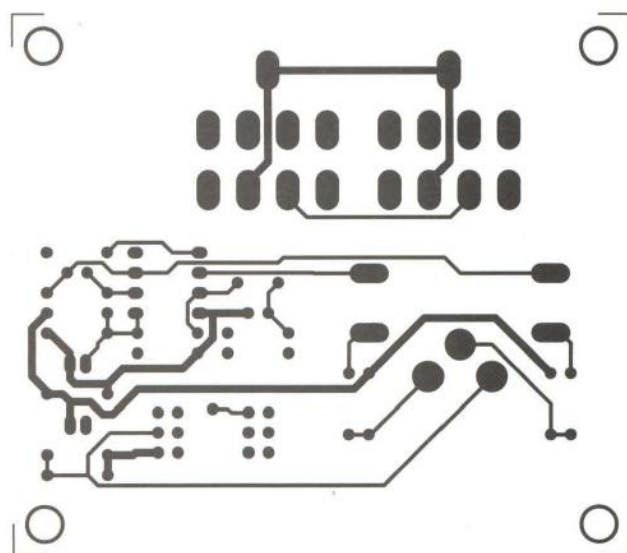
### Seznam součástek DI boxu II.

#### Rezistory

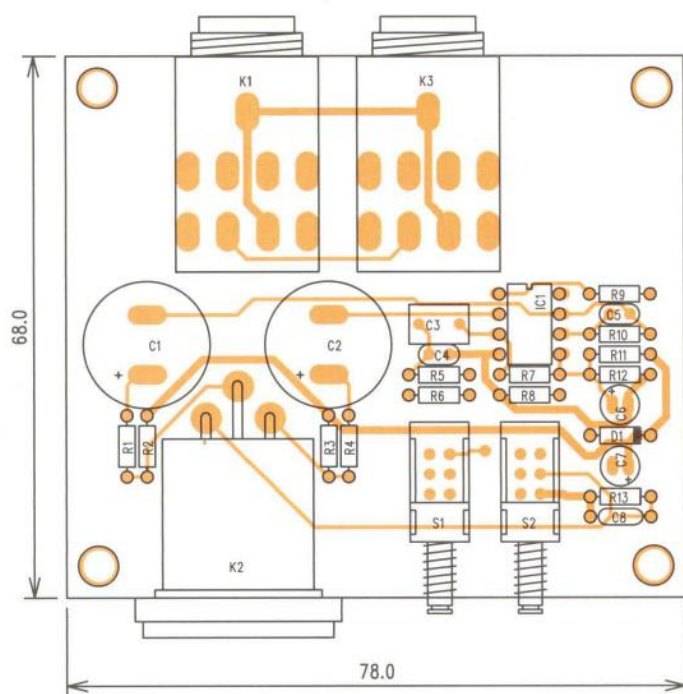
R1, R4	120 Ω
R2, R3	680 Ω



Obr. 6. Deska s plošnými spoji DI boxu II. ze strany součástek (TOP)



Obr. 7. Deska s plošnými spoji DI boxu II. ze strany spojů (BOTTOM)



Obr. 8. Rozložení součástek na desce spojů DI boxu II.

R5	1 kΩ
R6	47 kΩ
R7	470 kΩ
R8	56 kΩ
R9, R10	4,7 kΩ
R11, R12	220 kΩ
R13	10 Ω

#### Kondenzátory

C1, C2	220 μF/63 V
C3	470 nF
C4, C5	15 pF
C6, C7	10 μF/50 V
C8	100 nF

#### Polovodičové součástky

D1	ZD 24 V
IC1	LME49720

#### Ostatní

K1, K3	JACK63PREP
K2	XLR3M
S1, S2	PBS22D02



# ZE SVĚTA POČÍTAČŮ

Rubriku připravuje ing. Alek Myslík, INSPIRACE, alek@inspirace.info



## STAVEBNICE SDR Z ČASOPISU FUNKAMATEUR

Rádiové přijímače využívající ke většině svých funkcí počítač (SDR, *Software Defined Radio*) jsou stále používanější a jsou velmi účinnou symbiózou radiotechniky a výpočetní techniky. Ceny hotových výrobků klesají a stále vyšší výkony počítačů umožňují stále jednodušší hardwarovou radiotechnickou část.

V podstatě jde o to vstupní signál co nejdříve zdigitalizovat a pak už vše obstará software. Tato technologie se již natolik přiblížila radioamatérským možnostem, že si takový amatérský SDR přijímač zhotovili před dvěma roky účastníci radioamatérského Polního dne (*Fichtenfieldday 2010*) v sousedním Německu.

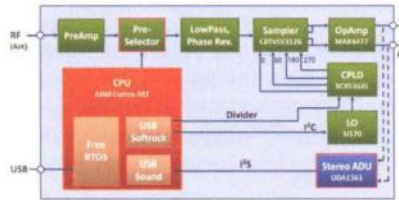


Přijímač FiFi-SDR je v pouzdře o rozměrech 110x50x24 mm

Popis byl pak uveřejněn v německém časopisu *Funkamateur* a vydavatel tohoto časopisu také prodává kompletní stavebnici přijímače s prakticky úplně osazenou deskou (SMD) pod názvem *FiFi-SDR*, a to za dostupnou cenu 89 popř. 120 €.

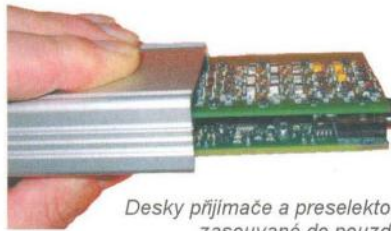
### Hardware

Aby mohl být přijímač co nejlevnější, není digitalizován přímo v vstupní signál v celém přijímaném rozsahu (což by vyžadovalo drahý rychlý převodník A/D a vysoké vzorkovací kmitočty), ale na principu tzv. přímospěšujícího příj-



Blokové schéma přijímače FiFi-SDR

mače je převáděn přímo do nf rozsahu zvukové karty a je digitalizován až v ní. Jádrem zapojení je laditelný oscilátor s obvodem Si570 (*Silab*). Jeho výstupní signál je v programovatelném logickém poli (CPLD, *Complex Programmable Logic Device*) rozdělen na čtyři signály, které jsou navzájem fázově po-

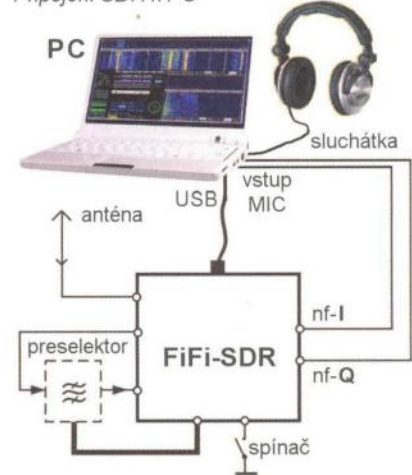


Desky přijímače a preselektoru zasouváné do pouzdra



Kompletně osazená destička přijímače

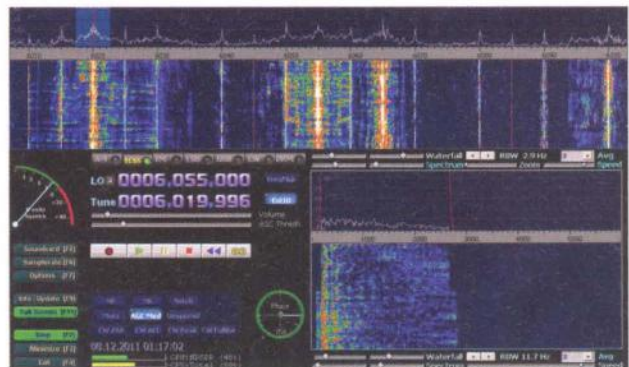
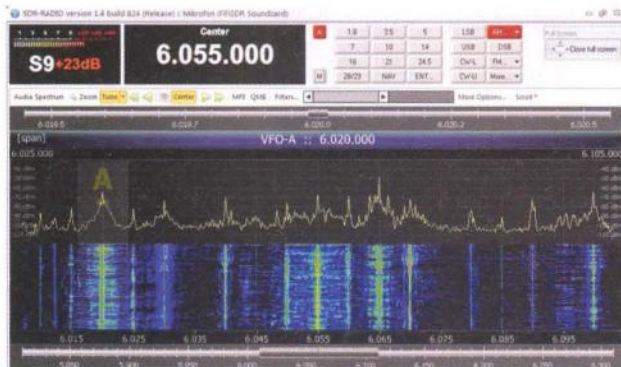
### Připojení SDR k PC



### Technické údaje

<i>Kmitočtový rozsah:</i>	200 kHz až 30 MHz
<i>Vstupní citlivost:</i>	-117 dBm na 10 MHz pro 10 dB SINAD
<i>TOI (IP3):</i>	-10 dBm na 21,2 MHz
<i>Rozměry:</i>	110x55x24 mm
<i>PC:</i>	CPU 1 GHz, >256 kB RAM
<i>OS:</i>	Windows, Linux, MacOS
<i>Software:</i>	SDR-Radio, Rocky, Winrad HD, Power SDR, HSDR, SoDiRa a další
<i>Cena:</i>	89 € bez pres., 120 €

sunuté o 90° a přivádějí se do směšovače. Vysokofrekvenční signál z antény je stejnosměrně oddělen, zesílen a po průchodu dolní propustí a fázovém posunu o 180° přiveden rovněž do směšovače. Ve směšovači vzniklé komponenty I a Q jsou zesíleny a připraveny k digitalizaci v externí zvukové kartě.



FiFi-SDR lze ovládat mnoha programy, nejčastěji jsou doporučovány SDR-RADIO (autor HB9DRV) a HSDR (autor I2PHD)

Demodulace signálu pak probíhá pomocí vhodného softwaru v počítači.

Celý přijímač je řízen výkonným procesorem ARM s jádrem Cortex-M3 typu LPC1758, který zajišťuje i rozhraní USB pro propojení s počítačem. Protože se tento přijímač používal převážně s notebooky, jejichž zvuková karta obvykle dostatečně nesplňovala na ní kladené požadavky, bylo jeho zapojení doplněno o vlastní „zvukovou kartu“ s obvodem UDA1361. Signál I+Q je v ní digitalizován kmitočtem 96 kHz. Kvůli cenové dostupnosti neměla původní verze žádný preselektor (pouze dolní propust), později byl přijímač o desku automaticky přepínaného preselektoru doplněn (rozdíl v ceně z 89 na 120 €).

### Software

Vestavěná „zvuková karta“ je kompatibilní se standardním profilem pro USB a potřebný ovladač (*driver*) je tak v počítači již přítomný. Pro nastavování kmitočtu (ladění) se dodává další ovladač, který je kompatibilní s populárním SDR přijímačem *Softrock40*. Pro ten existuje celá řada ovládacích programů (obvykle volně dostupných) pro všechny hlavní operační systémy počítačů

a tyto programy lze tak použít i pro popisovaný *Fifi-SDR*. Přijímač i ovladač software bez problémů fungují i s malými levnými notebooky.

Pokud jde o parametry přijímače *Fifi-SDR*, jsou vesměs – ve srovnání s ostatními dostupnými SDR přijímači – velmi dobré, až na IP3. Přijímač byl konstruován pro Polní den a podobné akce, kde se používají spíše horší (kratší) antény a nehrozí velké přetížení silnými vstupními signály.

Prodávaná stavebnice *Fifi-SDR* obsahuje všechny elektrické i mechanické součásti přijímače. Deska s plošnými spoji je již osazena všemi součástkami SMD, zbývá osadit pouze konektory. Předpokládaná doba montáže stavebnice je 2 až 3 hodiny.

Svoji velikostí, výkonem i cenou je *Fifi-SDR* výbornou příležitostí k seznámení se s technologií SDR a k poslechu rádiových stanic v celém pásmu dlouhých, středních i krátkých vln.

### Odkazy:

<http://o28.sischa.net/fifisdr/trac>  
[www.funkamateu.de](http://www.funkamateu.de)  
[www.ov-lennestadt.de/projekte/fifi-sdr](http://www.ov-lennestadt.de/projekte/fifi-sdr)  
[www.dh1tw.de/fifi-sdr-the-interview](http://www.dh1tw.de/fifi-sdr-the-interview)

dý z obou stavů zůstává zachován i bez dalšího přívodu energie. To vysvětluje i energetickou nenáročnost displejů – přesouvají se pouze malé hmoty na krátké vzdálenosti. Viditelné světlo tvoří vlnové délky v rozmezí 380 až 780 nm, takže membrány prvků IMOD se pro dosažení potřebného efektu posouvají jen o několik stovek nanometrů. Díky tomu lze dosáhnout extrémně krátkých spínacích časů (v řádu desítek mikrosekund), což umožňuje zobrazovat plynulé video bez nežádoucích efektů (rozmazání).

Displej *Mirasol* se dá sestavit jako matice prvků IMOD a bude fungovat podobně jako TFT matice LCD displejů. Barevného zobrazení se dosáhne stejně jako v LCD displejích tím, že každý pixel je sestaven ze tří subpixelů, vytvářejících základní barvy. Protože displej pracuje s odraženým světlem, zůstává oproti displejům s podsvícením dobře čitelný i v přímém slunečním světle. Prvky IMOD displejů *Mirasol* zajišťují velice dobré pozorovací úhly, nesrovnatelně lepší než u LCD.

Displeje *Mirasol* byly představeny na letošním veletrhu CES 2012 u barevných čteček/tabletů *Kyobo* a celkem úspěšně potvrdily naděje do nich vkládané. Barvy jsou sice zatím „bledší“ než u displejů LCD a video také není ještě ideální, ale proti černobílým čtečkám je to výrazný pokrok.

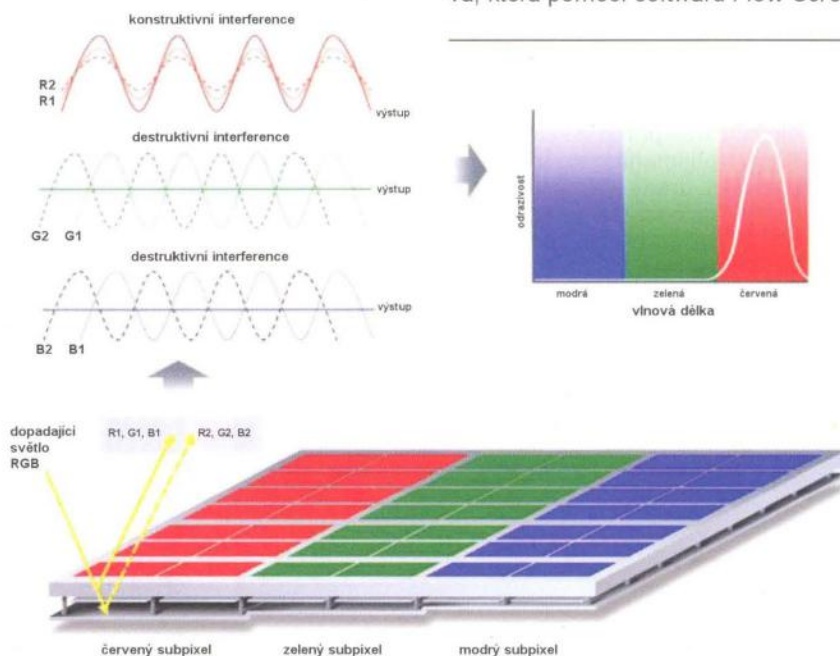
## MIRASOL

barevný „elektronický papír“

Na rozdíl od většiny současných elektronických čteček (s „elektronickým papírem“) displeje *Mirasol* (španělsky *slunečnice*) zvládají barvy i video. Nemají problémy ani s výdrží baterií. Tyto displeje využívají principů „odkoukaných“ od některých motýlů – vytvářejí barvy odrazem světla od mikromechanických membrán pomocí interferenčních efektů. Jako klasický papír využívá *Mirasol* odraženého světla a protože nepoužívá žádné filtry, světla ztratí jen velmi málo a zůstává dobře čitelný i na přímém slunečním svitu. Membrány jsou bistabilní, takže displej spotřebovává energii pouze při změně zobrazení (stejně jako „elektronický papír“).

Základ displejů *Mirasol* tvoří prvek IMOD (*Interferometric MODulation*), sestávající ze dvou vodivých odrazivých destiček. Jedna je nanosená jako film na skleněný podklad, druhá je odrazivou membránou vznášející se nad podkladem. Prostor mezi oběma destičkami vyplňuje vzduch. Když na IMOD dopadne světlo, odrazí se jak od horní, tak i od dolní destičky, vzhledem ke vzduchové mezeře mezi nimi dojde ale k fázovému posunu odrazů a v důsledku interference se pak některé vlnové délky vyruší, zatímco jiné se posílí. Výsledné světlo tak získá určité zabarvení. Velikostí vzduchové mezery lze zabarvení přesně nastavit. IMOD tedy funguje jako optická rezonanční dutina, odražející světlo určité barvy. Pokud se však na tyto dvě destičky přivede elek-

trické napětí, elektrostatické síly je přitáhnou k sobě a interference posune výsledné světlo do neviditelné ultrafialové oblasti, takže se IMOD jeví jako černý. Přivedením napětí opačné polarity se destičky prvku opět oddálí do původní vzdálenosti a výsledkem odrazu bude světlo určité barvy. Pro návrat horní membrány do horní polohy je potřeba méně energie než pro její přitažení a díky tomu je IMOD bistabilní prvek. Jeho stavy se cyklicky opakují a může tak fungovat jako paměťový prvek, kaž-



Princip funkce barevných displejů *Mirasol* s prvky IMOD

## HRANATÁ MYŠ LOGITECH CUBE

Společnost *Logitech* uvedla novou periferii s označením *Cube*, která bude svému uživateli sloužit jako počítačová myš i ovladač prezentací. *Cube* nemá žádná tlačítka a vše řeší dotyková vrstva, která pomocí softwaru *Flow Scroll*



k dispozici rychlé a pomalé automatické vyrovnávání citlivosti (AGC) a přepínání přijímané šířky pásma 2,8/3,8 kHz pro DSB a 800 Hz pro CW. Při vysílání se dá zvolit virtuální výkon v rozsahu 10 W až 2,5 kW, přepínat na vysílání lze ručně tlačítkem PTT nebo automaticky při promluvení do mikrofonu (tzv. VOX). Je možné zapnout i velmi účinnou audio kompresi (tři stupně), která zvýší průraznost a srozumitelnost vysílání. V pásmu 30 m se dají vypnout všechny audio kodeky a vysílat digitálními provozy jako je PSK, SSTV ap. (k úspěšnému provozu je zde zapotřebí připojení k Internetu rychlostí alespoň 140 kb/s).

Virtuální transceiver se může ovládat i z klávesnice a různé funkce lze pro tento účel přiřadit klávesám F1 až F12. Při telegrafním vysílání lze používat připravené části textu (fráze), uložené pod klávesami F1 až F8, vysílá se z klávesnice a dá se nastavit rychlost telegrafního vysílání.

Textovým příkazem v příkazovém řádku (vlevo dole) lze vyvolat některé další funkce, např. zobrazit počet momentálně aktivních stanic celkem nebo v daném pásmu, zobrazit informace o značce, odeslat textovou zprávu ap.

Přestože na webových stránkách [www.hamsphere.com](http://www.hamsphere.com) jsou výzvy k předplacení služby (na jeden rok za 30 €), základní registrace je zdarma a po usilovném hledání zjistíte, že můžete využívat jen provoz DSB, nedá se používat textový chat a nemůžete se „schovat“ (každý ví, že jste „na pásmu“). Navíc existuje jakási DX-zone, kde je některým vybraným zemím umožněno využívání všech funkcí bezplatně, a zdá se, že jsme zatím mezi nimi.

Software pro *HamSphere* lze stáhnout zdarma a není zapotřebí žádné další vybavení kromě běžného mikrofonu a reproduktoru (sluchátek), které používáte např. ke *Skypu*. Protože je vše propojené po Internetu, nic se nevysílá „do éteru“, nikomu nevzniká žádné rušení a není zapotřebí žádné povolení (licence). Zapojit se tak mohou všichni, nejen radioamatéři s vlastní značkou. Radioamatér s vlastní značkou, ji používá (po ověření pravosti) i v *HamSphere*, pokud se zaregistrujete a značku nemáte, bude vám přidělena. Přidělené značky jsou ve tvaru *prefix HS suffix*, kde *prefix* je skupina číslic (1 až 3) označující zemi (Česká republika má 179), *HS* je zkratka *HamSphere* a *suffix* je skupina číslic odlišující jednotlivé stanice v dané zemi – značka tedy může vypadat jako *179HS268*. Podle údajů na webu je registrováno asi 8000 předplatitelů, asi 4000 *DX-user* (plný přístup bezplatně) a odhadem desetitisíce ostatních.

Při navazování spojení se předpokládá (a je to zdůrazňováno) dodržování všech pravidel slušnosti (tzv. *HAM spirit*) stejně jako při vysílání na skutečných krátkovlnných radioamatérských pásmech.

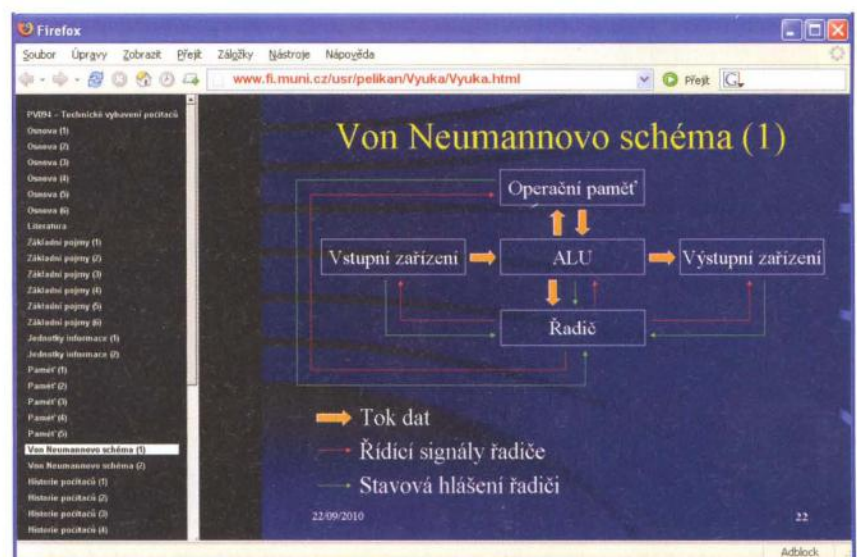
## GNUMERIC – „EXCEL“ ZDARMA

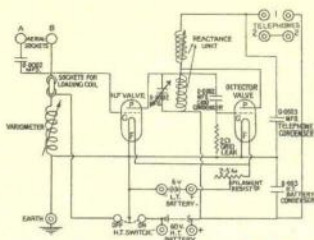
Tabulkový procesor je velmi užitečný nástroj a patřil k prvním masově využívaným nástrojům na PC. Po legendárním *Lotus 1-2-3* se pak stal synonymem tohoto pojmu program *Microsoft Excel*. Ten je ale součástí poměrně drahého a velmi rozsáhlého balíku *Microsoft Office*. Pokud ho nemáte (nebo legálně nemáte...), je vhodnou alternativou program *Gnumeric*. Je vyvíjen pro linuxovou platformu *Gnome*, ale má svoji verzi i pro *Windows* a je zdarma. Umí pracovat se všemi typy souborů běžně používaných tabulkových procesorů, samozřejmě včetně zmíněného *XLS* z *Microsoft Excel*. Zabírá asi 70 MB a existuje i v provedení *portable*, tzn. že se nemusí instalovat a můžete si ho nosit sebou v USB paměti. Podrobné informace najdete na <http://projects.gnome.org/gnumeric>, *portable* verzi lze stáhnout z [http://portableapps.com/apps/office/gnumeric\\_portable](http://portableapps.com/apps/office/gnumeric_portable).

## ARCHITEKTURA PC, POČÍTAČOVÉ SÍTĚ

[www.fi.muni.cz/usr/pelikan/Vyuka/Vyuka.html](http://www.fi.muni.cz/usr/pelikan/Vyuka/Vyuka.html)

Na webu odborného asistenta katedry informačních technologií Masarykovy univerzity v Brně J. Pelikána najdete mnoho zajímavých prezentací k jeho přednáškám z oborů *Technické vybavení počítačů*, *Úvod do programování*, *Úvod do počítačových sítí*, *Technologie počítačových sítí*, *Hardware počítačových sítí*, *Vývoj desktopových aplikací v C#/ .NET* a *Didaktika informatiky*. Pěkně zpracované prezentace jsou k dispozici jak online, tak ke stažení ve formátu *PowerPoint*. Kromě toho je zde k dispozici (z dřívějších dob) i rozsáhlý *Hypertextový průvodce architekturou PC* (i ke stažení v souboru ZIP). Všechny materiály jsou velmi užitečné k získání obecného přehledu nebo k osvěžení již dříve nabytých znalostí.





# RÁDIO „HISTORIE“

## Marconiho vize globální telekomunikace na počátku 20. století

Ing. Jan Lexa

Je to již více než 110 let, kdy se zemskou atmosférou šířilo nejen elektromagnetické pole vyvolané blesky, ale začalo se šířit i elektromagnetické pole z jiskřivě induktorů v rytmu Morseovy abecedy prvních průkopníků bezdrátového přenosu zpráv. Připomeňme si, jak dalece se o to zasloužil jeden z hlavních vynálezců v této oblasti, Guglielmo Marconi.

Narodil se 25. dubna 1874 v Boloni (Itálie) jako druhý syn v dobře situované rodině. Značnou část svého dětství strávil se svojí irskou matkou na cestách mezi Itálií, Irskem a Anglií, kde se nejen naučil dobře anglicky, ale „načichl“ i anglickou mentalitou. Návštěvám veřejných škol se spíše vyhýbal, ale dostalo se mu určitého vzdělání v chemii a fyzice soukromou výukou. Na univerzitě v Boloni se zajímal hlavně o pokusy se šířením elektromagnetických vln, které před ním prováděli vynálezci jako byl Hertz, Popov nebo Lodge. Šlo mu hlavně o praktické využití výsledků těchto pokusů.

V letech 1887/88 se poprvé profesoru H. Hertzovi (1857 – 1894) podařilo experimentálně dokázat hypotetickou existenci elektromagnetických vln, matematicky vyjádřenou Maxwellem. Praktický význam těchto vln pro přenos zpráv si ale ještě zcela neuvědomoval. Jedním z prvních, kteří se s praktickým využitím těchto vln zabývali, byl ruský profesor Alexander Popov (1859 – 1906) v Kronštadu. Popov na přelomu let 1894/95 předvedl přijímač s kohererem na detekování bouřek a předpovídal jeho další vývoj pro přenos zpráv. Téměř ve stejném období přichází se stejnými myšlenkami o budoucnosti bezdrátového přenosu zpráv i Marconi, protože se mu v prosinci 1895 daří již vysílat a přijímat elektromagnetické vlny. Marconi nadšeně nabízí svoji bezdrátovou telegrafii italským úřadům, ale naráží na nepochopení.

Bylo mu jasné, že bezdrátová komunikace bude mít velký význam hlavně pro

plavební zaoceánské společnosti, zatímco na pevnině byla v té době drátová telegrafie již dosti rozšířena. Veřejně prohlásoval, že své vynálezy musí chránit patentováním, aby se ostatní neobohacovali na jeho vynálezech. To také splnil a 2. června 1896 přihlašuje svůj první patent pro bezdrátovou telegrafii (britský patent č. 12039). To vše se odehrálo v Anglii, kde se mu díky jeho matce dostalo všeobecné podpory (obr. 1, 2, 3).

Uvědomoval si, že jeho sen o propojení válečných a obchodních lodí, majáků a dokonce královské jachty s královským palácem v Anglii bude vyžadovat intenzivní výzkumnou práci na takovém projektu, a tak 20. července 1897 zakládá společnost „Wireless Telegraph and Signal Company“, aby všechny své patenty a výsledky předchozí práce zhodnotil. Ze základního kapitálu 100 000 liber získává Marconi 60 000 jednolibrových akcií, zbytek byl veřejně rozprodán. V prosinci 1898 byla v Chelmsfordu (Essex) založena první továrna na výrobu součástí pro vysílací zařízení. Společnost byla proti vůli Marconiho r. 1900 přejmenována na „Marconi's Wireless Telegraph Company“. Tímto krokem získal Marconi konečně nutnou svobodu pro prosazení svých idejí. Vedení firmy předal řediteli a sám se věnoval výstavbě jednotlivých vysílačů. Prohlašoval, že k výstavbě svých vynálezů potřebuje svět jako svoji laboratoř, ne jako řada profesorů, kteří své pokusy provádějí mezi čtyřmi zdmi. V té



Obr. 1. Marconi u své aparatury r. 1896/197. Přijímač je umístěn ve skřínce, kde se nachází kohererový přijímač podobný tomu, co použil Popov. Náhoda?

době se A. Popov dozvídá o Marconiho úspěších a pokouší se dokázat svoji prioritu v bezdrátovém přenosu zpráv. Neuspěl však, protože na svůj vynález nepodal žádný patent a v carském Rusku nenašel ani příliš pochopení.

Viděno z technického hlediska byl Marconi až do roku 1900 na stejném stupni vývoje, kterého už dosáhli jak Popov, tak jiní badatelé. Marconi vyráběl vysílací zařízení, které značně přesahovalo parametry zkušebních souprav, takže musel čas od času dokazovat svým věřitelům a světu, že taková zařízení jsou skutečně schopná překlenout větší vzdálenosti. Na přelomu 1895/96 uskutečnil spojení na 2 – 3 km, ale o 4 roky později už to bylo asi 150 km. Kdy, kde a na jakou vzdálenost uskutečnil spojení, je vidět z tab. 1 na následující straně.

Marconiho činnost byla do značné míry omezoována britským telegrafním zákonem. Pošta si pro sebe vyhrazovala právo na komunikaci do 3 mil kolem pevniny. Soukromým společenstvem byla dovolena výměna zpráv jen uvnitř společnosti. Marconiho společnost musela tedy své hlavní aktivity přenést na oceán. Marconimu se začalo dařit a množství zakázek na lodní telegrafní zařízení neustále přibývalo, takže 20. 4. 1900 založili dceřinou společnost „Marconi International Marine Communication Co. Ltd.“ Tato společnost pronajímala lodním majitelům svá vysílací zařízení současně s obsluhujícím personálem, který byl v jejich vlastním učilišti vyškolen. Zůstává tedy výměna zpráv mezi loděmi a pevninou v rukách Marconiho. Komunikace s jinými stanicemi na lodích byly povoleny jen v případě nouze. Později z tohoto zákazu udělala Marconiho společnost jakousi ctnost a nutila majitele lodí, aby kupovali jen



Obr. 2. Marconiho přijímač s kohererem (detektorem) vytažený ze skříňky, která přijímač určitou dobu chránila před očima jiných vynálezců



Obr. 3. (Vpravo) Marconi a jeho asistent Kemp u telegrafního přístroje

Datum	Vzdálenost	Místa pokusů	přes pevninu/moře
konec 1895	2,4 km	Villa Griffone, Itálie	pevnina
září 1896	2,8 km	Salisbury Plain, Anglie	pevnina
březen 1897	7,2 km	Salisbury Plain	pevnina
květen 1897	16 km	Lavernock Point – Brean Down	moře
říjen 1897	63 km	Salisbury – Bath	moře
prosinec 1897	22 km	Alum Bay – loď	moře
léto 1898	18,5 km	Kingstown – loď	moře
březen 1899	59 km	překonání Lamanš. průlivu	moře
červenec 1899	160 km	Needless – loď	moře
srpen 1899	110 km	mezi 2 válečnými loděmi	moře
září 1899	160 km	Wimereux – Chelmsford	pevnina a moře

Tab. 1. Dosažené vzdálenosti Marconiho demonstračních vysílání mezi roky 1895 a 1900

Datum	km/den/noc	umístění stanic	vlnová délka
23. 1. 1901	344 km	Lizard u Poldhu – Nilton	70 m
červen 1901	416 km	Poldhu – Crookhaven	?
12. 12. 1901	3500 km	Poldhu – St. Johns (Newfoundland)	300 m
únor 1902	1295 km za dne 2867 km v noci	z Poldhu na loď „Philadelphia“	300 – 400 m 300 – 400 m
7. 7. 1902	925 km za dne 2960 km v noci	z Poldhu na loď „Carlo Alberto“	1100 m 1100 m
červen 1905	3330 km za dne	Glace Bay (Kanada) – Poldhu	3660 m
září 1910	7400 km za dne 12 533 km v noci	z Clifdenu (Irsko) na loď „Malfalda“	6000 m 6000 m

Tab. 2. Některé dosažené vzdálenosti při vysílání s laděnými obvody v letech 1901 až 1910, z čehož vznikla Marconiho formule „delší vlny + větší výkon = větší vzdálenost“

jejich zařízení, v bláhové vizi světového monopolu.

## Jak daleko dosáhnou vlny?

Marconi měl dva hlavní cíle. Ten první byl, aby lodě mohly komunikovat mezi sebou a s pobřežím alespoň do vzdálenosti 100 km, protože to bylo pro jeho společnost hlavním zdrojem příjmu. Mnohem ambicióznějším cílem bylo telegrafní propojení celého světa, ale musel nejdříve ověřit, jestli elektromagnetické vlny překonají i horizont. Na základě Hertzových pokusů dochází k závěru, že delší vlny překlenou větší vzdálenosti, takže jeho další pokusy směřovaly k překonání oceánu z Anglie do Ameriky. Byla zde však otázka, jak má být dlouhá anténa? Z různých teoretických úvah některých profesorů vycházelo, že by musela mít délku několik tisíc metrů. Marconi se rozhodl, že by anténa mohla být dlouhá jen 60 m. Během příprav na transatlantické spojení mu jedna americká firma nabízela 7 mil. dolarů za jeho patenty. Marconi to odmítá, v roce 1902 tuto firmu sám kupuje a pojmenuje ji „Marconi Wireless Company of America“, z čehož roku 1919 vznikne RCA (Radio Corporation of America).

Na konci roku 1900 staví v Poldhu (Cornwall) větší vysílací stanici, která už není napájena z baterií, ale z dynamy a vysílá na vlnové délce kolem 70 m a později 300 m. V příštím roce staví další stanici ve St. Johns (Newfoundland, Kanada) a daří se mu přes atlantik 12.

prosince 1901 pomocí laděných obvodů, rtuťového kohereru a sluchátek zachytit na vlnové délce 300 m signály (písmeno S, tři tečky), vysílané z Poldhu, na vzdálenost 3500 km. Během příprav strhl silný vítr na stanici v Poldhu balón, který držel 100m anténu. Byl však nahrazen drakem. Veřejnost tomuto úspěchu příliš nevěřila, protože nebyl použit žádný telegrafní zapisovač Morseovy abecedy.

Po tomto prvním úspěchu se začaly o své zisky obávat především společnosti, které provozovaly podmořské kabely. Společnost „Anglo-American Telegraph Co“ prosadila zastavení Marconiho pokusů na Newfoundlandu, protože tam měla monopolní postavení. Marconi však díky podpoře kanadské vlády tam postaví další velkou stanici. Bezdrátová telegrafie měla v té době v podstatě tři překážky: a) omezený dosah vysílání; b) špatné utajování zpráv; c) širokopásmové vysílání, takže nesměly vysílat dvě stanice současně, aby se vzájemně nerušily.

Utajení vysílaných zpráv se vyřešilo šifrováním a širokopásmové vysílání laděnými obvody s cívkou a kondenzátorem jak na vysílači, tak v přijímači (tzv. „syntonie“). K tomu měli co říci jak Oliver Lodge, tak Ferdinand Braun se svými patenty. Marconi na základě svých pokusů s laděnými obvody také v r. 1900 podává britský patent č. 7777. Kupuje zároveň Lodgeův patent, ale s Braunovým patentem má určité právní potíže. Jakmile Marconi začne používat laděné obvody, dosažené vzdálenosti dramaticky stoupají, což je patrné z tab. 2.

Dosažené vzdálenosti nejsou jen výsledkem laděných obvodů, ale od r. 1902 začal Marconi také používat Ruthefordův magnetický detektor. Protistanice Poldhu v Glace Bay v Kanadě byla uvedena do provozu koncem r. 1902 a vysílala na 1650 m a vzápětí vyrostla také stanice v Cape Cod (USA). Ani v roce 1903 však nezajišťovaly žádný pravidelný provoz.

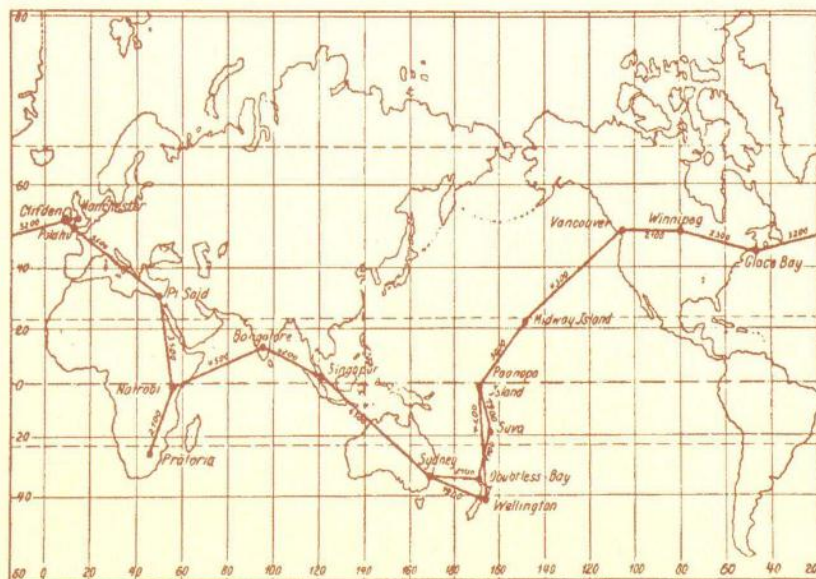
Kolem roku 1900 má Marconi větší výdaje než příjmy, ale naštěstí dostává zakázky na vybavení transatlantických lodí od německého Lloyd Breman. Vzápětí se mu podaří vybavit i první anglickou obchodní loď. Koncem r. 1902 už to bylo 70 lodí a 25 pozemních stanic. V roce 1904 124 lodí a 69 pozemních stanic. Jeho zařízení koupilo i italské loďstvo a kolem r. 1903 zřizuje pobočky v Americe, Belgii, Francii, v Kanadě a v dalších zemích. Marconi stále „zakazuje“ komunikaci se stanicemi jiných firem. Tento svůj princip je nucen vzdát pod tlakem světové komunikační konference r. 1906. Marconimu (praktikovi) a Braunovi (teoretikovi) byla r. 1909 udělena Nobelova cena za jejich vynálezy kolem bezdrátové komunikace, ale také za to, že tato technika díky voláním SOS zachránila bezpočet lidí a námořníků na širém moři.

Marconimu se celé roky víceméně daří zatlačovat konkurenci do pozadí a po úspěších v Americe uzavírá dohodu s firmou Telefunken a zakládají spolu r. 1911 společnost „DEBEG“ (Deutsche Betriebsgesellschaft für Drahtlose Telegraphie), která měla vyrábět a instalovat telegrafní zařízení na německých a rakouských lodích.

Marconi se stihl vedle svých aktivit také r. 1905 oženit s dcerou lorda Inchiquina, z čehož vzešly tři děti. Byl několikrát přemlouván, aby přijal britské občanství. R. 1924 se rozvádí, aby se r. 1927 znovu oženil s mnohem mladší Italkou, jejíž otec byl vysokým úředníkem ve Vatikánu, a r. 1930 se mu narodí dcera Elettra.

Již v první dekádě století se v něm rodí fantastický plán na vybudování celosvětové sítě výkonných vysílačů ve všech koutech světa. Vodítkem mu je jeho později víceméně překonaná formule „delší vlny + vyšší výkon = větší dosah“. Roku 1910 dosahuje ve dne na vlně 6000 m vzdálenosti 7500 km a v noci 12 500 km (tab. 2). Uvědomil si, že na uskutečnění svého plánu potřebuje podporu koloniálních vlád. R. 1913 byl nakonec britskou vládou ratifikován plán na „říšskou světovou síť“ (obr. 4). Práce na ní začaly záhy, ale vše bylo přerušeno první světovou válkou a do popředí se dostává válečná výroba.

(Dokončení příště)



Obr. 4. Plán britské světové komunikační sítě před první světovou válkou, navržený Marconim



# Sovietske rádiostanice Veľkej vlasteneckej vojny

Rádiostanice Červenej armády ZSSR v predvojnovom období boli pomerne zastarané koncepčne, technologicky, súčiastkovou základňou, a v neposlednej rade ich bolo málo. Tento článok nemá ambície byť úplným sprievodcom v sovietskych rádiostaniciach, nakoľko údaje o nich sú pomerne zriedkavé, občas rozporné a neúplné.

Velenie Červenej armády si síce uvedomovalo nedostatky, ale ich riešenie bolo podmienené získaním nových technológií, čo bolo realizované nákupom licencií v USA od firmy RCA. Išlo najmä o moderné kovové elektrónky s 8-kolíkovou päticou. Ich zavádzanie do výroby bolo zahájené v decembri 1936. Zároveň boli do USA vyslané desiatky sovietskych špecialistov v oblasti rádiotechniky na školenie. Títo v RCA získali prakticky neobmedzený prístup k sériovej technologicko-konštrukčnej dokumentácii, organizácii výroby rádiosúčiastok. Americkí inžinieri a technici sa zároveň zúčastňovali spúšťania importovaných technologických celkov do prevádzky v ZSSR. Podľa rozkazu Národného komisariátu obrany všetka vojenská rádiotechnika prešla na americkú súčiastkovú základňu začiatkom r. 1937. Prechod sa uskutočnil nielen v jednotlivých uzloch, ale aj použitím „celých prijímačov a vysielateľov“. Od r. 1938 už všetky nové konštrukcie boli riešené na americkej súčiastkovej a schématickej základni. Preto sú často aj skutočne sovietske konštrukcie považované za kópiu amerických. To značilo koniec takmer 40-ročného intelektuálneho a priemyselného vplyvu nemeckej rádiotechniky na sovietsku.

Po podpísaní paktu Molotov – Ribentrop v r. 1939 vzťahy medzi USA a ZSSR ochladli, ale sovietskí rádiošpecialisti znovu získali možnosť oboznámiť sa s výsledkami dosiahnutými firmami Telefunken a Lorenz v oblasti vojenskej rádiotechniky. Napriek tomu nebol zistený vplyv tejto nemeckej konštrukčnej školy na ďalší vývoj rádiotechniky v ZSSR, pravda, až do skončenia vojny. S ochladením vzťahov bol aj znížený import amerických komponentov a zariadení. Výroba licenčných rozhlasových prijímačov 6N1 (písané latinkou), pôvodne u RCA značených 6-T-1, klesol v roku 1940 na menej ako 1/4 výroby v roku 1938. Výroba súčiastkovej základne bola pomerne komplikovaná, málo efektívna a vo väčšine prípadov ďaleko zaostávala za plánovanou. Napríklad k 1. 6. 1941 boli splnené požiadavky armády iba na 60 %. Preto sa

v Červenej armáde ešte na začiatku vojny používali rádiostanice skonštruované v polovici 20. rokov, ktoré nemohli udržať krok s rozvojom vojenskej rádiotechniky z konca 30. rokov. Príkladom takejto starej konštrukcie je aj prijímač KUB-4M na obr. 1. V hornej časti je vložený obrázok pôvodnej konštrukcie KUB-4. Tento prijímač nadväzoval na svojho predchodcu KUB-4 z 20. rokov. Označenie je kódom Krátkovlnný Údernej Brigády 4-elektrónkový, aj keď bolo v skutočnosti použitých 5 elektrónok. Išlo o dvojbodový priamozosilňujúci prijímač, teda zapojenie 1-V-2. Schéma tohto prijímača je na obr. 2, kde je vidno zvláštne použitie tretej elektrónky. Táto slúžila ako regulačný prvok spätnej väzby. Ovládanie spätnej väzby bolo cez žeravenie tejto elektrónky a tým sa menilo anódové napätie audiónu. Prijímač mal rozsah 1,5 až 30 MHz a v pôvodnej verzii KUB-4 bol použitý aj na ľadoborci Čeljuskin pri záchrane Nobileho výpravy v r. 1934 a v r. 1937 na driftujúcej polárnej stanici Severný pól-1. V oboch prípadoch bol obsluhovaný Ernestom Krenkelom (RAEM). Prijímač napriek svojej zastaralosti bol vyrábaný v modernizovanej verzii KUB-4M ešte v r. 1941 a používal sa už hlavne v civilných rádiových sieťach a na nižších stupňoch spojenia.

Po pomerne dlhom úvode sa dostávame konečne k jednotlivým rádiostaniciam. Najskôr rádiostanice predvojnového obdobia. Z r. 1933 pochádza KV rádiostanica 11-AK, ktorá bola montovaná v dvoch špeciálnych nástavbách automobilov. Slúžila pre spojenie štábov vyšších vojenských telies. Vysielač 1000-KV-1 s výkonom 500 W pracoval v rozsahu 2,5 až 4,5 MHz a prevádzkami A1 a A3. Neskôr bola modernizovaná na typ 11-AK-M1 zvýšením výkonu na 1000 W a rozšírením rozsahu na 2,5 až 7,5 MHz. Prijímač rádiostanice bol 5RKU s rozsahom 2,5 až 10 MHz v dvoch podrozsahoch. Bol to priamozosilňujúci prijímač typu 2-V-2. Rovnaký prijímač bol používaný aj v menšej, 20 W rádiostanici 5-AK. Tá bola montovaná do automobilov, dvojkoľosových prívosov a „tačaniek“ – ľahkých 4-koľosových koňmi ťahaných vozov. Používala sa v plukových sieťach pechoty a jazdeckta (obr. 3). V ľavej časti sa nachádza prijí-



Obr. 1. Prijímač KUB-4M



Obr. 4. Rádiostanica 6-PK

mač. Prevádzky boli opäť A1 a A3. Prenosná rádiostanica tohto obdobia bola 6-PK. Išlo o rádiostanicu veľmi jednoduchej konštrukcie s výkonom do 1 W. Pracovala v rozsahu 3,25 až 5,25 MHz prevádzkami A1 a A3 (obr. 4).

Týmto vlastne skončili konštrukcie „starej“ školy, teda zariadenia konštruované s použitím nožičkových, sklenených elektrónok. V ďalšom bude nasledovať popis konštrukcií „americkej“ školy.

(Pokračovanie)

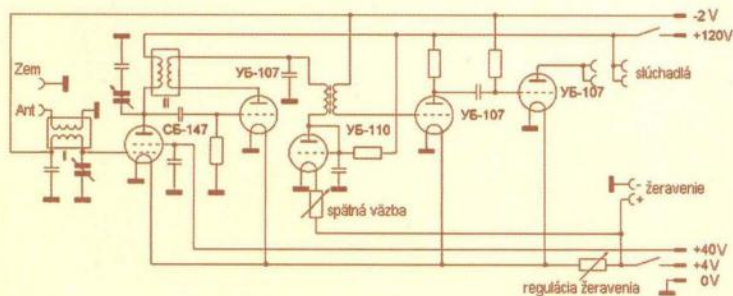
OM3CU

## Pramene

<http://www.rkk-museum.ru>

<http://forum.qrz.ru> so súhlasom RA3CC

Obr. 3. (Vpravo) Rádiostanica 5-AK



Obr. 2. Schéma zapojenia prijímača KUB-4M



# Německá vojenská bezdrátová komunikační technika v letech 1930 – 1945

(Pokračování)

Pro export vyráběl Telefunken přijímač Ae 1020a s rozsahem 0,2 – 15 MHz. Prakticky ve stejné době – od r. 1935 vyráběla přenosné přijímače i firma Lorenz s označením EO 5078. To byl superhet osazený sedmi elektronkami MF6 (ev. RV2,4P700) ve dvou provedeních: s rozsahem 1,37 – 25,3 MHz nebo 0,1 – 7,82 MHz. Armáda první typ používala pod označením Fu.H.E.u1 také jako zaměřovací přijímač s doplňky jako FuPeil.E.c1 (obr. 5), druhý typ využívalo hlavně námořnictvo. Firma Lorenz ke svému vysílači s výkonem 8 W vyvinula také obdobu přijímače Torn.E.b. s rozsahem 0,1 – 10,3 MHz nesoucí označení EO 3426. I u toho byl použit osmipolohový karusel pro přepínání rozsahů.

## Lehčí komunikační soupravy

Mimo přístrojů dosud popsaných se však vyráběly i soupravy, jejichž vysílač měl menší výkon – obvykle od 0,1 do 3 W. Již v r. 1931 to byla od firmy Lorenz souprava nesoucí označení O, od roku 1933 označovaná jako LSE 2/203 nebo Torn.Fu.a. Obsahovala krystalem řízený vysílač a přijímač s rozsahem 3,0 – 6,67 MHz. Souprava se využívala i pro civilní účely. Zvláště pro berlínskou olym-

piádu v r. 1936 a na požadavek tehdejší policie byla urychleně vyvinuta souprava LSE 2/202 (Torn.Fu.a2). Souběžně s tímto typem bylo vyvinuto několik dalších s rozsahu vysílače 3 – 5 MHz (Torn. Fu.b1 – obr. 9), 1,5 – 2,3 MHz (Torn.Fu.c), Torn.Fu.f 4,5 – 6,66 MHz, přičemž jejich přijímače měly rozsah o něco větší. Vysílač byl osazen elektronkami RV2P800 a RL2P3, přijímač v superhetovém zapojení obsahoval 6 elektronek RV2P800. Vlastní souprava přijímač-vysílač vážila 20 kg, stejnou hmotnost mělo i příslušenství. Obsluha mohla komunikovat přímo, nebo soupravu ovládat prostřednictvím polního telefonního přístroje až do vzdálenosti 50 m. V příslušenství byla také krátká anténa ze čtyř tyček délky 0,4 m, delší skládaná z osmi dílů, nebo bylo možné použít drátovou anténu 12 – 15 m. Pro dobré přizpůsobení se používal anténní člen Abst.a (obr. 8), obsluha byla „dvoumužná“.

Ani to však nebyly přístroje snadno přenosné a firmy dostaly úkol vyvinout ještě menší a lehčí soupravu, takže se zkusila řada dalších variant (až po Torn.Fu.m), které již byly osazovány elektronkami RV2,4P700 a RL2,4P3. Zlom nastal teprve v r. 1942, když byly vyvinuty ve vojenském vývojovém středisku (Heereswaffenamt) dvě verze – Torn.Fu.g (obr. 7) s rozsahem 2,5 – 3,5 MHz



Obr. 5. Zaměřovací souprava typu FuPeil.E.c1 ze sbírky LA6NCA. Nahoře otočná soustava antén, pod ní anténní přepínač, přijímač AE1020, skříňka se zdroji a příslušenstvím



Obr. 6. Torn.Fu.G.i



Obr. 7. Torn.Fu.g (nahore)



Obr. 8. anténní člen Abst.a ke stanicím Torn.Fu

a Torn.Fu.t 2,15 – 3,0 MHz s výkonem 1,5 W vážící „pouhých“ 18 kg, umožňující komunikaci do vzdálenosti kolem 25 km A1, nebo 12 km provozem A3. Ty se již dostaly do sériové výroby a byly jimi vybavovány pancéřové jednotky, používaly prutové antény dlouhé asi 1,5 m. Vzhledem mi připomínají u nás v poválečné době používané R105.

Ani firma Lorenz nezahálela a vyvinula soupravu Torn.Fu.G.i (obr. 6) pro rozsah 1,8 – 3 MHz s vysílačem osazeným elektronkami RL2,4P2 a RL4,2P6 s výkonem 3 W a přijímačem s devíti RV2,4P700. Vysílač používal speciální úsporné zapojení modulátoru (Hapug Schaltung), kdy se s úrovní modulace mění také úroveň nosné. Používaly je např. oddíly horských myslivců. Dalším vyvinutým typem byl Torn.Fu.p, ten se ale nevyrobil, neboť byl překonán jinými typy.

(Pokračování)

QX



Obr. 9. Souprava Torn.Fu.b1



# Z RADIOAMATÉRSKÉHO SVĚTA

## Mistrovství dětí a mládeže ČR v radioelektronice v květnu 2012

Stejně jako v minulých 34 letech i letos proběhne Mistrovství dětí a mládeže ČR v radioelektronice. Tuto technickou soutěž vyhlašuje Český radioklub a organizuje ji ve spolupráci s dalšími subjekty. Soutěž probíhá v postupových kolech: školní a okresní kola v březnu, krajská kola v dubnu. Postupující z krajských kol se sejdou na **Mistrovství ČR 18. – 20. května 2012**.

Organizátorem 35. ročníku Mistrovství dětí a mládeže ČR v radioelektronice je Dům dětí a mládeže Hradec Králové. Platí propozice schválené Radou ČRK od 1. 1. 2010.

Propozice najdete na <http://www.crk.cz/CZ/SOUTDETIRADIOC> (konec stránky) nebo je každému, kdo si požádá, zašlu v elektronické podobě. Kontaktní osobou pro Mistrovství ČR je Vladislav Zubr, OK1IVZ. Bližší in-

formace každému podají i organizátoři krajských postupových kol (viz zelená tabulka). K nim se mohou přidat další radiokluby, radioamatéři a nadšenci, kteří se k mládeži pobíhají s páječkou po dálně nějakým vhodným způsobem hlásí.

Vojtěch Horák, OK1ZHV  
(V.Horak@barak.cz)



Test znalostí z radioelektroniky

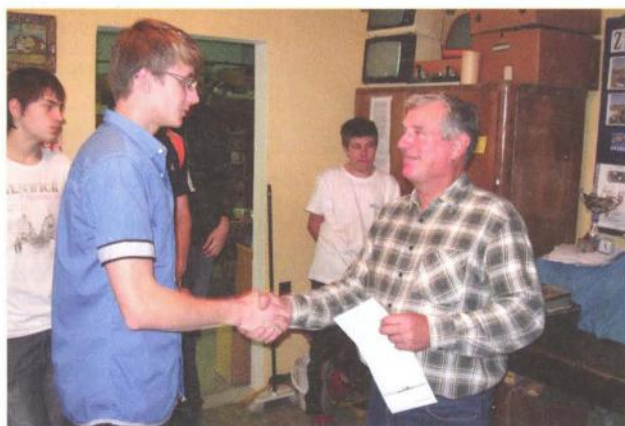
Stanice techniků DDM	František Pechlát, Pod Juliskou 2, 160 00 Praha 6
Stanice techniků Radioklub OK1KVK	Zdeněk Šrámek, U Zimního Stadionu 1, 370 00 České Budějovice
DDM	Martin Moravec, SVČ DM, Sady Pětatřicátníků 3, 301 24 Plzeň
YMCA	Sedlecká 5, 360 10 Karlovy Vary
DDM	Eva Klasová, Havířská 10, 418 01 Bilina
DDM Alfa	(areál TUL-budova E), Studentská 1292/4, 460 01 Liberec
DDM	Vladislav Zubr, Rautenkrancova 1241, 500 03 Hradec Králové
DDM	Ondřej Koloničný, Družby 334, 530 09 Pardubice
DDM	Roman Chelík, Brněnská 7, 682 01 Vyškov
DDM	Karel Vrtěl, Tř. 17. listopadu 47, 771 74 Olomouc
Radioklub OK2KYZ	P. O. Box 87, 741 01 Nový Jičín



## Ze soutěže mládeže v radiotechnice v Mikulově



Záběr z průběhu soutěže...



... a z vyhlášení výsledků a vítězů

Členové radioklubu OK2KFJ v Mikulově uspořádali dne 27. 11. 2011 v radioklubu klubovní radiotechnickou soutěž mládeže – členů radioklubu.

Účelem soutěže je, aby se školní mládež – členové radioklubu, naučili samostatně rozhodovat a připravovat na vlastní samostatnou činnost.

Každý soutěžící měl možnost zvolit si elektronické zapojení podle svého věku a schopnosti a připravit si plošný spoj pro zvolené zařízení. Prvním úkolem bylo podle zvoleného elektrického schématu si sám nakreslit na desku plošného spoje (kupředu) propojovací cesty, tvořené měděnou fólií, a tuto desku plošného spoje správně vylepat v leptací lázni a následně vyvrtat otvory vrtáčkem o průměru 0,8 až 1 mm pro připájení drátěných přívodů součástek.

Dále si soutěžící museli připravit pro zvolené zapojení potřebné součástky tak, aby při vlastní soutěži byli již schopni v zadaném časovém limitu si toto zapojení zkompletovat (připájet součástky) a uvést do provozu.

Pro předem zvolená zapojení se součástky nakoupily v prodejních GES a GM v Brně nebo v Praze, příp. se použil materiál, který je v radioklubu k dispozici. Účelem těchto sou-

těží je naučit školní mládež samostatně se rozhodovat a snažit se řešit dle svých znalostí zvolené zadání. O to je pak u soutěžících větší radost ze samostatně vytvořeného díla a nakonec z funkčnosti zvoleného výrobku, kterým udělají radost nejen sobě, ale případně i celé svojí rodině.

Průběh soutěže byl následující: Každý soutěžící dostal před praktickou stavbou teoretický test, sestávající z deseti otázek z elektrotechniky, číslicové techniky a Ohmova zákona, na které museli soutěžící do dvaceti minut správně odpovědět, případně správně vypočítat zadaný příklad.

Po odevzdání testu byla zahájena konstrukční činnost – zhotovení výrobku a jeho uvedení do provozu. Na to měli soutěžící časový limit celkem dvě a půl hodiny.

Po ukončení daného časového limitu se u zhotovených výrobků hodnotila kvalita pájení součástek, uspořádání součástek a čitelnost jejich hodnot, elektrické zapojení po bezpečnosti stránce dle norem, celkový vzhled a funkčnost výrobku.

Nakonec byli všichni soutěžící odměněni bohatým souborem cen ve formě různého nářadí, pomůcek pro další činnost – novou tisíkárnou s kopírkou, měřicími přístroji, odsá-

vačkami na cin, psacími potřebami, různými komponenty do počítačů a dalším materiálem.

Všichni soutěžící byli se soutěží i s cenami velice spokojeni a domů si odnášeli svoje funkční výrobky – jako domácí hlasité telefon, nabíječky nebo regulovatelné síťové zdroje pro napětí od 1 V do 12 V, pro široké využití v domácnosti nebo pro napájení různých elektronických zařízení, jako jsou časový spínač, alarm, tranzistorové přijímače atd.

Další naše klubovní soutěž se bude konat v dubnu příštího roku v rámci přípravy na blížící se květnové Mistrovství ČR dětí a mládeže v radioelektronice (viz článek nahoře).

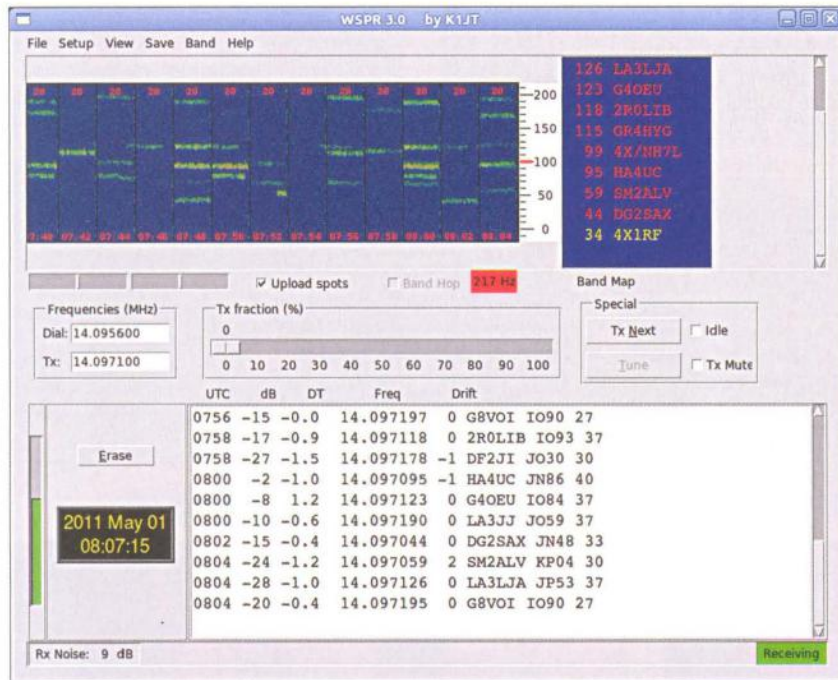
Výsledky listopadové soutěže: Kategorie starší žáci (do 18 let): 1. S. Bartoš, 2. M. Svoboda, 3. K. Herman; mladší žáci (do 12 let): 1. M. Hnilica, 2. M. Dudáš.

Případní zájemci z řad školní mládeže o činnost v radioklubu od 10 let se mohou přihlásit v radioklubu každou neděli dopoledne od 9 h na adrese: Radioklub OK2KFJ, Brněnská 65, 692 01 Mikulov, nebo na dále uvedeném telefonním čísle:

Jiří Sekereš, OK2PKB, Sadová 1, Mikulov, tel.: 732 149 906 – vedoucí radioklubu v Mikulově

## WSPR – sledování podmínek šíření online

(Dokončení)



Obr. 4. Obrazovka programu WSPR

Nyní je vaše WSPR stanice připravena k provozu. Je vhodné začít na pásmu 30 m (10,1 MHz), které je mezi uživateli WSPR nejoblíbenější. Naladíme kmitočtet 10,138 700 MHz a tento kmitočtet také zadáme do pole *Dial* v rámečku *Frequencies (MHz)*. Transceiver přepneme na druh provozu USB.

Pomocná kalibrační stupnice vpravo od „vodopádového“ displeje uvádí kmitočtet, na který je naladěn transceiver, +1,5 kHz ±100 Hz. Znázorňuje 200 Hz široký segment pásma, který bude program WSPR monitorovat.

### Příjem

Zaškrtněte políčko *Idle* (obr. 4) a čekejte. Na začátku další sudé minuty začne WSPR přijímat. V pravém dolním rohu obrazovky (ve stavovém řádku) se zobrazí *Receiving* v zeleném poli. Příjem bude trvat 1 minutu a 54 sekund, během kterých se zdánlivě nic neděje. Poté se zobrazí *Waiting to start* a několik sekund trvající aktivita na „vodopádovém“ displeji. Pokud se objeví slabé horizontální stopy, jde patrně o signály dalších uživatelů WSPR, které mohou být zachyceny a dekodovány. Ty se pak zobrazí v tzv. band mapě a v seznamu (logu) v dolní polovině obrazovky. Jakmile čas dosáhne 00. sekundy, WSPR opět začne přijímat.

Není-li zachycen žádný signál, podívejte se na „vodopádový“ displej. Je-li zobrazen slabý šum, pravděpodobně nevysílá žádná stanice. Je-li displej zcela bez signálu, je pravděpodobně problém s propojením nf výstupu transceiveru se

zvukovou kartou počítače, případně s nastavením směšovače (mixu) zvukového subsystému. Vzhledem k tomu, že se údaje na „vodopádovém“ displeji obnovují každé 2 minuty, je k ověření funkce zapotřebí určité trpělivosti. Zkoušení lze urychlit pomocí jiného programu pro datové druhy provozu, který umožní okamžitou kontrolu bez uvedeného dvouminutového čekání.

Je-li funkce přijímací cesty ověřena, lze zaškrtnout políčko *Upload spots*. Přijaté spoty tak budou ukládány do centrální databáze na WSPRnet.org a budou také zobrazeny v mapě. Tím lze získat informace o aktuálních podmínkách šíření.

Band mapa ve spodní části obrazovky je tvořena seznamem stanic s uvedením času, síly signálu, časového offsetu (v sekundách), frekvence, kmitočtového driftu (Hz/min.) a vlastního obsahu zprávy, která se skládá z volací značky, lokátoru a výkonu.

### Vysílání

Nyní můžeme ověřit naše vysílání MEPT. Nejprve je nutné zadat vysílací kmitočtet v poli *Tx* v rámečku *Frequencies (MHz)*. Volit lze kmitočty mezi 1400 až 1600 Hz nad kmitočtem, zobrazeným

na stupnici transceiveru. Nastavení se provádí kliknutím do oblasti displeje. Klikneme-li do spodní části displeje, je zvolen kmitočtet poblíž dolní hranice (1400 Hz), kliknutím do horní části displeje nastavíme kmitočtet poblíž horní hranice (1600 Hz).

WSPR vysílá a přijímá ve dvouminutových časových segmentech. Posuvníkem, označeným *Tx fraction (%)* nastavíme délku vysílání v procentech, vztáženou k trvání přijímacího cyklu. Výchozí hodnotou je 20 %, což je vyhovující kompromis pro průměrnou aktivitu. WSPR tedy bude vysílat jednou za 10 minut, po zbylý čas bude přijímat. Sekvence přepínání T/R je volena náhodně, což zvyšuje pravděpodobnost zachycení jiných WSPR stanic. Je-li aktivita WSPR stanic nižší, lze posuvníkem zvolit častější vysílání. Pokud používáte WSPR pouze pro příjem, nastavte posuvník *Tx fraction (%)* na 0.

Je-li WSPR v klidovém režimu (*Idle*), můžete použít tlačítko *Tune* pro ladění. Vyslání je krátký nemodulovaný signál, jehož trvání lze nastavit posuvníkem *Tx fraction (%)*.

Po ukončení vysílacího cyklu počkejte několik sekund a zkontrolujte spoty v centrální databázi. Pokud byl váš signál zachycen a správně dekodován, objeví se zde záznam o vaší aktivitě.

### Práce na dalších pásmech

V současné době se hlavní aktivita WSPR odehrává v pásmu 30 m (tedy 10,1 MHz). Toto pásmo také bude nevhodnější pro začátky, odsud lze rovněž očekávat největší množství spotů.

Sledovat šíření na jediném pásmu by však nemělo příliš smysl. Praktický přínos WSPR může být např. ve sledování grayline šíření na „dlouhých“ pásmech, hledání otevřených nejvyšších pásem KV (15, 12 a 10 m) či sledování sporadické vrstvy E na 6 a 2 m. Úspěch je samozřejmě podmíněn dostatečným počtem stanic na WSPR frekvencích. Doporučené WSPR frekvence uvádí tab. 1.

Může se stát, že na některých pásmech nebude žádná aktivita na WSPR. Zde je vhodné zkontrolovat centrální databázi a mapu na WSPRnet.org. Pokud WSPR nezaznamená žádný signál ve 2minutovém segmentu, odešlo do centrální databáze detaily přijímací stanice.

Pásmo [m]	Kmitočtet na stupnici [MHz]	Vysílací kmitočtet [MHz]
160	1,836 600	1,838 000 – 1,838 200
80	3,592 600	3,594 000 – 3,594 200
60	5,287 200	5,288 600 – 5,288 800
40	7,038 600	7,040 000 – 7,040 200
30	10,138 700	10,140 100 – 10,140 300
20	14,095 600	14,097 000 – 14,097 200
17	18,104 600	18,106 000 – 18,106 200
15	21,094 600	21,096 000 – 21,096 200
12	24,924 600	24,926 000 – 24,926 200
10	28,124 600	28,126 000 – 28,126 200
6	50,293 000	50,294 400 – 50,294 600
2	144,488 500	144,489 900 – 144,490 100

Tab. 1. Doporučené WSPR frekvence (v době psaní článku nebyly k dispozici doporučené kmitočty pro pásma 4 m a UHF)

# Zkrácená kapacitně laděná vertikální anténa pro pásmo 160 m

A	B	C	D	E	F	G	H	I	J	K
20.21m	20.21m	17.98m	17.98m	spoj s C1	15.54m	15.54m	koax	4.87m	18.5m	radiálův

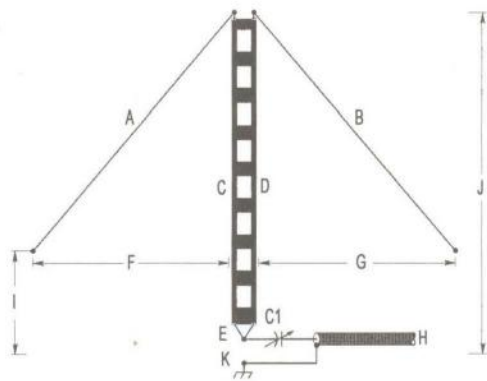
Tab. 1. Rozměry jednotlivých částí antény podle obr. 1



V dubnovém čísle časopisu QST 2010 popsal Paulo R. F. Ferreira, PY3PR, velice jednoduchou a poměrně lehce zhotavitelnou anténu pro pásmo 160 m. Uvádím zde velice zkráceně popis jeho antény pro další zájemce, kteří pracují na pásmu 160 metrů a nemají moc prostoru ke stavbě velkých anténních systémů.

Jeho konstrukce používá jako nosný prvek sice silný dřevěný stožár, ale dnes jsou k dispozici již poměrně pevné fiberglasové kónické trubky, které by se mohly použít k tomuto účelu. Na obr. 1 je náčrt konstrukce této antény. V tab. 1 jsou veškeré rozměry jednotlivých dílů konstrukce. Na nekovovém stožáru je uchycena 450ohmová napájecí linka. Nahoře jsou z každého jejího konce spuštěny zářiče kapacitního klobouku o příslušné délce a o průměru asi 1,3 mm. Měly by být nataženy tak, aby svíraly mezi sebou úhel 45 stupňů a končily nad zemí dle rozměrů

v tab. 1. Tyto vodiče by měly mít také určitou vzdálenost dle tab. 1 od vodičů 450ohmové linky. Tuto linku je možno též nahradit otevřeným napájecím o příslušné impedanci. Oba vodiče napájecí linky jsou dole u země spojeny a připojeny na jeden vývod otočného kondenzátoru. Druhý vývod kondenzátoru je připájen ke střednímu vodiči koaxiálního kabelu RG 213, který slouží k napájení celé antény. Opletení koaxiálního kabelu je uzemněno a k němu se připojují zemní protiváhy. Paulo doporučuje nejméně 32 až 60 těchto radiálů o délce alespoň 1/4 lambda. Čím budou ale delší, tím lepší bude mít anténa vyzařování. Kondenzátor, který použil, měl kapacitu kolem 10 až 1500 pF/7kV. Tato pevnost je nutná, pokud se používá větší výkon, neboť v tomto bodu napájení se vytváří největší napětí. Délka napájecího kabelu už není kritická. Na dalších obrázcích jsou průběh ČSV a vyzařovací diagramy. Aby anténa fungovala správně, je zapotřebí použít k jejímu nastavení anténní analyzátor, třeba typ MFJ-259B nebo podobný. Paulo



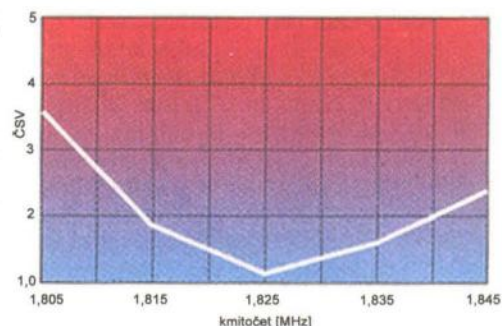
Obr. 1. Náčrt konstrukce antény

s touto jednoduchou anténou navázal mnoho spojení v pásmu 160 m se vzdálenými stanicemi z celého světa.

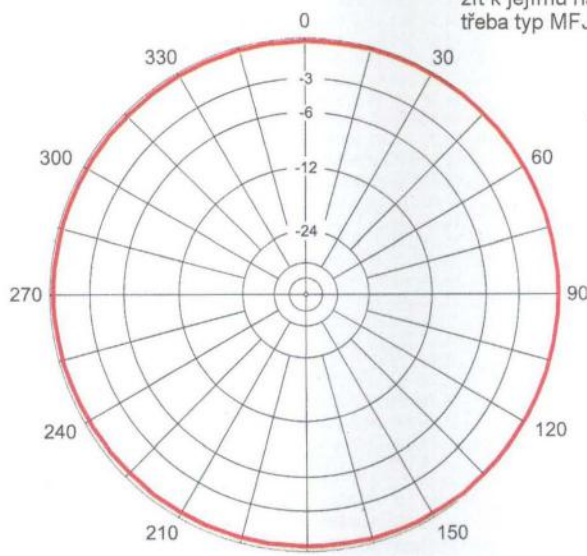
OK2JS

## Pramen

[1] Ferreira, Paulo, Renato, F., PY3PR: A shortened Capacitive Loaded 160 Meter Vertical Antenna. QST, April 2010.

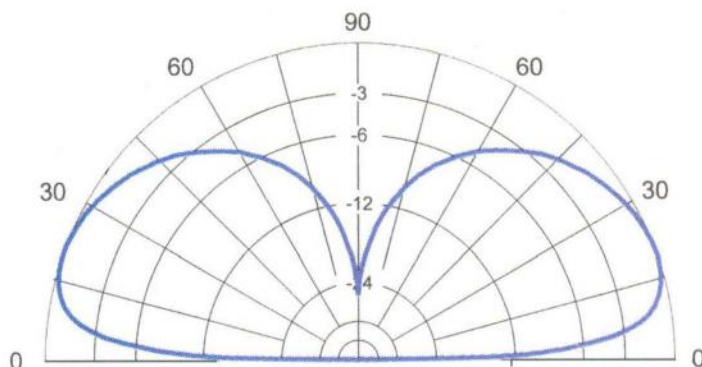


Obr. 2. Průběh ČSV v závislosti na kmitočtu



Max. Gain = 3.53 dBi Freq. = 1.825 MHz

Obr. 3. Vyzařovací diagram v horizontální rovině (vlevo)



Obr. 4. Vyzařovací diagram ve vertikální rovině

Kliknutím na *Update* lze získat přehled o tom, kdo monitoruje zvolené pásmo. Můžeme zkusit vysílání, a pokud bude náš signál zachycen, objeví se v databázi.

Pro zkoušky a nastavování antén lze domluvit sked na stránce Chat/Sked na WSPRnet.org.

## Závěr

WSPR je vynikající pomůckou pro studium podmínek šíření na KV a VKV pásmech. Je také velmi efektivní metodou zpracování okamžité či krátkodobé předpovědi. Jeho využití během praktického provozu (CW, SSB, RTTY, DIGI) je však omezené. Nejlépe využitelné výsledky totiž získáme, pokud připojíme transceiver pro WSPR k anténám, které běžně

používáme při práci běžnými druhy provozu. Použitím náhražkových antén získáme poněkud zkreslené výsledky. Použití WSPR během závodů bude prakticky vyloučené, protože během závodů se vyskytuje hustý provoz i v segmentech, používaných pro WSPR. Hrozí také nebezpečí zničení vstupů WSPR transceiveru velkým výkonem vlastního CW/SSB/RTTY zařízení. WSPR nám neposkytne ani obrázek o skutečné aktivitě na pásmech, zde bude mnohem efektivnější využití „reverzních majáků“ (Reverse Beacon Network – RBN) a DX clusteru. Pomocí WSPR sice získáme informace o otevření do určitého směru, ale pokud zde nebude žádná aktivita běžnými druhy provozu, nebudou tyto informace nijak využitelné.

## Odkazy

- [1] Stažení programu a dokumentace: <http://physics.princeton.edu/pulsar/K1JT/wspr.html>
- [2] Hlavní stránka WSPRnet: <http://wsprnet.org/drupal/>
- [3] Mapa: <http://wsprnet.org/drupal/wsprnet/map>
- [4] Centrální databáze: <http://wsprnet.org/olddb?sort=Call>
- [5] Program pro synchronizaci času: <http://www.thinkman.com/dimension4/download.htm>
- [6] Janata, Jaroslav, OK1CJB: Izolační člen pro digimódy – 3: [http://www.ok1cjb.cz/index.php?option=com\\_content&view=article&id=480:3-140&catid=21:digi-mody&Itemid=3](http://www.ok1cjb.cz/index.php?option=com_content&view=article&id=480:3-140&catid=21:digi-mody&Itemid=3)

RR

## Nové CubeSaty – RAX-2

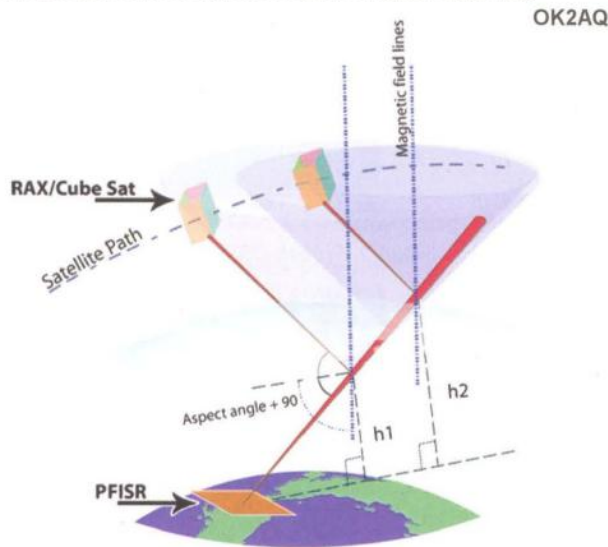
Ze základny Vandenberg AFB bylo 28. 10. 2011 vyneseno raketou Delta II několik CubeSatů. Asi nejvýznamnější z nich je RAX-2, který je rozměru 3U (10 x 10 x 30 cm) a slouží k výzkumu šíření FAI (Field Alignment Irregularities), zvláště v oblasti severního pólu. Postavili jej stejně jako RAX-1 (RAX – Radio Aurora Explorer) studenti a profesori na Univerzitě v Michiganu. Tato mise je navržena k dálkovému měření nepravidelnosti geomagnetického pole s využitím pozemních radarů, především nekohorentního radaru v Poker Flats na Aljašce, označovaného PFISR. Základní schéma experimentu je znázorněno na obr. 1. Měřená fyzikální data spolu s palubní telemetrií družice vysílá na kmitočtu 437,345 MHz, 9k6 bps GMSK, AX25 v krátkých bursotech s časovými rozestupy dvacet sekund (obr. 2).

Na základě vyhodnocení zpoždění a intenzity signálů radaru lze sestavit 3-D model odrazů v dané oblasti (obr. 3).

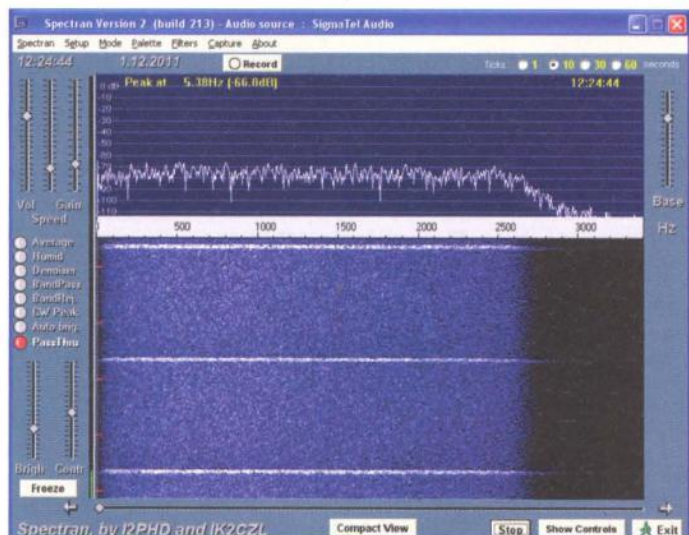
Společně byly ještě vypuštěny tři standardní CubeSaty: AO-71, vysílající na 437,475 MHz CW, MCubed na kmitočtu 437,485 MHz 9k6 bps GMSK a Explorer 1 Prime Unit 2 vysílající na 437,505 MHz 1k2 bps AFSK. Posledně jmenovaná družice měří radiaci ve Van Allenových pásech.

### Reference

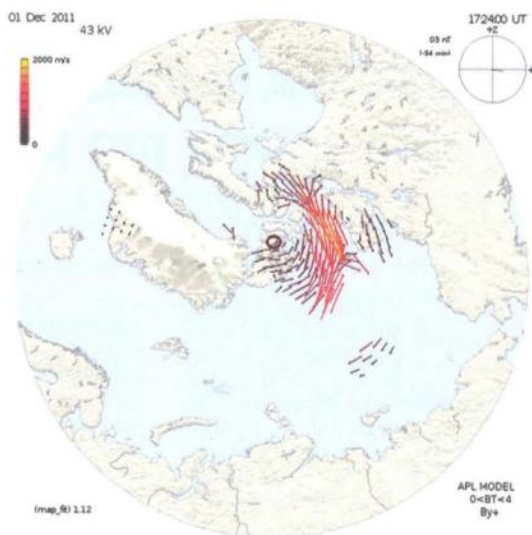
- <http://rax.engin.umich.edu/>
- <http://rax.sri.com/index.html>
- <http://www.amsat.org/amsat-new/satellites/status.php>



Obr. 1. Měření rozptýleného signálu FAI družicí RAX



Obr. 2. Krátké bursty signálu družice RAX-2, zachycené v Brně

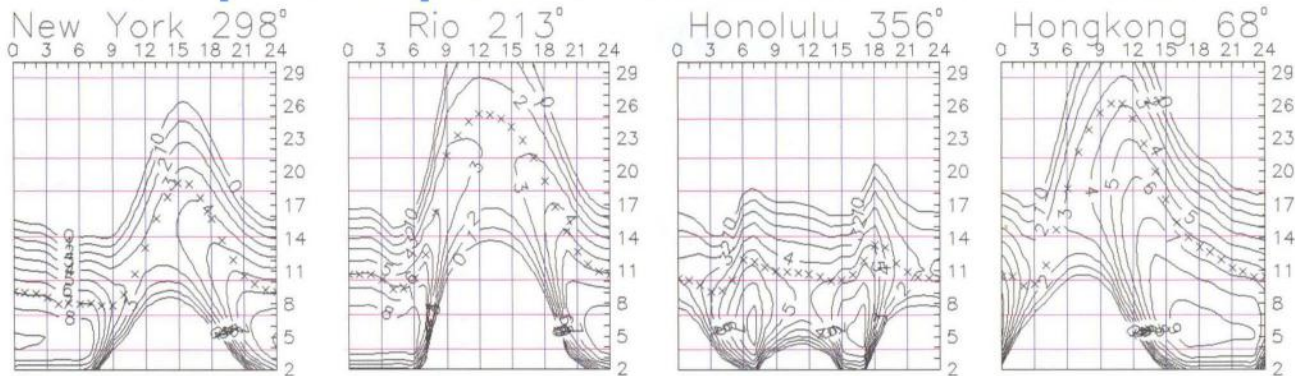


Obr. 3. Vytvořený model odrazu signálů radaru

### Kepleriánské prvky:

NAME	EPOCH	INCL	RAAN	ECCY	ARGP	MA	MM	DECY	REVN
AO-07	11362.96225	101.40	1.84	0.0012	258.61	101.37	12.53587	-2.7E-7	69859
FO-29	11362.84329	98.57	121.03	0.0351	112.92	250.94	13.52975	3.0E-8	75878
SO-33	11362.72650	31.43	223.90	0.0353	143.21	219.33	14.28632	6.6E-6	68811
RS-22	11363.73806	97.82	208.16	0.0015	85.92	274.37	14.63847	6.7E-6	44094
VO-52	11362.64827	97.62	36.86	0.0025	243.65	116.20	14.82569	9.1E-6	35955
SO-67	11363.76300	97.26	40.46	0.0004	63.73	39.33	15.22411	4.4E-5	12667
HO-68	11363.27461	100.39	60.90	0.0008	137.86	222.31	13.16292	-4.4E-7	9790
UO-11	11363.72049	97.98	59.54	0.0008	222.45	137.61	14.80254	5.4E-6	49471
AO-16	11362.90326	98.41	306.26	0.0010	310.79	49.24	14.32001	1.4E-6	14548
LO-19	11363.86065	98.37	310.81	0.0011	298.64	61.37	14.32223	1.5E-6	14580
AO-27	11362.82232	98.56	303.48	0.0009	66.01	294.21	14.29415	3.3E-7	95199
IO-26	11363.83553	98.55	304.90	0.0010	57.02	303.19	14.29685	1.4E-6	95226
GO-32	11363.84698	98.34	346.12	0.0002	74.15	285.99	14.23249	8.1E-7	69979
NO-44	11363.84793	67.05	199.34	0.0005	277.83	82.23	14.29744	2.5E-6	53489
SO-50	11362.72493	64.56	96.39	0.0084	281.73	77.43	14.72126	1.1E-5	48472
CO-55	11362.53507	98.70	8.41	0.0010	1.93	358.19	14.20935	3.4E-6	44051
CO-57	11363.49540	98.71	8.62	0.0010	5.53	354.60	14.20699	2.6E-6	44059
AO-51	11363.46372	98.12	331.92	0.0083	197.86	161.95	14.40879	3.4E-6	39418
CP3	11363.50039	97.89	16.32	0.0101	294.38	64.70	14.52820	9.2E-6	24919
CO-65	11362.70445	97.83	62.66	0.0014	262.04	97.92	14.82565	1.3E-5	19835
PRISM	11363.80785	98.15	135.70	0.0020	127.73	232.57	14.82948	3.5E-5	15849
SOHLA-1	11362.96990	98.09	111.01	0.0006	219.55	140.52	14.69824	4.0E-6	15709
TISAT-1	11363.81969	98.08	73.86	0.0015	8.81	351.33	14.81354	2.0E-5	7926
STUDSAT	11362.88318	98.09	73.02	0.0013	358.12	1.99	14.82683	5.7E-5	7912
OOREOS	11330.25217	71.97	41.34	0.0020	337.47	22.56	14.77385	2.2E-5	594
FO-69	11362.47957	71.97	330.80	0.0019	278.47	81.43	14.76870	8.2E-6	1074
FO-70	11362.52442	71.97	331.04	0.0019	275.62	84.27	14.76627	7.9E-6	1064
NOAA-10	11362.71853	98.60	29.67	0.0013	19.61	340.55	14.27516	3.5E-7	31540
NOAA-11	11362.80699	98.74	86.51	0.0011	357.46	2.66	14.14946	-4.0E-8	20027
NOAA-12	11362.99114	98.74	20.36	0.0014	342.38	17.69	14.25468	9.4E-7	7216
MET-3/5	11362.68901	82.56	273.34	0.0014	34.77	325.43	13.17034	5.1E-7	97932
MET-2/21	11362.56030	82.55	168.67	0.0021	274.65	85.23	13.83672	-2.0E-7	92543
OKEAN-4	11363.87293	82.54	190.37	0.0021	190.05	170.03	14.83489	9.5E-6	92955
NOAA-14	11362.93336	98.84	83.52	0.0010	85.98	274.25	14.13866	7.4E-7	87659
NOAA-15	11362.73705	98.67	346.42	0.0010	245.82	114.20	14.25011	2.3E-7	70843
RESURS	11363.90209	98.31	356.23	0.0002	37.93	322.20	14.24266	4.9E-7	70016
FENGYUN1	11362.90504	98.83	320.03	0.0021	131.05	229.25	14.09128	3.9E-6	65048
OKEAN-0	11362.93683	97.91	324.35	0.0002	70.85	289.29	14.74032	5.9E-6	66934
NOAA-16	11362.71234	99.12	37.00	0.0010	202.95	157.12	14.12691	3.5E-6	58082
NOAA-17	11362.90647	98.36	33.44	0.0011	301.51	58.50	14.24376	3.3E-6	49437
NOAA-18	11362.96206	99.02	314.84	0.0014	277.66	82.31	14.11581	-6.1E-7	34040
NOAA-19	11362.93167	98.85	300.00	0.0014	142.62	217.60	14.11271	-1.3E-7	14885
HUBBLE	11362.92459	28.47	183.90	0.0003	36.26	323.81	15.02040	1.7E-5	98895
ISS	11363.93816	51.64	256.19	0.0024	220.33	314.68	15.58736	1.5E-4	75146
CO-58	11362.67311	97.94	231.25	0.0017	333.65	26.39	14.60416	8.9E-6	32862
FALCON	11363.91479	35.43	235.83	0.0004	327.82	32.23	15.06276	4.1E-5	26455
MAST	11362.94665	97.88	19.03	0.0093	284.68	74.41	14.53985	6.7E-6	24938
CAPE1	11362.49111	97.89	15.11	0.0101	297.87	61.24	14.52703	9.6E-6	24884
COMPASS	11362.83375	97.83	62.85	0.0014	260.56	99.40	14.83321	2.3E-5	19840
AAUSAT2	11363.64655	97.83	63.94	0.0014	257.53	102.43	14.83584	2.1E-5	19854
DO-64	11362.75986	97.84	64.52	0.0014	258.82	101.14	14.84609	4.4E-5	19843
CO-66	11362.83050	97.83	62.70	0.0015	260.14	99.82	14.82859	2.0E-5	19834
RS-30	11363.17167	82.50	41.49	0.0018	324.89	35.10	12.43019	1.0E-7	16331
TACSAT-3	11362.64978	40.45	62.01	0.0006	182.05	178.03	15.65892	7.1E-4	14735
PHARMSAT	11362.57562	40.47	63.61	0.0011	231.94	128.04	15.60762	4.4E-4	14733
HAWKSAT1	11276.79286	40.44	174.37	0.0011	274.39	85.38	16.13813	2.3E-2	13457
CP6	11247.64657	40.44	342.96	0.0003	38.01	322.22	16.41040	1.6E-1	13013
METEOR-M	11363.71242	98.68	56.03	0.0002	169.35	190.77	14.21852	3.0E-8	11837
RS-38	11363.75780	98.68	56.10	0.0004	175.57	184.55	14.22047	7.7E-7	11839
ARISSAT1	11363.87162	51.63	241.62	0.0010	209.43	150.64	16.12064	1.1E-2	2323
SRMSAT	11362.94519	19.97	315.61	0.0020	136.61	223.59	14.12012	6.2E-6	1101
JUGNU	11363.89941	19.97	311.37	0.0012	122.77	237.39	14.10104	2.6E-6	1112
RAX-2	11363.93544	101.71	321.89	0.0253	115.70	247.05	14.78301	3.0E-5	922
AURIESAT	11363.85913	101.71	321.84	0.0255	115.52	247.25	14.78534	3.2E-5	920
HRBE	11362.98089	101.71	320.56	0.0255	117.90	244.82	14.78473	3.0E-5	907

# Předpověď' podmínek šíření KV na únor



Budoucí výrazně větší výkyvy sluneční aktivity marně čekají ti, kteří věří na katastrofické scénáře v souvislosti se současným koncem několika cyklů Mayského kalendáře, včetně nejdelšího, k čemuž dochází každých 6 832 800 dnů. Novinář velmi oblíbené datum 21. 12. 2012 je sice v souladu s Cimrmanovým teorémem, podle nějž by významné události měly mít dobře zapamatovatelná data, ale to je prakticky vše. Při porovnání historických událostí se jako nejpravděpodobnější jeví datum 14. 12. 2116, viz *Astronomische Nachrichten* 4 (2008) str. 426 až 436 – takže máme čas...

Zdroje pravidelných předpovědí uvádějí pro únor následující čísla: SWPC  $R = 80,6 \pm 7$ , IPS  $R = 78,9$  a SIDC  $R = 100$  s použitím klasické metody a  $R = 88$ , získané metodou kombinovanou. Pro naše potřeby použijeme číslo skvrn  $R = 88$ , resp. sluneční tok  $SF = 135$  s.f.u. V přehledu vývoje je na řadě nejprve zlepšení a poté zhoršení

podmínek šíření KV během mírného zvýšení geomagnetické aktivity 29. 11. a 30. 11. vlivem příchodu částic od předchozích slunečních erupcí a k tomu navíc průchodem Země rozhraním sektorů mezplanetrárního magnetického pole (rotujícího spolu se Sluncem). Prosincový vývoj byl většinou klidný, přesto se podmínky šíření zvolna zhoršovaly. Vysvětlení je prosté – sluneční radiace klesala, délka dne také a stav ionosféry nad severní polokoulí Země tomu odpovídal. Větší sluneční erupce nevznikly, a i když Země párkrát zasáhla oblaka slunečního plazmatu, neměla potřebnou energii k vyvolání poruch. Očekávaný pokles sluneční aktivity koncem loňského roku se mírně zpozdil, což patrně znamená i opoždění očekávaného jarního vzestupu.

Meteorický roj Kvadrantid vletěl do zemské atmosféry s přesností švýcarského vlaku a tradičně nás potěšil maximem ZHR = 77 dne 4. ledna oko-

lo 06.00 UTC. Následný vzrůst aktivity sporadické vrstvy E byl znát částečně již téhož dne a o poznání více 5. – 6. ledna.

Únorové podmínky šíření KV čekáme lepší než lednové, ale i tak se bude desítka otvírat spíše jen do jižních směrů, zatímco podél rovnoběžek bude lépe použitelná patnáctka, při krátkodobých zlepšeních i pásmo 24 MHz, zatímco v opačném případě nejvýše 18 MHz. Dolní pásma na tom budou lépe zejména na trasách z větší části procházejících nad severní polokoulí Země.

Tradičně končíme indexy aktivity za prosinec 2011: průměrem slunečního toku 141,3 s.f.u., čísla skvrn  $R = 73,0$  a geomagnetického indexu z observatoře Wingst  $A = 4,7$ . Poslední  $R$  dosadíme do vzorce pro vyhlazený průměr a za červen 2011 dostaneme  $R_{12} = 53,2$ .

OK1HH

## Jak vypadala radioamatérská pásma ve 4. čtvrtletí roku 2011

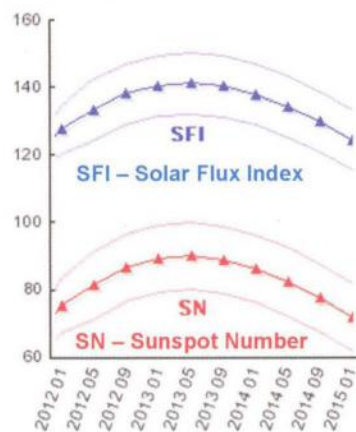
Můj předpoklad, že závěr 3. čtvrtletí začal cestu k širokému otevření horních krátkovlnných pásem, na které jsem čekali dlouhá léta, se potvrdil. Ukazují to jednak údaje stále rostoucí sluneční aktivity (ovšem „na čísla se nevyšílá“, jak tvrdí praktici), ale hlavně množství stanic, prakticky denně se objevujících i na 24 a 28 MHz, tedy pásmech, na kterých jsme v předchozích letech DX stanice neslychali, a pokud ano, tak jen na krátkou dobu. Údaje o slunečním toku se vesměs pohybovaly nad hodnotou 130 janských a to již konečně muselo být někde znát, když predikce pro maximum tohoto cyklu je  $140 \pm 10$ ! Vypadá to, že je příliš střízlivá. Na měnění se hodnoty z výseku listopadu se podívejte na obr. 1.

Hned z počátku měsíce října překvapila na 10 a 12 m stanice V63DX, nedala se zahanbit ani 3D2GC, J28AA, od druhé dekády pak bylo slyšet na všech pásmech velkou expedici T32C a již podruhé v tomto roce navštívil Angolu OM5AM – Laco, který po krátkém odzkoušení pásma 14 MHz byl k dosažení téměř denně na 28 MHz s nepřehlédnutelným signálem – tentokrát se jeho menší zesilovač s dobře vyladěnou anténou pro-sazoval na všech kontinentech. Postupně se ozvaly všechny možné prefixy z Tchaj-wanu – BU – BV – BW – BO – BP (všechny doplněné číslem 100), ve druhé polovině měsíce pak byl velký zá-

jem o polskou expedici na PJ5, ozvaly se také PJ7J, HR9/WQ7R, 3XY1D, VK9CX, A542PP, 3D2T a nemluví o desítkách dalších zajímavých stanic. I SSB část CQ WW DX contestu přinesla jisté uspokojení těm, co preferují fonický provoz. Já se do něj na chvíli také „zamotal“ a podařilo se mi navázat na 10 m 358 spojení s 82 zeměmi, což je na 100 W uspokojivý výsledek.

Pokud se listopadu týče, hned v první dekádě vystoupil sluneční tok na 181 janských, kde se držel celé 3 dny a podmínky byly vynikající. Z expedic jmenujme TU2T a 7Q7GM prakticky od počátku měsíce, PJ4T, PJ7NK, ZK2V, Z21BB... prostě bylo stále „co dělat“. Na začátku druhé dekády začala expedice ZD8ZZ, 9N7DX, v polovině TY2T, ZD8F a dlouhodobá PJ5/DL7VOG. Nelze zapomenout ani na E51MAN ze vzácných Sev. Cookových ostrovů. I poslední dekáda byla vynikající, od 7 MHz výše se objevoval VQ91JC, ZK2V krásně procházel i na 10 m, na 24 i 28 MHz byly 22. a 23. k dosažení snadno všechny kontinenty. To se již připravovaly stanice pro telegrafní CQ WW DX, takže kdo mohl, snažil se vynikající podmínky využít. Jmenujme jen 8Q7DV, V85/9M8Z, 9L0W, 3W1M, T6MO, 5R8IC... Já se čas od času také podíval na RTTY segment jednotlivých pásem a mám v deníku od začátku CQ RTTY DX contestu v září do konce listopadu 102 DXCC zemí – a to prosím bez počítače, jen s interním kóděrem/dekóděrem v K3. A v CW části CQ contestu – zase na 28 MHz 460 QSO, 126 zemí a 34 zón, vše jako obvykle jen se 100 W. Není se co divit, že server LoTW byl přehlcen vstupními údaji a pracoval zpozděně.

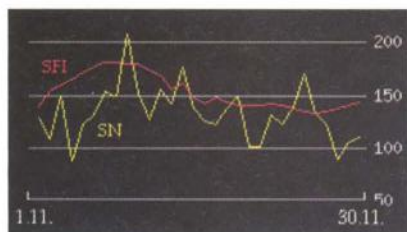
Prosinec bývá obdobím (spolu s lednem) s nejhoršími podmínkami v roce. Ovšem tentokrát jako by se předchozí výborné podmínky nerady loučily s tímto rokem, ještě o druhém víkendů pro- hlašovali amatéři z USA, že byly nejlepší od roku 2002 – a skutečně, i od nás bylo během ARRL



Obr. 2. Prognóza sluneční aktivity do konce roku 2014

10 m contestu možné navazovat spojení na západ až do oblasti W0, na východ s BY/JA/YB a pásmo bylo stanicemi doslova přeplněno. Pak ovšem nastal silný útlum a jen zřídka se desetimetrové pásmo otevřelo „na více skoků“. Jen E44PM byla pro mnohé začátečníky dobrým dárkem alespoň od 10 do 21 MHz, dovolat se na jiných pásmech byl problém. Ale nelze říci, že by na pásmech nebyly zajímavé stanice – dokonce byl o ně všeobecně menší zájem, takže spojení se snadněji navazovala i hůře vybaveným stanicím. Jmenujme jen FO/N6JA, JD1BLY, T8CW, V25RV, V5... a také 4S7KKG na PSK atp. Na Štědrý den dokonce začala expedice do Ruandy – 9X0PY (via SM bureau). Stěžovali si jen milovníci „spodních“ pásem, že jsou letos podezřele mrtvá. Ale radujte se – prognóza na příští rok (viz obr. 2) je lepší, než byla na ten letošní.

QX



Obr. 1. Sluneční tok v listopadu 2011

# Vysíláme na radioamatérských pásmech XCIX Radioamatérská spojení francouzsky

(Dokončení)

Nakonec vzor krátkého kompletního spojení, který (jako konečně u všech dosud zveřejněných jazyků) doporučuji přepsat upravený dle vlastních údajů na samostatný list, doplnit event. stručným popisem výkonu, transceiveru a antény a ten při prvních spojeních používat (z jedné strany vzor spojení, ze druhé hláskování, číslice, dny a příp. další předpokládaná použitelná slova). Já takto navazuji spojení např. s Japonci již více jak 30 let a je zřejmé, že vědí, co jim chci říci.

## Výzva ze stanice OK1XYZ v pásmu 10 m.

Appel général de la station OK1XYZ sur la bande de dix mètres.

Apel ženeral d la stasion o ka en iks igrek zed syr la bánd d dy métr.

F6DHK, F6DHK, volá OK1XYZ, přijím. F6DHK, F6DHK, ici OK1XYZ qui vous appelle et passe a l'écoute, transmettez. Ef sis de aš ka, F6DHK, isi OK1XYZ ki vuzapel e pas alekut, transmeté.

F6DHK, zde OK1XYZ. Děkuji za zavolání, váš report je 57. QTH Praha, jméno Pavel. Hláskuji... Jak jste to přijal? F6DHK, OK1XYZ poslouchá.

F6DHK, c'est OK1XYZ de retour. Merci beaucoup d'appel, votre controle est cinq sept. Mon QTH est Praha, le prénom de l'opérateur est Pavel. On écrit comme Portugal, Amérique, Victor... Comment vous m'avez copié? F6DHK, OK1XYZ passe a l'écoute, transmettez.

F6DHK, se OK1XYZ d retúr. Mersi boku dapel, votr kontrol e sénk set. Mon ki té aš e Praha, l prenom d loperatér e Pavel. Onékri kom Portygal, Amerik, Viktor... Komán vú mavé kopié? F6DHK, OK1XYZ pas alekut, transmeté.

Všechno dobře přijato. (Lituji, nepříjal jsem jméno, prosím zopakujte je pomalu.) Děkuji za informace. Škoda, že neovládám dobře francouzštinu. Svůj listek pošlu přes byro (pošlu na vaši adresu přímo, pošlu na vašeho QSL manažera). Prosím o zaslání QSL listku. Děkuji za spojení a doufám brzy na slyšenou. OK1XYZ končí milé spojení se stanicí F6DHK.

Tout recut cent pour cent. (Malheureusement, je n'ai pas reçu votre prénom et c'est pourquoi je vous prie de vouloir répéter votre prénom lentement.) Merci beaucoup d'informations. Quel dommage,



Obr. 1. QSL-lístek stanice F6DHK

que je ne parle bien le français. Je vous enverrai ma carte de QSL via bureau (a votre adresse directement, a votre QSL manager) et je vous prie de bien vouloir envoyer votre carte de QSL a moi. Je vous remercie du contact et j'espère de pouvoir vous recontacter bientôt.

OK1XYZ termine un très sympathique QSO avec la station F6DHK.

Tut resy sán púr sán. (Malerez má ž ne pa resy votr prenom e se púrkoa ž vu pri d vuloár repeté votr prenom lán tmá.) Mersi boku denformasion. Kel domáž, k ž n parl bjén lfransé. Ž vúzavéré ma kart d ki es el via byró (a votr adres dy-rektmán, a votr ki es el manažé) e ž vú pri d bjen vuloár anvoajé votr kart d ki es el a moa. Ž vú remersi dy kontá e žespér d puvoár vú rkontakté bjénto. OK1XYZ termin an tré sémpatyk ki es o avek la stasió n F6DHK.

QX

## Krátkodobé radioamatérské expedice na přelomu února a března 2012

### Guantanamo Bay – KG4

V době od 25. 2. do 10. 3. 2012 bude z tohoto území činný Stu, KG4SS, na všech KV pásmech provoz CW, SSB a RTTY – tomu ponejvíce. QSL požaduje na jeho domácí značku K4MIL v USA. Posílá však i velice ochotně QSL via bureau. Další stanicí, která bude z této základny pracovat, je KG4OS, op. Emmett, od 25. 2. do 3. 3. 2012. Také bude na všech KV pásmech, ale jen CW a SSB. Oba budou využívat zařízení stanice na této základně i s dobrými anténami. Emmett požaduje QSL na jeho domovskou značku KD4OS. Také jemu je možno poslat QSL via bureau.

### Barbados – 8P9

Mike, W1USN, a Bob, AA1M, plánují krátkodobý pobyt na Barbadosu od 23. 2. do 8. 3. 2012. Pod značkami 8P9CI a 8P9CK budou činní na SSB, CW a také PSK31 na KV pásmech dle možnosti šíření. Používat mají jen 100W transceiver a vertikální antény. Jsou to však velice dobří operátoři a určitě nebude problém s nimi navázat spojení na různých pásmech. Mike, 8P9CI sděluje, že pokud bude mít na ostrově dobrý přístup na internet, jeho log nahraje denně do LoTW. Ale bohužel neposílá vůbec QSL via bureau. Na direct žádá SAE + poštovné 2 US dolary.

Bob, 8P9CK, vyřizuje QSL přednostně direct. Odpovídá však také i via bureau.

### Ostrov Chatham – ZL7

David, VO1AU, který byl členem poslední expedice Kiribati (T32) v lednu až únoru 2012, navštíví ostrov Chatham od 8. do 13. 3. 2012. Vysílá bude pod značkou ZL7/VO1AU. Chce se věnovat hlavně spodním KV pásmům a zúčastnit se Commonwealth Contestu (BERU) od 10. do 11. 3. 2012. Jaké bude mít s sebou vybavení, zatím není známo. Před a po závodě bude činný na CW a SSB, bohužel ne digitálními módy. QSL požaduje via Dan, VO1MX. Ten vyřizuje QSL přednostně direct. Žádá SAE + 2 US dolary nebo nový IRC. Později posílá QSL via bureau.



Obr. 1. Pobřeží ostrova Chatham

## Radioamatérská škola

Školu nebo chcete-li kurz operátorů organizuje Dům dětí a mládeže Hradec Králové a radioklub OK1OHK v autokempu Stříbrný rybník.

Nejbližší termín je ve dnech 27. 4. (nástup večer) až 2. 5. 2012 (závěrečné zkoušky a oběd).

Přednášky budou denně v sobotu, neděli a úterý od 8 do 17 h. V podvečerních a večerních hodinách pak bude na programu práce na radiostanicích. Ve středu od 8 h proběhne přezkoušení před komisí ČTÚ.

Přednášet budou: předpisy a provoz Vráťa, OK1KT; techniku Vašek, OK1MWA; antény a šíření Václav, OK1VD; praktický provoz na stanicích Ivan, OK1MOW, a operátoři OK1OHK.

Kurz není pro úplně začátečníky. Předpokládá se, zvláště u zájemců o třídu A, alespoň základní znalost radioamatérského provozu. Držitelé vysokoškolského diplomu slaboproudého oboru nechť si ho vezmou ke zkouškám s sebou. Je možné, že budou zproštěni zkoušky z techniky.

Kontaktní osoby: vedoucí RS Ivan Kohout, OK1MOW, tel. 606 427 608, e-mail: ok1mow@centrum.cz; organizační záležitosti: Vojtěch Horák, OK1ZHV, tel. 777 758 440, e-mail: v.horak@barak.cz, ok1zhv@email.cz.

Sledujte naše stránky, další informace jsou průběžně doplňovány:

<http://ok1ohk.barak.cz/?kurz>



## Kalendář závodů na březen (UTC)

3.-4.3. I. subreg. závod <sup>1)</sup>	144 MHz-241 GHz	14.00-14.00
6.3. VKV aktivita <sup>2)</sup> ; NA <sup>3)</sup>	144 MHz	18.00-22.00
7.3. MOON Contest <sup>4)</sup>	144 MHz	19.00-21.00
8.3. VKV aktivita; NA	50 MHz	18.00-22.00
10.3. FM Pohár	145 a 432 MHz	09.00-11.00
10.3. Mistr. ČR juniorů <sup>5)</sup>	145 a 432 MHz	09.00-11.00
10.-11.3. ATV Contest <sup>6)</sup>	432 MHz a výše	12.00-12.00
13.3. VKV aktivita; NA	432 MHz	18.00-22.00
14.3. MOON Contest <sup>4)</sup>	432 MHz	19.00-21.00
15.3. VKV aktivita; NA	70 MHz	18.00-22.00
17.3. AGCW CW Contest	144 MHz	14.00-17.00
17.3. AGCW CW Contest	432 MHz	17.00-18.00
18.3. Provozní aktiv	144 MHz-76 GHz	08.00-11.00
18.3. Mistr. ČR juniorů <sup>5)</sup>	145 a 432 MHz	08.00-11.00
18.3. DUR Activity Contest	1 GHz a výše	08.00-11.00
20.3. VKV aktivita; NA	1,3 GHz	18.00-22.00
27.3. VKV aktivita; NA	mikrovlonná pásma	18.00-22.00

<sup>1)</sup> Deníky na: [vkvzavody.moravany.com](http://vkvzavody.moravany.com)

<sup>2)</sup> Podmínky viz: [www.satelit.cz](http://www.satelit.cz)

<sup>3)</sup> Nordic Activity Contest

<sup>4)</sup> Hlášení na: [ok2vzb@centrum.cz](http://ok2vzb@centrum.cz)

<sup>5)</sup> Hlášení na OK1OHK

<sup>6)</sup> Deníky na adresu OK1MO: Jiří Vorel, P. O. Box 32, 350 99 Cheb 2

DVA

## Kalendář závodů na únor a březen (UTC)

10.-12.2. YL-OM Contest	MIX	14.00-02.00
11.2. OM Activity	CW/SSB	05.00-07.00
11.-12.2. CQ WW RTTY WPX	RTTY#	00.00-24.00
11.-12.2. PACC	CW+SSB#	12.00-12.00
11.-12.2. First RSGB 1.8 MHz	CW#	21.00-01.00
13.2. Aktivita 160	CW	20.30-21.30
15.2. AGCW Semiautomatic	CW	19.00-20.30
17.-18.2. Russian WW PSK	PSK31#	21.00-21.00
18.-19.2. ARRL DX Contest	CW#	00.00-24.00
24.-26.2. CQ WW 160m DX	SSB	22.00-22.00
25.-26.2. French DX (REF)	SSB	06.00-18.00
25.-26.2. Europ. Community (UBA)	CW#	13.00-13.00
26.2. OK-QRP Contest	CW	06.00-07.30
26.2. HSC CW Contest	CW#	viz podm.
3.3. SSB liga	SSB	06.00-08.00
3.-4.3. ARRL DX Contest	SSB#	00.00-24.00
3.-4.3. Open Ukraine	RTTY#	20.00-12.00
4.3. Provozní aktiv KV	CW	06.00-07.00
5.3. Aktivita 160	SSB	20.30-21.30
10.3. OM Activity	CW/SSB	05.00-07.00
10.3. AGCW QRP Contest	CW#	14.00-20.00
10.-11.3. DIG QSO Party#	SSB	viz podm.
10.-11.3. EA PSK Contest	PSK#	16.00-16.00
11.3. VRK závod	CW+SSB	06.00-09.00
12.3. Aktivita 160	CW	20.30-21.30
17.3. Popov Memorial	CW+SSB#	05.00-09.00
17.-18.3. Russian DX Contest	MIX#	12.00-12.00
17.-18.3. Internat. SSTV DARC	SSTV	12.00-12.00
17.-19.3. BARTG RTTY	RTTY#	22.00-22.00
24.-25.3. CQ WW WPX Contest	SSB	00.00-24.00

Podmínky většiny uvedených závodů v češtině najdete na: [www.aradio.cz](http://www.aradio.cz).

Symbol # za označením módu znamená, že na stránkách [www.qrz.ru](http://www.qrz.ru) již v době zpracování tohoto přehledu byly uveřejněny výsledky z předchozího roku. Pozor, během WPX contestu (25. 3. od 02.00) se mění zimní čas na letní. Party amerických států: 10.-11. 3. 19-19 UTC Idaho, 11.-12. 3. 18-01 UTC Wisconsin, 25. 2. Kuwait slaví „Národní den“, budou odtamtud vysílat zvláštní stanice.

## Tabulka závodů na VKV v roce 2012

### Závody pořádané Českým radioklubem:

Název závodu	Datum	UTC od-do	Pásma	Deník na:
I. subregionální závod	3. a 4. března	14.00-14.00	144 a 432 MHz, 1,3 až 241 GHz	OK1AGE RK OK1KHI
II. subregionální závod	5. a 6. května	14.00-14.00	144 a 432 MHz, 1,3 až 241 GHz	OK1CDJ RK OK1KCI
Závod mládeže	2. června	14.00-17.00	144 MHz	OK1RCR
Mikrovlonný závod	2. a 3. června	14.00-14.00	1,3 až 241 GHz	OK1IA, OK1KHK
IARU Region I. 50 MHz	16. a 17. června	14.00-14.00	50 MHz	
Polní den mládeže	7. července	10.00-13.00	144 a 432 MHz	OK1RCR
Polní den na VKV	7. a 8. července	14.00-14.00	144 a 432 MHz, 1,3 až 241 GHz	OK2ZI RK OK2KVM
III. subregionální závod	července			
QRP závod	4. a 5. srpna	14.00-14.00	144 MHz	OK1RCR
IARU Region I. VHF Contest (Den rekordů)	1. a 2. září	14.00-14.00	144 MHz	OK1NP RK OK1KRQ
IARU Region I. UHF/Microwave Contest	6. a 7. října	14.00-14.00	432 MHz, 1,3 až 241 GHz	OK1GK OK1KIR
A1 Contest - Marconi Memorial Contest	3. a 4. listopadu	14.00-14.00	144 MHz	OK1DOZ OK1KPA

Podle Všeobecných podmínek platných od 1. 1. 2011 se posílají zásadně elektronické deníky ve formátu EDI, nejlépe na adresu: <http://vkvzavody.moravany.com> nebo na adresu vyhodnocovatelů.

Níže uvedené údaje v případě změn budou upřesněny v dalších číslech PE-AR.

**OK1AGE:** Stanislav Hladký, Masarykova 881, 252 63 Roztoky,

E-mail: [ok1age@sky.net](mailto:ok1age@sky.net)

**OK1CDJ:** Ondřej Koloničný, Sezemická 1293, 530 03 Pardubice,

E-mail: [ok1cdj@moravany.com](mailto:ok1cdj@moravany.com)

**OK1IA:** Jan Moskovský, Čajkovského 923/62, 500 09 Hradec Králové,

E-mail: [ok1ia@seznam.cz](mailto:ok1ia@seznam.cz)

**OK1NP:** Jan Paleček, Brněnská 13, 323 00 Plzeň,

E-mail: [ok1np@email.cz](mailto:ok1np@email.cz)

**OK2ZI:** Karel Odehnal, 675 53 Valeč 246,

E-mail: [ok2zi@atlas.cz](mailto:ok2zi@atlas.cz)

**OK1GK:** Pavel Novák, Na Farkáně III/281, 150 00 Praha 5,

E-mail: [ok1gir@seznam.cz](mailto:ok1gir@seznam.cz)

**OK1DOZ:** Bedřich Jánský, Družby 337, 530 09 Pardubice,

E-mail: [ok1kpa@volny.cz](mailto:ok1kpa@volny.cz)

**OK1RCR:** Český radioklub, U Pergamenky 3, 170 00 Praha 7,

E-mail: [pdmlogy@crk.cz](mailto:pdmlogy@crk.cz)

### Ostatní závody:

Velikonoční závod	8. dubna	08.00-14.00	144 MHz a výše	RK OK1KKT
Velikonoční závod dětí	8. dubna	14.00-15.00	144 MHz a výše	RK OK1KKT
Vánoční závod	26. prosince	08.00-11.00 12.00-15.00	144 MHz	OK1KHK OK1IA

**OK1KKT:** RK Tanvald, pošt. schr. 30, 468 61 Desná v Jizerských horách,

E-mail: [info@ok1kkt.cz](mailto:info@ok1kkt.cz)

### Dlouhodobé soutěže, pořádané Českým radioklubem:

Provozní VKV aktiv	každou třetí neděli v měsíci	08.00-11.00	144 a 432 MHz 1,3 až 76 GHz	RK OK1KPA
FM Pohár	každou třetí sobotu v měsíci	10.00-12.00 místní čas	145 a 432 MHz	OK1IVU RK OK1OPT
Mistrovství ČR juniorů	souběžně s Provozním VKV aktivem a FM Pohárem		144 a 432 MHz	OK1OHK

**OK1KPA:** [ok1kpa.com/pa/hlaseni.htm](http://ok1kpa.com/pa/hlaseni.htm)

**OK1IVU:** Vladimír Veselý, Elišky Krásnohorské 21, 323 00 Plzeň,

E-mail: [ok1ivu@email.cz](mailto:ok1ivu@email.cz)

**OK1OHK:** [vkvzavody.moravany.com](http://vkvzavody.moravany.com)

### Adresy k odeslání deníků přes internet

Aktivita 160: [cw@a160.net](mailto:cw@a160.net), [ssb@a160.net](mailto:ssb@a160.net)

ARRL: [DXCW@arrl.org](mailto:DXCW@arrl.org), [DXphone@arrl.org](mailto:DXphone@arrl.org)

CQ 160 m SSB: [160ssb@kkn.net](mailto:160ssb@kkn.net)

CQ WPX: [ssb@cqwpx.com](mailto:ssb@cqwpx.com)

EA PSK: [psk31@ure.es](mailto:psk31@ure.es)

EC-UBA: [ubacw@uba.be](mailto:ubacw@uba.be)

HSC: [hsccontest@gmail.com](mailto:hsccontest@gmail.com)

OK-QRP: [karel.line@seznam.cz](mailto:karel.line@seznam.cz)

OM Activity: [omac@pobox.sk](mailto:omac@pobox.sk)

Popov: [contest@radio.ru](mailto:contest@radio.ru)

REF (SSB): [cdsfb@ref-union.org](mailto:cdsfb@ref-union.org)

RSGB 160: [1st160.loggs@rsgbhfcc.org](mailto:1st160.loggs@rsgbhfcc.org)

Russian PSK: [rusdigital@bk.ru](mailto:rusdigital@bk.ru)

Russian: [rdxc@srr.ru](mailto:rdxc@srr.ru)

SSB liga: <http://ssbliga.nagano.cz>

UBA Spring: [on6kl@qsl.net](mailto:on6kl@qsl.net)

Závod VRK: [OK5VRK@seznam.cz](mailto:OK5VRK@seznam.cz)

QX



**P&V ELEKTRONIC**  
spol. s r.o.

Nad Rybníkem 589  
19012 Praha 9 - Dolní Počernice



### VINUTÉ DÍLY PRO ELEKTRONIKU

Samonosné a tvarové cívky  
Antenní spěkané cívky  
Zákaznické vinuté díly  
Měřicí cívky a senzory  
Transformátory a tlumivky do spínaných zdrojů  
SMD tlumivky a převodníky  
Toroidní síťové transformátory a tlumivky



### MECHANIKA NEJEN PRO ELEKTRONIKU

Nástroje a přípravky pro elektrovýrobu  
Elektroerozivní drátové řezání a hloubení  
Konvenční broušení na plocho, na kulato a tvarové  
CNC soustružení do průměru 41 mm



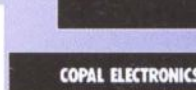
Provozovna 33544 Kasejovice 389  
telefon: 00420371595412, fax: 00420371595280  
e-mail: [pvelektronic@pvelektronic.com](mailto:pvelektronic@pvelektronic.com)  
<http://www.pvelektronic.com>



# ECOMAL

Electronic Components and Logistics

Aktivní a pasivní součástky nejen  
z produkce firmy VISHAY



Na veletrhu nás nenajdete, ale rádi Vás navštívíme

Aktuální informace najdete na  
[www.ecomal.com](http://www.ecomal.com)

Adresa: ECOMAL s.r.o., Mlýnská 1095, 334 01 Přeštice  
Tel.: 377 982 314, 377 183 214  
Fax: 377 983 605  
E-mail: [jana.krenova@ecomal.com](mailto:jana.krenova@ecomal.com)

- Výhodné předplatné Praktické elektroniky AR na rok 2012 - dva výtisky ročně zdarma
- Výrazná sleva na obě DVD se staršími ročníky již od r. 1945
- Sleva na nové CD 2011, které vychází 1. 3. 2012
- Pro předplatitele pouze u našeho vydavatelství dárek v podobě vstupenky na veletrh ELECTRON 2012
- I v tomto roce vás rádi přivítáme na našem stánku na veletrzích ELECTRON Praha a AMPER Brno



[www.aradio.cz](http://www.aradio.cz)

## Seznam inzerentů v PE 02/2012

A+A - plastové krabičky aj. .... XIII  
AEC - TV technika ..... XI  
AME - elektronické přístroje a součástky ..... IV  
AMPER 2012 - pozvánka na veletrh ..... VII  
ANTECH - měřicí přístroje, STA a TKR ..... VI  
AV-ELMAK - elektronické přístroje ..... XI  
BS ACOUSTIC - ozvučovací technika ..... XIII  
BUČEK - elektronické součástky ..... XIV  
DIAMETRAL - laboratorní nábytek ..... III  
ECOMAL - elektronické součástky ..... 56  
ELECTRON 2012 - pozvánka na veletrh ..... X  
ELEKTROSOUND - plošné spoje, el. součástky .... XII  
ELEX - elektronické součástky aj. .... XII  
ELFA - optoelektronická čidla ..... XII

ELNEC - programátory aj. .... XII  
ELTIP - elektro součástky ..... XIII  
ERA components - elektronické součástky ..... XI  
ESDshop - pájení, antistatika ..... XIII  
EZK - elektronické součástky a stavebnice ..... VI  
FLAJZAR - stavebnice a kamery ..... II  
GM electronic - el. součástky ..... VIII, IX  
JABLOTRON - zabezpečovací technika ..... I  
KONEKTORY BRNO - konektory ..... XII  
PaPouch - měřicí a komunikační technika ..... XIII  
P + V ELECTRONIC - vinuté díly pro elektroniku .... 56  
PRODANCE - ozvučovací technika ..... V  
TME - el. součástky ..... III. strana obálky  
SPEZIAL ELECTRONIC ..... IV. strana obálky

Transfer Multisort Elektronik  
Oficiální distributor firmy Talema



Talema - výrobce vysoce kvalitních odrušovacích součástek a transformátorů.

V nabídce firmy se nacházejí:

- ⊙ tlumivky a cívky
- ⊙ transformátory
- ⊙ proudové transformátory



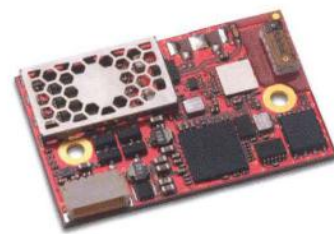
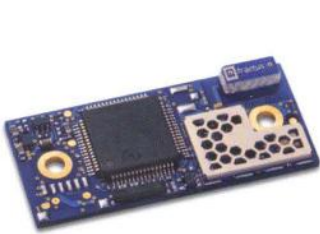
Electronic Components

Transfer Multisort Elektronik

TME Czech Republic s.r.o.: Slévárenská 406/17, CZ 709 00, Ostrava, tel.: +420 59 66 33 105, fax: +420 59 66 33 104, e-mail: tme@tme.cz, www.tme.cz  
Sídlo: ul. Ustronna 41, 93-350 Lodz, Polsko, tel. +48 42 645 54 44, fax +48 42 645 54 70, e-mail: export@tme.eu, www.tme.eu

# Novinky od connectBlue

## Bluetooth®, WiFi Serial Port Adapter™



### OBS411

Bluetooth 2.1+EDR  
Class 1, +4 dBm  
dosah: 150 m interní/externí anténa

- UART 1200 bit/s - **1.36 Mbit/s**
- CTS/RTS řízení toku
- AT příkazy
- **Android support**
- **prostor pro vlastní aplikaci**
- Wireless Multidrop™ 3 kanály
- **Extended Data Mode™** pro oddělení multipoint kanálů (každý slave může přijmout/vyslat jiná data)
- connectBlue **Low Emission Mode™** omezuje rušení dalších 2,4 GHz rádiových zařízení
- 12 digital I/O\*
- **4 A/D kanály\* (10-bit)**

### OBS433

Bluetooth 2.1+EDR  
Class 1, +17 dBm  
dosah: **800 m** interní anténa  
**1000 m** externí anténa

- UART 1200 bit/s - **1.80 Mbit/s**
- CTS/RTS řízení toku
- AT příkazy
- **Android support**
- **prostor pro vlastní aplikaci**
- Wireless Multidrop™ 7 kanálů
- **Extended Data Mode™** pro oddělení multipoint kanálů (každý slave může přijmout/vyslat jiná data)
- connectBlue **Low Emission Mode™** omezuje rušení dalších 2,4 GHz rádiových zařízení
- 12 digital I/O\*
- **4 A/D kanály\* (10-bit)**

### OBS414

**iPhone, iOS Accessory**  
Bluetooth 2.1+EDR  
Class 1, +4 dBm  
dosah: 150 m interní/externí anténa

- **Apple Authentication co-processor**
- **iPod Accessory Protocol support**
- **Android support**
- AT příkazy
- UART 1200 bit/s - **1.36 Mbit/s**
- CTS/RTS řízení toku
- Wireless Multidrop™ 3 kanály
- **Extended Data Mode™** pro oddělení multipoint kanálů (každý slave může přijmout/vyslat jiná data)
- connectBlue **Low Emission Mode™** omezuje rušení dalších 2,4 GHz rádiových zařízení
- 12 digital I/O\*
- **4 A/D kanály\* (10-bit)**

### OWS451

**Dual Band WiFi UART/SPI**  
802.11a/b/g/n (**2,4 GHz/5 GHz**)  
výkon +17 dBm  
dosah: 400m interní/externí anténa

- integrovaný TCP/IP stack
- UART 1200 bit/s - 1.80 Mbit/s
- CTS/RTS řízení toku
- AT příkazy
- Enterprise modes, TKIP, AES (CCMP)
- WPA-PSK, WPA2-PSK, WEP64/128
- PEAP, LEAP
- 802.11i, WMM
- BSS (infrastructure) a IBSS (ad-hoc)
- TCP/UDP protocol support
- TX Power calibration
- Link adaptation, Fragmentation
- DTIM based power management
- DHCP server and client
- DNS-resolver, Fast roaming, LLDP

\* ... s příslušným firmware

## Rugged Ethernet Port Adapter™

Jednotky určené k bezdrátovému přenosu sítě Ethernet. Vhodné např. pro spojení pohyblivých částí se sítě Ethernet nebo jako bezdrátová náhrada LAN kabelu. Dosah 400 m.

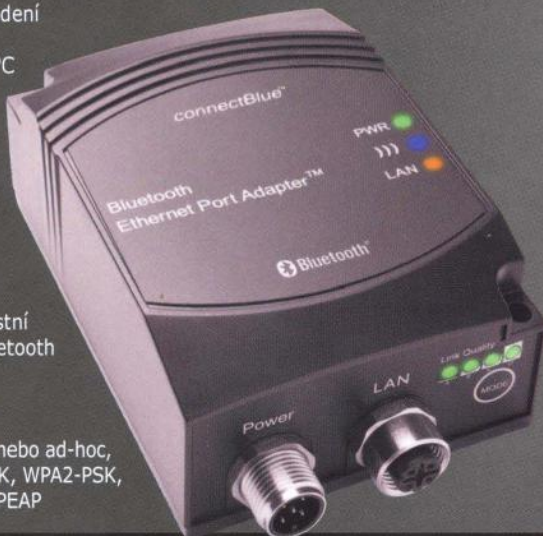
- odolné průmyslové provedení
- krytí IP65
- rozsah teplot -30 až +65°C
- napájení 9-30V

Snadné nastavení tlačítkem umístěným vedle LAN konektoru.

varianty:

- **RBEPA** Bluetooth velmi malé latence, robustní linka díky technologii Bluetooth

- **RWE231i** WiFi 2,4 GHz
- **RWE241i** WiFi 5 GHz spojení přes Access Point nebo ad-hoc, WEP64, WEP128, WPA-PSK, WPA2-PSK, TKIP, CCMP (AES), LEAP, PEAP



## Rugged Serial Port Adapter™

Bezdrátová náhrada kabelu RS-232/485 do náročného prostředí.

- odolné průmyslové provedení
- krytí IP65
- rozsah teplot -40 až +85°C
- napájení 8-30V

varianty:

- **RBS433** Bluetooth dosah 1000 m, robustní linka díky technologii Bluetooth

- **RWS451** WiFi 2,4/5 GHz dosah 400 m, spojení přes Access Point nebo ad-hoc, WEP64, WEP128, WPA-PSK, WPA2-PSK, TKIP, CCMP (AES), LEAP, PEAP

